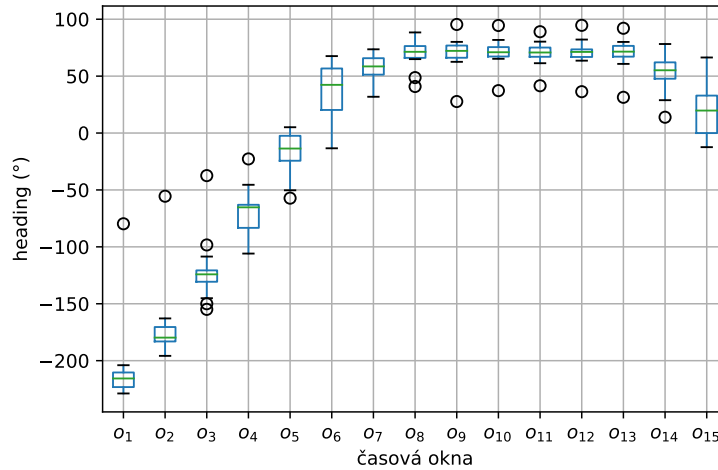




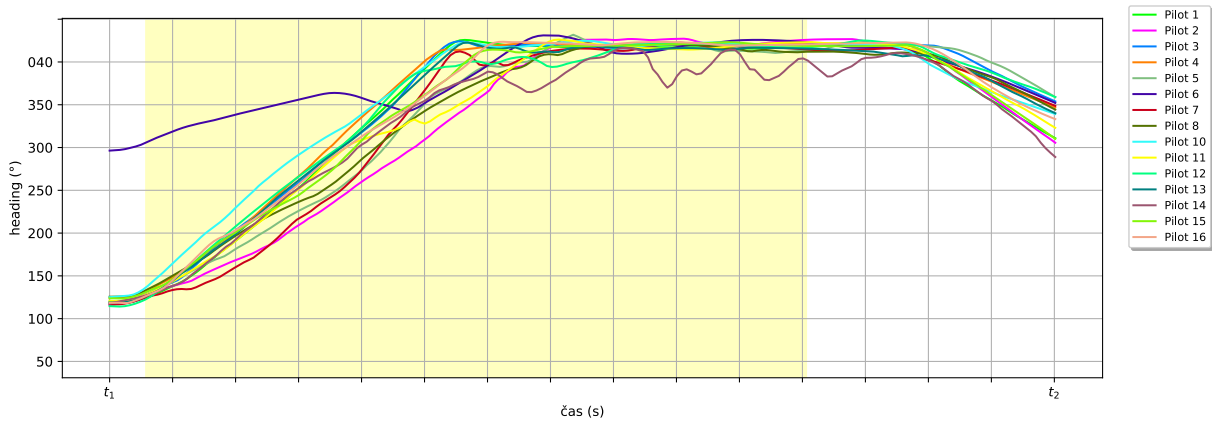
Přílohy

A.1 Příloha A - CD

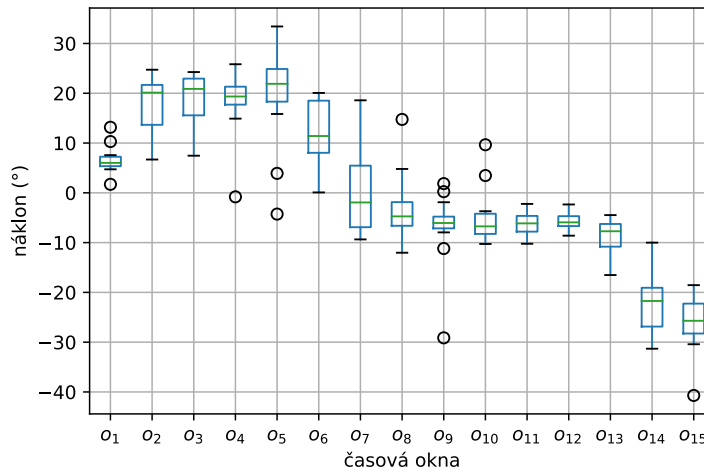
- Grafy letových dat
- Boxploty letových dat
- Stabilogramy



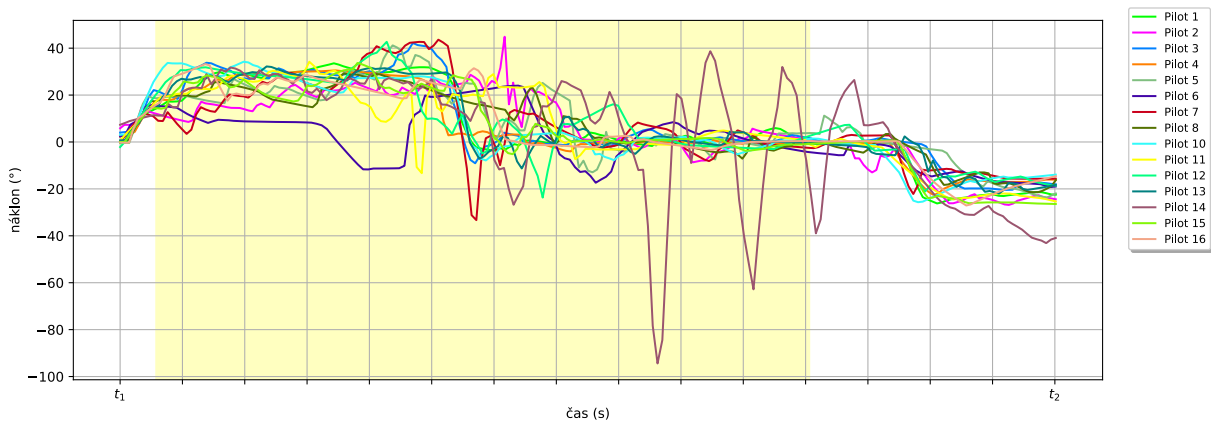
Obrázek A.1: Krabicový graf pro Coriolisovu iluzi při prvním profilu - parametr Heading. Z tohoto parametru byl zjištěn signifikantní rozdíl mezi okny {1} a {6, 7, 8, 9, 10, 11, 12, 13, 14}, {2} a {7, 8, 9, 10, 11, 12, 13, 14}, {3} a {7, 8, 9, 10, 11, 12, 13}, {4} a {8, 9, 10, 11, 12, 13}, {5} a {8, 9, 10, 11, 12, 13}, {6} a {1, 10}, {7} a {1, 2, 3}, {8} a {1, 2, 3, 4, 5, 15}, {9} a {1, 2, 3, 4, 5, 15}, {10} a {1, 2, 3, 4, 5, 6, 15}, {11} a {1, 2, 3, 4, 5, 15}, {12} a {1, 2, 3, 4, 5, 15}, {13} a {1, 2, 3, 4, 5, 15}, {14} a {1, 2}, {15} a {8, 9, 10, 11, 12, 13}.



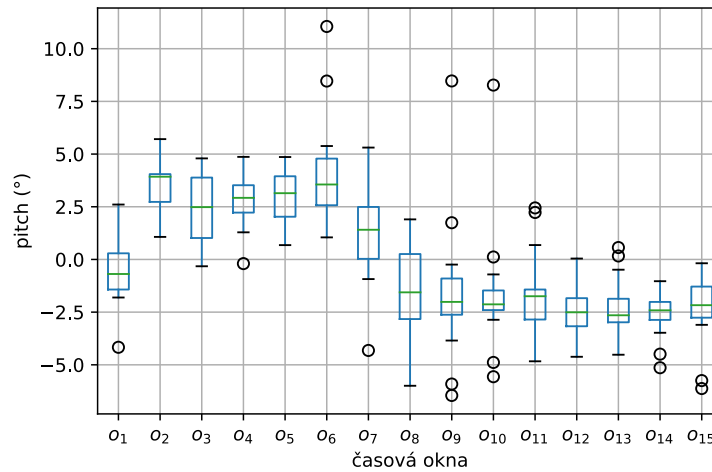
Obrázek A.2: Průběh v čase pro Coriolisovu iluzi při prvním profilu - parametr Heading.



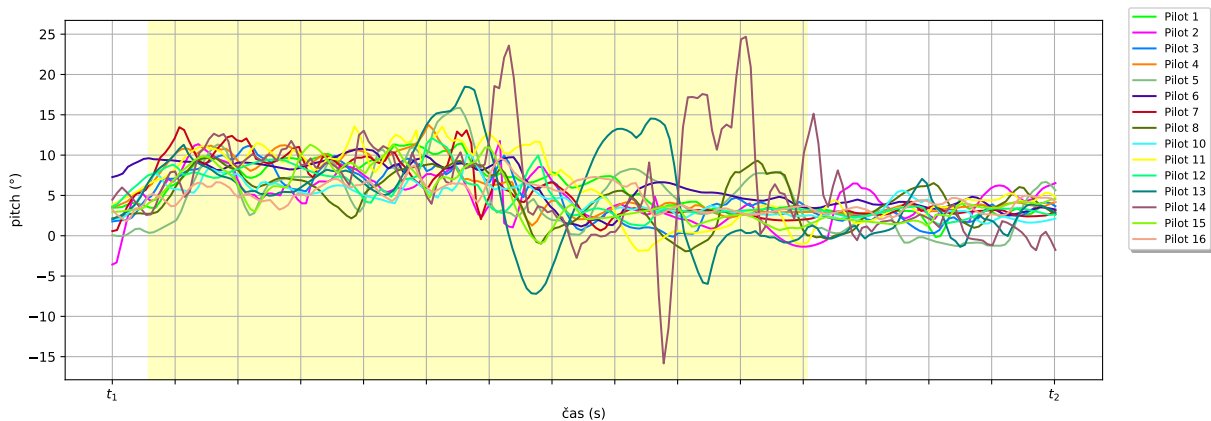
Obrázek A.3: Krabicový graf pro Coriolisovu iluzi při prvním profilu - parametr Náklon. Z tohoto parametru byl zjištěn signifikantní rozdíl mezi okny {1} a {13, 14, 15}, {2} a {8, 9, 10, 11, 12, 13, 14, 15}, {3} a {8, 9, 10, 11, 12, 13, 14, 15}, {4} a {8, 9, 10, 11, 12, 13, 14, 15}, {5} a {8, 9, 10, 11, 12, 13, 14, 15}, {6} a {11, 12, 13, 14, 15}, {7} a {14, 15}, {8} a {2, 3, 4, 5}, {9} a {2, 3, 4, 5}, {10} a {2, 3, 4, 5}, {11} a {2, 3, 4, 5, 6}, {12} a {2, 3, 4, 5, 6}, {13} a {1, 2, 3, 4, 5, 6}, {14} a {1, 2, 3, 4, 5, 6, 7}, {15} a {1, 2, 3, 4, 5, 6, 7}.



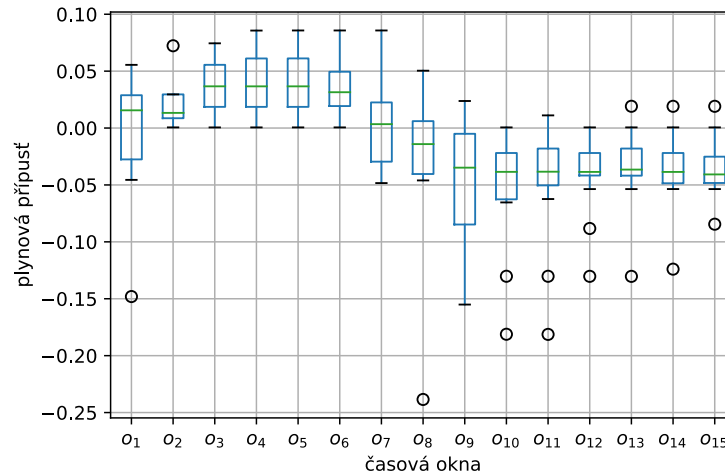
Obrázek A.4: Průběh v čase pro Coriolisovu iluzi při prvním profilu - parametr Náklon.



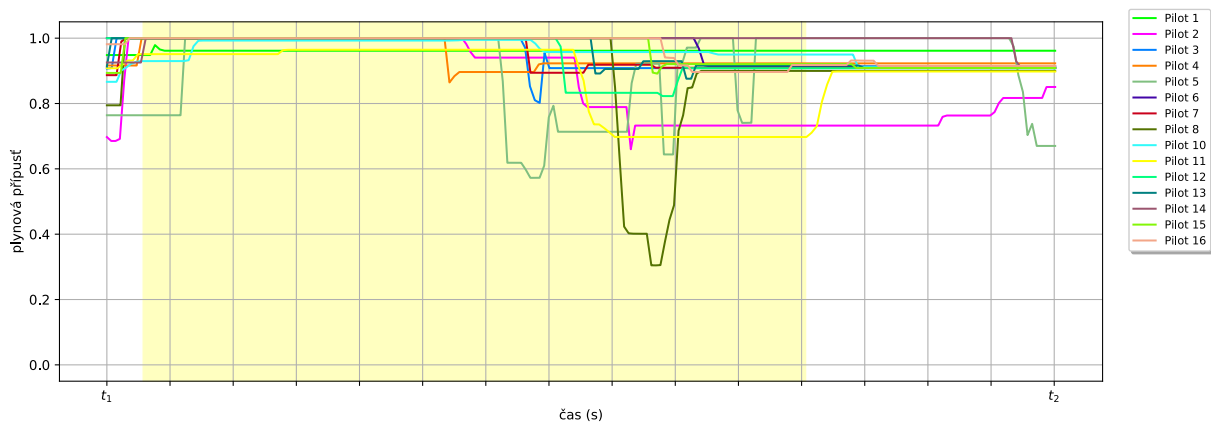
Obrázek A.5: Krabicový graf pro Coriolisovu iluzi při prvním profilu - parametr Pitch. Z tohoto parametru byl zjištěn signifikantní rozdíl mezi okny {2} a {8, 9, 10, 11, 12, 13, 14, 15}, {3} a {9, 10, 11, 12, 13, 14, 15}, {4} a {9, 10, 11, 12, 13, 14, 15}, {5} a {8, 9, 10, 11, 12, 13, 14, 15}, {6} a {8, 9, 10, 11, 12, 13, 14, 15}, {7} a {12, 14}, {8} a {2, 5, 6}, {9} a {2, 3, 4, 5, 6}, {10} a {2, 3, 4, 5, 6}, {11} a {2, 3, 4, 5, 6}, {12} a {2, 3, 4, 5, 6, 7}, {13} a {2, 3, 4, 5, 6}, {14} a {2, 3, 4, 5, 6, 7}, {15} a {2, 3, 4, 5, 6}.



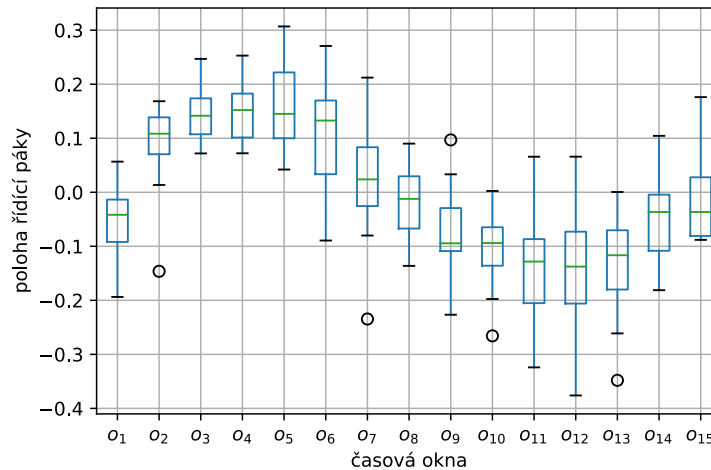
Obrázek A.6: Průběh v čase pro Coriolisovu iluzi při prvním profilu - parametr Pitch.



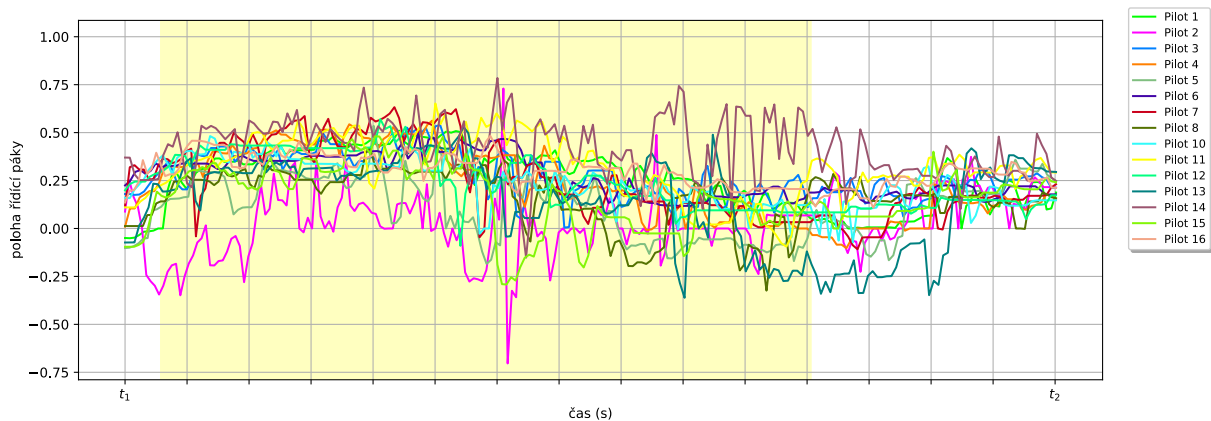
Obrázek A.7: Krabicový graf pro Coriolisovu iluzi při prvním profilu - parametr Plynová přípušť. Z tohoto parametru byl zjištěn signifikantní rozdíl mezi okny {5} a {10, 11, 12, 14, 15}, {6} a {10, 11, 12, 13, 14, 15}, {10} a {5, 6}, {11} a {5, 6}, {12} a {5, 6}, {13} a {6}, {14} a {5, 6}, {15} a {5, 6}.



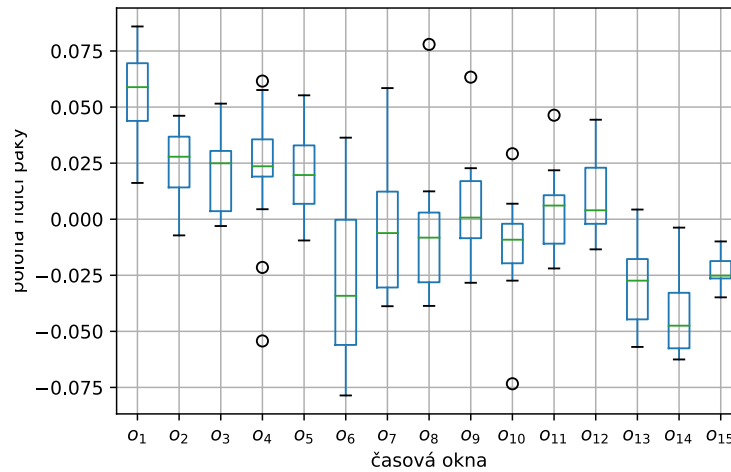
Obrázek A.8: Průběh v čase pro Coriolisovu iluzi při prvním profilu - parametr Plynová přípušť.



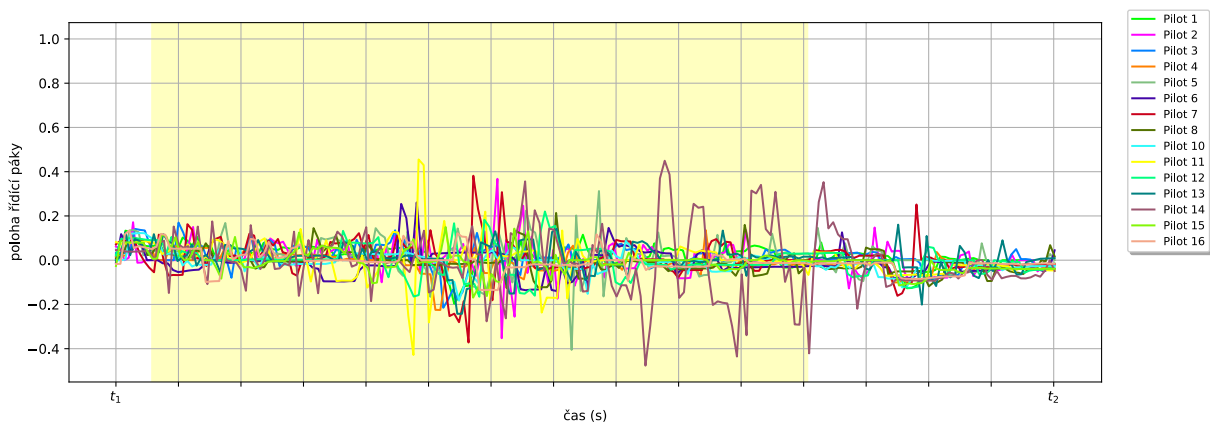
Obrázek A.9: Krabicový graf pro Coriolisovu iluzi při prvním profilu - parametr Poloha řídicí páky v rovině pitch. Z tohoto parametru byl zjištěn signifikantní rozdíl mezi okny {1} a {3, 4, 5}, {2} a {10, 11, 12, 13}, {3} a {1, 9, 10, 11, 12, 13, 14}, {4} a {1, 9, 10, 11, 12, 13, 14}, {5} a {1, 8, 9, 10, 11, 12, 13, 14, 15}, {6} a {9, 10, 11, 12, 13}, {8} a {5}, {9} a {3, 4, 5, 6}, {10} a {2, 3, 4, 5, 6}, {11} a {2, 3, 4, 5, 6}, {12} a {2, 3, 4, 5, 6}, {13} a {2, 3, 4, 5, 6}, {14} a {3, 4, 5}, {15} a {5}.



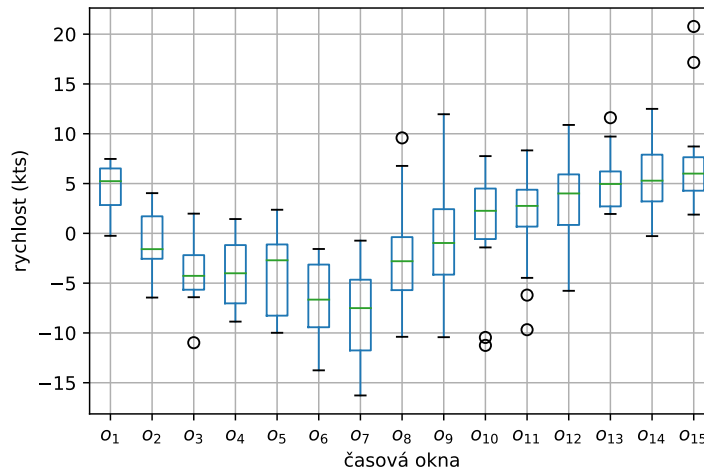
Obrázek A.10: Průběh v čase pro Coriolisovu iluzi při prvním profilu - parametr Poloha řídicí páky v rovině pitch.



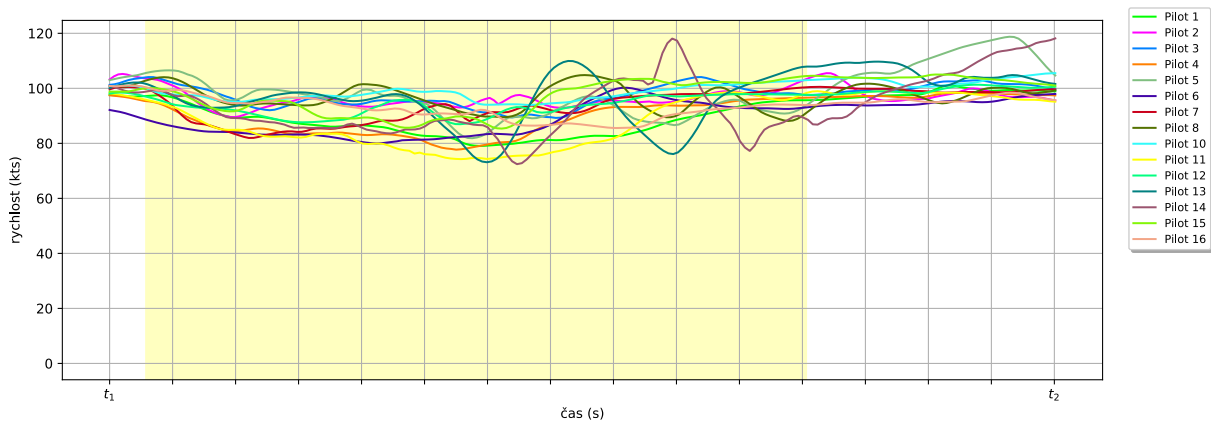
Obrázek A.11: Krabicový graf pro Coriolisovu iluzi při prvním profilu - parametr Poloha řídicí páky v rovině roll). Z tohoto parametru byl zjištěn signifikantní rozdíl mezi okny {1} a {6, 7, 8, 10, 13, 14, 15}, {2} a {6, 13, 14, 15}, {3} a {13, 14, 15}, {4} a {13, 14, 15}, {5} a {13, 14, 15}, {6} a {1, 2}, {7} a {1}, {8} a {1}, {10} a {1}, {13} a {1, 2, 3, 4, 5}, {14} a {1, 2, 3, 4, 5}, {15} a {1, 2, 3, 4, 5}.



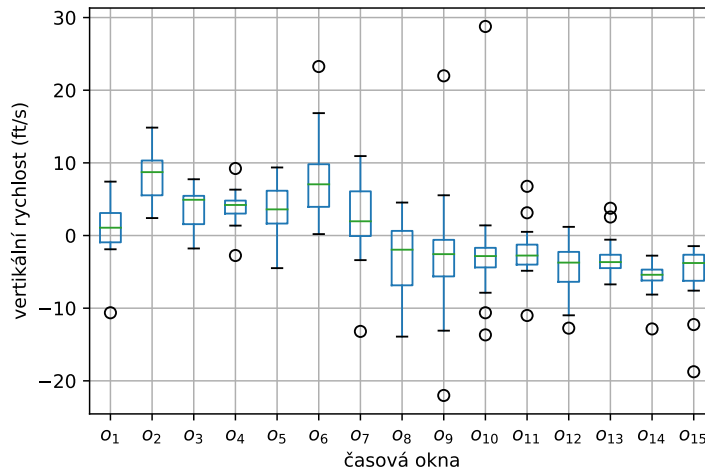
Obrázek A.12: Průběh v čase pro Coriolisovu iluzi při prvním profilu - parametr Poloha řídicí páky v rovině roll).



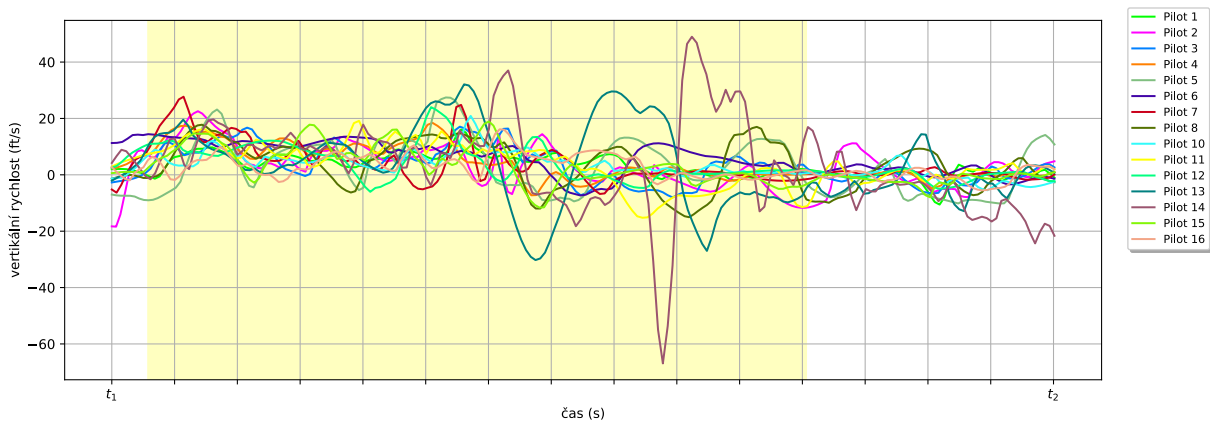
Obrázek A.13: Krabicový graf pro Coriolisovu iluzi při prvním profilu - parametr Rychlost. Z tohoto parametru byl zjištěn signifikantní rozdíl mezi okny {1} a {3, 4, 5, 6, 7, 8}, {2} a {15}, {3} a {1, 12, 13, 14, 15}, {4} a {1, 12, 13, 14, 15}, {5} a {1, 13, 14, 15}, {6} a {1, 11, 12, 13, 14, 15}, {7} a {1, 10, 11, 12, 13, 14, 15}, {8} a {1, 13, 14, 15}, {9} a {15}, {10} a {7}, {11} a {6, 7}, {12} a {3, 4, 6, 7}, {13} a {3, 4, 5, 6, 7, 8}, {14} a {3, 4, 5, 6, 7, 8}, {15} a {2, 3, 4, 5, 6, 7, 8, 9}.



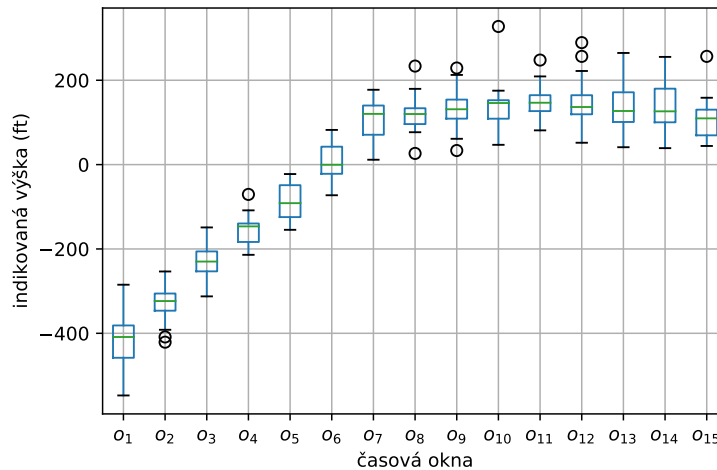
Obrázek A.14: Průběh v čase pro Coriolisovu iluzi při prvním profilu - parametr Rychlost.



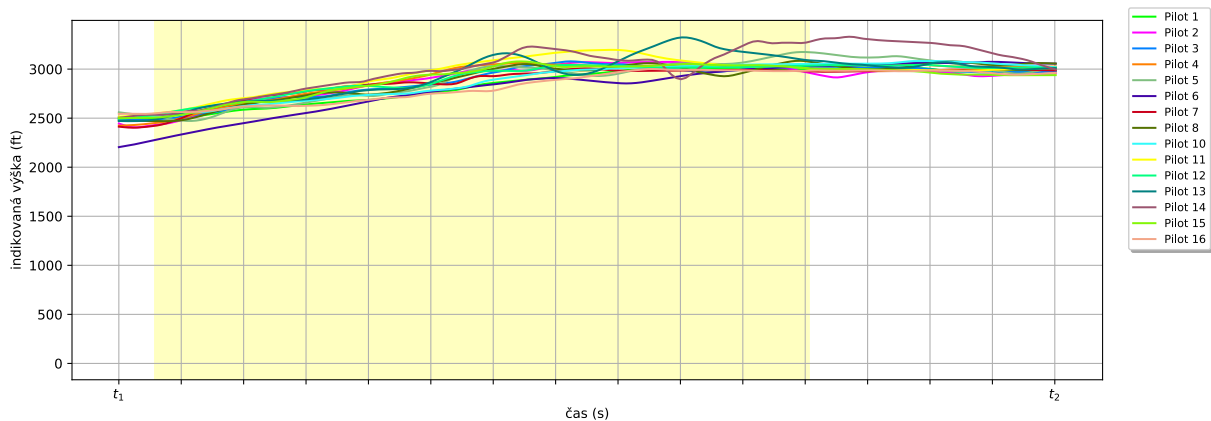
Obrázek A.15: Krabicový graf pro Coriolisovu iluzi při prvním profilu - parametr Vertikální rychlost. Z tohoto parametru byl zjištěn signifikantní rozdíl mezi okny {1} a {14}, {2} a {8, 9, 10, 11, 12, 13, 14, 15}, {3} a {12, 14, 15}, {4} a {10, 11, 12, 13, 14, 15}, {5} a {12, 14, 15}, {6} a {8, 9, 10, 11, 12, 13, 14, 15}, {7} a {14, 15}, {8} a {2, 6}, {9} a {2, 6}, {10} a {2, 4, 6}, {11} a {2, 4, 6}, {12} a {2, 3, 4, 5, 6}, {13} a {2, 4, 6}, {14} a {1, 2, 3, 4, 5, 6, 7}, {15} a {2, 3, 4, 5, 6, 7}.



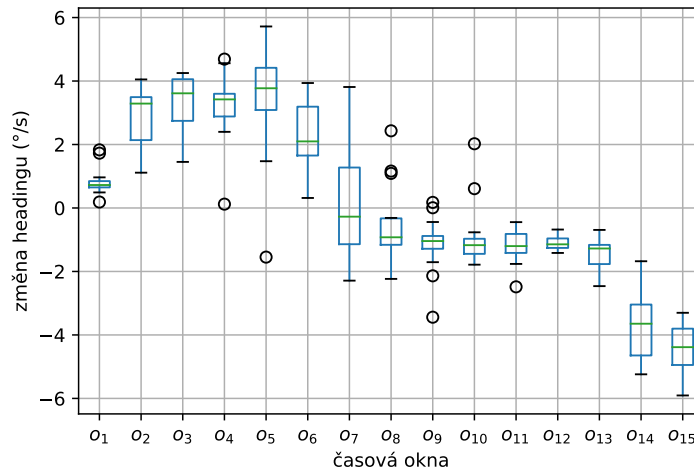
Obrázek A.16: Průběh v čase pro Coriolisovu iluzi při prvním profilu - parametr Vertikální rychlost.



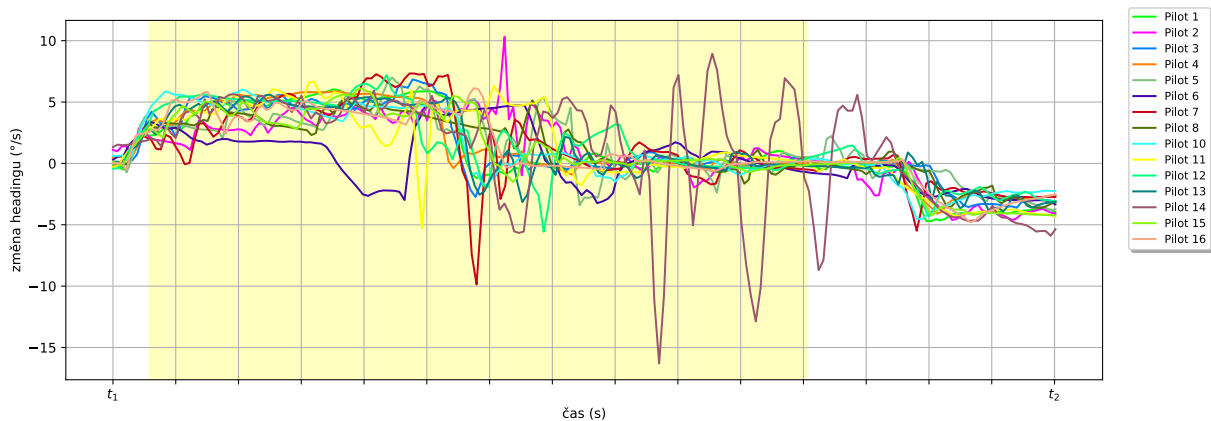
Obrázek A.17: Krabicový graf pro Coriolisovu iluzi při prvním profilu - parametr Výška. Z tohoto parametru byl zjištěn signifikantní rozdíl mezi okny $\{1\}$ a $\{7, 8, 9, 10, 11, 12, 13, 14, 15\}$, $\{2\}$ a $\{7, 8, 9, 10, 11, 12, 13, 14, 15\}$, $\{3\}$ a $\{7, 8, 9, 10, 11, 12, 13, 14, 15\}$, $\{4\}$ a $\{7, 8, 9, 10, 11, 12, 13, 14\}$, $\{5\}$ a $\{8, 9, 10, 11, 12, 13, 14\}$, $\{7\}$ a $\{1, 2, 3, 4\}$, $\{8\}$ a $\{1, 2, 3, 4, 5\}$, $\{9\}$ a $\{1, 2, 3, 4, 5\}$, $\{10\}$ a $\{1, 2, 3, 4, 5\}$, $\{11\}$ a $\{1, 2, 3, 4, 5\}$, $\{12\}$ a $\{1, 2, 3, 4, 5\}$, $\{13\}$ a $\{1, 2, 3, 4, 5\}$, $\{14\}$ a $\{1, 2, 3, 4, 5\}$, $\{15\}$ a $\{1, 2, 3\}$.



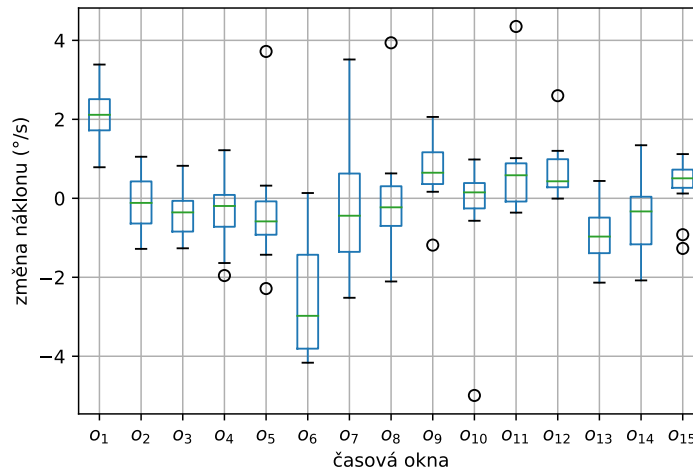
Obrázek A.18: Průběh v čase pro Coriolisovu iluzi při prvním profilu - parametr Výška.



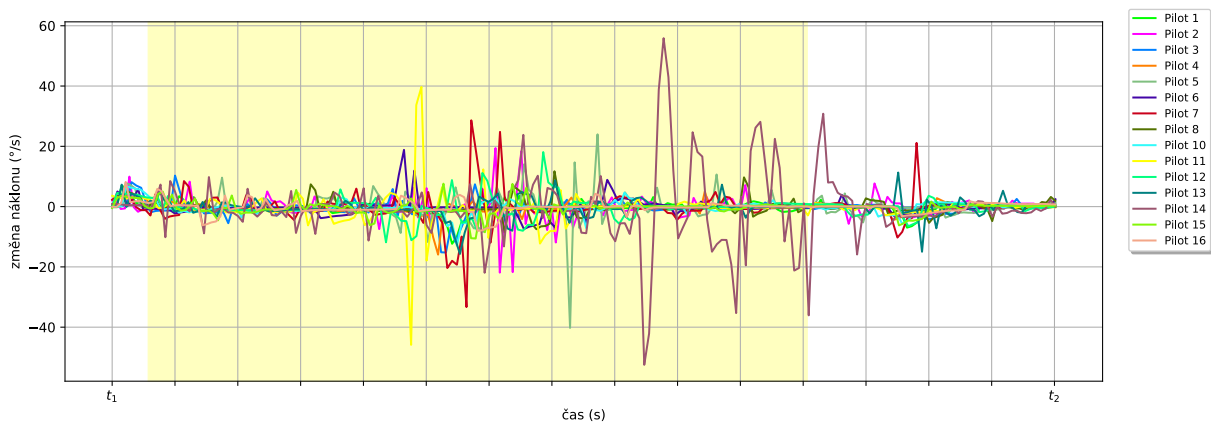
Obrázek A.19: Krabicový graf pro Coriolisovu iluzi při prvním profilu - parametr Změna headingu. Z tohoto parametru byl zjištěn signifikantní rozdíl mezi okny {1} a {14, 15}, {2} a {9, 10, 11, 12, 13, 14, 15}, {3} a {8, 9, 10, 11, 12, 13, 14, 15}, {4} a {8, 9, 10, 11, 12, 13, 14, 15}, {5} a {8, 9, 10, 11, 12, 13, 14, 15}, {6} a {9, 10, 11, 12, 13, 14, 15}, {7} a {14, 15}, {8} a {3, 4, 5, 15}, {9} a {2, 3, 4, 5, 6}, {10} a {2, 3, 4, 5, 6}, {11} a {2, 3, 4, 5, 6}, {12} a {2, 3, 4, 5, 6}, {13} a {2, 3, 4, 5, 6}, {14} a {1, 2, 3, 4, 5, 6, 7}, {15} a {1, 2, 3, 4, 5, 6, 7, 8}.



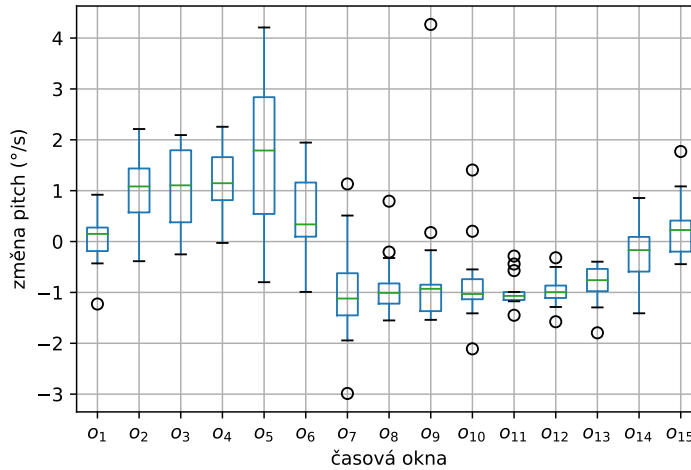
Obrázek A.20: Průběh v čase pro Coriolisovu iluzi při prvním profilu - parametr Změna headingu.



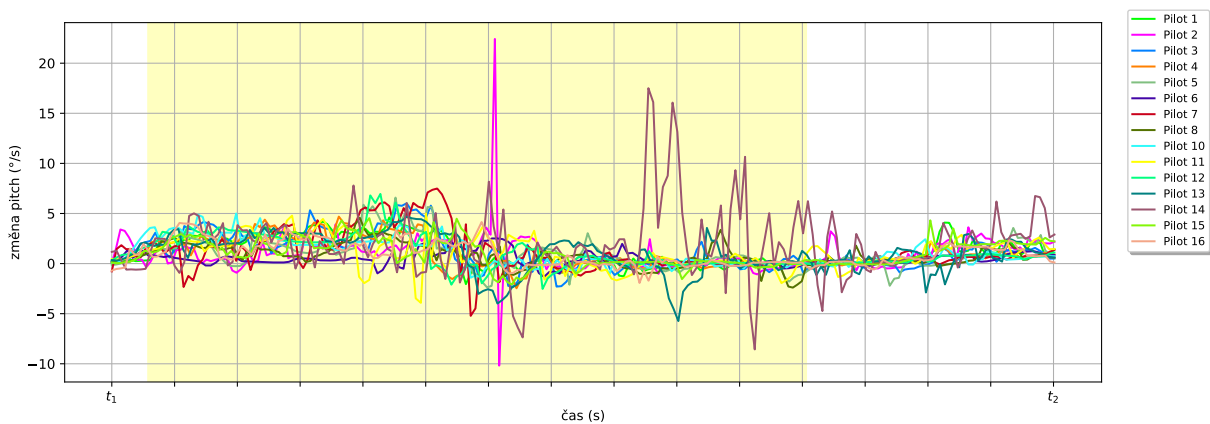
Obrázek A.21: Krabicový graf pro Coriolisovu iluzi při prvním profilu - parametr Změna náklonu. Z tohoto parametru byl zjištěn signifikantní rozdíl mezi okny {1} a {3, 4, 5, 6, 13, 14}, {3} a {1}, {4} a {1}, {5} a {1}, {6} a {1, 9, 11, 12, 15}, {9} a {6}, {11} a {6}, {12} a {6}, {13} a {1}, {14} a {1}, {15} a {6}.



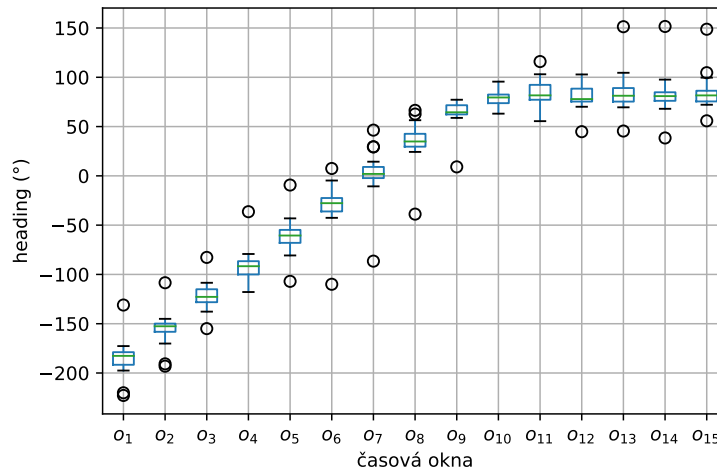
Obrázek A.22: Průběh v čase pro Coriolisovu iluzi při prvním profilu - parametr Změna náklonu.



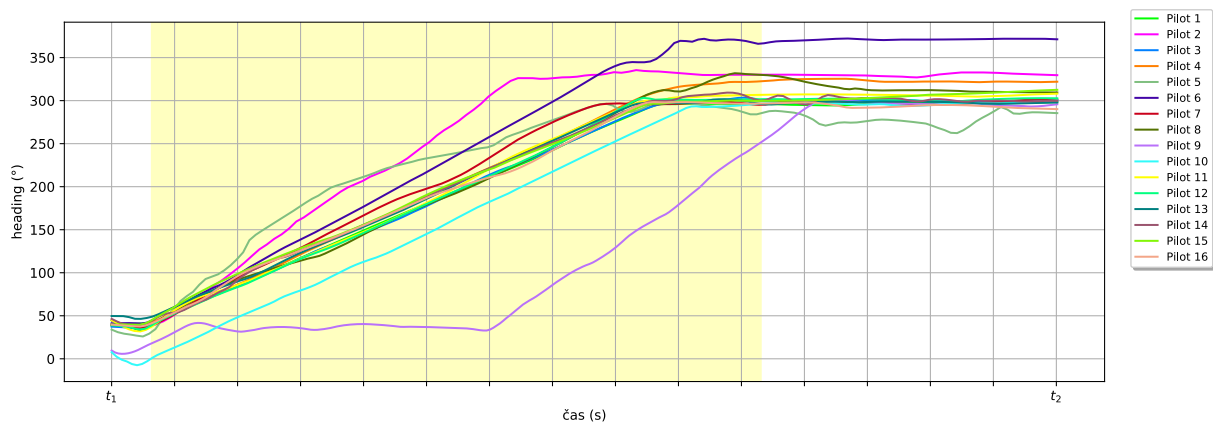
Obrázek A.23: Krabicový graf pro Coriolisovu iluzi při prvním profilu - parametr Změna pitch. Z tohoto parametru byl zjištěn signifikantní rozdíl mezi okny {2} a {7, 8, 9, 10, 11, 12, 13}, {3} a {7, 8, 9, 10, 11, 12, 13}, {4} a {7, 8, 9, 10, 11, 12, 13}, {5} a {7, 8, 9, 10, 11, 12, 13}, {6} a {8, 11, 12}, {7} a {2, 3, 4, 5}, {8} a {2, 3, 4, 5, 6}, {9} a {2, 3, 4, 5}, {10} a {2, 3, 4, 5}, {11} a {2, 3, 4, 5, 6, 15}, {12} a {2, 3, 4, 5, 6}, {13} a {2, 3, 4, 5}, {15} a {11}.



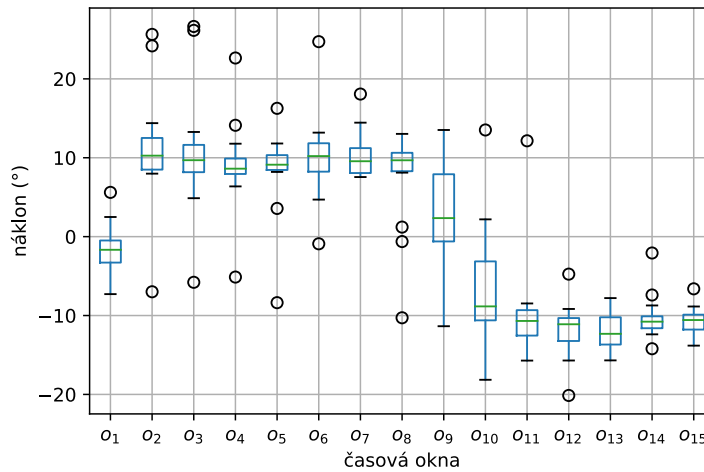
Obrázek A.24: Průběh v čase pro Coriolisovu iluzi při prvním profilu - parametr Změna pitch.



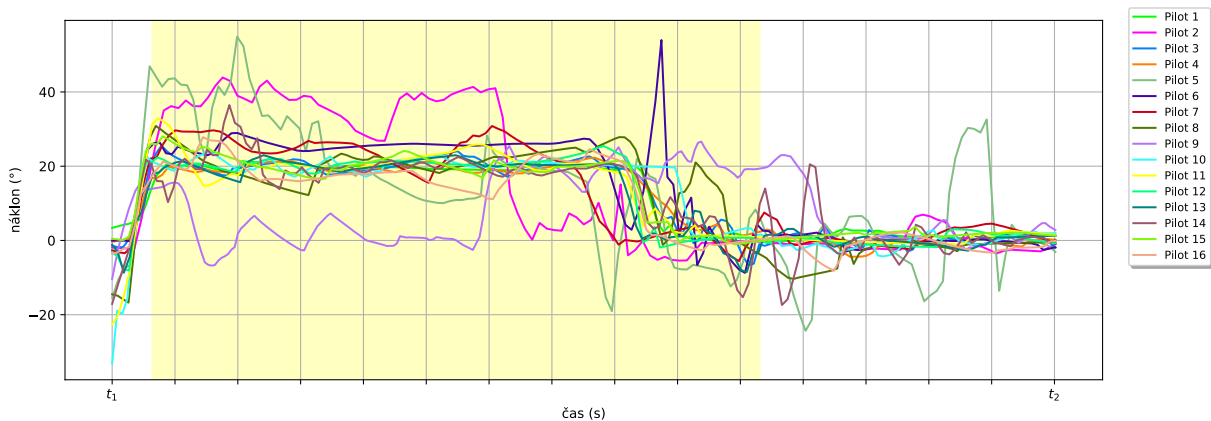
Obrázek A.25: Krabicový graf pro iluzi náklonu při prvním profilu - parametr Heading. Z tohoto parametru byl zjištěn signifikantní rozdíl mezi okny {1} a {7, 8, 9, 10, 11, 12, 13, 14, 15}, {2} a {8, 9, 10, 11, 12, 13, 14, 15}, {3} a {8, 9, 10, 11, 12, 13, 14, 15}, {4} a {9, 10, 11, 12, 13, 14, 15}, {5} a {10, 11, 12, 13, 14, 15}, {6} a {10, 11, 12, 13, 14, 15}, {7} a {1, 11, 12, 15}, {8} a {1, 2, 3}, {9} a {1, 2, 3, 4}, {10} a {1, 2, 3, 4, 5, 6}, {11} a {1, 2, 3, 4, 5, 6, 7}, {12} a {1, 2, 3, 4, 5, 6, 7}, {13} a {1, 2, 3, 4, 5, 6}, {14} a {1, 2, 3, 4, 5, 6}, {15} a {1, 2, 3, 4, 5, 6, 7}.



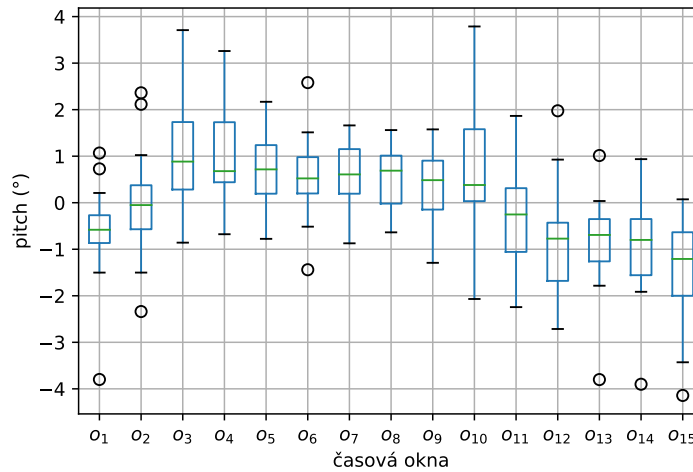
Obrázek A.26: Průběh v čase pro iluzi náklonu při prvním profilu - parametr Heading.



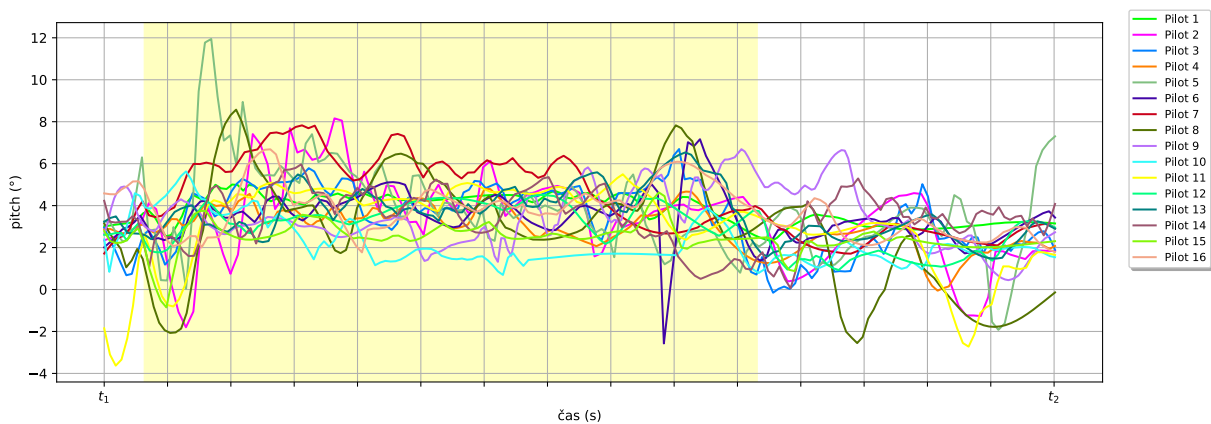
Obrázek A.27: Krabicový graf pro iluzi náklonu při prvním profilu - parametr Náklon. Z tohoto parametru byl zjištěn signifikantní rozdíl mezi okny {2} a {10, 11, 12, 13, 14, 15}, {3} a {10, 11, 12, 13, 14, 15}, {4} a {11, 12, 13, 14, 15}, {5} a {11, 12, 13, 14, 15}, {6} a {10, 11, 12, 13, 14, 15}, {7} a {10, 11, 12, 13, 14, 15}, {8} a {10, 11, 12, 13, 14, 15}, {9} a {13}, {10} a {2, 3, 6, 7, 8}, {11} a {2, 3, 4, 5, 6, 7, 8}, {12} a {2, 3, 4, 5, 6, 7, 8}, {13} a {2, 3, 4, 5, 6, 7, 8, 9}, {14} a {2, 3, 4, 5, 6, 7, 8}, {15} a {2, 3, 4, 5, 6, 7, 8}.



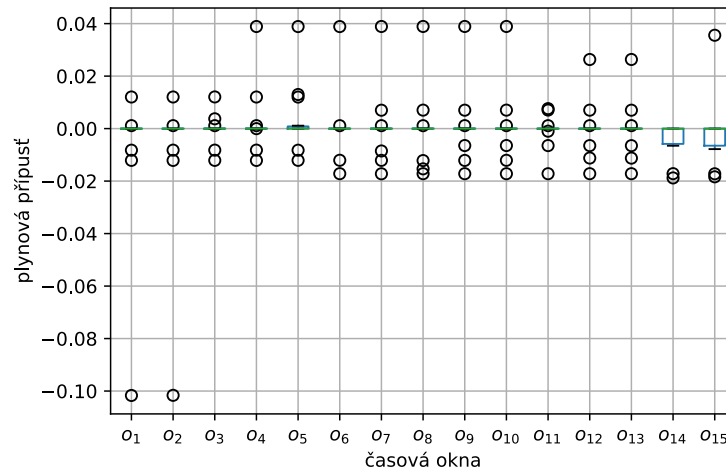
Obrázek A.28: Průběh v čase pro iluzi náklonu při prvním profilu - parametr Náklon.



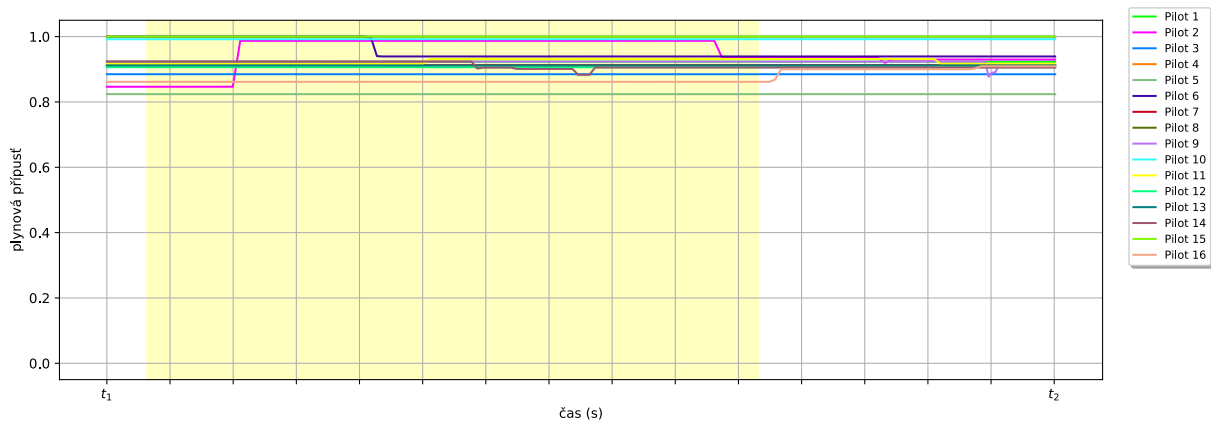
Obrázek A.29: Krabicový graf pro iluzi náklonu při prvním profilu - parametr Pitch. Z tohoto parametru byl zjištěn signifikantní rozdíl mezi okny {1} a {3, 4}, {3} a {1, 12, 13, 14, 15}, {4} a {1, 12, 13, 14, 15}, {5} a {12, 14, 15}, {6} a {12, 14, 15}, {7} a {12, 14, 15}, {8} a {12, 15}, {9} a {12, 15}, {10} a {12, 14, 15}, {12} a {3, 4, 5, 6, 7, 8, 9, 10}, {13} a {3, 4}, {14} a {3, 4, 5, 6, 7, 10}, {15} a {3, 4, 5, 6, 7, 8, 9, 10}.



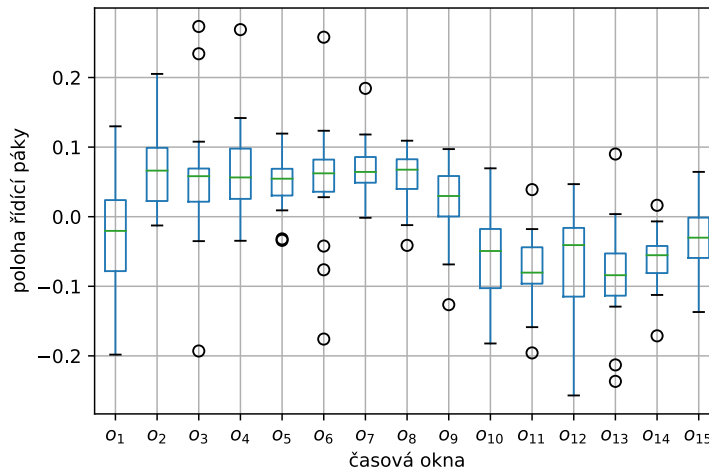
Obrázek A.30: Průběh v čase pro iluzi náklonu při prvním profilu - parametr Pitch.



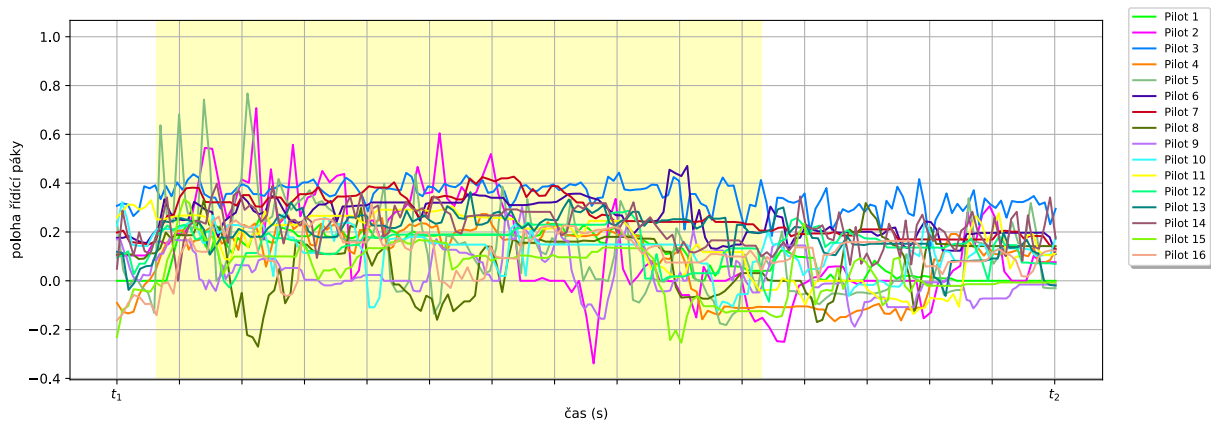
Obrázek A.31: Krabicový graf pro iluzi náklonu při prvním profilu - parametr Plynová přípušť. Z tohoto parametru nebyl zjištěn signifikantní rozdíl mezi žádnými okny.



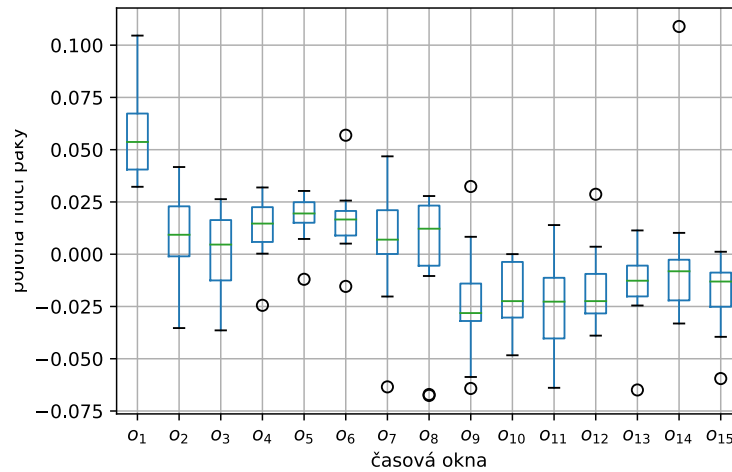
Obrázek A.32: Průběh v čase pro iluzi náklonu při prvním profilu - parametr Plynová přípušť.



Obrázek A.33: Krabicový graf pro iluzi náklonu při prvním profilu - parametr Poloha řídicí páky v rovině pitch. Z tohoto parametru byl zjištěn signifikantní rozdíl mezi okny {2} a {11, 13, 14}, {3} a {13, 14}, {4} a {11, 12, 13, 14}, {5} a {11, 12, 13, 14}, {6} a {11, 12, 13, 14, 15}, {7} a {10, 11, 12, 13, 14, 15}, {8} a {10, 11, 12, 13, 14, 15}, {10} a {7, 8}, {11} a {2, 4, 5, 6, 7, 8}, {12} a {4, 5, 6, 7, 8}, {13} a {2, 3, 4, 5, 6, 7, 8}, {14} a {2, 3, 4, 5, 6, 7, 8}, {15} a {6, 7, 8}.



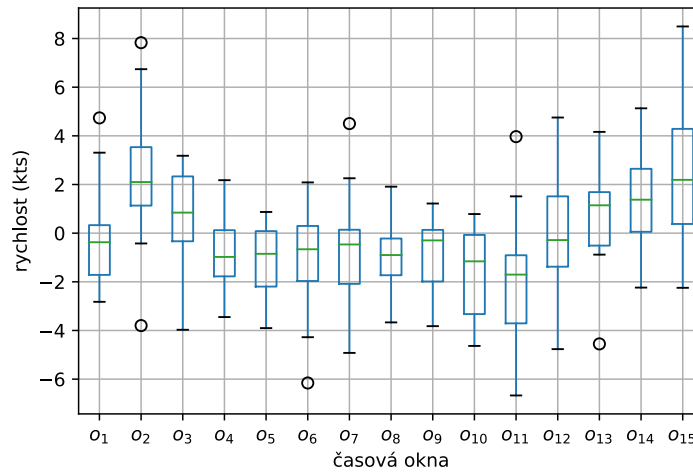
Obrázek A.34: Průběh v čase pro iluzi náklonu při prvním profilu - parametr Poloha řídicí páky v rovině pitch.



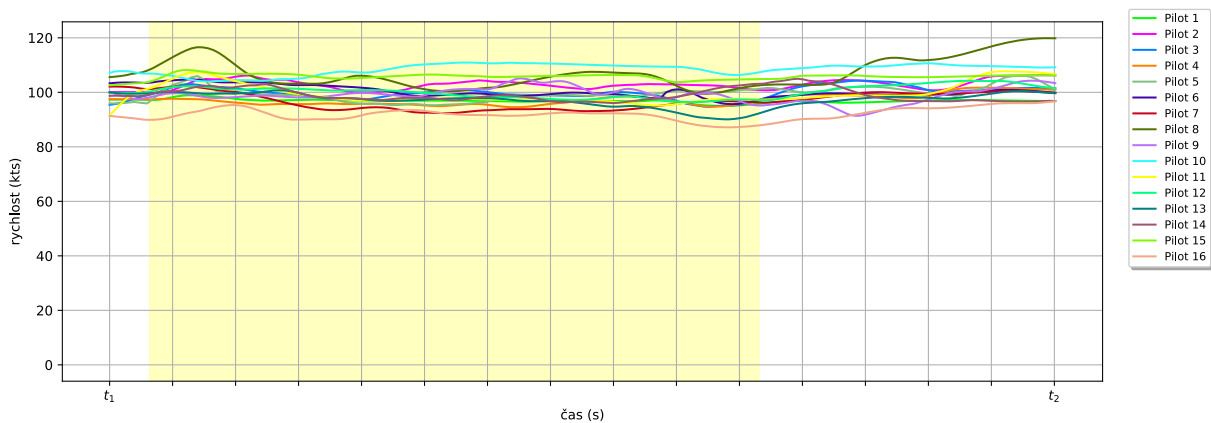
Obrázek A.35: Krabicový graf pro iluzi náklonu při prvním profilu - parametr Poloha řídicí páky v rovině roll). Z tohoto parametru byl zjištěn signifikantní rozdíl mezi okny {1} a {3, 9, 10, 11, 12, 13, 14, 15}, {3} a {1}, {5} a {9}, {6} a {9}, {9} a {1, 5, 6}, {10} a {1}, {11} a {1}, {12} a {1}, {13} a {1}, {14} a {1}, {15} a {1}.



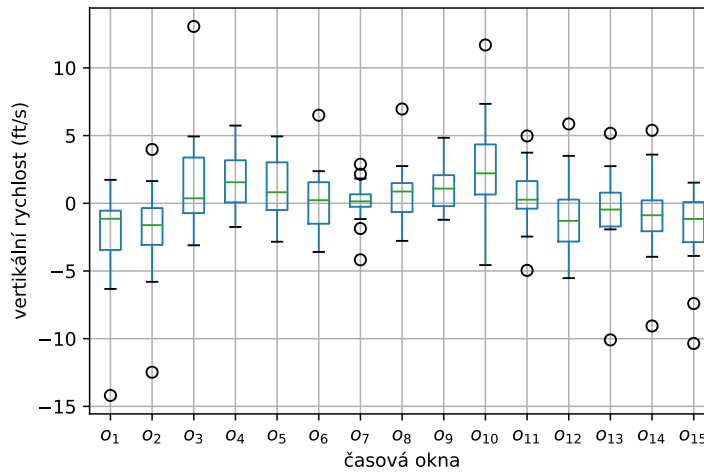
Obrázek A.36: Průběh v čase pro iluzi náklonu při prvním profilu - parametr Poloha řídicí páky v rovině roll).



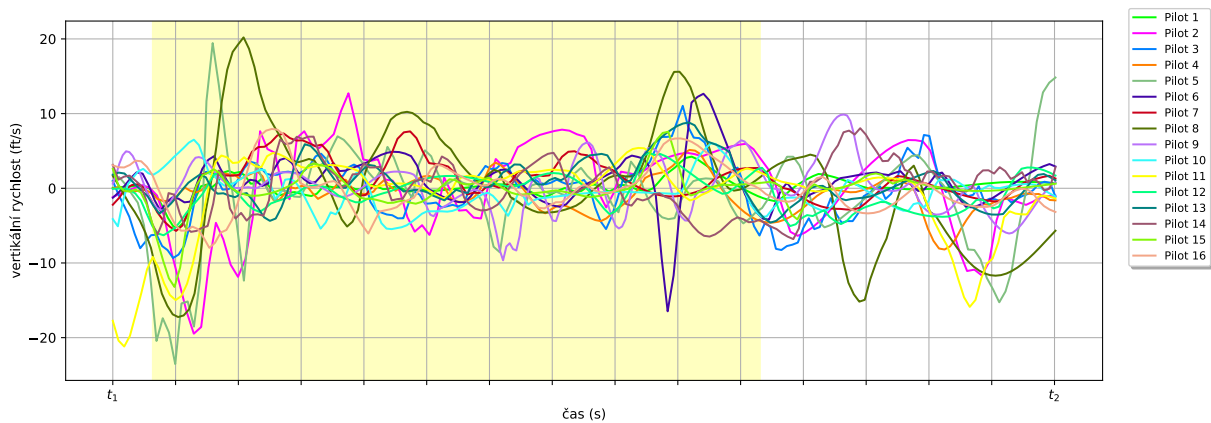
Obrázek A.37: Krabicový graf pro iluzi náklonu při prvním profilu - parametr Rychlost. Z tohoto parametru byl zjištěn signifikantní rozdíl mezi okny {2} a {5, 6, 8, 10, 11}, {3} a {11}, {5} a {2, 15}, {6} a {2}, {8} a {2, 15}, {10} a {2, 15}, {11} a {2, 3, 13, 14, 15}, {13} a {11}, {14} a {11}, {15} a {5, 8, 10, 11}.



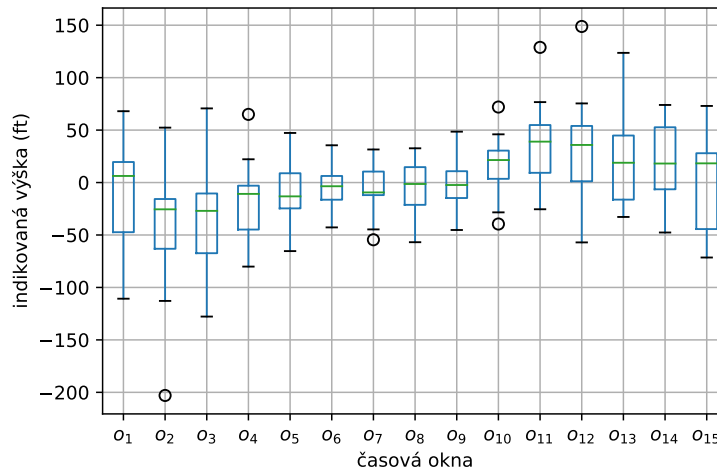
Obrázek A.38: Průběh v čase pro iluzi náklonu při prvním profilu - parametr Rychlost.



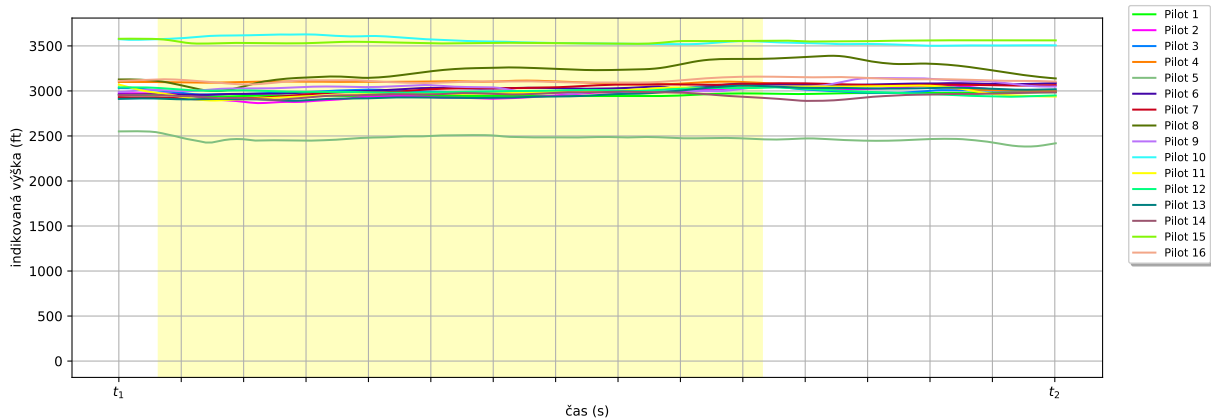
Obrázek A.39: Krabicový graf pro iluzi náklonu při prvním profilu - parametr Vertikální rychlost. Z tohoto parametru byl zjištěn signifikantní rozdíl mezi okny {1} a {3, 4, 9, 10}, {2} a {10}, {3} a {1}, {4} a {1}, {9} a {1}, {10} a {1, 2, 12}, {12} a {10}.



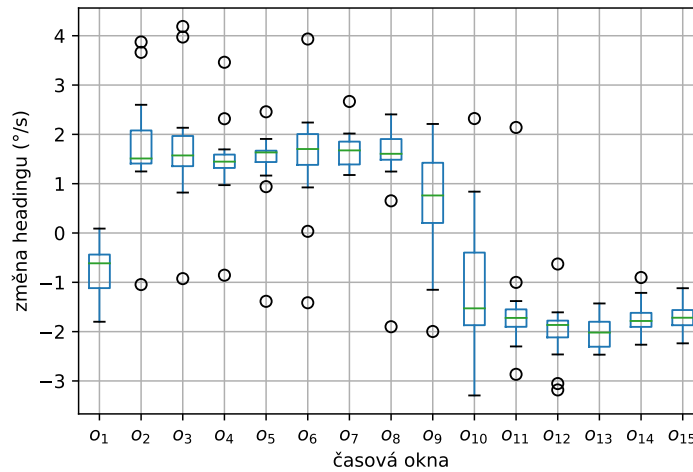
Obrázek A.40: Průběh v čase pro iluzi náklonu při prvním profilu - parametr Vertikální rychlost.



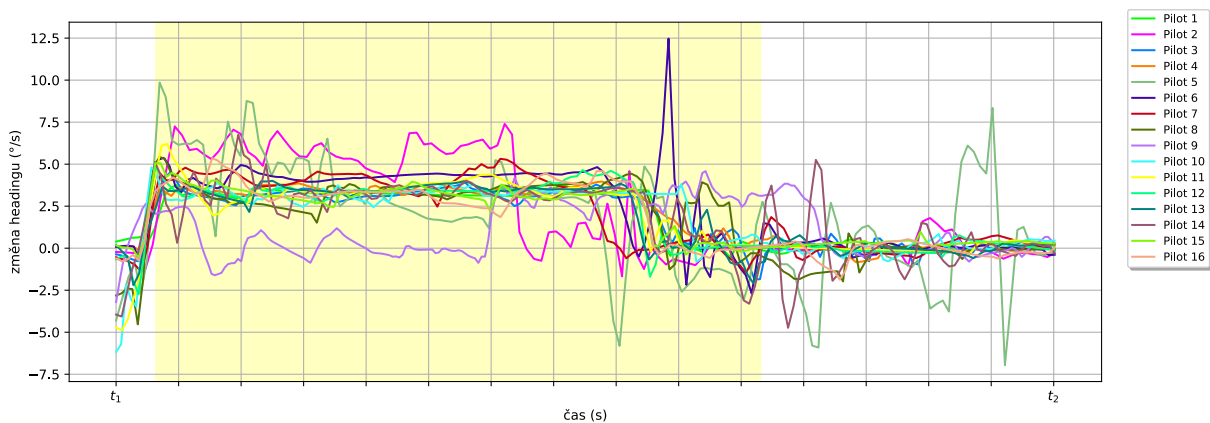
Obrázek A.41: Krabicový graf pro iluzi náklonu při prvním profilu - parametr Výška. Z tohoto parametru byl zjištěn signifikantní rozdíl mezi okny {2} a {10, 11, 12}, {3} a {11, 12}, {10} a {2}, {11} a {2, 3}, {12} a {2, 3}.



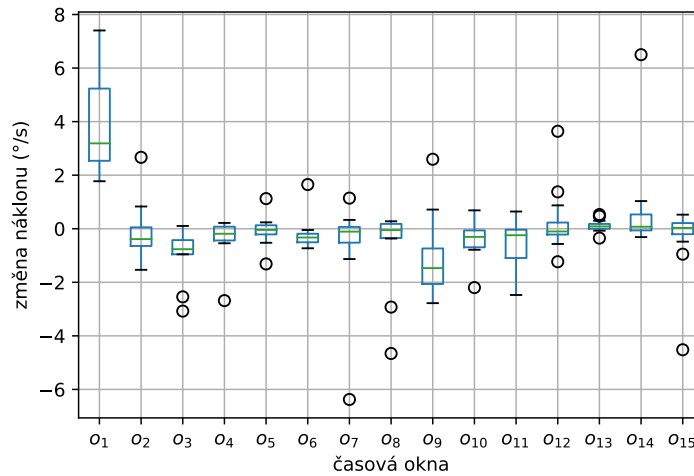
Obrázek A.42: Průběh v čase pro iluzi náklonu při prvním profilu - parametr Výška.



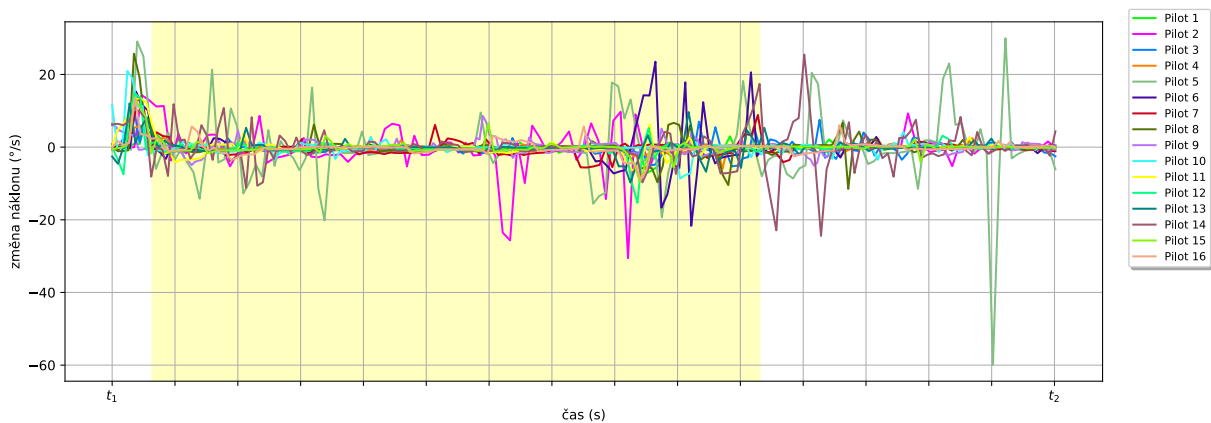
Obrázek A.43: Krabicový graf pro iluzi náklonu při prvním profilu - parametr Změna headingu. Z tohoto parametru byl zjištěn signifikantní rozdíl mezi okny {1} a {8}, {2} a {10, 11, 12, 13, 14, 15}, {3} a {10, 11, 12, 13, 14, 15}, {4} a {11, 12, 13, 14, 15}, {5} a {11, 12, 13, 14, 15}, {6} a {10, 11, 12, 13, 14, 15}, {7} a {10, 11, 12, 13, 14, 15}, {8} a {1, 10, 11, 12, 13, 14, 15}, {9} a {12, 13}, {10} a {2, 3, 6, 7, 8}, {11} a {2, 3, 4, 5, 6, 7, 8}, {12} a {2, 3, 4, 5, 6, 7, 8, 9}, {13} a {2, 3, 4, 5, 6, 7, 8, 9}, {14} a {2, 3, 4, 5, 6, 7, 8}, {15} a {2, 3, 4, 5, 6, 7, 8}.



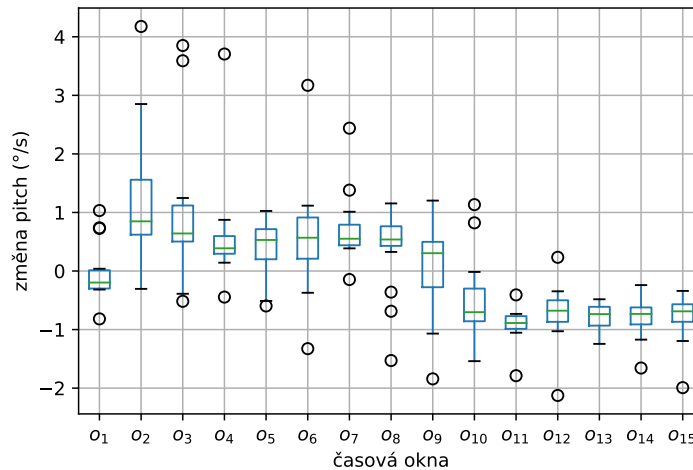
Obrázek A.44: Průběh v čase pro iluzi náklonu při prvním profilu - parametr Změna headingu.



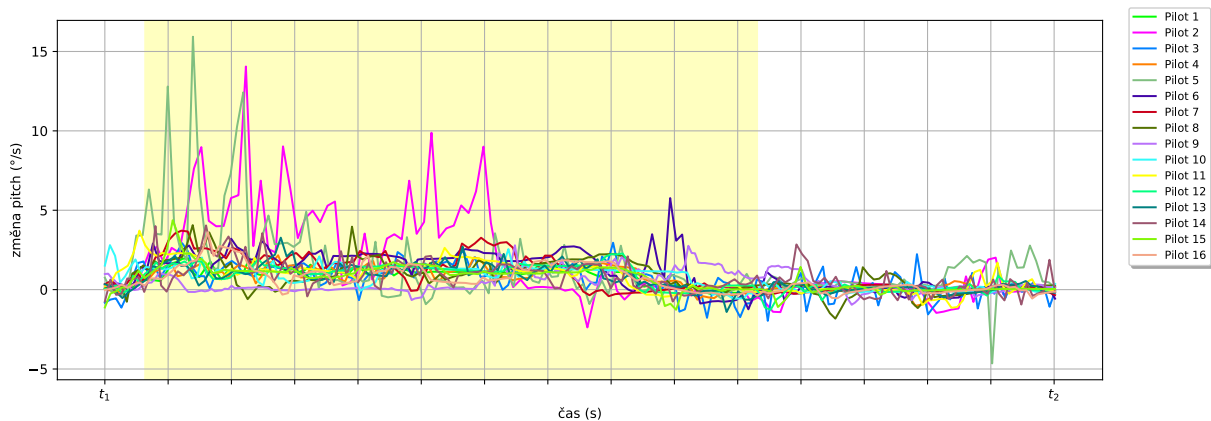
Obrázek A.45: Krabicový graf pro iluzi náklonu při prvním profilu - parametr Změna náklonu. Z tohoto parametru byl zjištěn signifikantní rozdíl mezi okny {1} a {2, 3, 4, 6, 7, 8, 9, 10, 11}, {2} a {1}, {3} a {1}, {4} a {1}, {6} a {1}, {7} a {1}, {8} a {1}, {9} a {1, 14}, {10} a {1}, {11} a {1}, {14} a {9}.



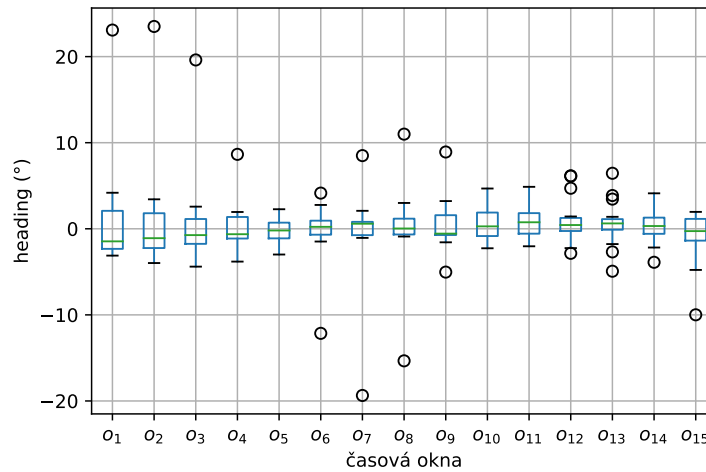
Obrázek A.46: Průběh v čase pro iluzi náklonu při prvním profilu - parametr Změna náklonu.



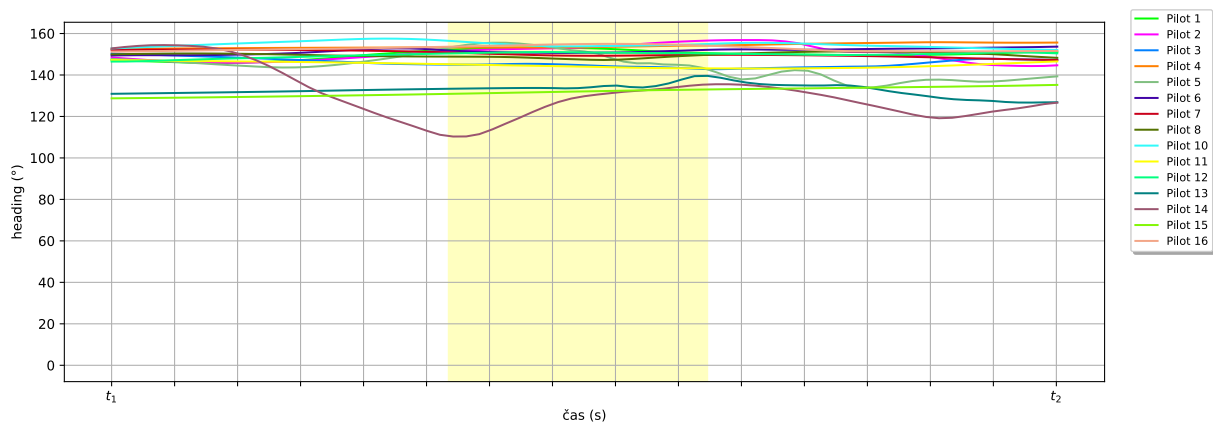
Obrázek A.47: Krabicový graf pro iluzi náklonu při prvním profilu - parametr Změna pitch. Z tohoto parametru byl zjištěn signifikantní rozdíl mezi okny {1} a {11}, {2} a {10, 11, 12, 13, 14, 15}, {3} a {10, 11, 12, 13, 14, 15}, {4} a {11, 13, 14}, {5} a {11, 13, 14, 15}, {6} a {10, 11, 13, 14, 15}, {7} a {10, 11, 12, 13, 14, 15}, {8} a {10, 11, 12, 13, 14, 15}, {9} a {11}, {10} a {2, 3, 6, 7, 8}, {11} a {1, 2, 3, 4, 5, 6, 7, 8, 9}, {12} a {2, 3, 7, 8}, {13} a {2, 3, 4, 5, 6, 7, 8}, {14} a {2, 3, 4, 5, 6, 7, 8}, {15} a {2, 3, 5, 6, 7, 8}.



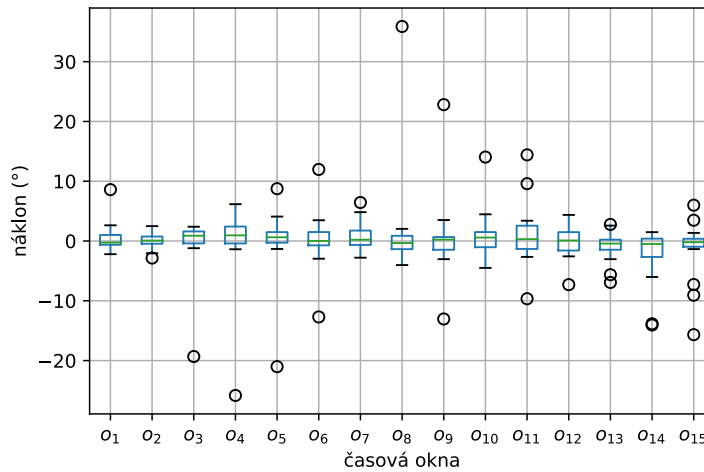
Obrázek A.48: Průběh v čase pro iluzi náklonu při prvním profilu - parametr Změna pitch.



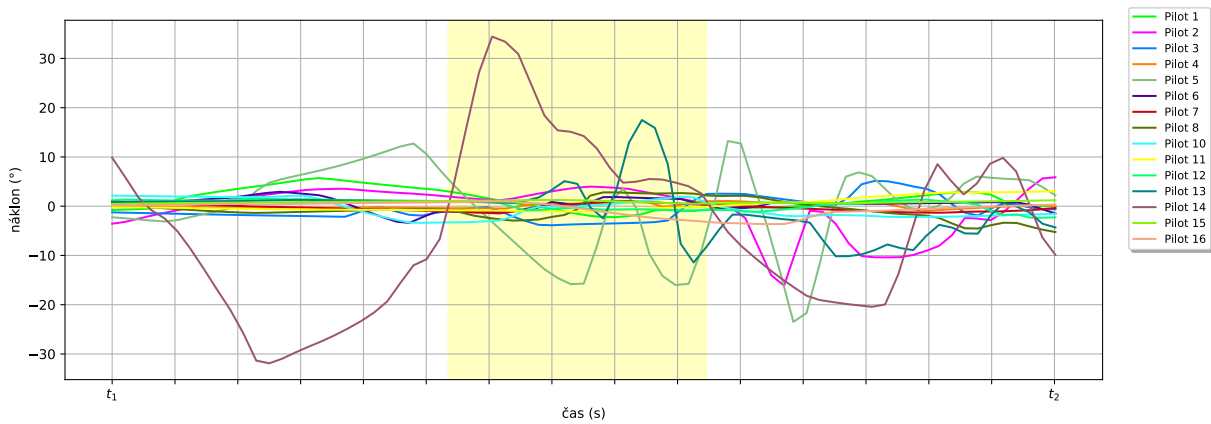
Obrázek A.49: Krabicový graf pro somatogravickou iluzi při prvním profilu - parametr Heading. Z tohoto parametru nebyl zjištěn signifikantní rozdíl mezi žádnými okny.



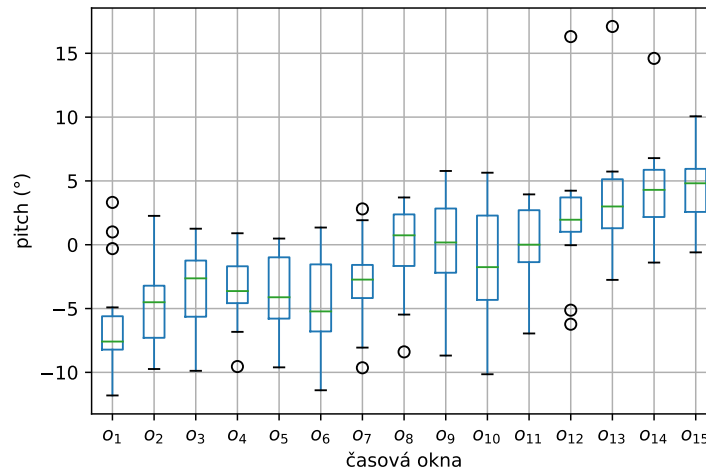
Obrázek A.50: Průběh v čase pro somatogravickou iluzi při prvním profilu - parametr Heading.



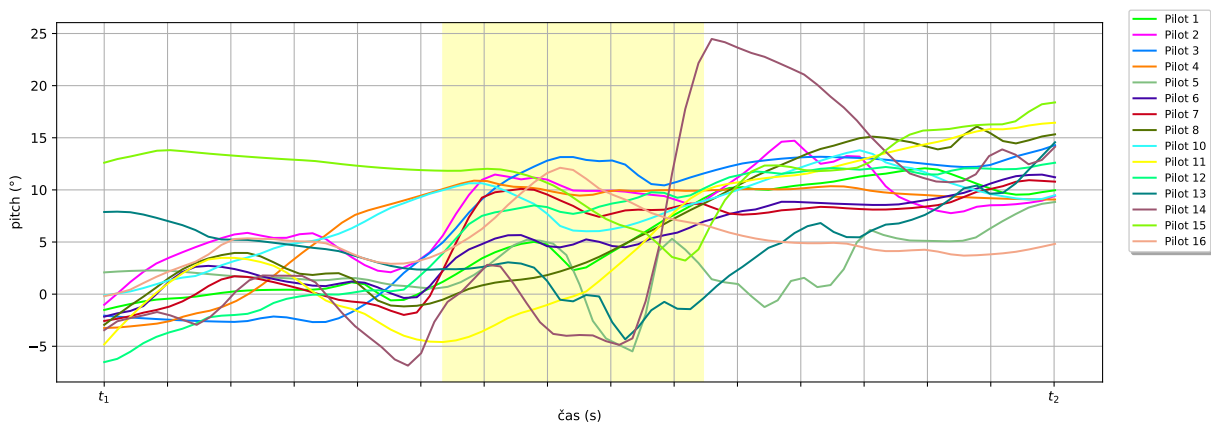
Obrázek A.51: Krabicový graf pro somatogravickou iluzi při prvním profilu - parametr Náklon. Z tohoto parametru nebyl zjištěn signifikantní rozdíl mezi žádnými okny.



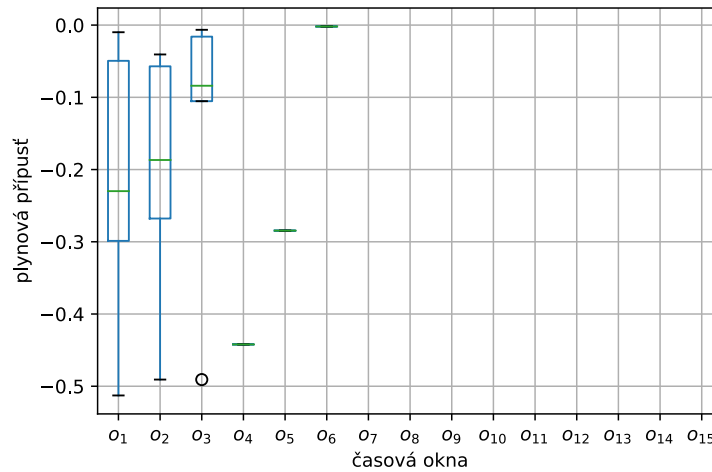
Obrázek A.52: Průběh v čase pro somatogravickou iluzi při prvním profilu - parametr Náklon.



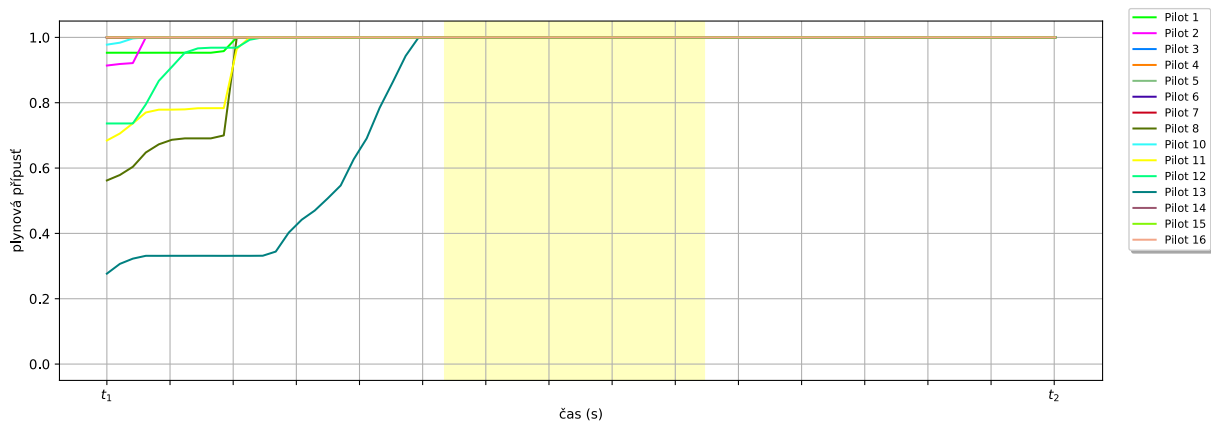
Obrázek A.53: Krabicový graf pro somatogravickou iluzi při prvním profilu - parametr Pitch. Z tohoto parametru byl zjištěn signifikantní rozdíl mezi okny {1} a {12, 13, 14, 15}, {2} a {14, 15}, {3} a {14, 15}, {4} a {14, 15}, {5} a {14, 15}, {6} a {12, 13, 14, 15}, {7} a {14, 15}, {10} a {15}, {12} a {1, 6}, {13} a {1, 6}, {14} a {1, 2, 3, 4, 5, 6, 7}, {15} a {1, 2, 3, 4, 5, 6, 7, 10}.



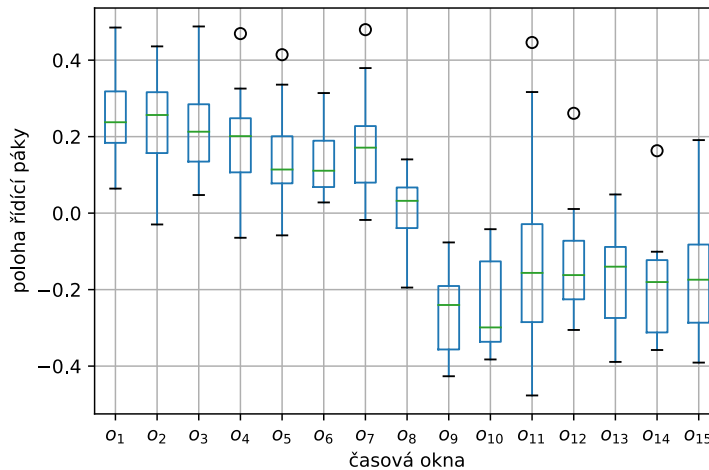
Obrázek A.54: Průběh v čase pro somatogravickou iluzi při prvním profilu - parametr Pitch.



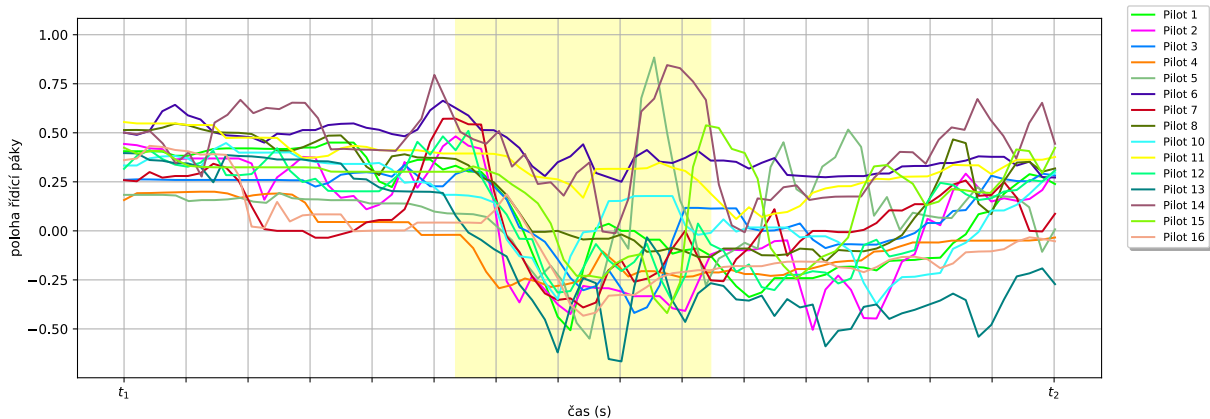
Obrázek A.55: Krabicový graf pro somatogravickou iluzi při prvním profilu - parametr Plynová přípust. Z tohoto parametru byl zjištěn signifikantní rozdíl mezi okny {1} a {4, 5, 6}, {2} a {6}, {3} a {6}, {4} a {1}, {5} a {1}, {6} a {1, 2, 3}.



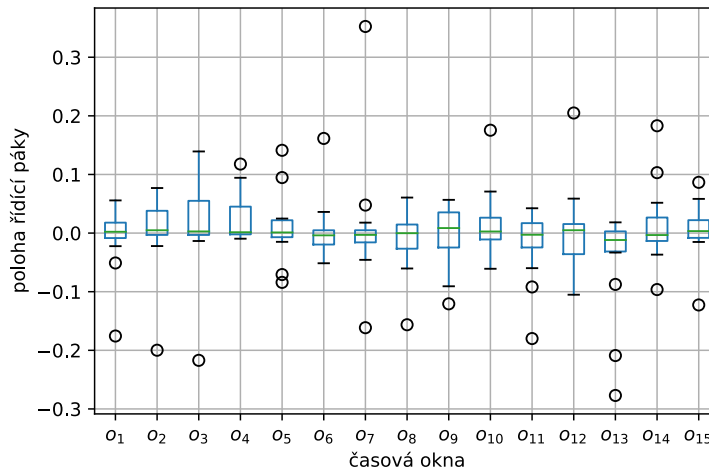
Obrázek A.56: Průběh v čase pro somatogravickou iluzi při prvním profilu - parametr Plynová přípust.



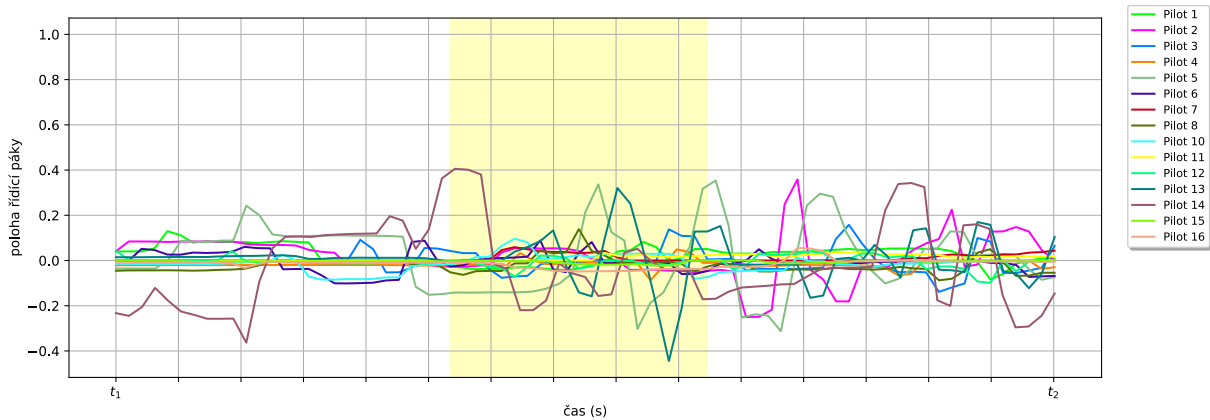
Obrázek A.57: Krabicový graf pro somatogravickou iluzi při prvním profilu - parametr Poloha řídicí páky v rovině pitch. Z tohoto parametru byl zjištěn signifikantní rozdíl mezi okny {1} a {9, 10, 11, 12, 13, 14, 15}, {2} a {9, 10, 11, 12, 13, 14, 15}, {3} a {9, 10, 11, 12, 13, 14, 15}, {4} a {9, 10, 11, 12, 13, 14, 15}, {5} a {9, 10, 13, 14}, {6} a {9, 10}, {7} a {9, 10, 13, 14, 15}, {9} a {1, 2, 3, 4, 5, 6, 7}, {10} a {1, 2, 3, 4, 5, 6, 7}, {11} a {1, 2, 3, 4}, {12} a {1, 2, 3, 4}, {13} a {1, 2, 3, 4, 5, 7}, {14} a {1, 2, 3, 4, 5, 7}, {15} a {1, 2, 3, 4, 7}.



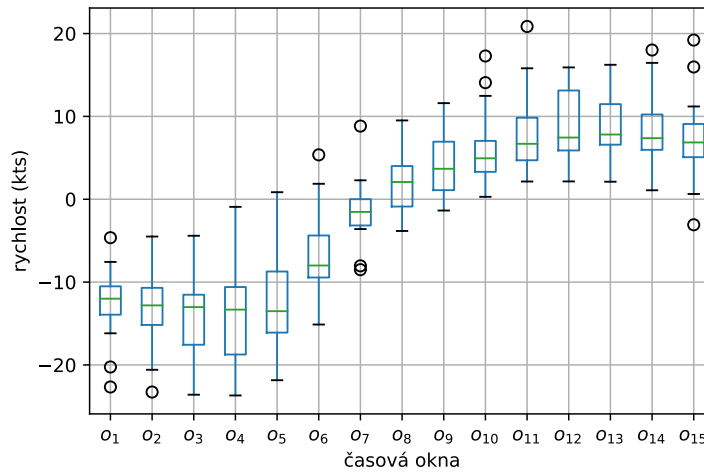
Obrázek A.58: Průběh v čase pro somatogravickou iluzi při prvním profilu - parametr Poloha řídicí páky v rovině pitch.



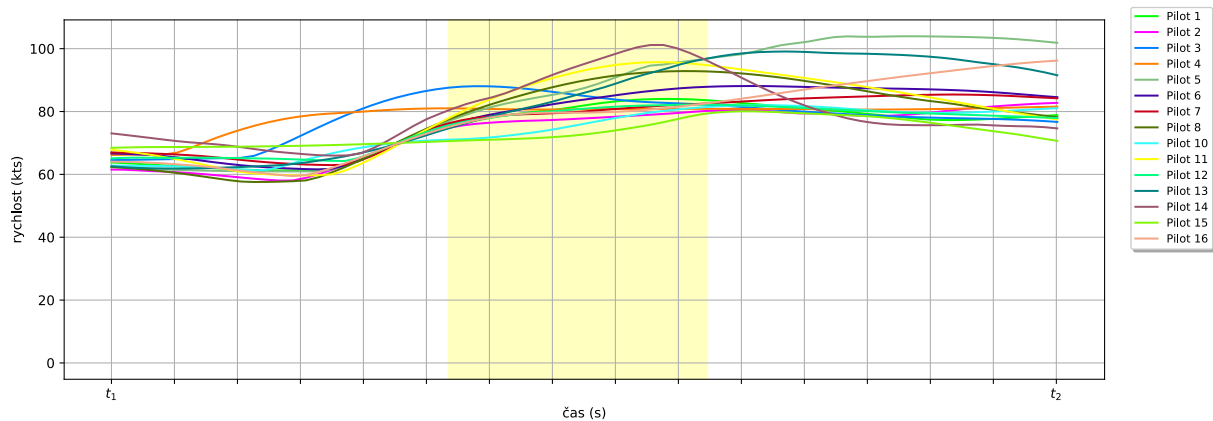
Obrázek A.59: Krabicový graf pro somatogravickou iluzi při prvním profilu - parametr Poloha řídicí páky v rovině roll). Z tohoto parametru nebyl zjištěn signifikantní rozdíl mezi žádnými okny.



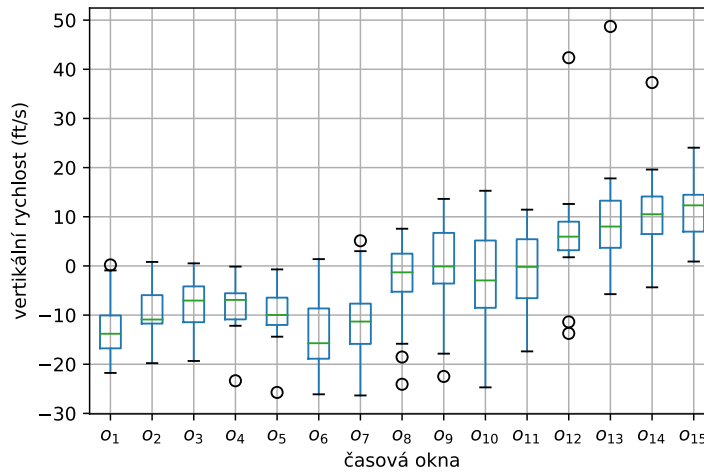
Obrázek A.60: Průběh v čase pro somatogravickou iluzi při prvním profilu - parametr Poloha řídicí páky v rovině roll).



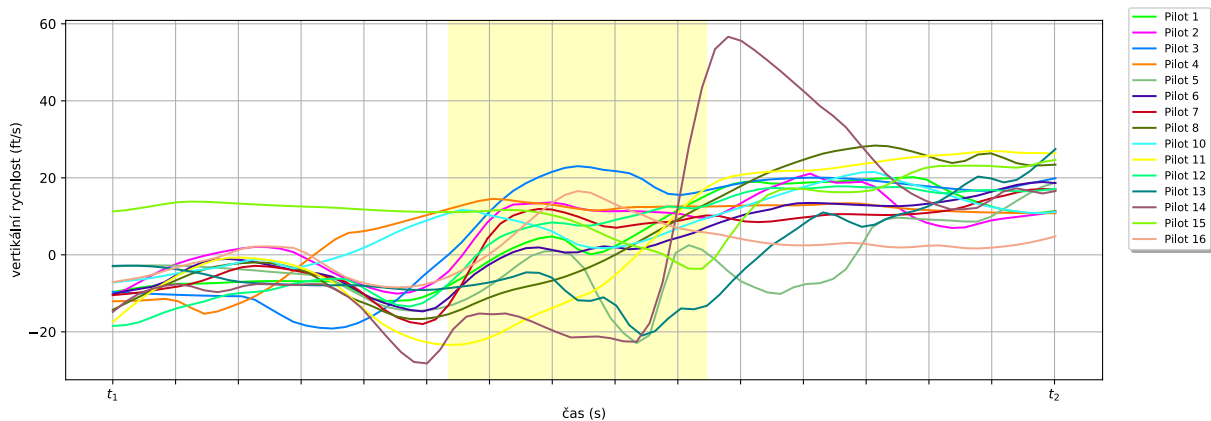
Obrázek A.61: Krabicový graf pro somatogravickou iluzi při prvním profilu - parametr Rychlost. Z tohoto parametru byl zjištěn signifikantní rozdíl mezi okny {1} a {9, 10, 11, 12, 13, 14, 15}, {2} a {8, 9, 10, 11, 12, 13, 14, 15}, {3} a {8, 9, 10, 11, 12, 13, 14, 15}, {4} a {7, 8, 9, 10, 11, 12, 13, 14, 15}, {5} a {9, 10, 11, 12, 13, 14, 15}, {6} a {11, 12, 13, 14}, {7} a {4}, {8} a {2, 3, 4}, {9} a {1, 2, 3, 4, 5}, {10} a {1, 2, 3, 4, 5}, {11} a {1, 2, 3, 4, 5, 6}, {12} a {1, 2, 3, 4, 5, 6}, {13} a {1, 2, 3, 4, 5, 6}, {14} a {1, 2, 3, 4, 5, 6}, {15} a {1, 2, 3, 4, 5}.



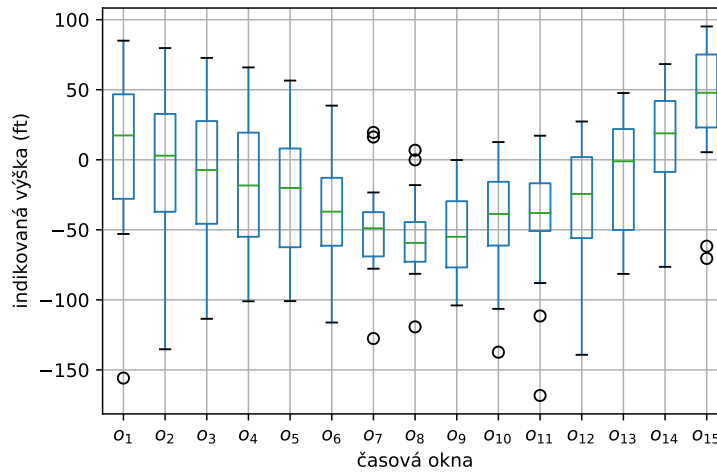
Obrázek A.62: Průběh v čase pro somatogravickou iluzi při prvním profilu - parametr Rychlost.



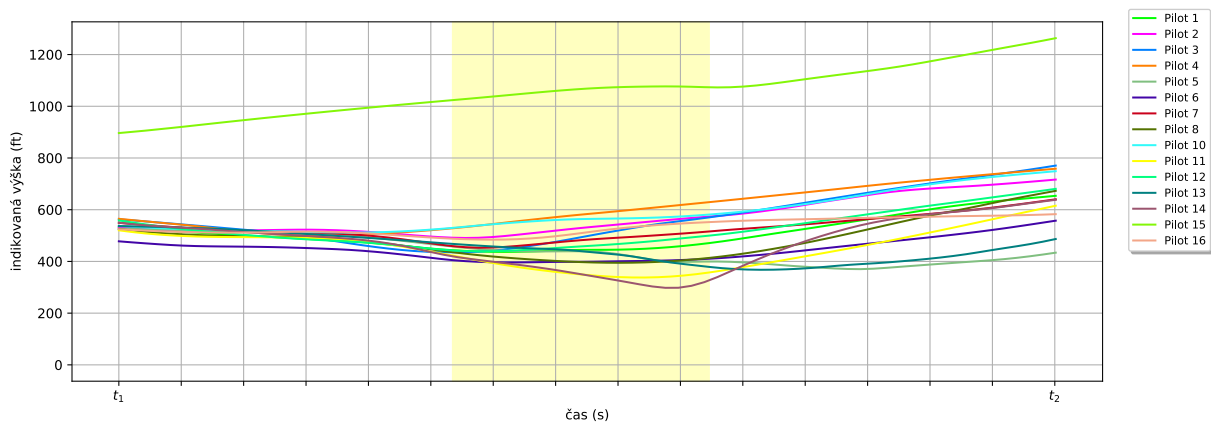
Obrázek A.63: Krabicový graf pro somatogravickou iluzi při prvním profilu - parametr Vertikální rychlost. Z tohoto parametru byl zjištěn signifikantní rozdíl mezi okny {1} a {12, 13, 14, 15}, {2} a {13, 14, 15}, {3} a {14, 15}, {4} a {14, 15}, {5} a {13, 14, 15}, {6} a {9, 11, 12, 13, 14, 15}, {7} a {9, 12, 13, 14, 15}, {8} a {15}, {9} a {6, 7}, {10} a {15}, {11} a {6}, {12} a {1, 6, 7}, {13} a {1, 2, 5, 6, 7}, {14} a {1, 2, 3, 4, 5, 6, 7, 8, 10}.



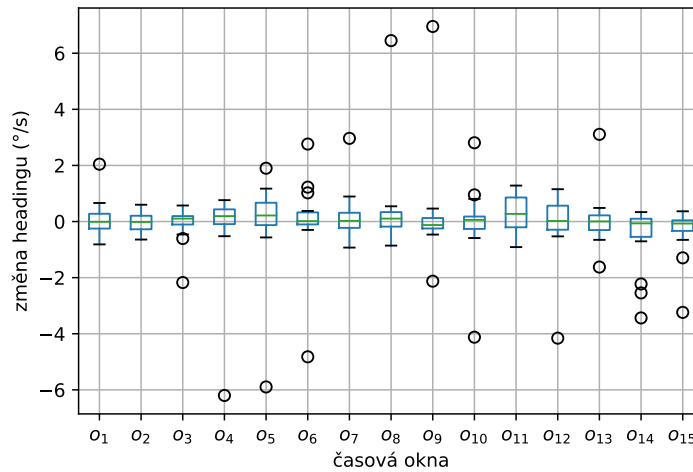
Obrázek A.64: Průběh v čase pro somatogravickou iluzi při prvním profilu - parametr Vertikální rychlost.



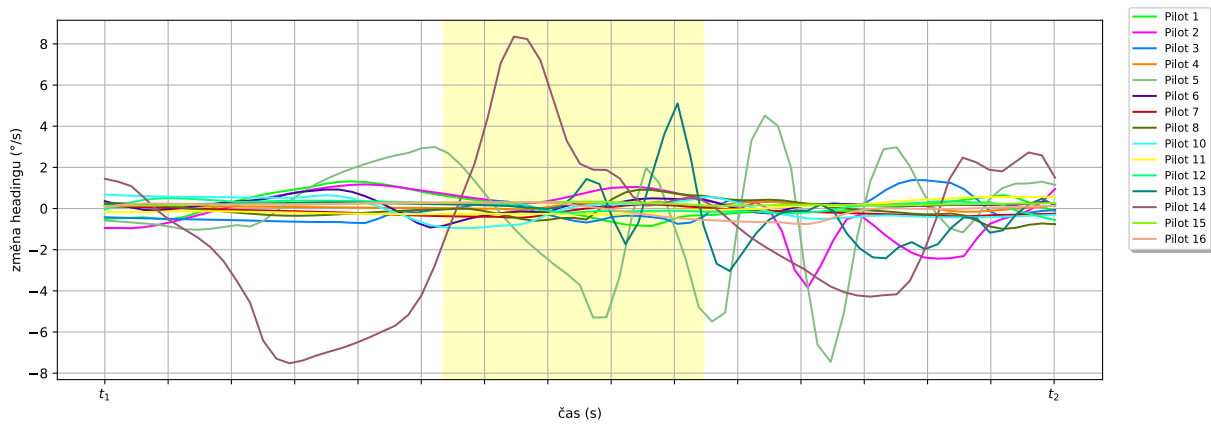
Obrázek A.65: Krabicový graf pro somatogravickou iluzi při prvním profilu - parametr Výška. Z tohoto parametru byl zjištěn signifikantní rozdíl mezi okny {1} a {7, 8, 9, 10}, {2} a {8}, {5} a {15}, {6} a {15}, {7} a {1, 14, 15}, {8} a {1, 2, 14, 15}, {9} a {1, 14, 15}, {10} a {1, 15}, {11} a {15}, {14} a {7, 8, 9}, {15} a {5, 6, 7, 8, 9, 10, 11}.



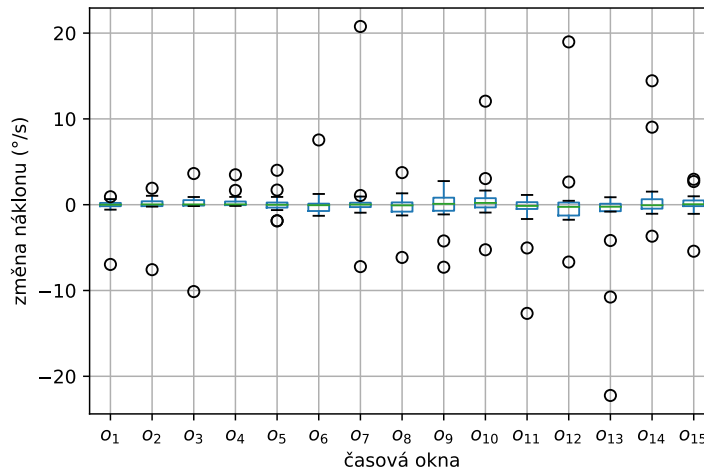
Obrázek A.66: Průběh v čase pro somatogravickou iluzi při prvním profilu - parametr Výška.



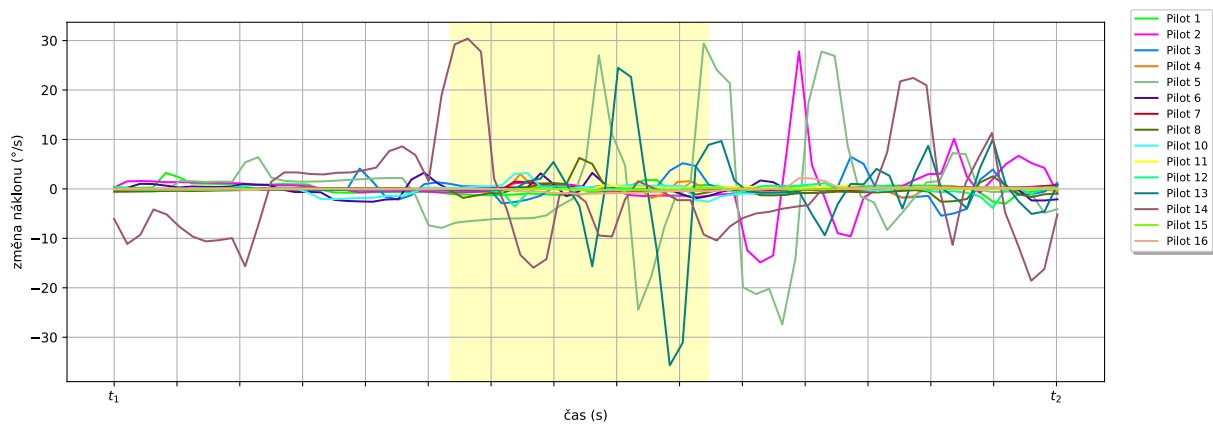
Obrázek A.67: Krabicový graf pro somatogravickou iluzi při prvním profilu - parametr Změna headingu. Z tohoto parametru nebyl zjištěn signifikantní rozdíl mezi žádnými okny.



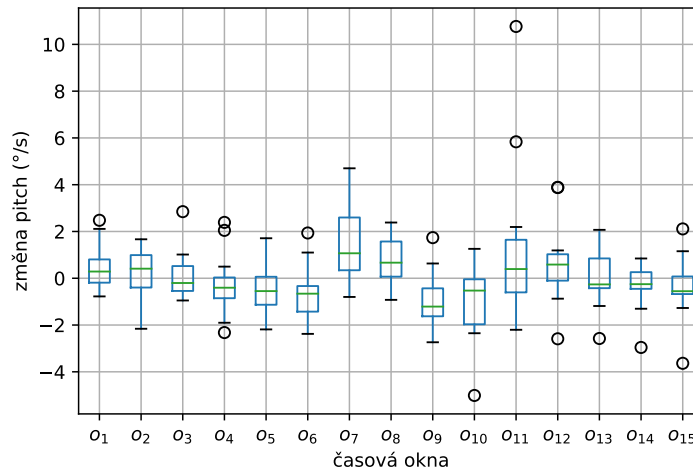
Obrázek A.68: Průběh v čase pro somatogravickou iluzi při prvním profilu - parametr Změna headingu.



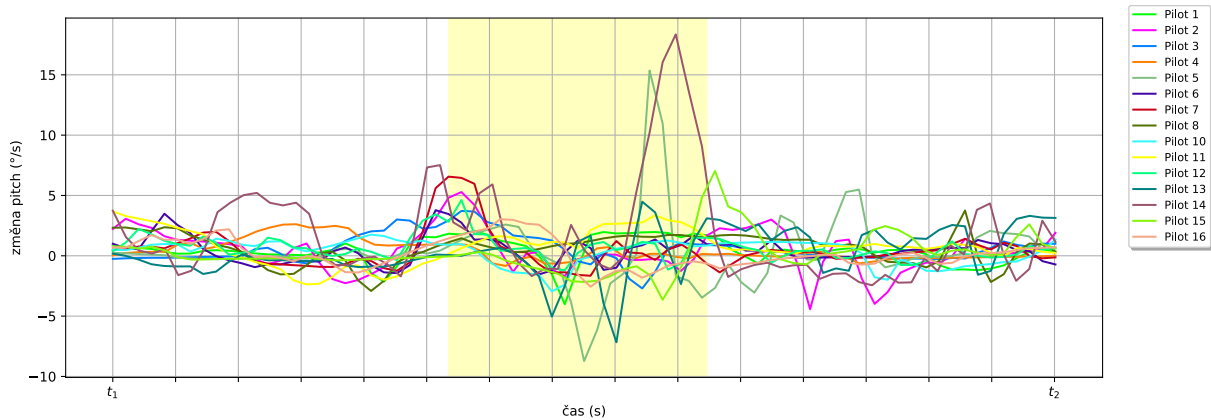
Obrázek A.69: Krabicový graf pro somatogravickou iluzi při prvním profilu - parametr Změna náklonu. Z tohoto parametru nebyl zjištěn signifikantní rozdíl mezi žádnými okny.



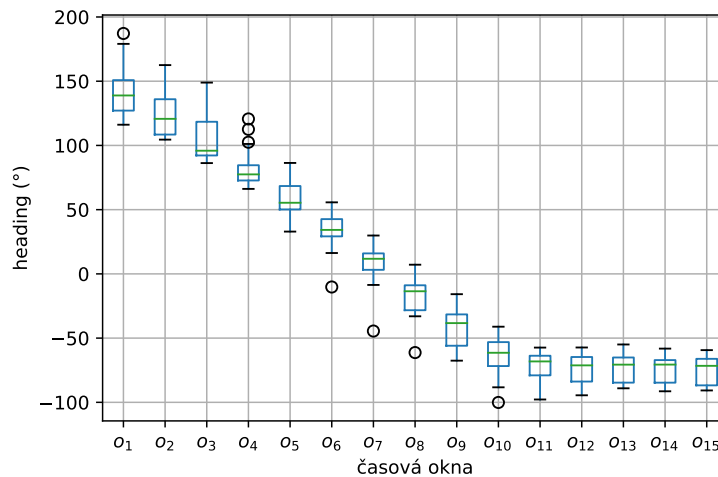
Obrázek A.70: Průběh v čase pro somatogravickou iluzi při prvním profilu - parametr Změna náklonu.



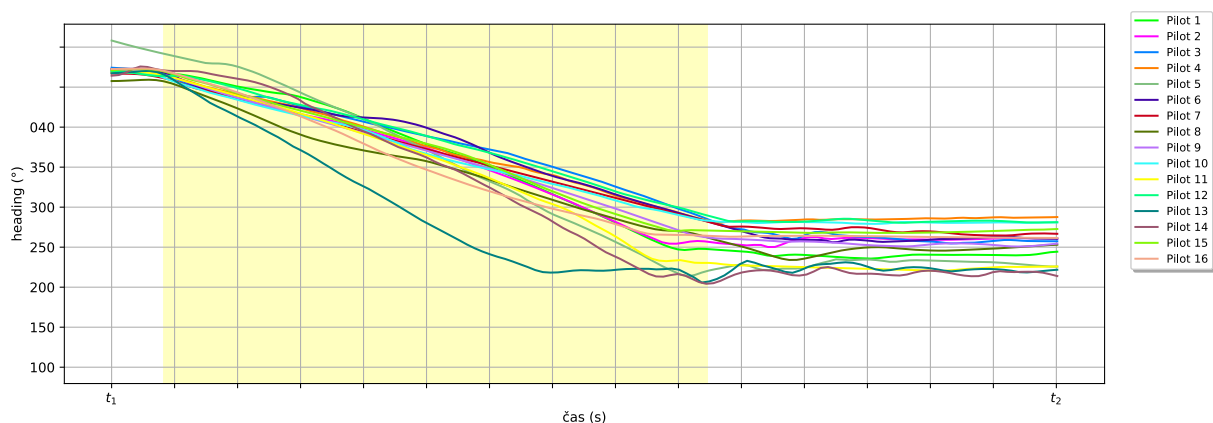
Obrázek A.71: Krabicový graf pro somatogravickou iluzi při prvním profilu - parametr Změna pitch. Z tohoto parametru byl zjištěn signifikantní rozdíl mezi okny {1} a {9}, {5} a {7}, {6} a {7}, {7} a {5, 6, 9, 10, 15}, {8} a {9}, {9} a {1, 7, 8}, {10} a {7}, {15} a {7}.



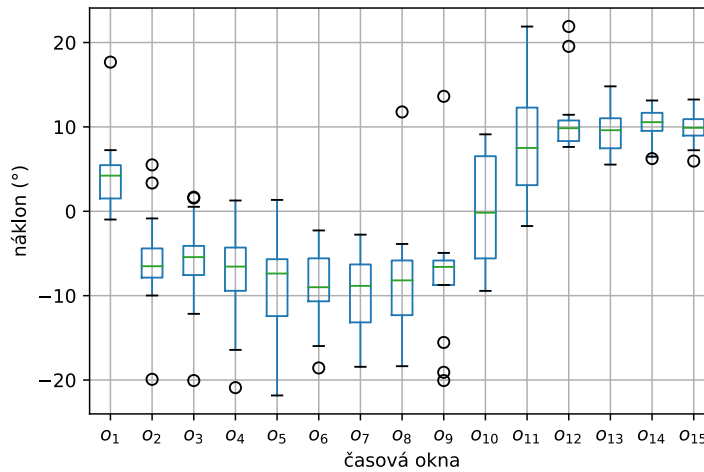
Obrázek A.72: Průběh v čase pro somatogravickou iluzi při prvním profilu - parametr Změna pitch.



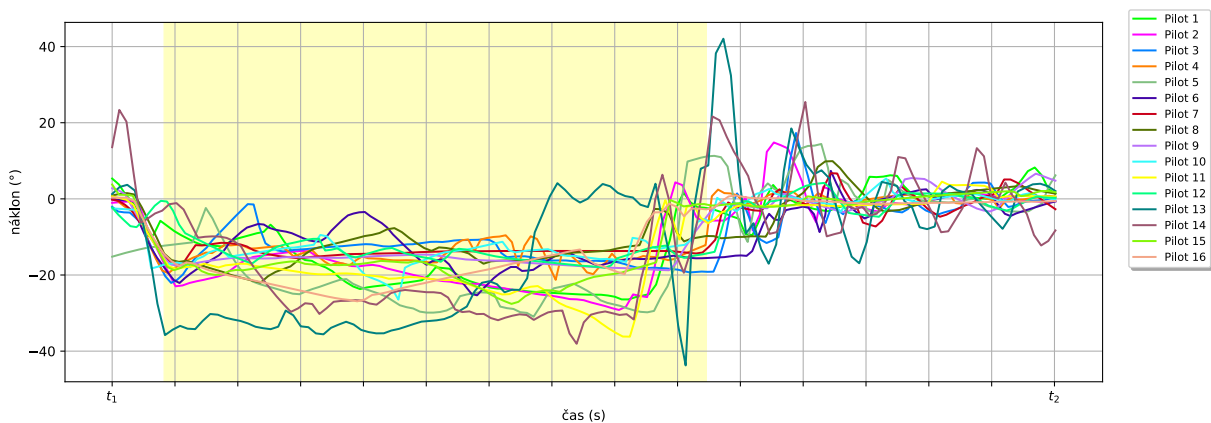
Obrázek A.73: Krabicový graf pro somatogyrální iluzi při prvním profilu - parametr Heading. Z tohoto parametru byl zjištěn signifikantní rozdíl mezi okny {1} a {7, 8, 9, 10, 11, 12, 13, 14, 15}, {2} a {8, 9, 10, 11, 12, 13, 14, 15}, {3} a {8, 9, 10, 11, 12, 13, 14, 15}, {4} a {10, 11, 12, 13, 14, 15}, {5} a {10, 11, 12, 13, 14, 15}, {6} a {11, 12, 13, 14, 15}, {7} a {1, 13, 14, 15}, {8} a {1, 2, 3}, {9} a {1, 2, 3}, {10} a {1, 2, 3, 4, 5}, {11} a {1, 2, 3, 4, 5, 6}, {12} a {1, 2, 3, 4, 5, 6}, {13} a {1, 2, 3, 4, 5, 6, 7}, {14} a {1, 2, 3, 4, 5, 6, 7}, {15} a {1, 2, 3, 4, 5, 6, 7}.



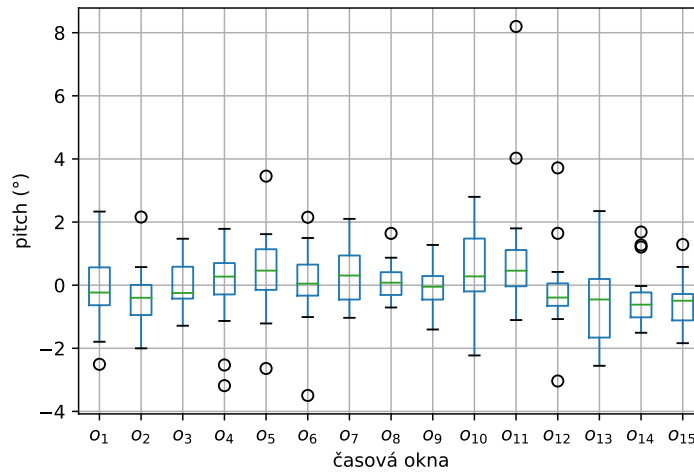
Obrázek A.74: Průběh v čase pro somatogyrální iluzi při prvním profilu - parametr Heading.



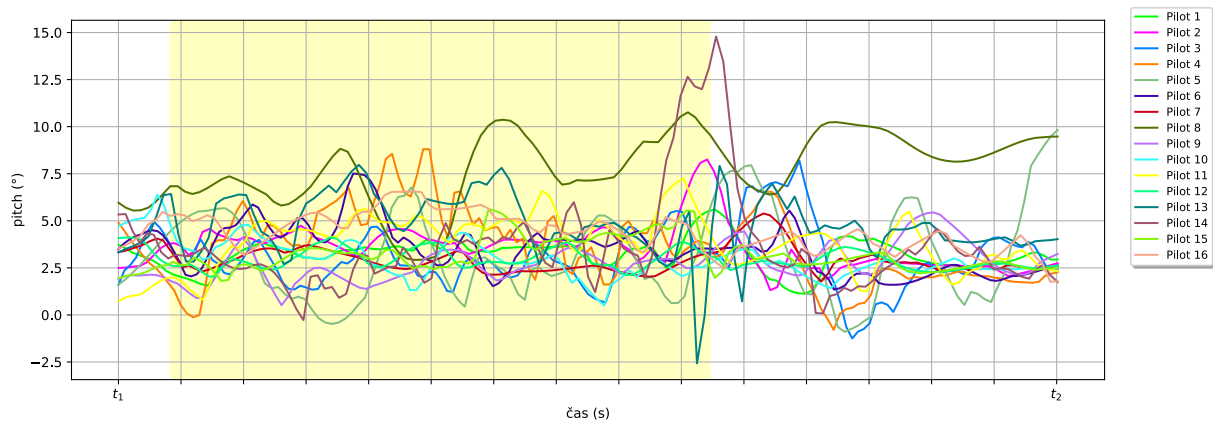
Obrázek A.75: Krabicový graf pro somatogyrální iluzi při prvním profilu - parametr Náklon. Z tohoto parametru byl zjištěn signifikantní rozdíl mezi okny {1} a {7, 8, 9}, {2} a {11, 12, 13, 14, 15}, {3} a {12, 13, 14, 15}, {4} a {11, 12, 13, 14, 15}, {5} a {11, 12, 13, 14, 15}, {6} a {11, 12, 13, 14, 15}, {7} a {1, 11, 12, 13, 14, 15}, {8} a {1, 11, 12, 13, 14, 15}, {9} a {1, 11, 12, 13, 14, 15}, {11} a {2, 4, 5, 6, 7, 8, 9}, {12} a {2, 3, 4, 5, 6, 7, 8, 9}, {13} a {2, 3, 4, 5, 6, 7, 8, 9}, {14} a {2, 3, 4, 5, 6, 7, 8, 9}, {15} a {2, 3, 4, 5, 6, 7, 8, 9}.



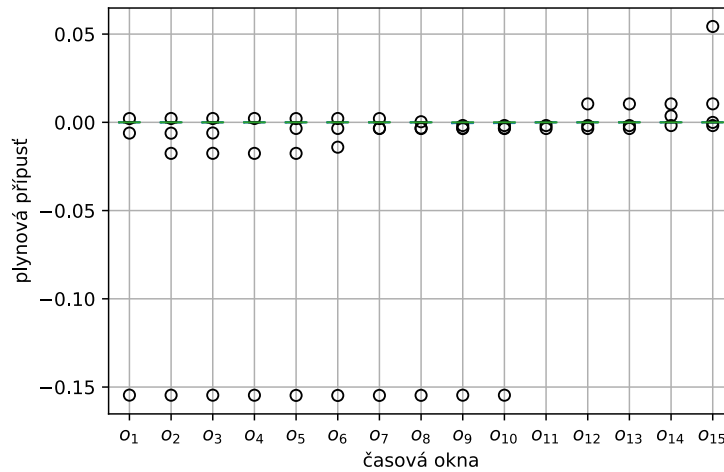
Obrázek A.76: Průběh v čase pro somatogyrální iluzi při prvním profilu - parametr Náklon.



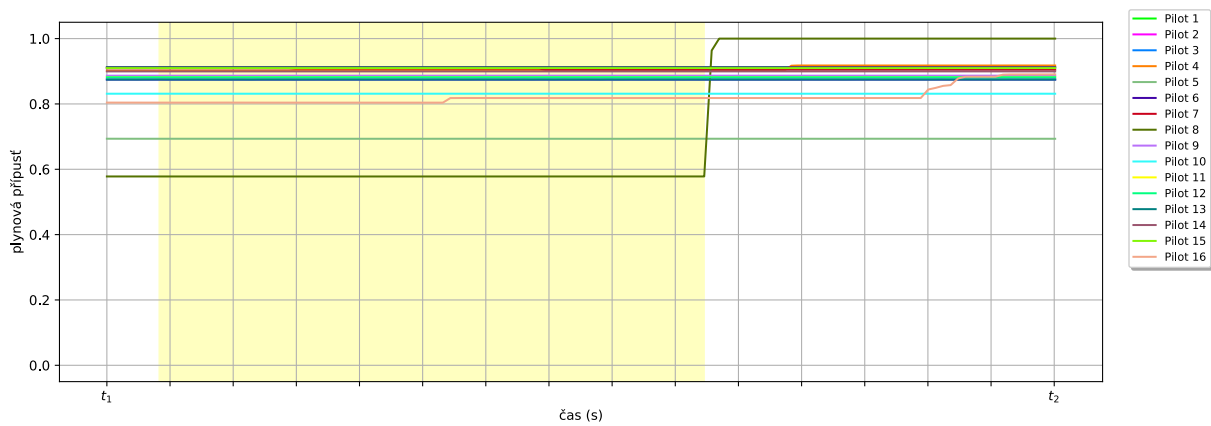
Obrázek A.77: Krabicový graf pro somatogyrální iluzi při prvním profilu - parametr Pitch. Z tohoto parametru nebyl zjištěn signifikantní rozdíl mezi žádnými okny.



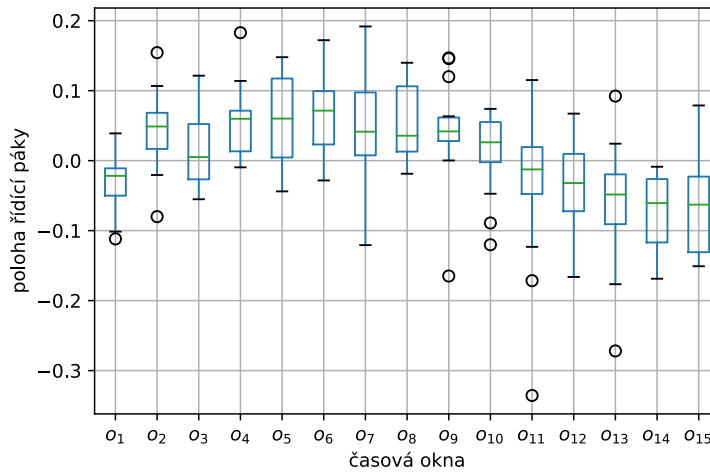
Obrázek A.78: Průběh v čase pro somatogyrální iluzi při prvním profilu - parametr Pitch.



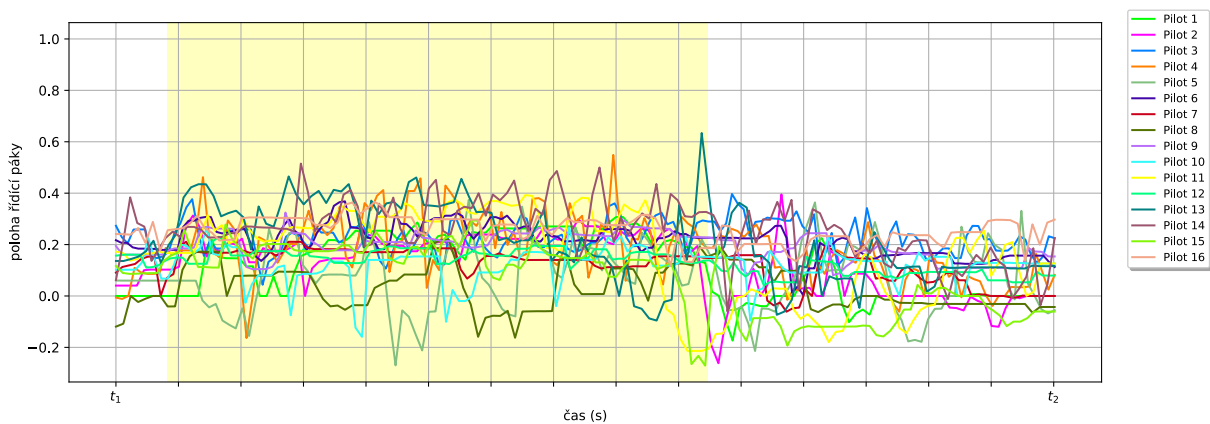
Obrázek A.79: Krabicový graf pro somatogyrální iluzi při prvním profilu - parametr Plynová přípust'. Z tohoto parametru nebyl zjištěn signifikantní rozdíl mezi žádnými okny.



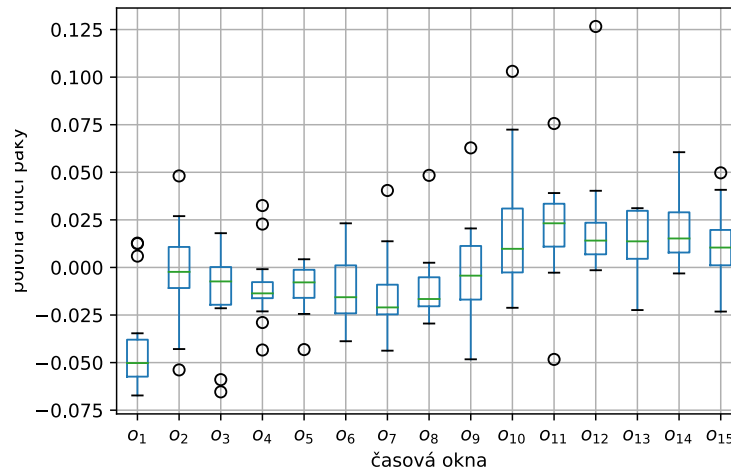
Obrázek A.80: Průběh v čase pro somatogyrální iluzi při prvním profilu - parametr Plynová přípust'.



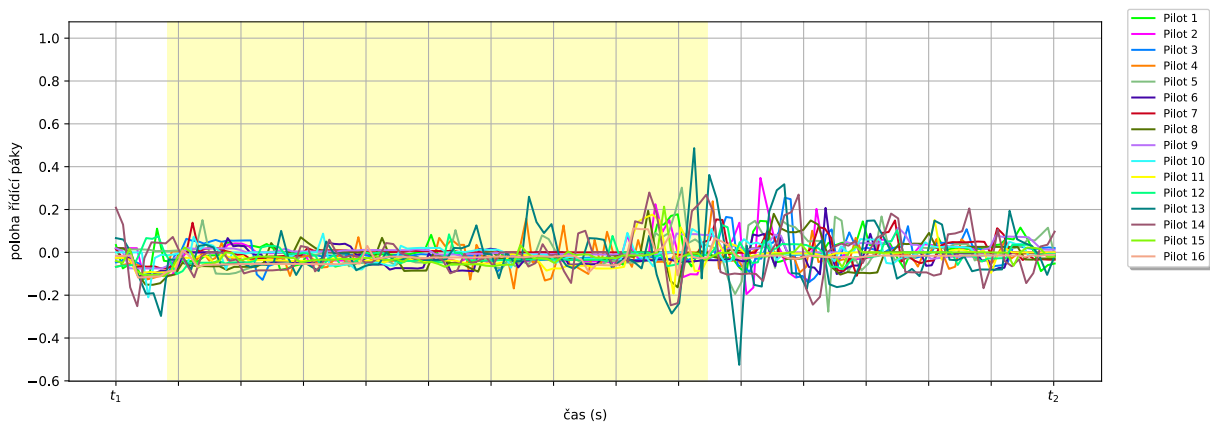
Obrázek A.81: Krabicový graf pro somatogyrální iluzi při prvním profilu - parametr Poloha řídicí páky v rovině pitch. Z tohoto parametru byl zjištěn signifikantní rozdíl mezi okny {1} a {4, 6, 8}, {2} a {14, 15}, {4} a {1, 13, 14, 15}, {5} a {13, 14, 15}, {6} a {1, 13, 14, 15}, {7} a {14, 15}, {8} a {1, 13, 14, 15}, {9} a {14, 15}, {13} a {4, 5, 6, 8}, {14} a {2, 4, 5, 6, 7, 8, 9}, {15} a {2, 4, 5, 6, 7, 8, 9}.



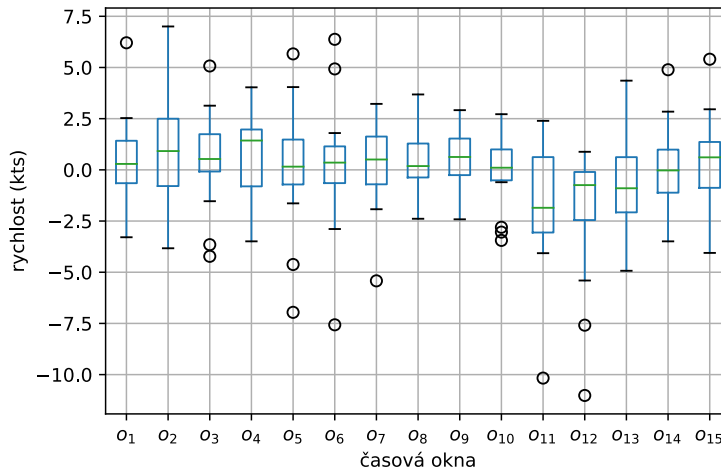
Obrázek A.82: Průběh v čase pro somatogyrální iluzi při prvním profilu - parametr Poloha řídicí páky v rovině pitch.



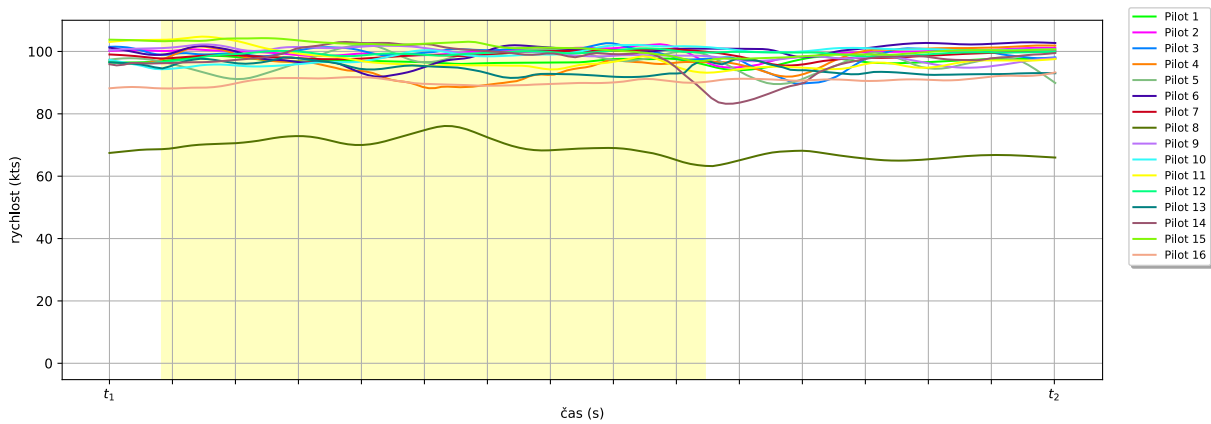
Obrázek A.83: Krabicový graf pro somatogyrální iluzi při prvním profilu - parametr Poloha řídicí páky v rovině roll). Z tohoto parametru byl zjištěn signifikantní rozdíl mezi okny {1} a {10, 11, 12, 13, 14, 15}, {7} a {11, 12, 14}, {10} a {1}, {11} a {1, 7}, {12} a {1, 7}, {13} a {1}, {14} a {1, 7}, {15} a {1}.



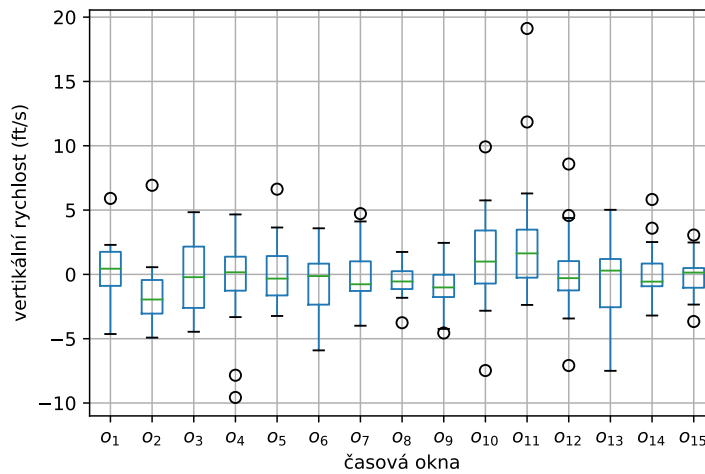
Obrázek A.84: Průběh v čase pro somatogyrální iluzi při prvním profilu - parametr Poloha řídicí páky v rovině roll).



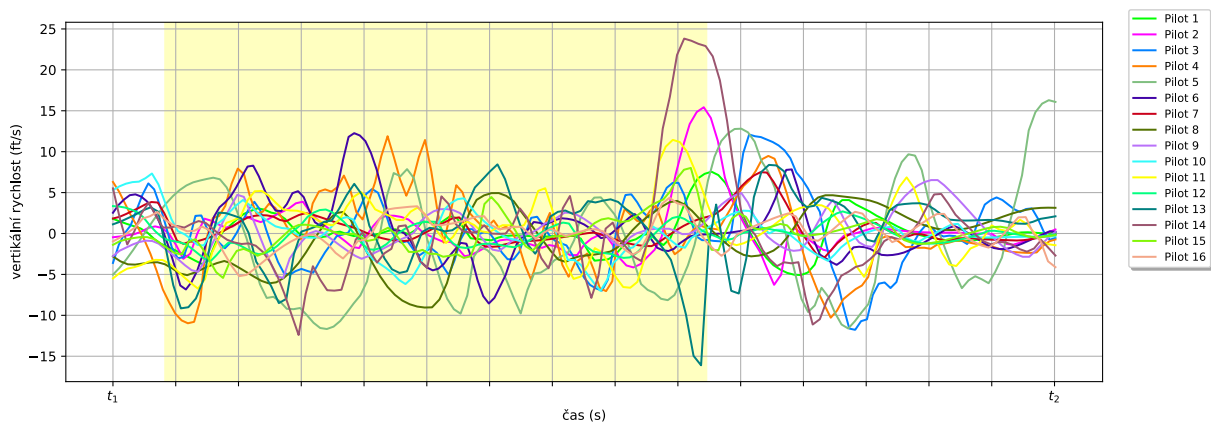
Obrázek A.85: Krabicový graf pro somatogyrální iluzi při prvním profilu - parametr Rychlost. Z tohoto parametru nebyl zjištěn signifikantní rozdíl mezi žádnými okny.



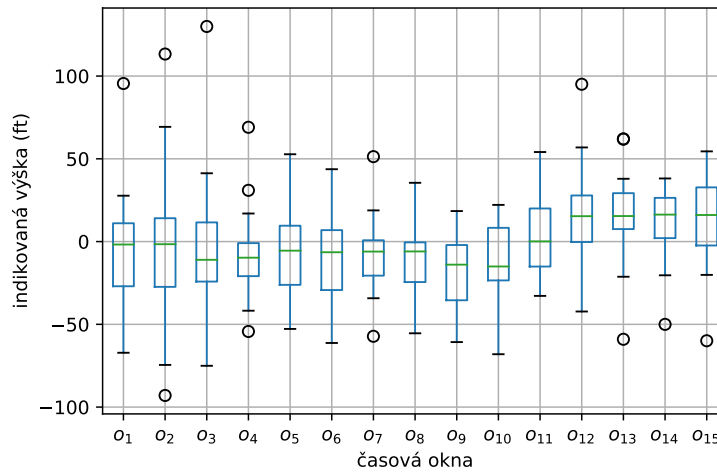
Obrázek A.86: Průběh v čase pro somatogyrální iluzi při prvním profilu - parametr Rychlost.



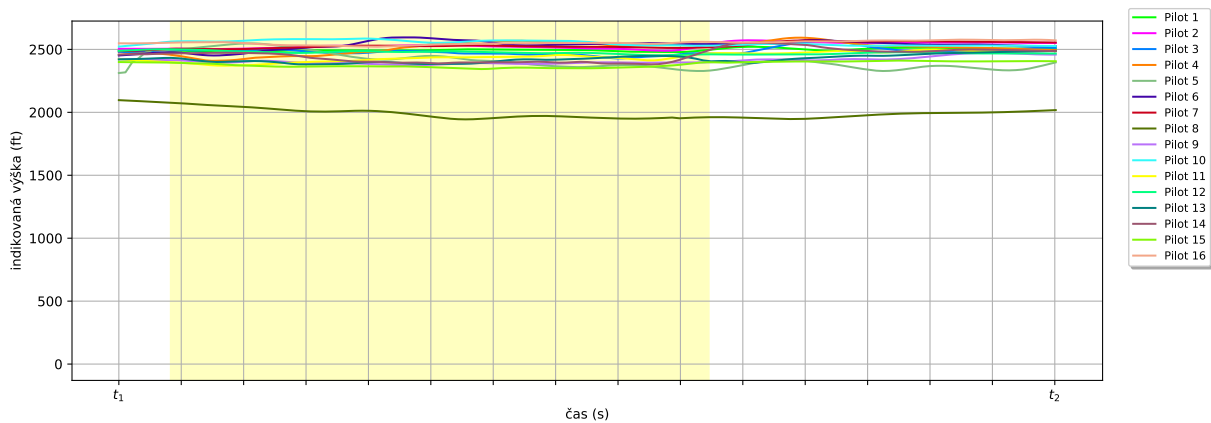
Obrázek A.87: Krabicový graf pro somatogyrální iluzi při prvním profilu - parametr Vertikální rychlost. Z tohoto parametru nebyl zjištěn signifikantní rozdíl mezi žádnými okny.



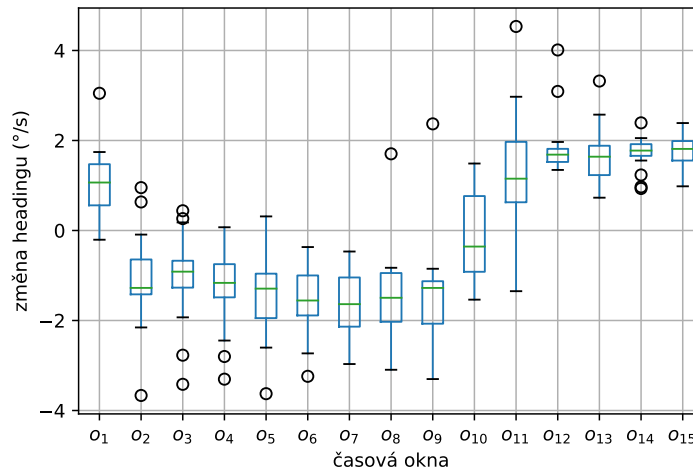
Obrázek A.88: Průběh v čase pro somatogyrální iluzi při prvním profilu - parametr Vertikální rychlost.



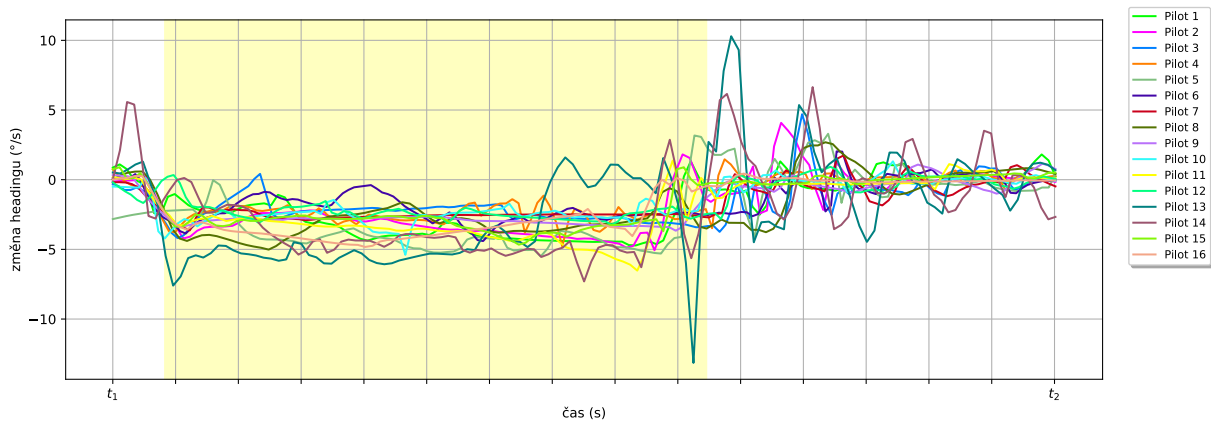
Obrázek A.89: Krabicový graf pro somatogyrální iluzi při prvním profilu - parametr Výška. Z tohoto parametru byl zjištěn signifikantní rozdíl mezi okny {9} a {13}, {10} a {13}, {13} a {9, 10}.



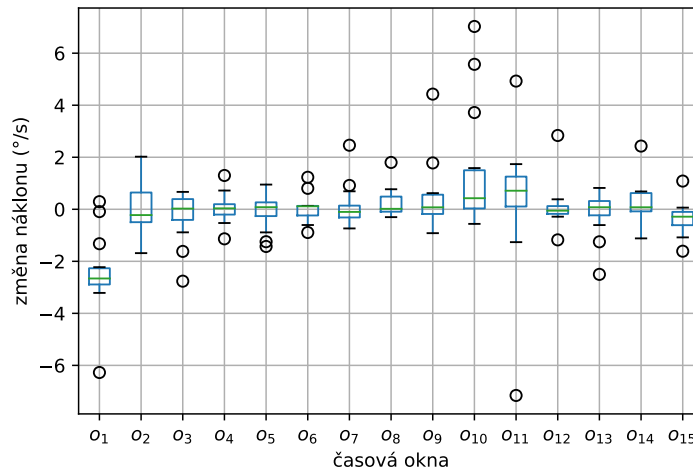
Obrázek A.90: Průběh v čase pro somatogyrální iluzi při prvním profilu - parametr Výška.



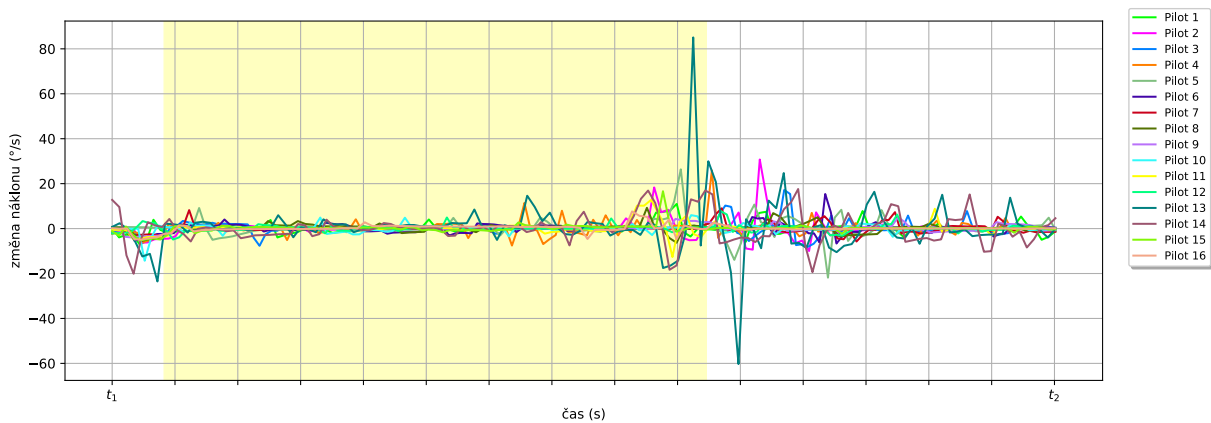
Obrázek A.91: Krabicový graf pro somatogyrální iluzi při prvním profilu - parametr Změna headingu. Z tohoto parametru byl zjištěn signifikantní rozdíl mezi okny {1} a {2, 6, 7, 8, 9}, {2} a {1, 11, 12, 13, 14, 15}, {3} a {12, 13, 14, 15}, {4} a {11, 12, 13, 14, 15}, {5} a {11, 12, 13, 14, 15}, {6} a {1, 11, 12, 13, 14, 15}, {7} a {1, 11, 12, 13, 14, 15}, {8} a {1, 11, 12, 13, 14, 15}, {9} a {1, 11, 12, 13, 14, 15}, {10} a {12, 14, 15}, {11} a {2, 4, 5, 6, 7, 8, 9}, {12} a {2, 3, 4, 5, 6, 7, 8, 9, 10}, {13} a {2, 3, 4, 5, 6, 7, 8, 9}, {14} a {2, 3, 4, 5, 6, 7, 8, 9, 10}, {15} a {2, 3, 4, 5, 6, 7, 8, 9, 10}.



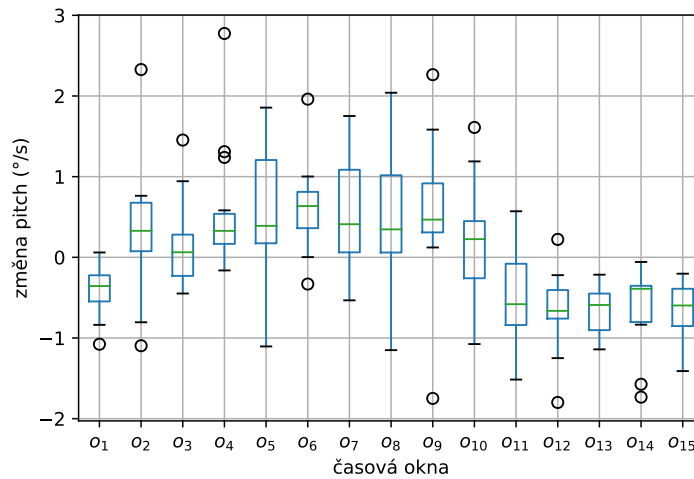
Obrázek A.92: Průběh v čase pro somatogyrální iluzi při prvním profilu - parametr Změna headingu.



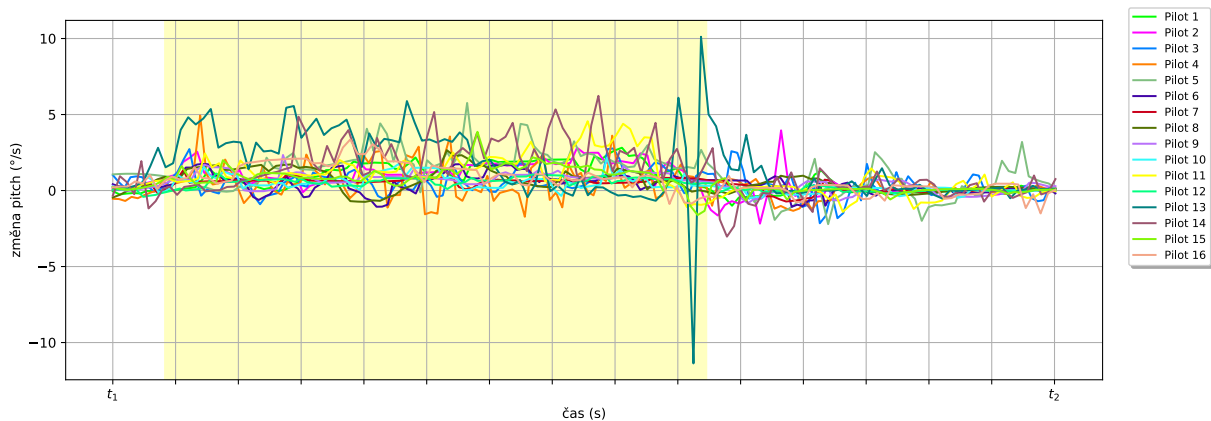
Obrázek A.93: Krabicový graf pro somatogyrální iluzi při prvním profilu - parametr Změna náklonu. Z tohoto parametru byl zjištěn signifikantní rozdíl mezi okny {1} a {5, 6, 9, 10, 11, 14}, {5} a {1}, {6} a {1}, {9} a {1}, {10} a {1}, {11} a {1}, {14} a {1}.



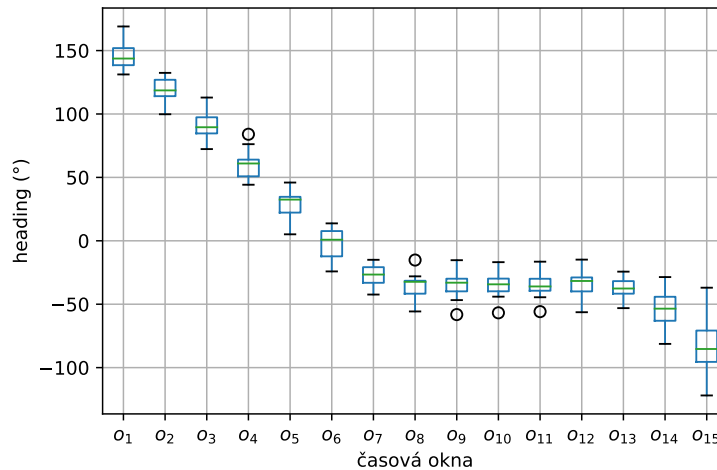
Obrázek A.94: Průběh v čase pro somatogyrální iluzi při prvním profilu - parametr Změna náklonu.



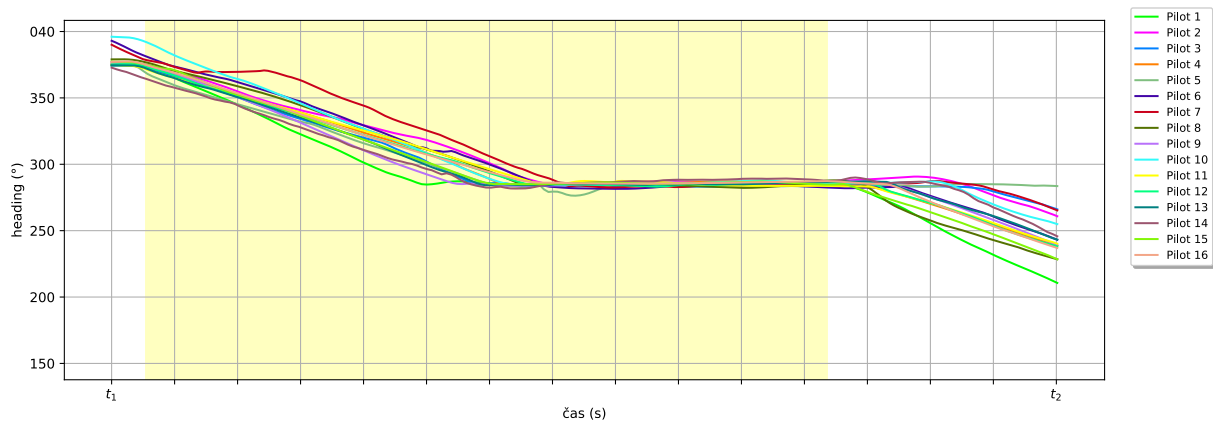
Obrázek A.95: Krabicový graf pro somatogyrální iluzi při prvním profilu - parametr Změna pitch. Z tohoto parametru byl zjištěn signifikantní rozdíl mezi okny {1} a {8, 9}, {2} a {12, 13, 14, 15}, {4} a {12, 13, 14, 15}, {5} a {12, 13, 14, 15}, {6} a {11, 12, 13, 14, 15}, {7} a {11, 12, 13, 14, 15}, {8} a {1, 11, 12, 13, 14, 15}, {9} a {1, 11, 12, 13, 14, 15}, {10} a {12, 15}, {11} a {6, 7, 8, 9}, {12} a {2, 4, 5, 6, 7, 8, 9, 10}, {13} a {2, 4, 5, 6, 7, 8, 9}, {14} a {2, 4, 5, 6, 7, 8, 9}, {15} a {2, 4, 5, 6, 7, 8, 9, 10}.



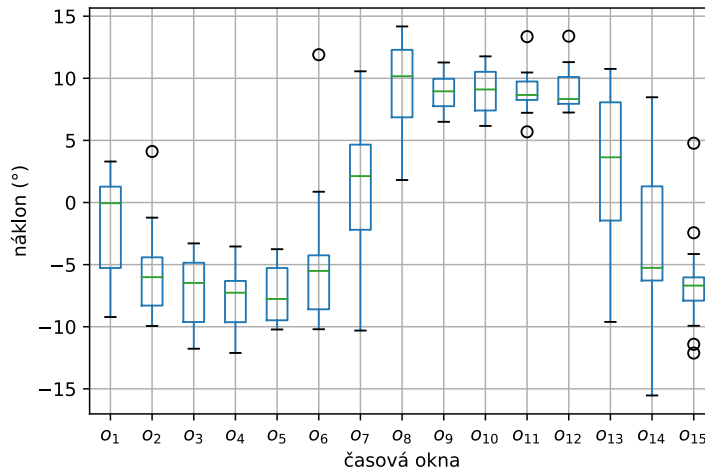
Obrázek A.96: Průběh v čase pro somatogyrální iluzi při prvním profilu - parametr Změna pitch.



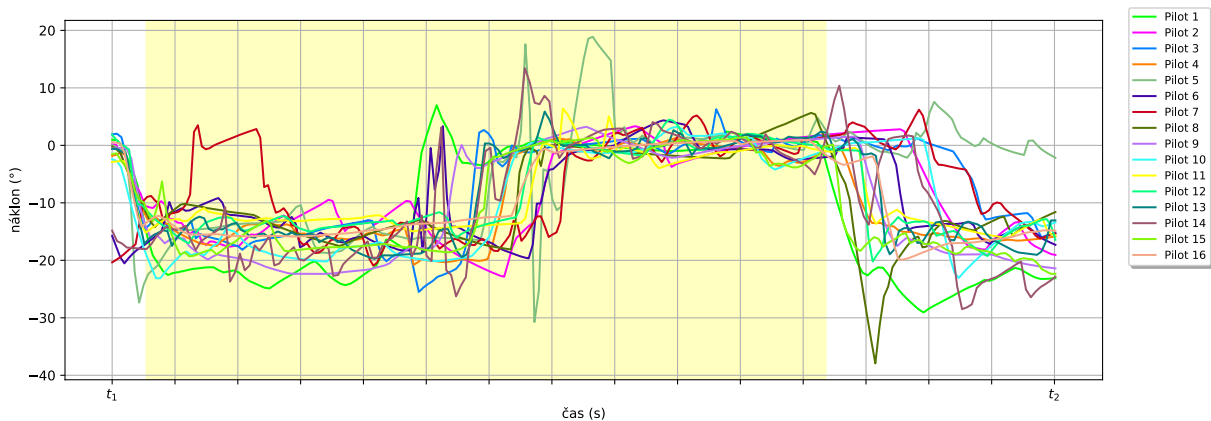
Obrázek A.97: Krabicový graf pro Coriolisovu iluzi při druhém profilu - parametr Heading. Z tohoto parametru byl zjištěn signifikantní rozdíl mezi okny {1} a {7, 8, 9, 10, 11, 12, 13, 14, 15}, {2} a {7, 8, 9, 10, 11, 12, 13, 14, 15}, {3} a {7, 8, 9, 10, 11, 12, 13, 14, 15}, {4} a {8, 9, 10, 11, 13, 14, 15}, {5} a {8, 9, 10, 13, 14, 15}, {6} a {14, 15}, {7} a {1, 2, 3, 15}, {8} a {1, 2, 3, 4, 5}, {9} a {1, 2, 3, 4, 5}, {10} a {1, 2, 3, 4, 5}, {11} a {1, 2, 3, 4}, {12} a {1, 2, 3}, {13} a {1, 2, 3, 4, 5}, {14} a {1, 2, 3, 4, 5, 6}, {15} a {1, 2, 3, 4, 5, 6, 7}.



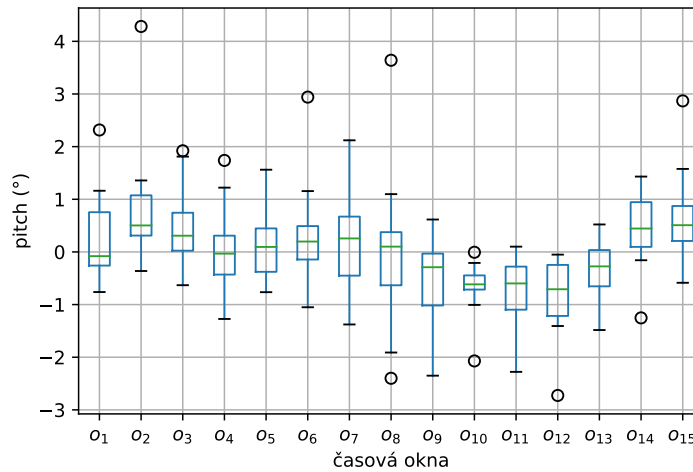
Obrázek A.98: Průběh v čase pro Coriolisovu iluzi při druhém profilu - parametr Heading.



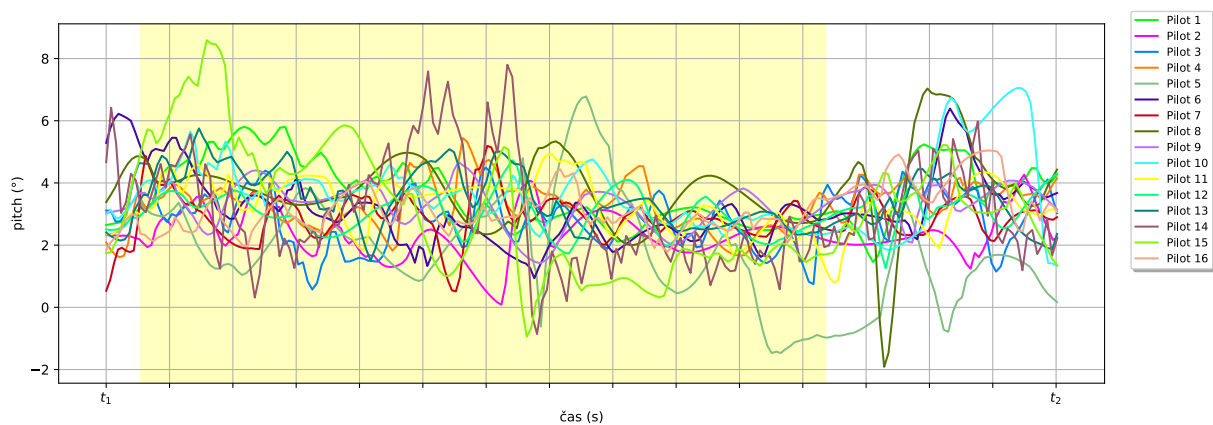
Obrázek A.99: Krabicový graf pro Coriolisovu iluzi při druhém profilu - parametr Náklon. Z tohoto parametru byl zjištěn signifikantní rozdíl mezi okny {2} a {8, 9, 10, 11, 12}, {3} a {8, 9, 10, 11, 12}, {4} a {8, 9, 10, 11, 12, 13}, {5} a {8, 9, 10, 11, 12}, {6} a {8, 9, 10, 11, 12}, {8} a {2, 3, 4, 5, 6, 14, 15}, {9} a {2, 3, 4, 5, 6, 14, 15}, {10} a {2, 3, 4, 5, 6, 14, 15}, {11} a {2, 3, 4, 5, 6, 14, 15}, {12} a {2, 3, 4, 5, 6, 14, 15}, {13} a {4, 15}, {14} a {8, 9, 10, 11, 12}, {15} a {8, 9, 10, 11, 12, 13}.



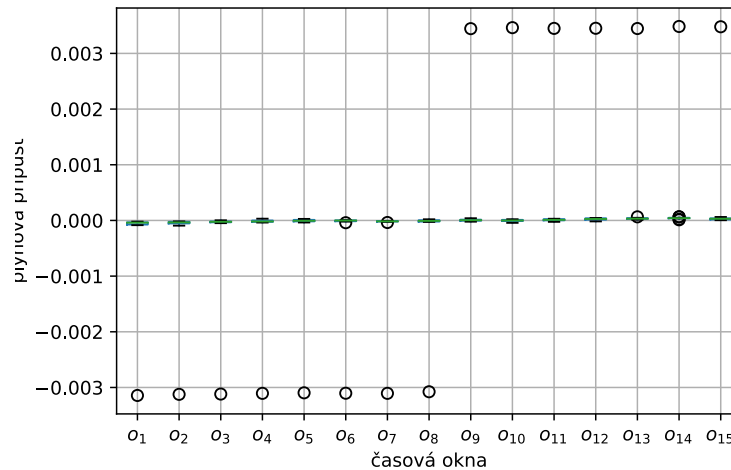
Obrázek A.100: Průběh v čase pro Coriolisovu iluzi při druhém profilu - parametr Náklon.



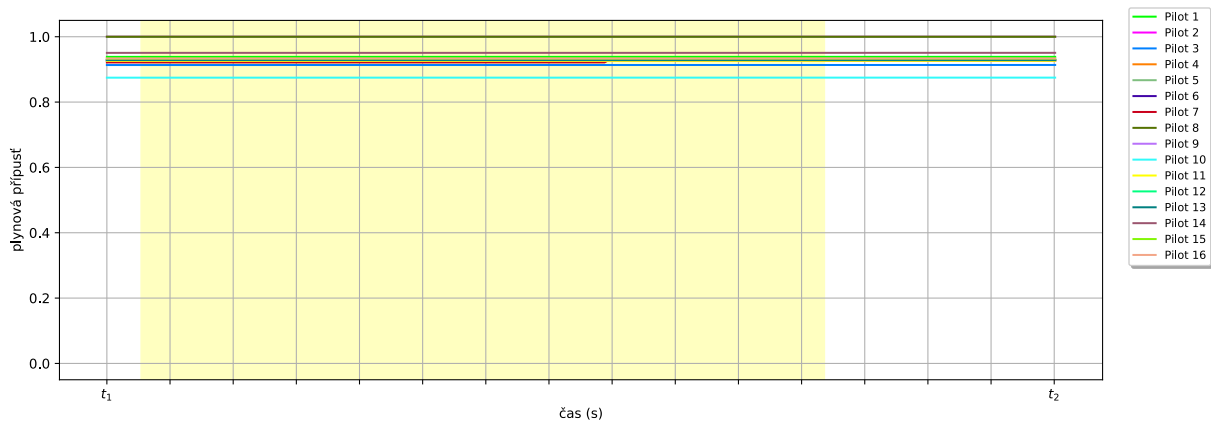
Obrázek A.101: Krabicový graf pro Coriolisovu iluzi při druhém profilu - parametr Pitch. Z tohoto parametru byl zjištěn signifikantní rozdíl mezi okny {2} a {10, 11, 12}, {3} a {10, 11, 12}, {10} a {2, 3, 14, 15}, {11} a {2, 3, 14, 15}, {12} a {2, 3, 14, 15}, {14} a {10, 11, 12}, {15} a {10, 11, 12}.



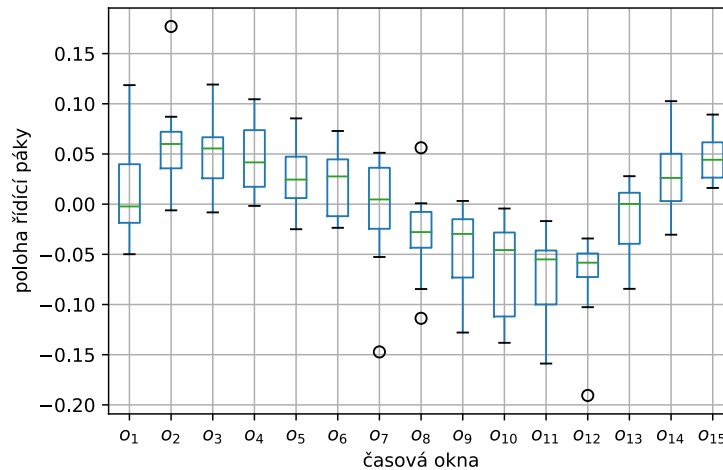
Obrázek A.102: Průběh v čase pro Coriolisovu iluzi při druhém profilu - parametr Pitch.



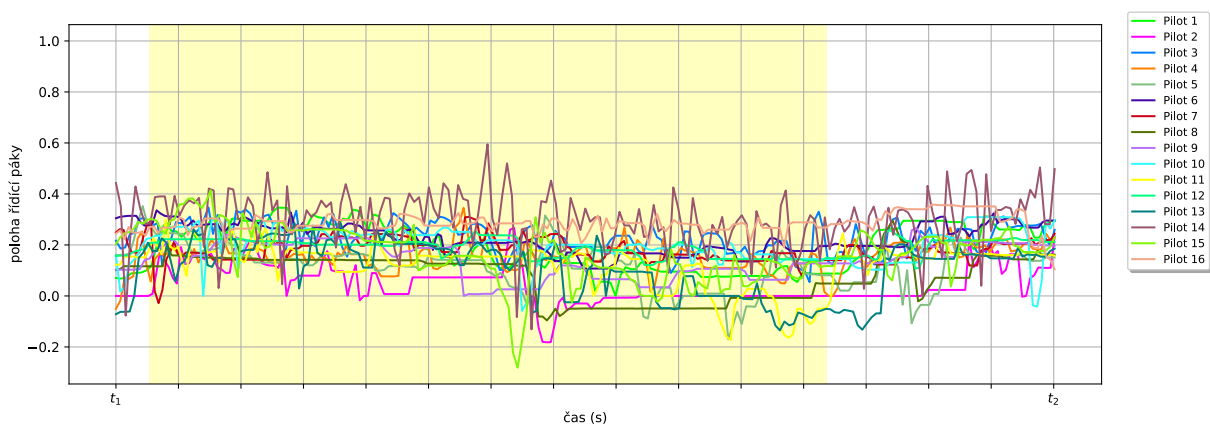
Obrázek A.103: Krabicový graf pro Coriolisovu iluzi při druhém profilu - parametr Plynová přípust. Z tohoto parametru byl zjištěn signifikantní rozdíl mezi okny {1} a {5, 9, 10, 11, 12, 13, 14, 15}, {2} a {9, 11, 12, 13, 14, 15}, {3} a {12, 13, 14, 15}, {4} a {13, 14, 15}, {5} a {1, 14}, {6} a {14}, {7} a {13, 14, 15}, {8} a {14}, {9} a {1, 2}, {10} a {1, 14}, {11} a {1, 2}, {12} a {1, 2, 3}, {13} a {1, 2, 3, 4, 7}, {14} a {1, 2, 3, 4, 5, 6, 7, 8, 10}, {15} a {1, 2, 3, 4, 7}.



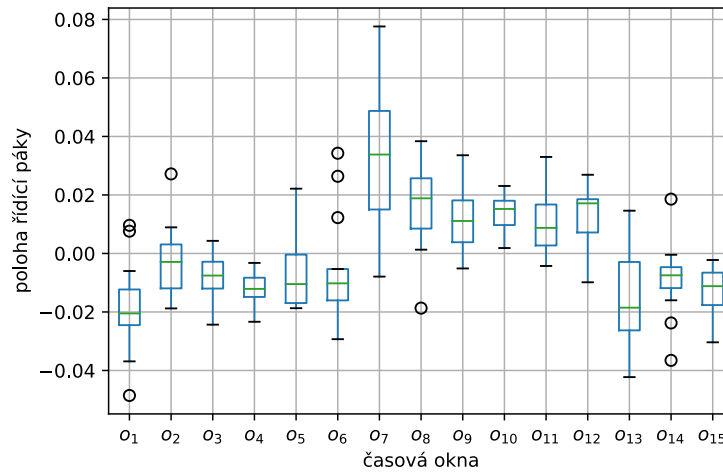
Obrázek A.104: Průběh v čase pro Coriolisovu iluzi při druhém profilu - parametr Plynová přípust.



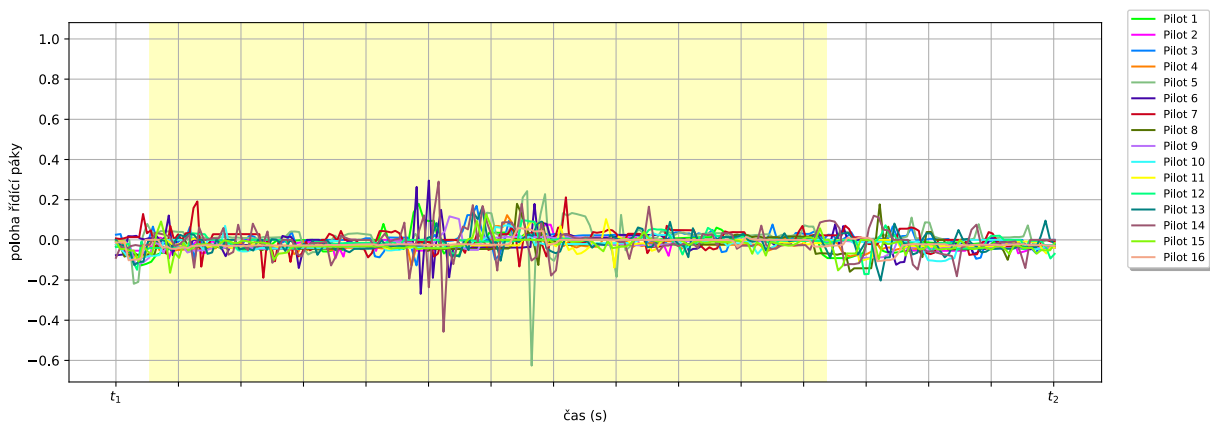
Obrázek A.105: Krabicový graf pro Coriolisovu iluzi při druhém profilu - parametr Poloha řídicí páky v rovině pitch. Z tohoto parametru byl zjištěn signifikantní rozdíl mezi okny {2} a {8, 9, 10, 11, 12}, {3} a {9, 10, 11, 12}, {4} a {9, 10, 11, 12}, {5} a {11, 12}, {6} a {10, 11, 12}, {8} a {2, 15}, {9} a {2, 3, 4, 15}, {10} a {2, 3, 4, 6, 15}, {11} a {2, 3, 4, 5, 6, 14, 15}, {12} a {2, 3, 4, 5, 6, 14, 15}, {14} a {11, 12}, {15} a {8, 9, 10, 11, 12}.



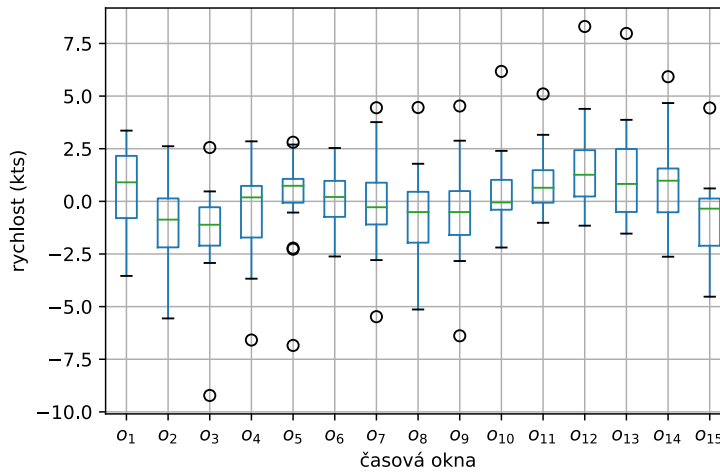
Obrázek A.106: Průběh v čase pro Coriolisovu iluzi při druhém profilu - parametr Poloha řídicí páky v rovině pitch.



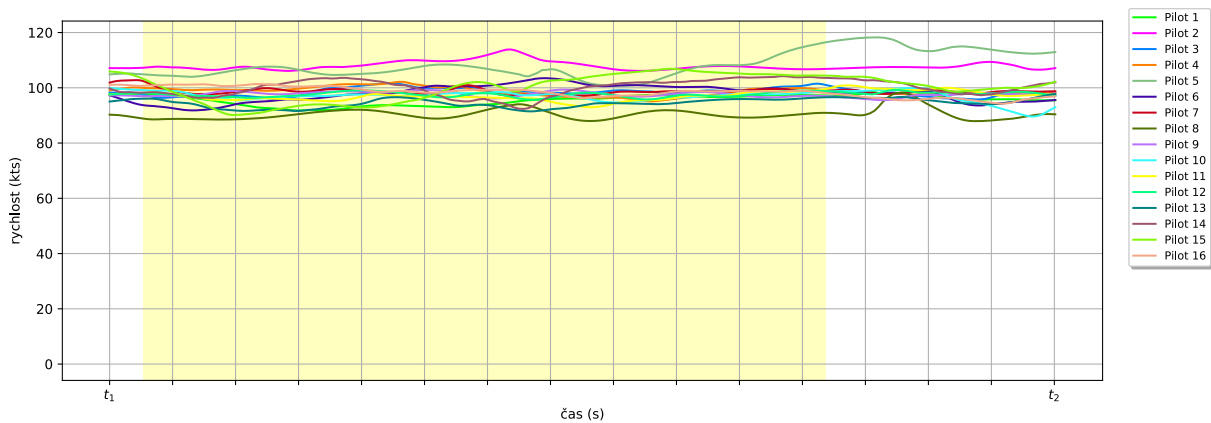
Obrázek A.107: Krabicový graf pro Coriolisovu iluzi při druhém profilu - parametr Poloha řídicí páky v rovině roll). Z tohoto parametru byl zjištěn signifikantní rozdíl mezi okny {1} a {7, 8, 9, 10, 11, 12}, {3} a {7}, {4} a {7, 8, 10, 12}, {5} a {7}, {6} a {7}, {7} a {1, 3, 4, 5, 6, 13, 14, 15}, {8} a {1, 4, 13}, {9} a {1}, {10} a {1, 4, 13, 15}, {11} a {1}, {12} a {1, 4, 13, 15}, {13} a {7, 8, 10, 12}, {14} a {7}, {15} a {7, 10, 12}.



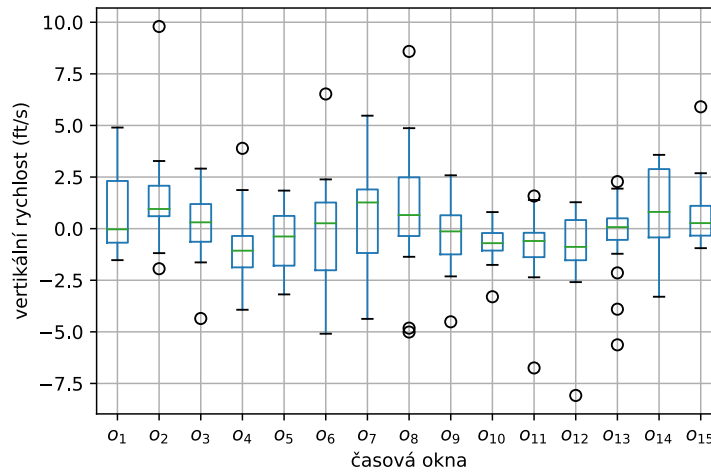
Obrázek A.108: Průběh v čase pro Coriolisovu iluzi při druhém profilu - parametr Poloha řídicí páky v rovině roll).



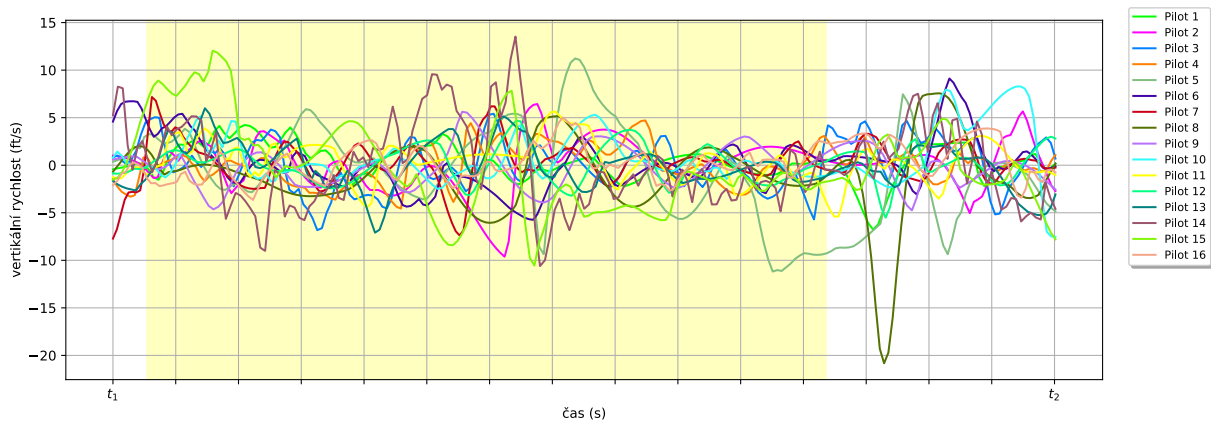
Obrázek A.109: Krabicový graf pro Coriolisovu iluzi při druhém profilu - parametr Rychlost. Z tohoto parametru byl zjištěn signifikantní rozdíl mezi okny {2} a {12}, {3} a {12}, {12} a {2, 3}.



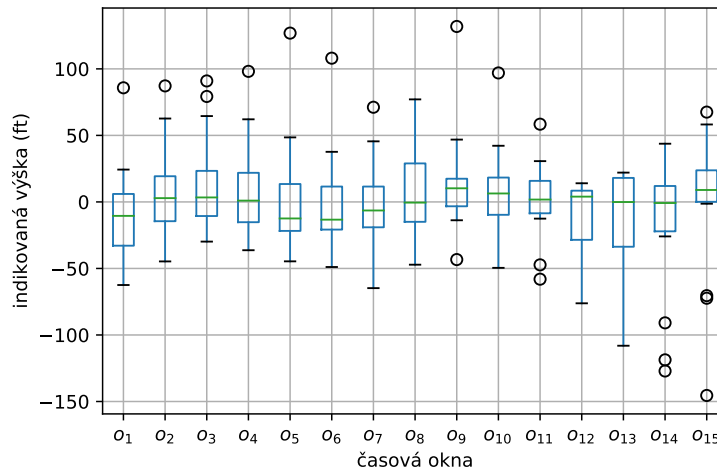
Obrázek A.110: Průběh v čase pro Coriolisovu iluzi při druhém profilu - parametr Rychlost.



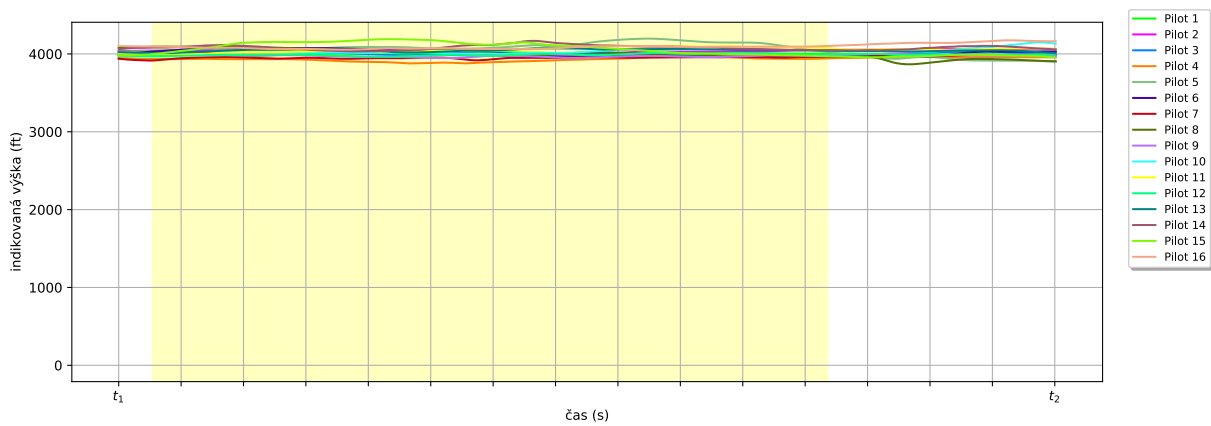
Obrázek A.111: Krabicový graf pro Coriolisovu iluzi při druhém profilu - parametr Vertikální rychlost. Z tohoto parametru byl zjištěn signifikantní rozdíl mezi okny {2} a {4}, {4} a {2}.



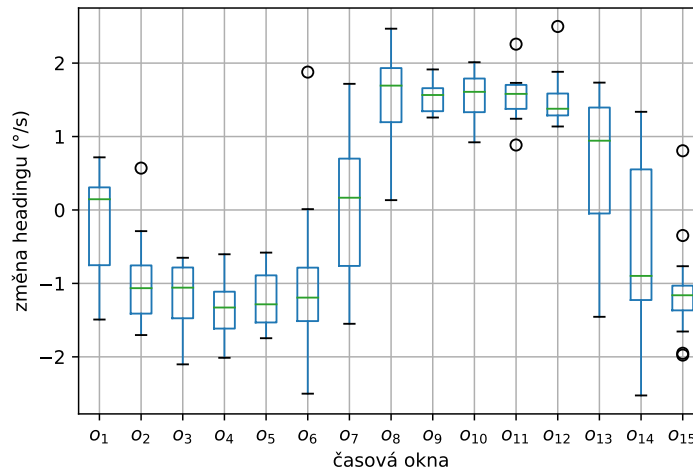
Obrázek A.112: Průběh v čase pro Coriolisovu iluzi při druhém profilu - parametr Vertikální rychlost.



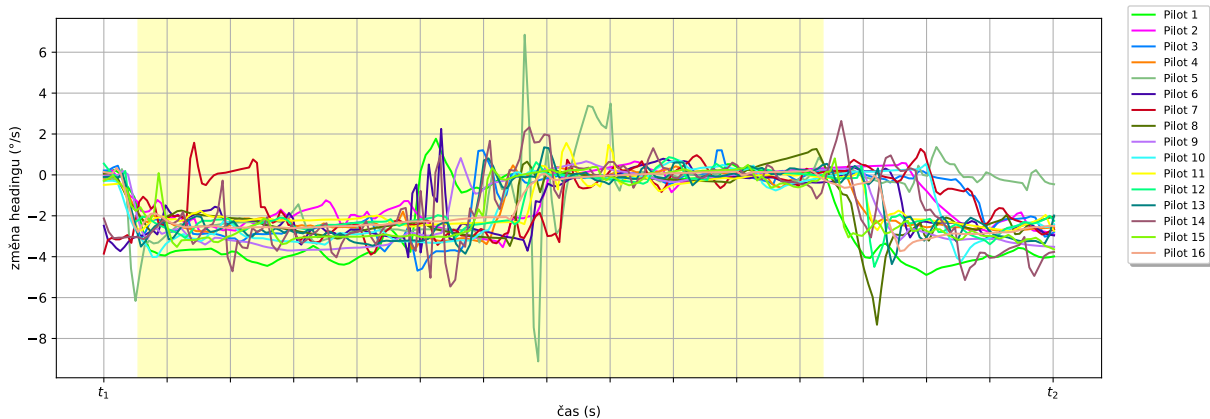
Obrázek A.113: Krabicový graf pro Coriolisovu iluzi při druhém profilu - parametr Výška. Z tohoto parametru nebyl zjištěn signifikantní rozdíl mezi žádnými okny.



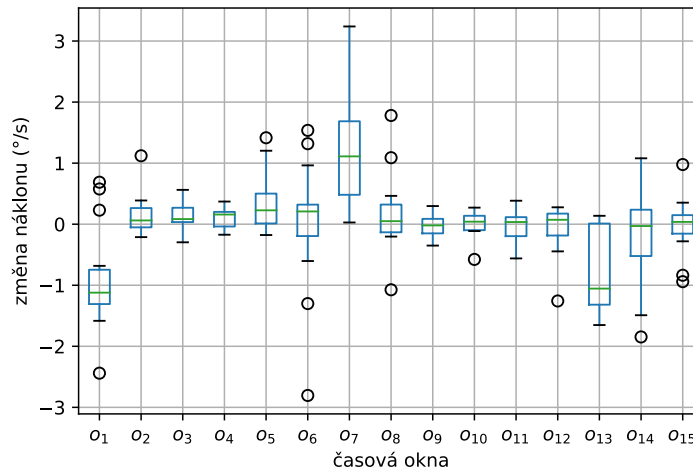
Obrázek A.114: Průběh v čase pro Coriolisovu iluzi při druhém profilu - parametr Výška.



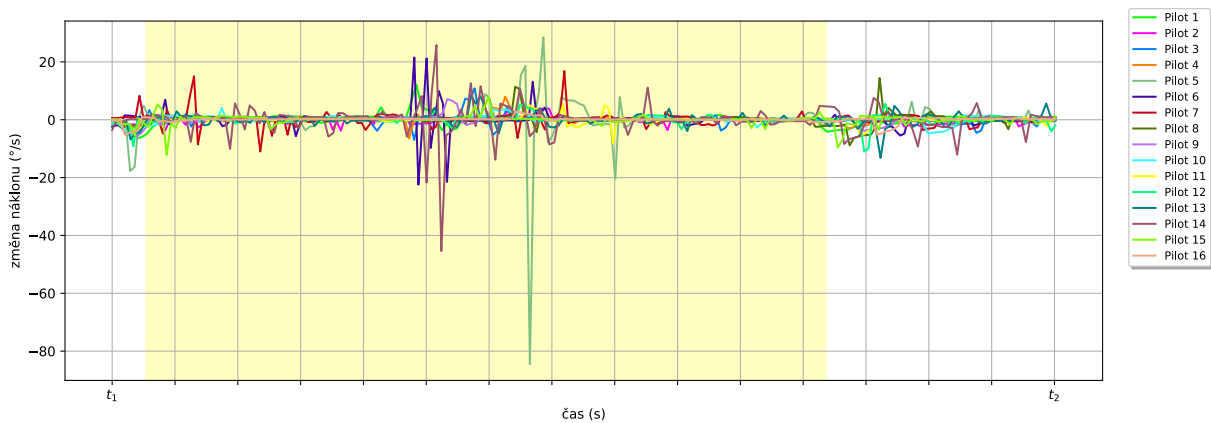
Obrázek A.115: Krabicový graf pro Coriolisovu iluzi při druhém profilu - parametr Změna headingu. Z tohoto parametru byl zjištěn signifikantní rozdíl mezi okny {2} a {8, 9, 10, 11, 12}, {3} a {8, 9, 10, 11, 12}, {4} a {8, 9, 10, 11, 12, 13}, {5} a {8, 9, 10, 11, 12}, {6} a {8, 9, 10, 11, 12}, {7} a {11}, {8} a {2, 3, 4, 5, 6, 14, 15}, {9} a {2, 3, 4, 5, 6, 14, 15}, {10} a {2, 3, 4, 5, 6, 14, 15}, {11} a {2, 3, 4, 5, 6, 7, 14, 15}, {12} a {2, 3, 4, 5, 6, 14, 15}, {13} a {4}, {14} a {8, 9, 10, 11, 12}, {15} a {8, 9, 10, 11, 12}.



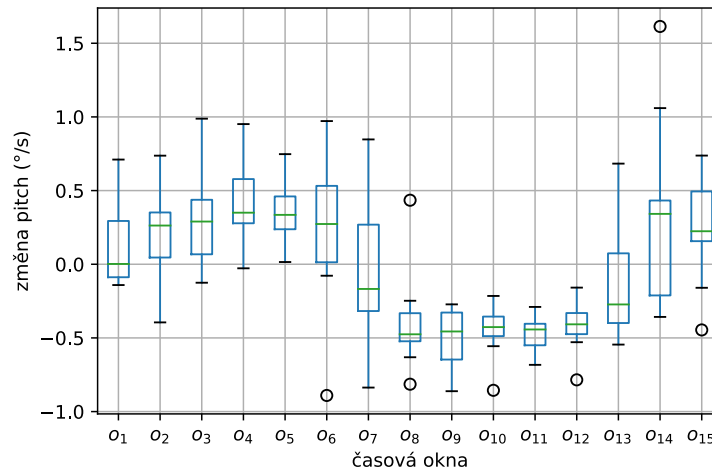
Obrázek A.116: Průběh v čase pro Coriolisovu iluzi při druhém profilu - parametr Změna headingu.



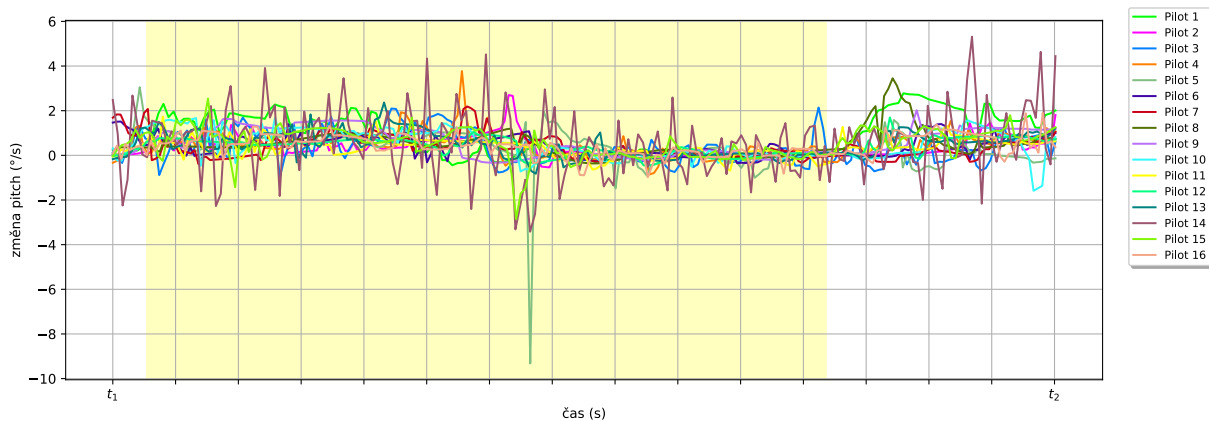
Obrázek A.117: Krabicový graf pro Coriolisovu iluzi při druhém profilu - parametr Změna náklonu. Z tohoto parametru byl zjištěn signifikantní rozdíl mezi okny {1} a {7}, {7} a {1, 9, 11, 13, 14}, {9} a {7}, {11} a {7}, {13} a {7}, {14} a {7}.



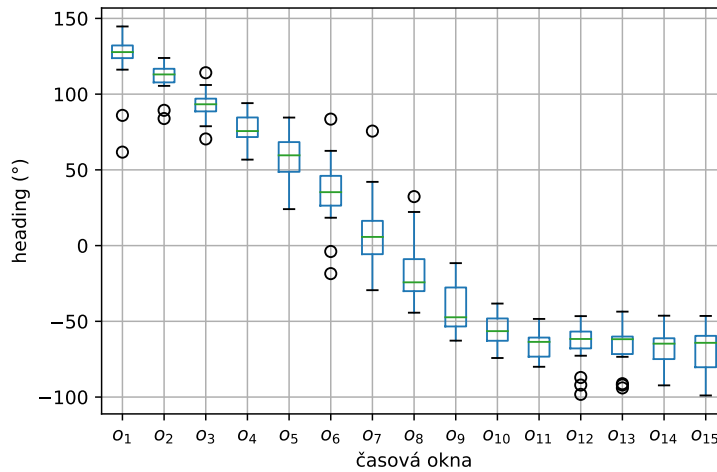
Obrázek A.118: Průběh v čase pro Coriolisovu iluzi při druhém profilu - parametr Změna náklonu.



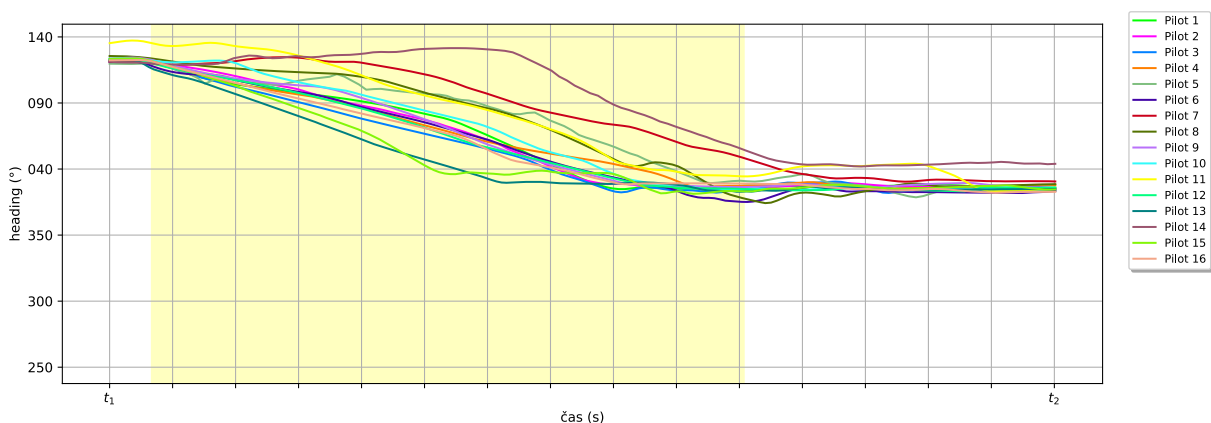
Obrázek A.119: Krabicový graf pro Coriolisovu iluzi při druhém profilu - parametr Změna pitch. Z tohoto parametru byl zjištěn signifikantní rozdíl mezi okny {1} a {9, 10, 11}, {2} a {8, 9, 10, 11}, {3} a {8, 9, 10, 11, 12}, {4} a {8, 9, 10, 11, 12}, {5} a {8, 9, 10, 11, 12}, {6} a {8, 9, 10, 11, 12}, {8} a {2, 3, 4, 5, 6, 14, 15}, {9} a {1, 2, 3, 4, 5, 6, 14, 15}, {10} a {1, 2, 3, 4, 5, 6, 14, 15}, {11} a {1, 2, 3, 4, 5, 6, 14, 15}, {12} a {3, 4, 5, 6, 14, 15}, {14} a {8, 9, 10, 11, 12}, {15} a {8, 9, 10, 11, 12}.



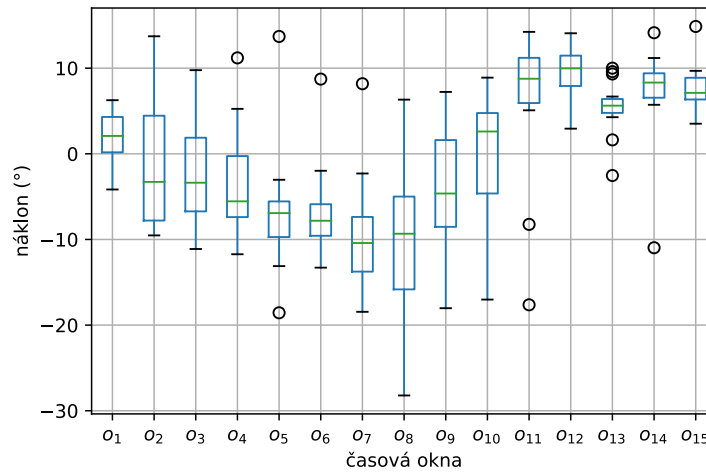
Obrázek A.120: Průběh v čase pro Coriolisovu iluzi při druhém profilu - parametr Změna pitch.



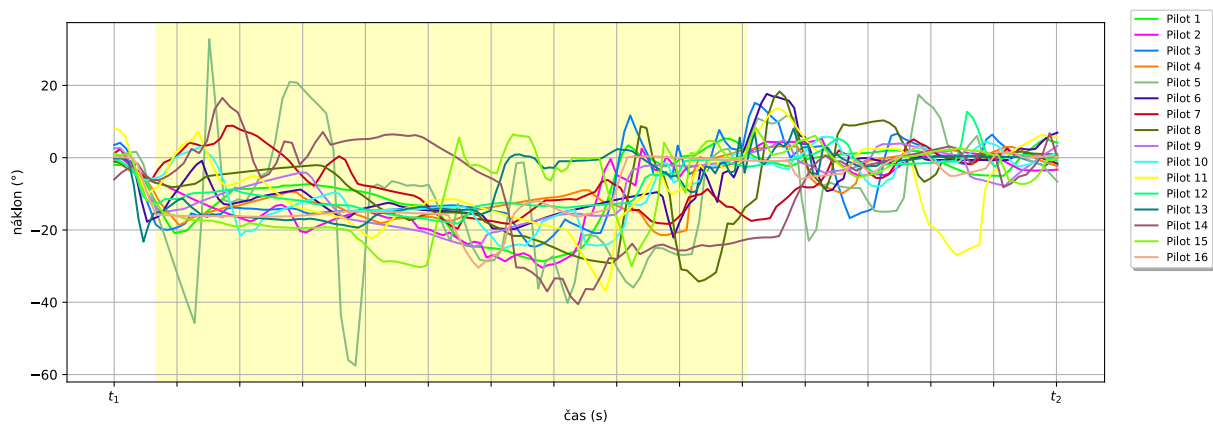
Obrázek A.121: Krabicový graf pro iluzi náklonu při druhém profilu - parametr Heading. Z tohoto parametru byl zjištěn signifikantní rozdíl mezi okny {1} a {8, 9, 10, 11, 12, 13, 14, 15}, {2} a {8, 9, 10, 11, 12, 13, 14, 15}, {3} a {9, 10, 11, 12, 13, 14, 15}, {4} a {9, 10, 11, 12, 13, 14, 15}, {5} a {10, 11, 12, 13, 14, 15}, {6} a {10, 11, 12, 13, 14, 15}, {7} a {11, 14, 15}, {8} a {1, 2}, {9} a {1, 2, 3, 4}, {10} a {1, 2, 3, 4, 5, 6}, {11} a {1, 2, 3, 4, 5, 6, 7}, {12} a {1, 2, 3, 4, 5, 6}, {13} a {1, 2, 3, 4, 5, 6}, {14} a {1, 2, 3, 4, 5, 6, 7}, {15} a {1, 2, 3, 4, 5, 6, 7}.



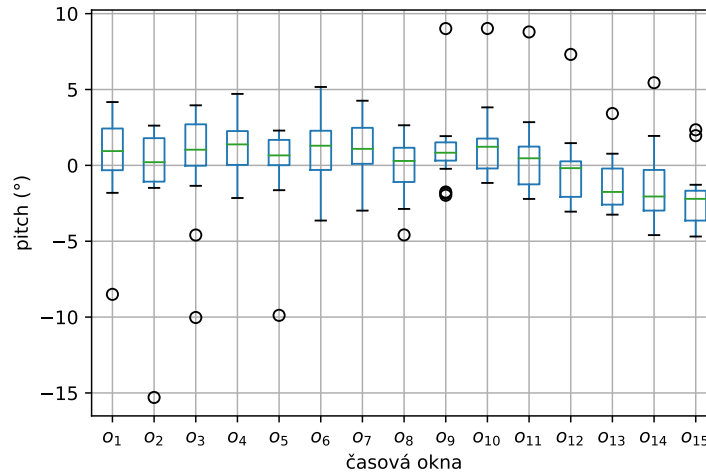
Obrázek A.122: Průběh v čase pro iluzi náklonu při druhém profilu - parametr Heading.



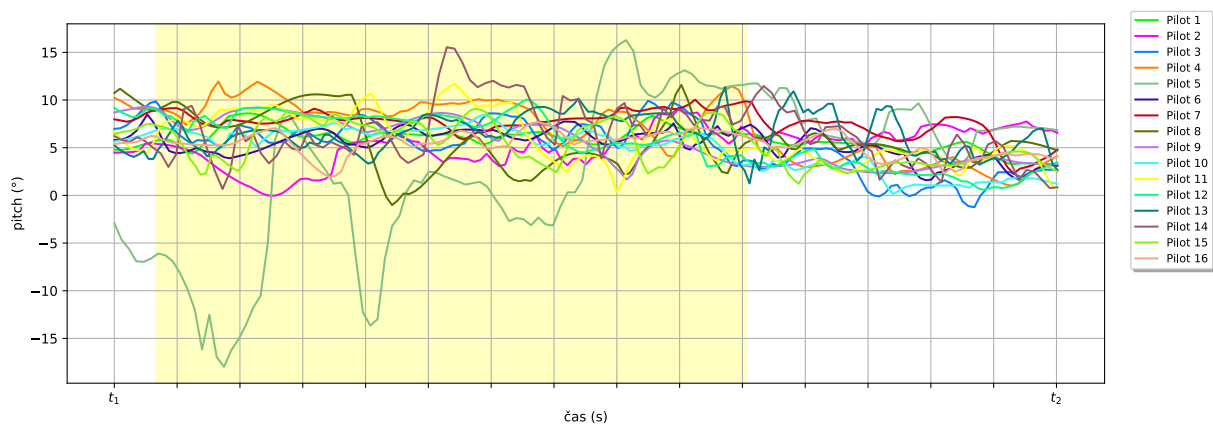
Obrázek A.123: Krabicový graf pro iluzi náklonu při druhém profilu - parametr Náklon. Z tohoto parametru byl zjištěn signifikantní rozdíl mezi okny {3} a {12}, {4} a {11, 12, 14, 15}, {5} a {11, 12, 13, 14, 15}, {6} a {11, 12, 13, 14, 15}, {7} a {11, 12, 13, 14, 15}, {8} a {11, 12, 13, 14, 15}, {9} a {12}, {11} a {4, 5, 6, 7, 8}, {12} a {3, 4, 5, 6, 7, 8, 9}, {13} a {5, 6, 7, 8}, {14} a {4, 5, 6, 7, 8}, {15} a {4, 5, 6, 7, 8}.



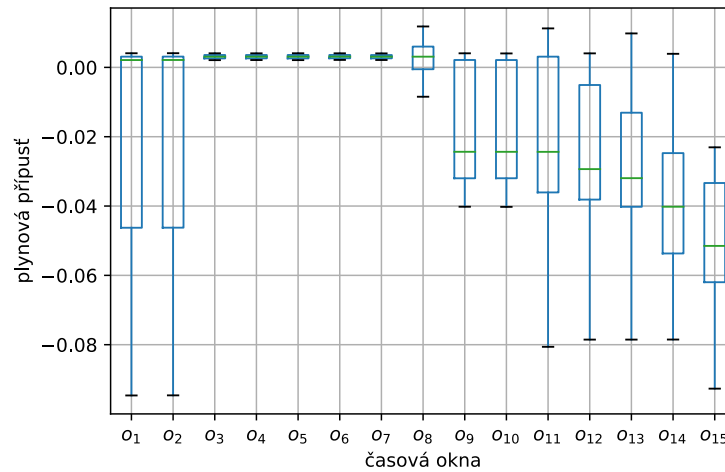
Obrázek A.124: Průběh v čase pro iluzi náklonu při druhém profilu - parametr Náklon.



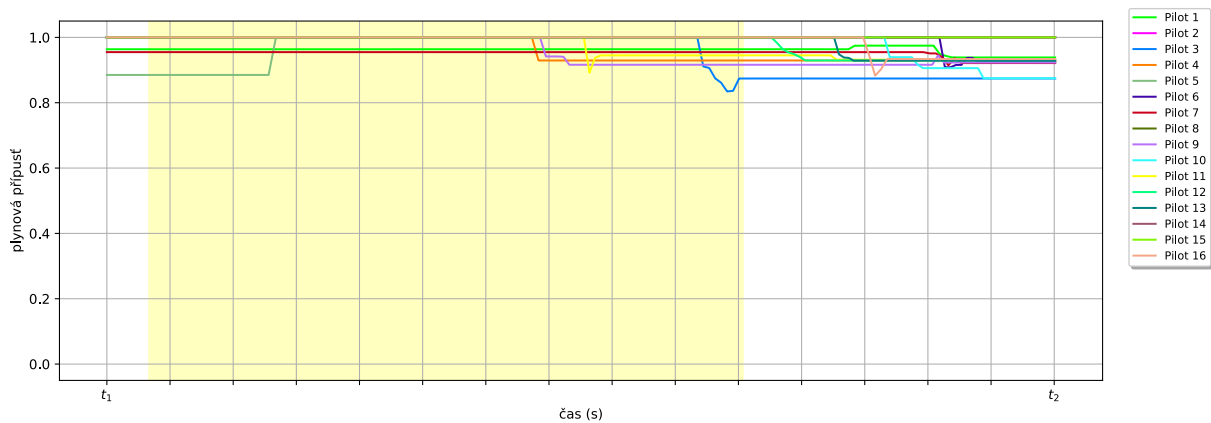
Obrázek A.125: Krabicový graf pro iluzi náklonu při druhém profilu - parametr Pitch. Z tohoto parametru byl zjištěn signifikantní rozdíl mezi okny {1} a {15}, {3} a {15}, {4} a {15}, {6} a {15}, {7} a {15}, {9} a {15}, {10} a {13, 14, 15}, {11} a {15}, {13} a {10}, {14} a {10}, {15} a {1, 3, 4, 6, 7, 9, 10, 11}.



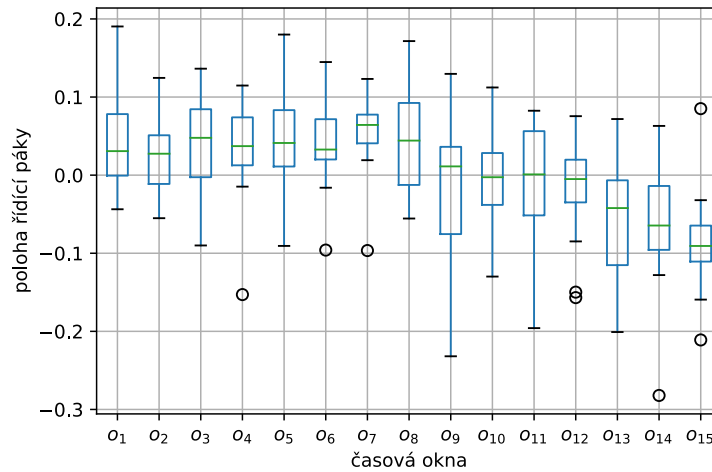
Obrázek A.126: Průběh v čase pro iluzi náklonu při druhém profilu - parametr Pitch.



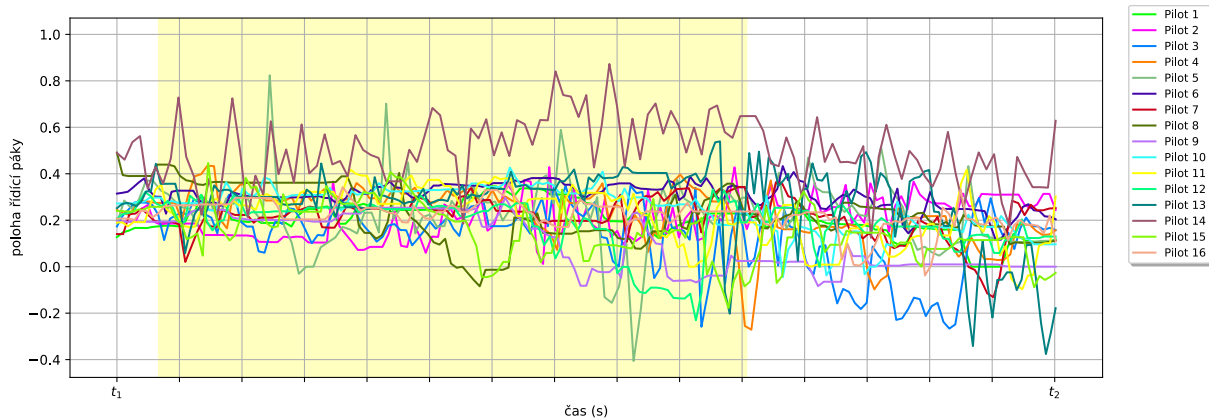
Obrázek A.127: Krabicový graf pro iluzi náklonu při druhém profilu - parametr Plynová přípušť. Z tohoto parametru byl zjištěn signifikantní rozdíl mezi okny {6} a {10, 14, 15}, {10} a {6}, {14} a {6}, {15} a {6}.



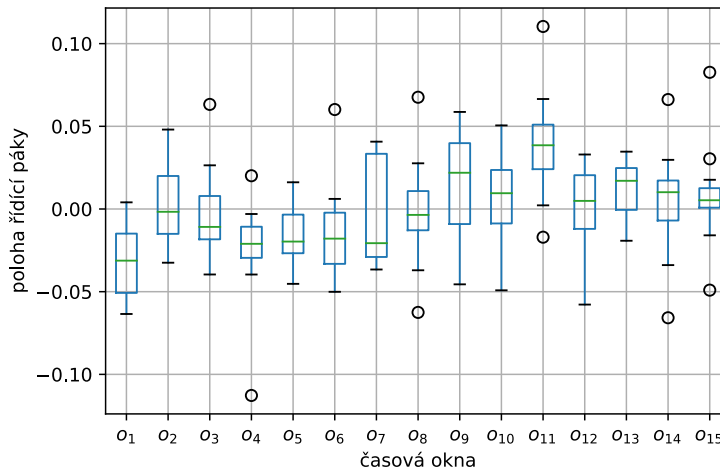
Obrázek A.128: Průběh v čase pro iluzi náklonu při druhém profilu - parametr Plynová přípušť.



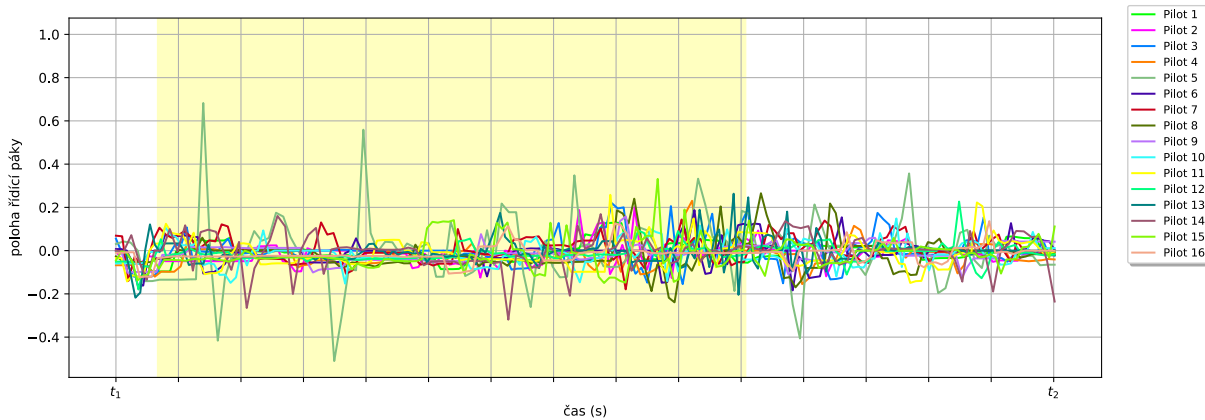
Obrázek A.129: Krabicový graf pro iluzi náklonu při druhém profilu - parametr Poloha řídicí páky v rovině pitch. Z tohoto parametru byl zjištěn signifikantní rozdíl mezi okny {4} a {15}, {5} a {15}, {6} a {15}, {7} a {14, 15}, {8} a {14, 15}, {14} a {7, 8}, {15} a {4, 5, 6, 7, 8}.



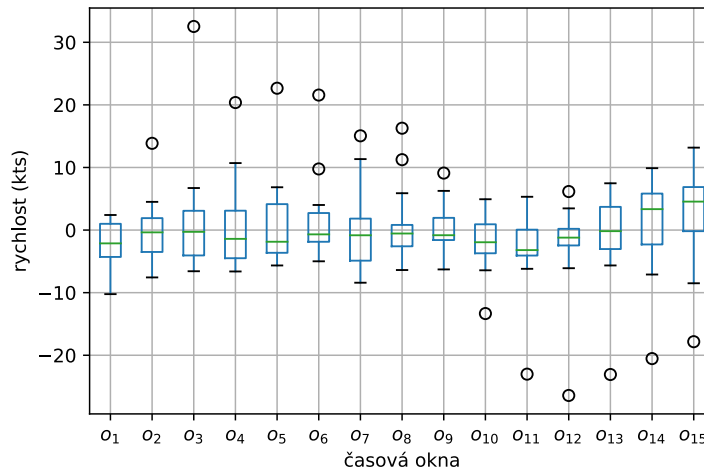
Obrázek A.130: Průběh v čase pro iluzi náklonu při druhém profilu - parametr Poloha řídicí páky v rovině pitch.



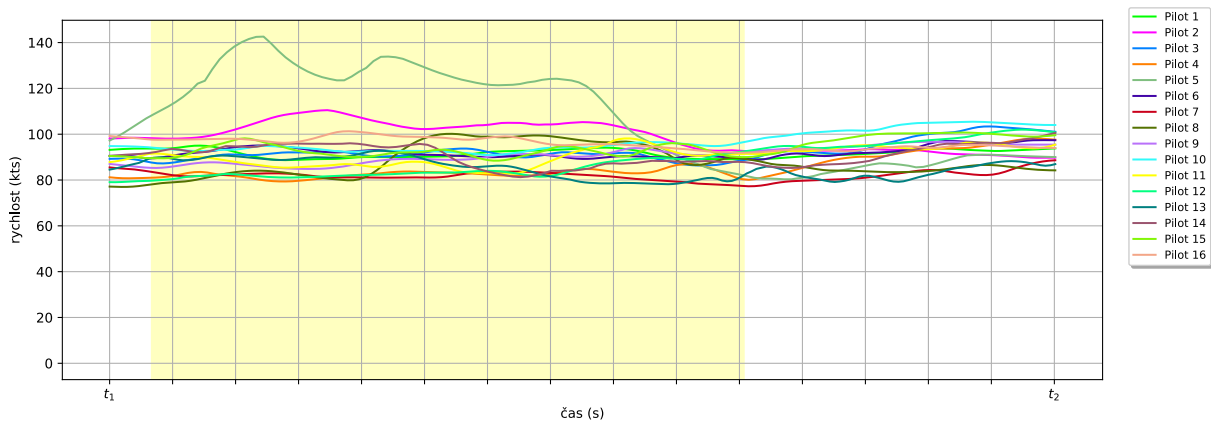
Obrázek A.131: Krabicový graf pro iluzi náklonu při druhém profilu - parametr Poloha řídicí páky v rovině roll). Z tohoto parametru byl zjištěn signifikantní rozdíl mezi okny {1} a {9, 11, 13}, {4} a {11}, {5} a {11}, {6} a {11}, {9} a {1}, {11} a {1, 4, 5, 6}, {13} a {1}.



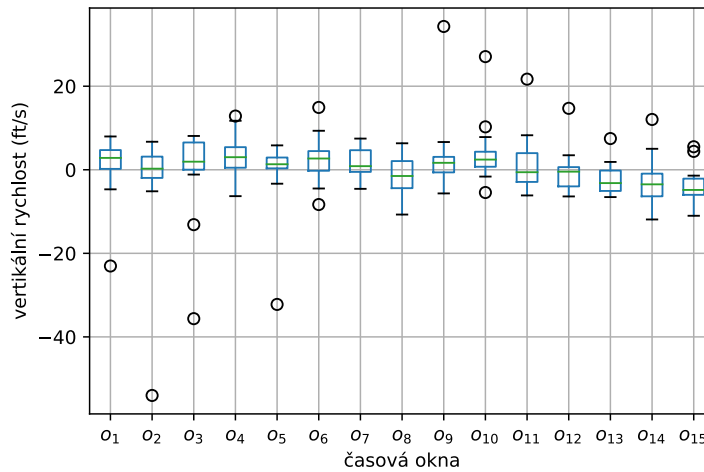
Obrázek A.132: Průběh v čase pro iluzi náklonu při druhém profilu - parametr Poloha řídicí páky v rovině roll).



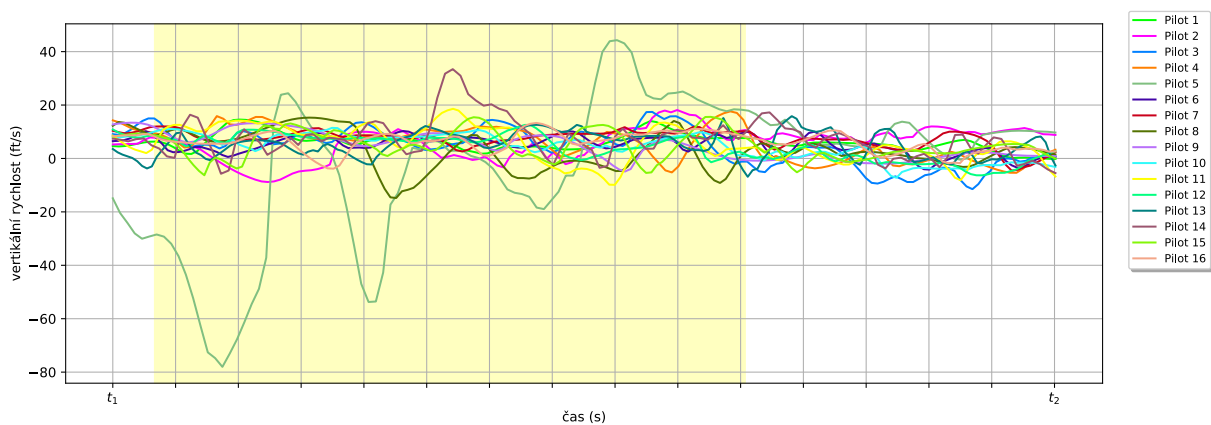
Obrázek A.133: Krabicový graf pro iluzi náklonu při druhém profilu - parametr Rychlost. Z tohoto parametru nebyl zjištěn signifikantní rozdíl mezi žádnými okny.



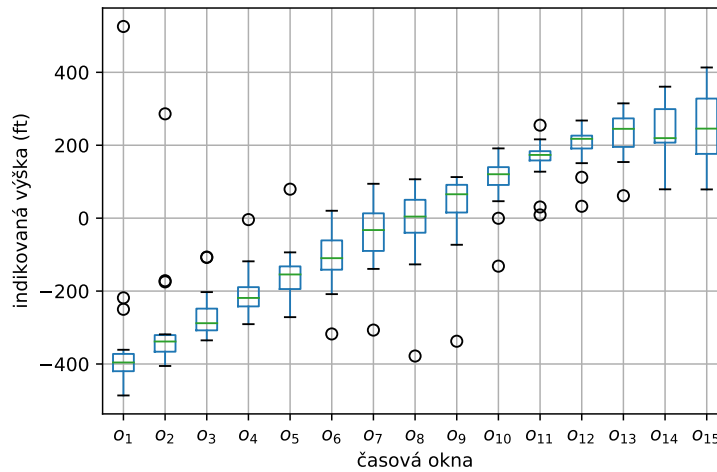
Obrázek A.134: Průběh v čase pro iluzi náklonu při druhém profilu - parametr Rychlost.



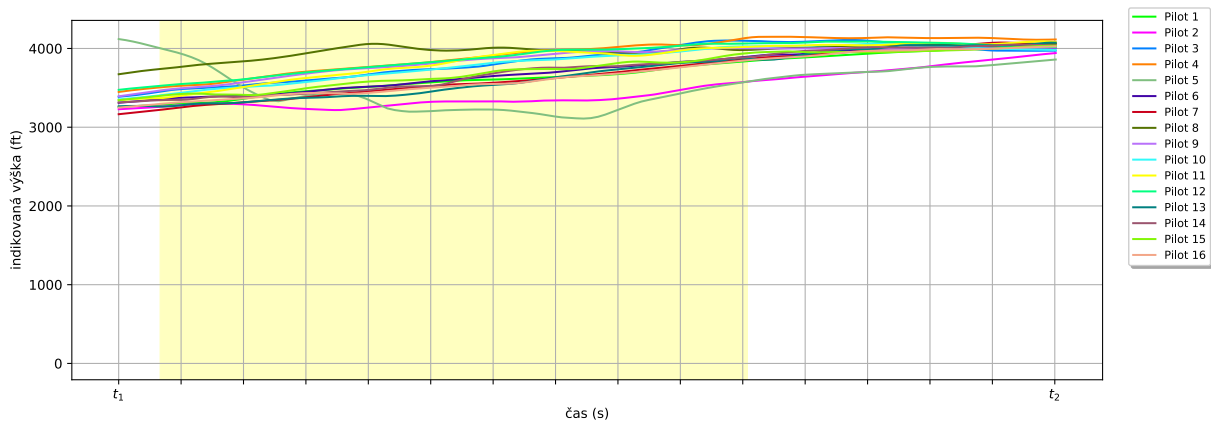
Obrázek A.135: Krabicový graf pro iluzi náklonu při druhém profilu - parametr Vertikální rychlost. Z tohoto parametru byl zjištěn signifikantní rozdíl mezi okny {1} a {15}, {3} a {15}, {4} a {13, 14, 15}, {6} a {15}, {10} a {13, 14, 15}, {13} a {4, 10}, {14} a {4, 10}, {15} a {1, 3, 4, 6, 10}.



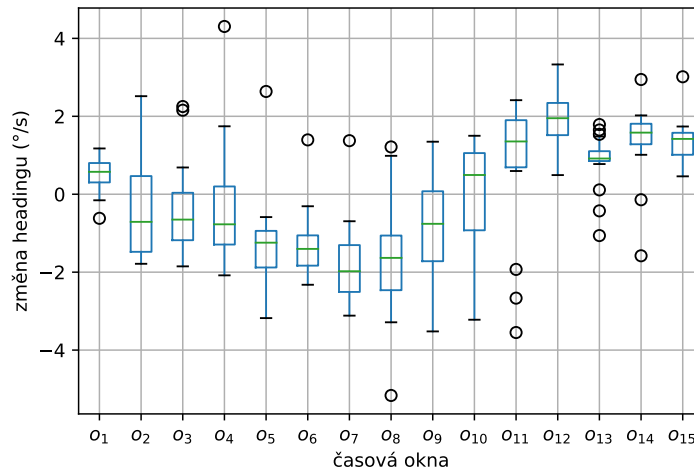
Obrázek A.136: Průběh v čase pro iluzi náklonu při druhém profilu - parametr Vertikální rychlost.



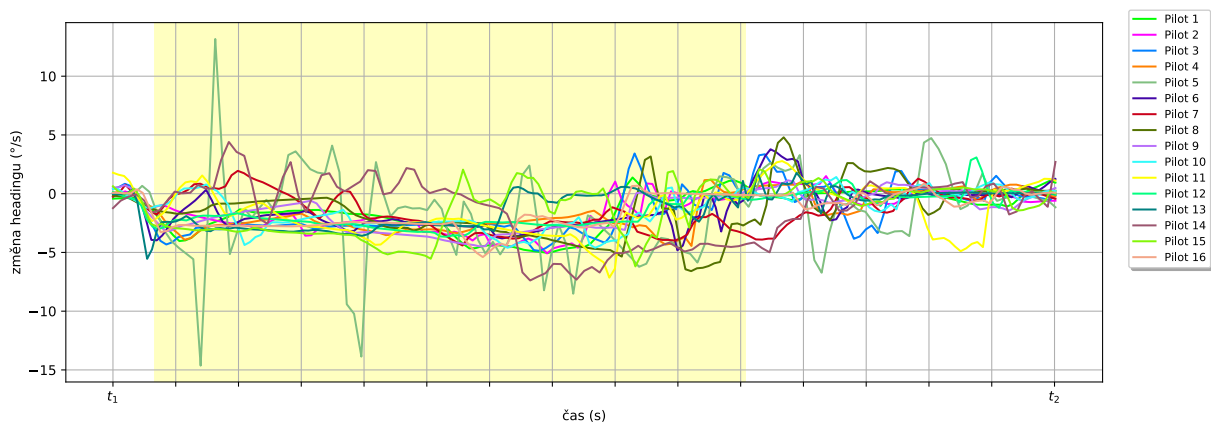
Obrázek A.137: Krabicový graf pro iluzi náklonu při druhém profilu - parametr Výška. Z tohoto parametru byl zjištěn signifikantní rozdíl mezi okny {1} a {8, 9, 10, 11, 12, 13, 14, 15}, {2} a {10, 11, 12, 13, 14, 15}, {3} a {10, 11, 12, 13, 14, 15}, {4} a {10, 11, 12, 13, 14, 15}, {5} a {11, 12, 13, 14, 15}, {6} a {12, 13, 14, 15}, {7} a {13, 14, 15}, {8} a {1, 13, 14, 15}, {9} a {1, 14}, {10} a {1, 2, 3, 4}, {11} a {1, 2, 3, 4, 5}, {12} a {1, 2, 3, 4, 5, 6}, {13} a {1, 2, 3, 4, 5, 6, 7, 8}, {14} a {1, 2, 3, 4, 5, 6, 7, 8, 9}, {15} a {1, 2, 3, 4, 5, 6, 7, 8}.



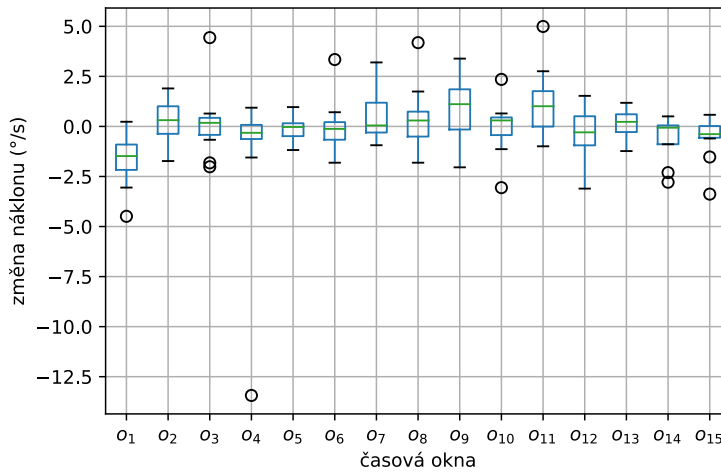
Obrázek A.138: Průběh v čase pro iluzi náklonu při druhém profilu - parametr Výška.



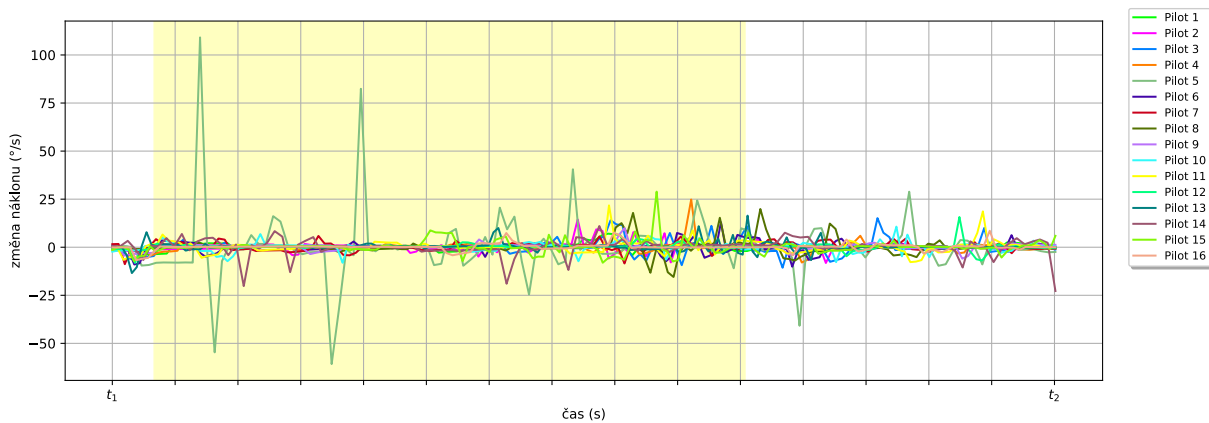
Obrázek A.139: Krabicový graf pro iluzi náklonu při druhém profilu - parametr Změna headingu. Z tohoto parametru byl zjištěn signifikantní rozdíl mezi okny {1} a {7}, {2} a {12}, {3} a {12}, {4} a {12, 14}, {5} a {11, 12, 13, 14, 15}, {6} a {11, 12, 13, 14, 15}, {7} a {1, 11, 12, 13, 14, 15}, {8} a {11, 12, 13, 14, 15}, {9} a {12, 14}, {11} a {5, 6, 7, 8}, {12} a {2, 3, 4, 5, 6, 7, 8, 9}, {13} a {5, 6, 7, 8}, {14} a {4, 5, 6, 7, 8, 9}, {15} a {5, 6, 7, 8}.



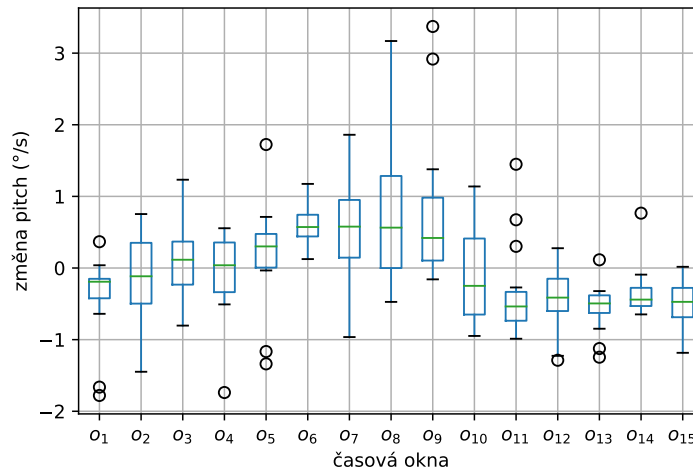
Obrázek A.140: Průběh v čase pro iluzi náklonu při druhém profilu - parametr Změna headingu.



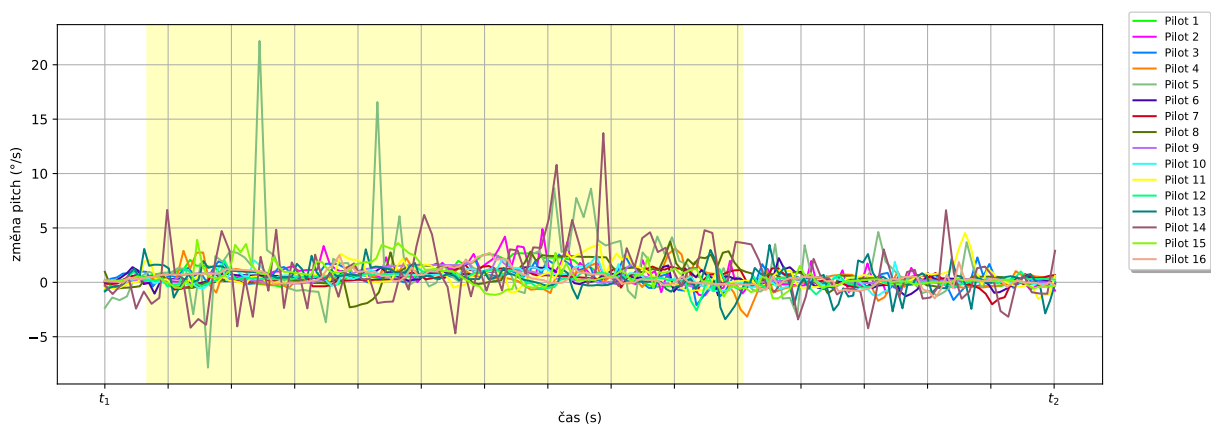
Obrázek A.141: Krabicový graf pro iluzi náklonu při druhém profilu - parametr Změna náklonu. Z tohoto parametru byl zjištěn signifikantní rozdíl mezi okny {1} a {8, 9, 11}, {8} a {1}, {9} a {1}, {11} a {1}.



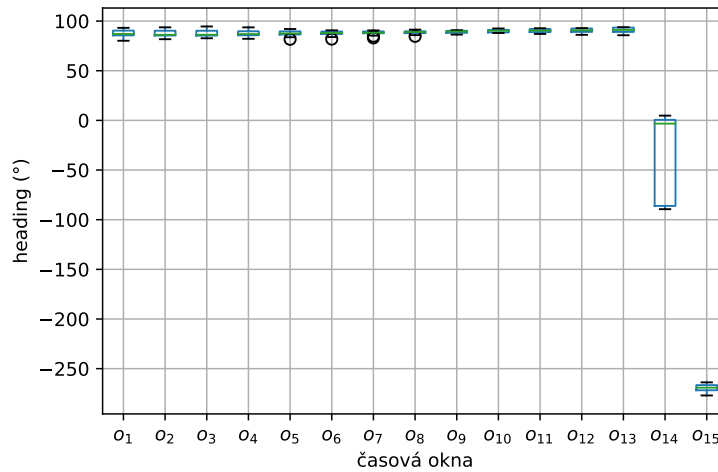
Obrázek A.142: Průběh v čase pro iluzi náklonu při druhém profilu - parametr Změna náklonu.



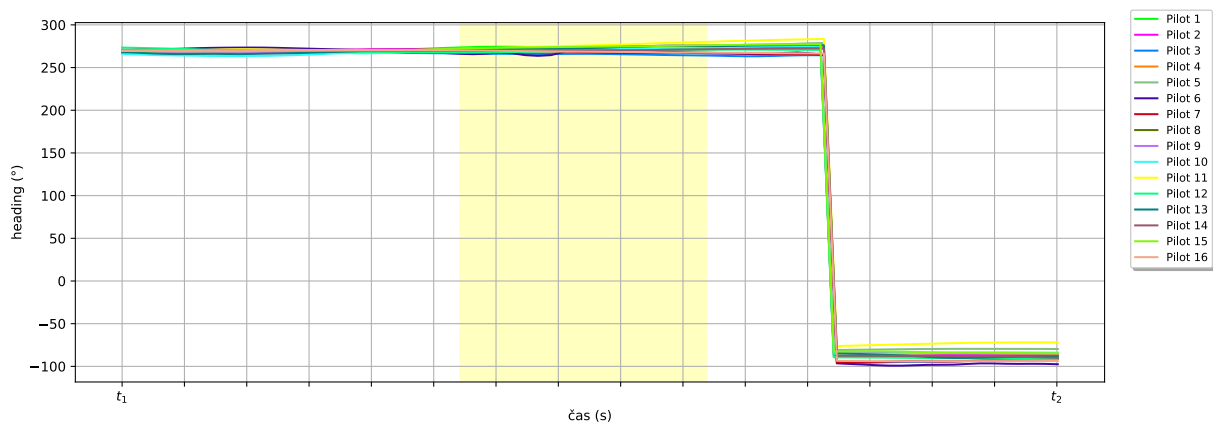
Obrázek A.143: Krabicový graf pro iluzi náklonu při druhém profilu - parametr Změna pitch. Z tohoto parametru byl zjištěn signifikantní rozdíl mezi okny {1} a {6}, {6} a {1, 10, 11, 12, 13, 14, 15}, {7} a {11, 12, 13, 14, 15}, {8} a {11, 12, 13, 14, 15}, {9} a {11, 12, 13, 14, 15}, {10} a {6}, {11} a {6, 7, 8, 9}, {12} a {6, 7, 8, 9}, {13} a {6, 7, 8, 9}, {14} a {6, 7, 8, 9}, {15} a {6, 7, 8, 9}.



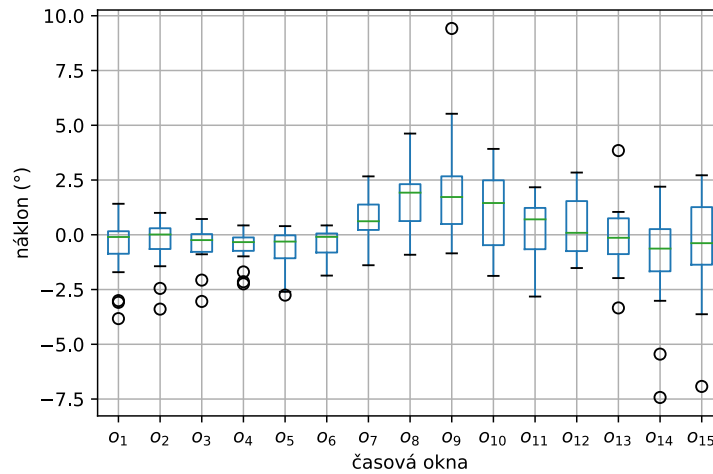
Obrázek A.144: Průběh v čase pro iluzi náklonu při druhém profilu - parametr Změna pitch.



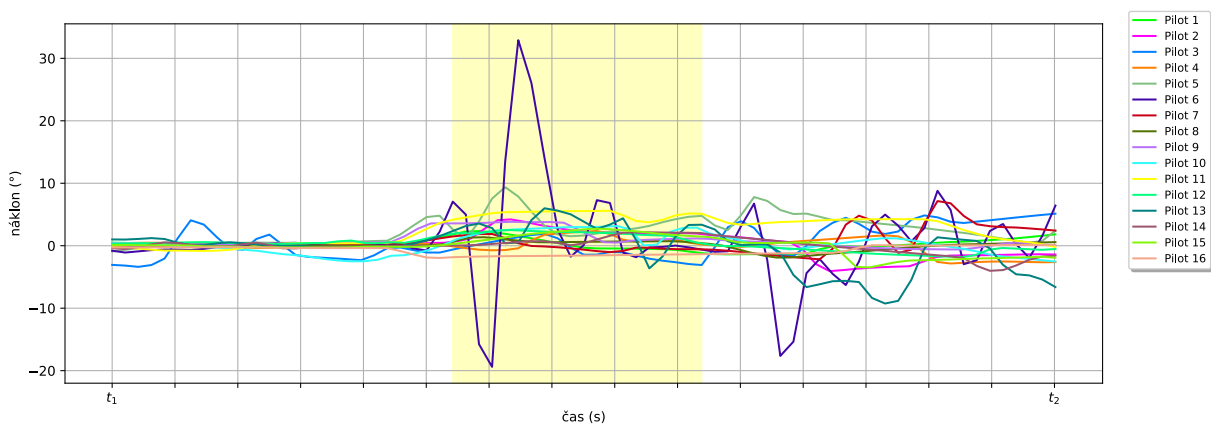
Obrázek A.145: Krabicový graf pro somatogravickou iluzi při druhém profilu - parametr Heading. Z tohoto parametru byl zjištěn signifikantní rozdíl mezi okny {1} a {14, 15}, {2} a {15}, {3} a {15}, {4} a {14, 15}, {5} a {14, 15}, {6} a {14, 15}, {7} a {14, 15}, {8} a {14, 15}, {9} a {14, 15}, {10} a {14, 15}, {11} a {14, 15}, {12} a {14, 15}, {13} a {14, 15}, {14} a {1, 4, 5, 6, 7, 8, 9, 10, 11, 12, 13}, {15} a {1, 2, 3, 4, 5, 6, 7, 8, 9, 10, 11, 12, 13}.



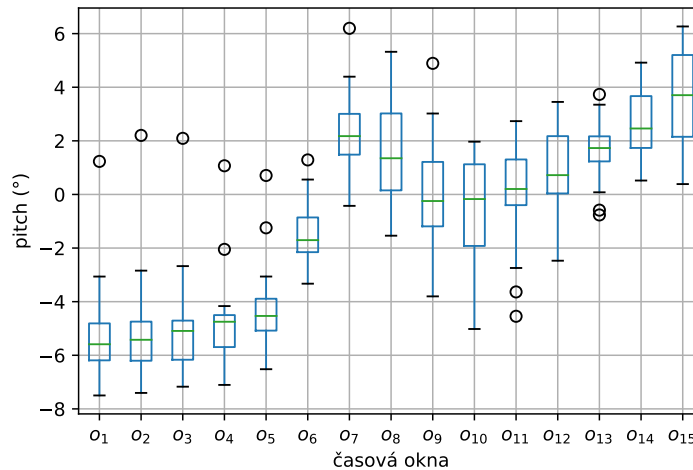
Obrázek A.146: Průběh v čase pro somatogravickou iluzi při druhém profilu - parametr Heading.



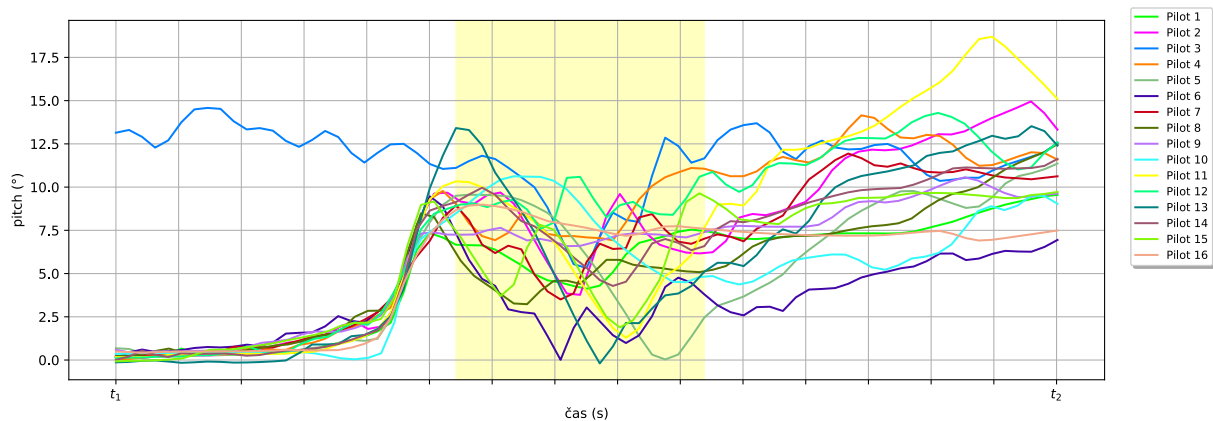
Obrázek A.147: Krabicový graf pro somatogravickou iluzi při druhém profilu - parametr Náklon. Z tohoto parametru byl zjištěn signifikantní rozdíl mezi okny {1} a {9}, {3} a {8, 9}, {4} a {8, 9}, {5} a {8, 9}, {8} a {3, 4, 5, 14}, {9} a {1, 3, 4, 5, 13, 14}, {13} a {9}, {14} a {8, 9}.



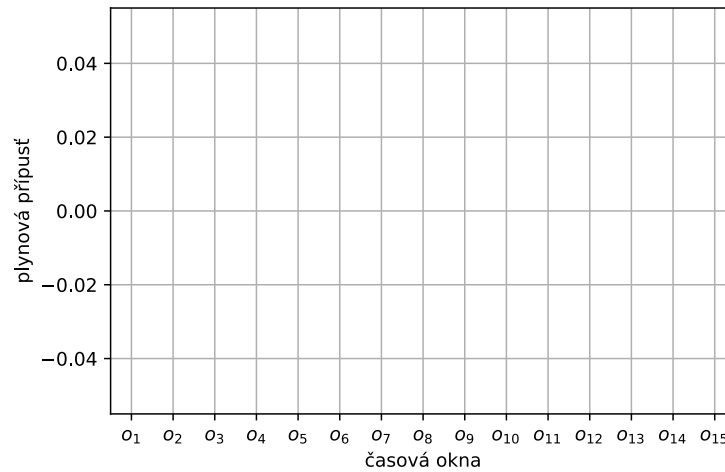
Obrázek A.148: Průběh v čase pro somatogravickou iluzi při druhém profilu - parametr Náklon.



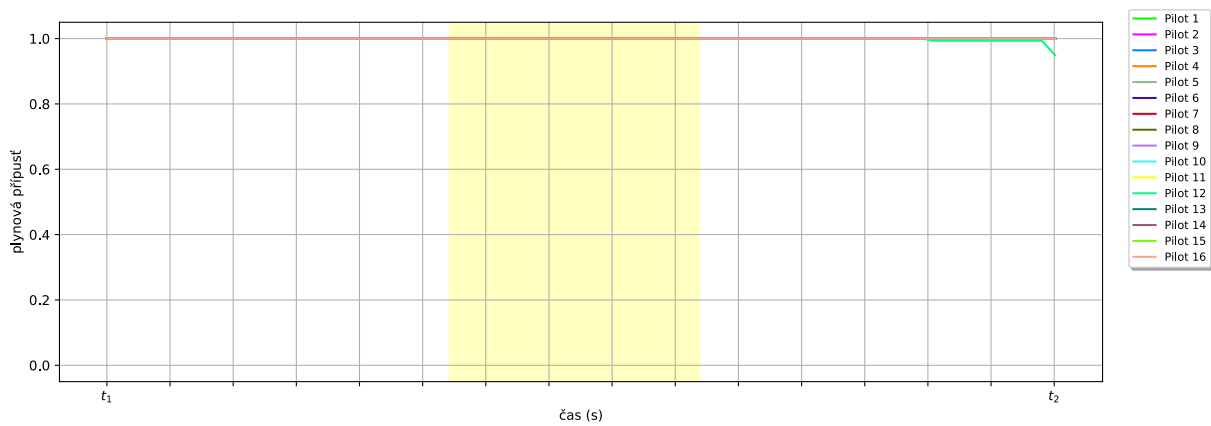
Obrázek A.149: Krabicový graf pro somatogravickou iluzi při druhém profilu - parametr Pitch. Z tohoto parametru byl zjištěn signifikantní rozdíl mezi okny {1} a {7, 8, 9, 10, 11, 12, 13, 14, 15}, {2} a {7, 8, 9, 11, 12, 13, 14, 15}, {3} a {7, 8, 12, 13, 14, 15}, {4} a {7, 8, 12, 13, 14, 15}, {5} a {7, 8, 13, 14, 15}, {6} a {15}, {7} a {1, 2, 3, 4, 5}, {8} a {1, 2, 3, 4, 5}, {9} a {1, 2}, {10} a {1, 15}, {11} a {1, 2}, {12} a {1, 2, 3, 4}, {13} a {1, 2, 3, 4, 5}, {14} a {1, 2, 3, 4, 5}, {15} a {1, 2, 3, 4, 5, 6, 10}.



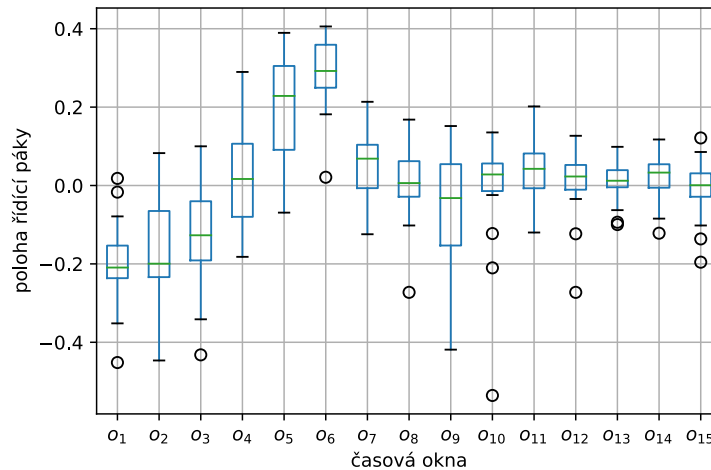
Obrázek A.150: Průběh v čase pro somatogravickou iluzi při druhém profilu - parametr Pitch.



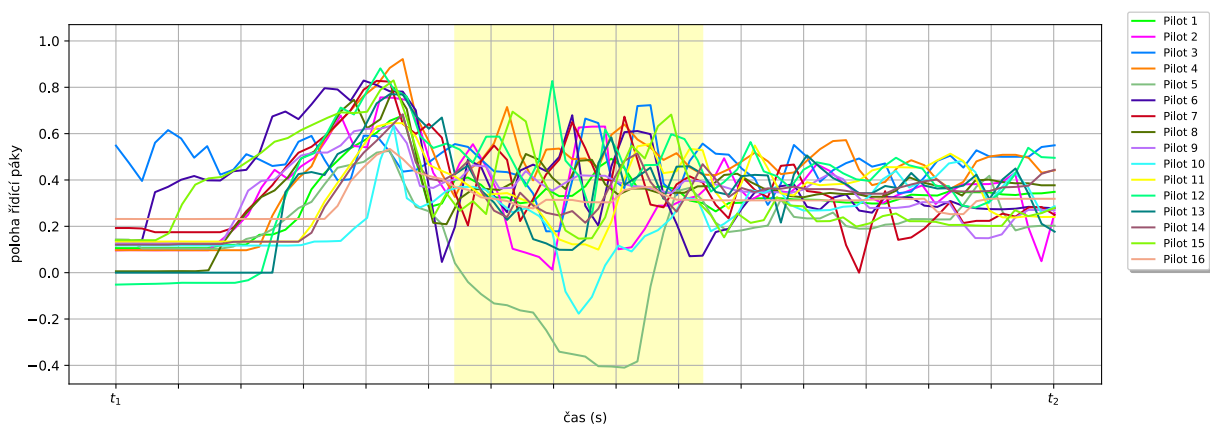
Obrázek A.151: Krabicový graf pro somatogravickou iluzi při druhém profilu - parametr Plynová přípust'. Z tohoto parametru nebyl zjištěn signifikantní rozdíl mezi žádnými okny.



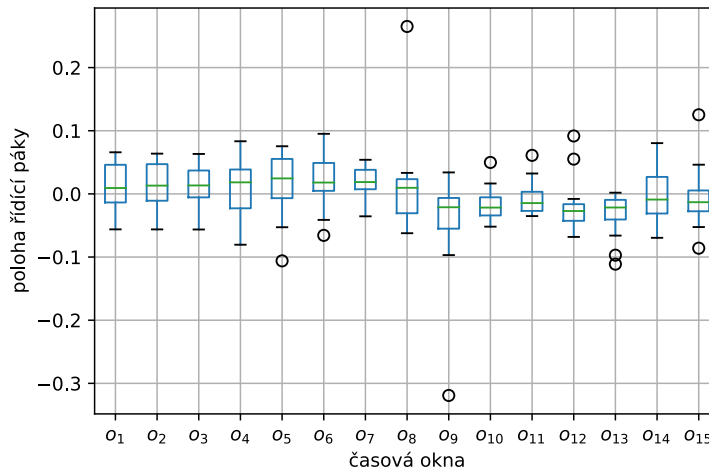
Obrázek A.152: Průběh v čase pro somatogravickou iluzi při druhém profilu - parametr Plynová přípust'.



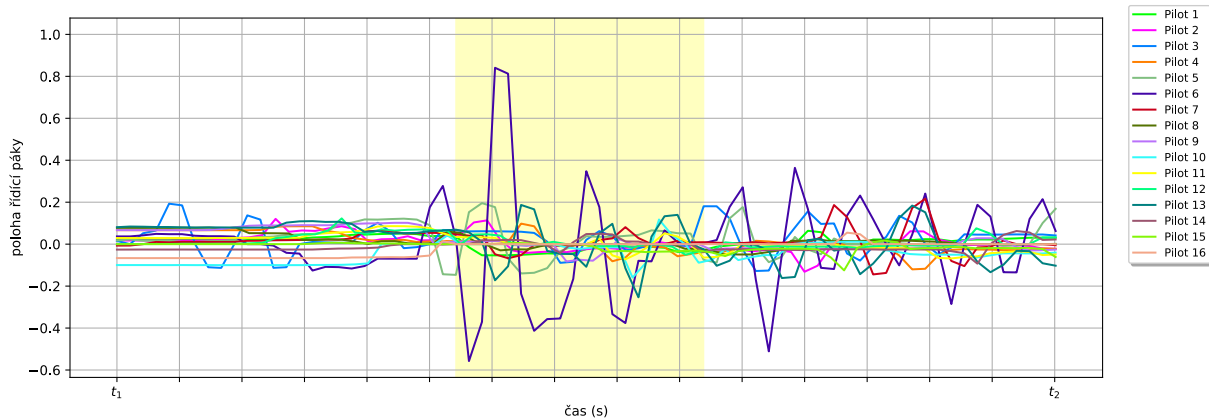
Obrázek A.153: Krabicový graf pro somatogravickou iluzi při druhém profilu - parametr Poloha řídicí páky v rovině pitch. Z tohoto parametru byl zjištěn signifikantní rozdíl mezi okny {1} a {4, 5, 6, 7, 10, 11, 14}, {2} a {5, 6, 7, 11}, {3} a {5, 6, 7}, {4} a {1, 6}, {5} a {1, 2, 3, 9, 15}, {6} a {1, 2, 3, 4, 8, 9, 10, 12, 13, 14, 15}, {7} a {1, 2, 3}, {8} a {6}, {9} a {5, 6}, {10} a {1, 6}, {11} a {1, 2}, {12} a {6}, {13} a {6}, {14} a {1, 6}, {15} a {5, 6}.



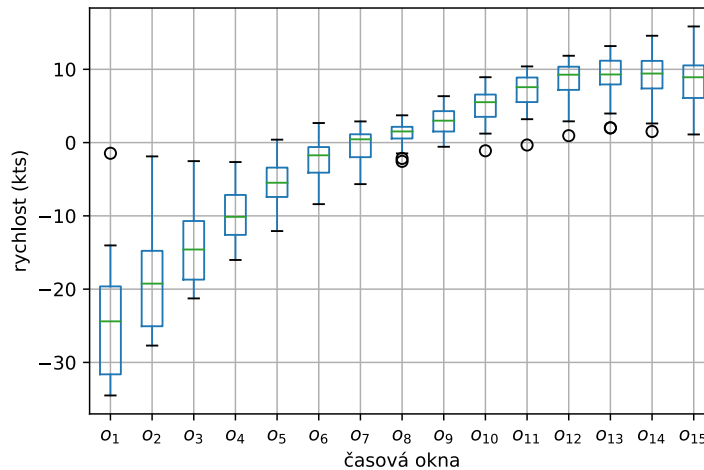
Obrázek A.154: Průběh v čase pro somatogravickou iluzi při druhém profilu - parametr Poloha řídicí páky v rovině pitch.



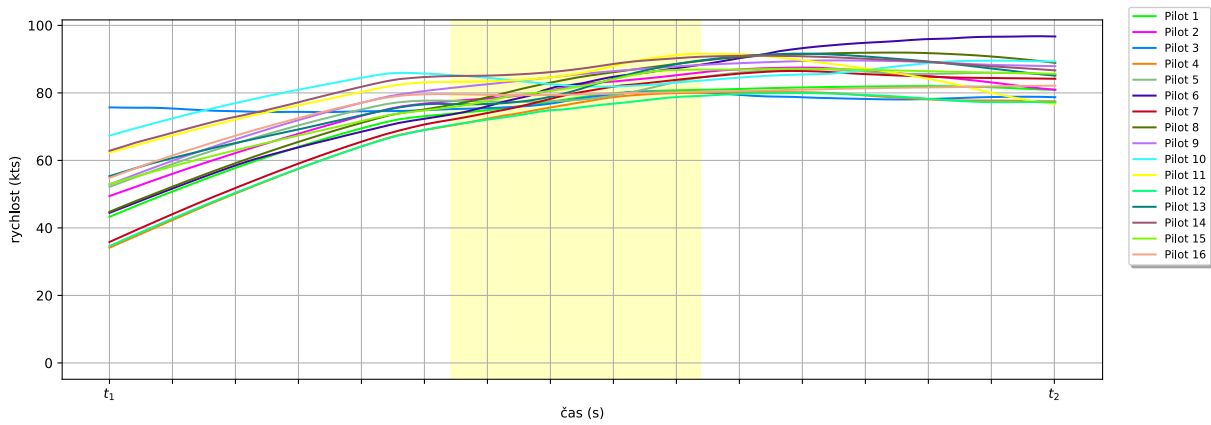
Obrázek A.155: Krabicový graf pro somatogravickou iluzi při druhém profilu - parametr Poloha řídicí páky v rovině roll). Z tohoto parametru byl zjištěn signifikantní rozdíl mezi okny {5} a {9, 13}, {6} a {9, 12, 13}, {7} a {13}, {9} a {5, 6}, {12} a {6}, {13} a {5, 6, 7}.



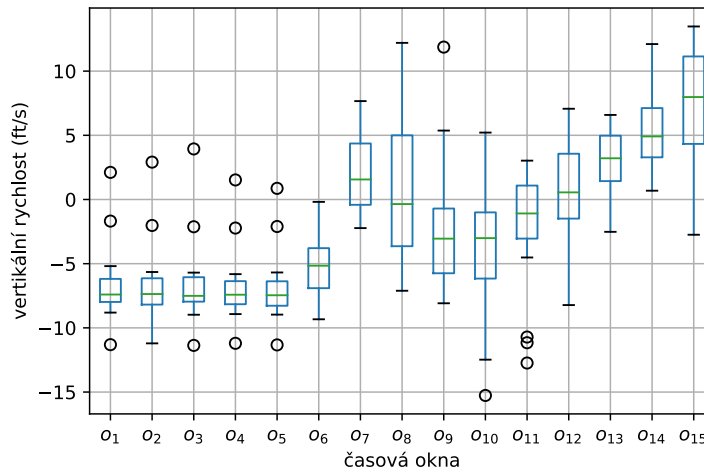
Obrázek A.156: Průběh v čase pro somatogravickou iluzi při druhém profilu - parametr Poloha řídicí páky v rovině roll).



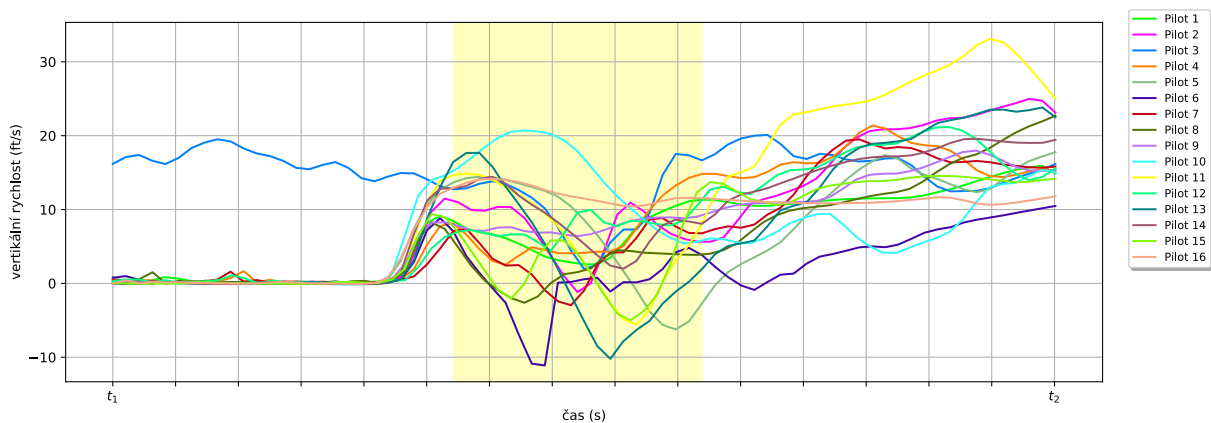
Obrázek A.157: Krabicový graf pro somatogravickou iluzi při druhém profilu - parametr Rychlost. Z tohoto parametru byl zjištěn signifikantní rozdíl mezi okny {1} a {7, 8, 9, 10, 11, 12, 13, 14, 15}, {2} a {8, 9, 10, 11, 12, 13, 14, 15}, {3} a {9, 10, 11, 12, 13, 14, 15}, {4} a {10, 11, 12, 13, 14, 15}, {5} a {11, 12, 13, 14, 15}, {6} a {12, 13, 14, 15}, {7} a {1, 13, 14, 15}, {8} a {1, 2, 13, 14}, {9} a {1, 2, 3, 14}, {10} a {1, 2, 3, 4}, {11} a {1, 2, 3, 4, 5}, {12} a {1, 2, 3, 4, 5, 6}, {13} a {1, 2, 3, 4, 5, 6, 7, 8}, {14} a {1, 2, 3, 4, 5, 6, 7, 8, 9}, {15} a {1, 2, 3, 4, 5, 6, 7}.



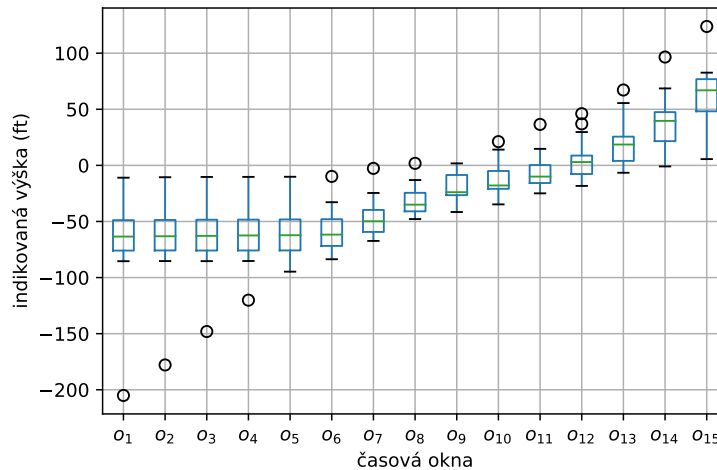
Obrázek A.158: Průběh v čase pro somatogravickou iluzi při druhém profilu - parametr Rychlost.



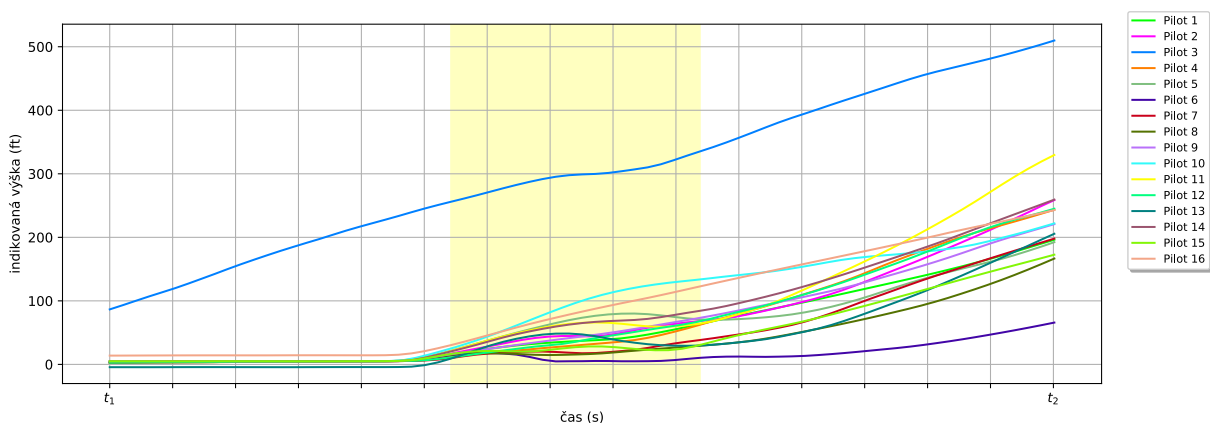
Obrázek A.159: Krabicový graf pro somatogravickou iluzi při druhém profilu - parametr Vertikální rychlost. Z tohoto parametru byl zjištěn signifikantní rozdíl mezi okny {1} a {7, 13, 14, 15}, {2} a {7, 12, 13, 14, 15}, {3} a {7, 12, 13, 14, 15}, {4} a {7, 12, 13, 14, 15}, {5} a {7, 8, 12, 13, 14, 15}, {6} a {14, 15}, {7} a {1, 2, 3, 4, 5}, {8} a {5}, {9} a {15}, {10} a {14, 15}, {11} a {15}, {12} a {2, 3, 4, 5}, {13} a {1, 2, 3, 4, 5}, {14} a {1, 2, 3, 4, 5, 6, 10}, {15} a {1, 2, 3, 4, 5, 6, 9, 10, 11}.



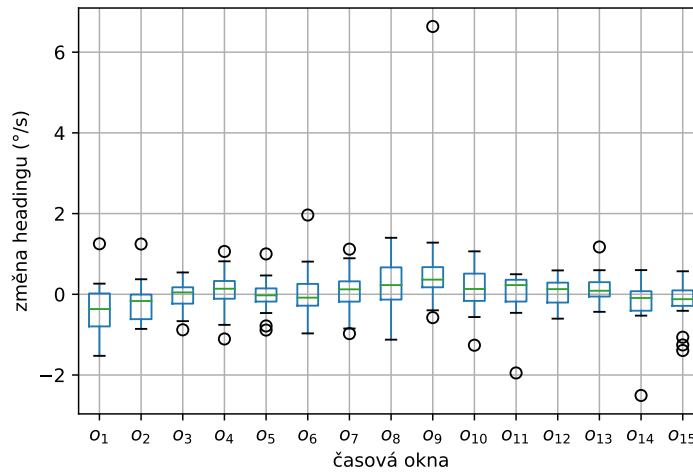
Obrázek A.160: Průběh v čase pro somatogravickou iluzi při druhém profilu - parametr Vertikální rychlost.



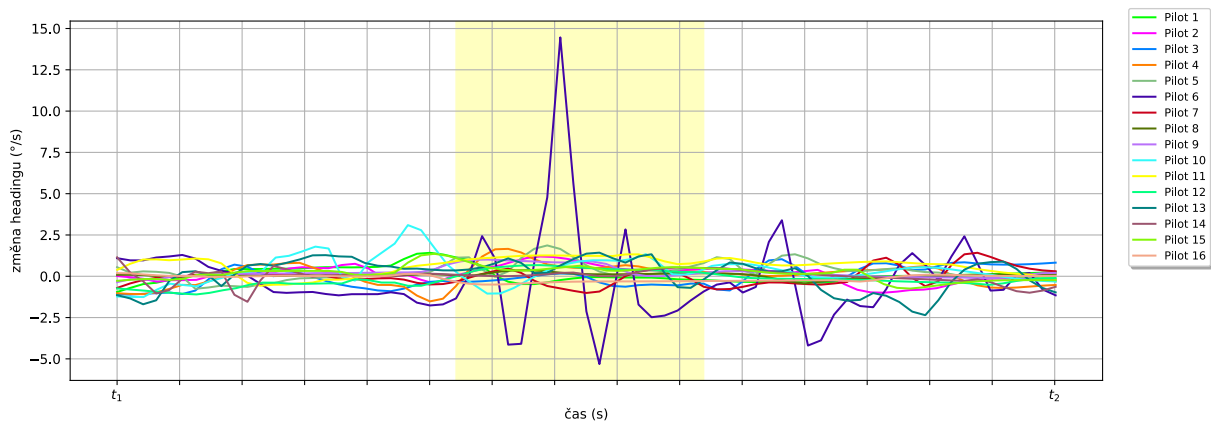
Obrázek A.161: Krabicový graf pro somatogravickou iluzi při druhém profilu - parametr Výška. Z tohoto parametru byl zjištěn signifikantní rozdíl mezi okny {1} a {7, 8, 9, 10, 11, 12, 13, 14, 15}, {2} a {8, 9, 10, 11, 12, 13, 14, 15}, {3} a {8, 9, 10, 11, 12, 13, 14, 15}, {4} a {9, 10, 11, 12, 13, 14, 15}, {5} a {11, 12, 13, 14, 15}, {6} a {12, 13, 14, 15}, {7} a {1, 14, 15}, {8} a {1, 2, 3, 14, 15}, {9} a {1, 2, 3, 4, 15}, {10} a {1, 2, 3, 4}, {11} a {1, 2, 3, 4, 5}, {12} a {1, 2, 3, 4, 5, 6}, {13} a {1, 2, 3, 4, 5, 6}, {14} a {1, 2, 3, 4, 5, 6, 7, 8}, {15} a {1, 2, 3, 4, 5, 6, 7, 8, 9}.



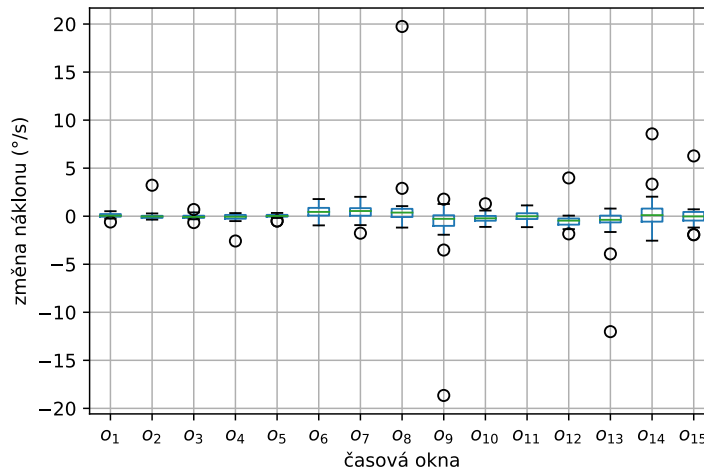
Obrázek A.162: Průběh v čase pro somatogravickou iluzi při druhém profilu - parametr Výška.



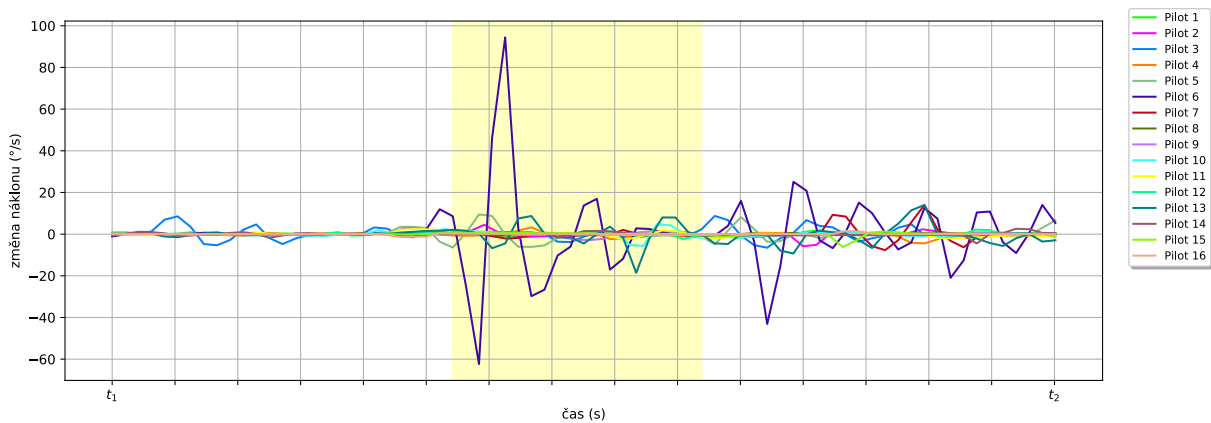
Obrázek A.163: Krabicový graf pro somatogravickou iluzi při druhém profilu - parametr Změna headingu. Z tohoto parametru byl zjištěn signifikantní rozdíl mezi okny {1} a {8, 9}, {2} a {9}, {8} a {1}, {9} a {1, 2, 14}, {14} a {9}.



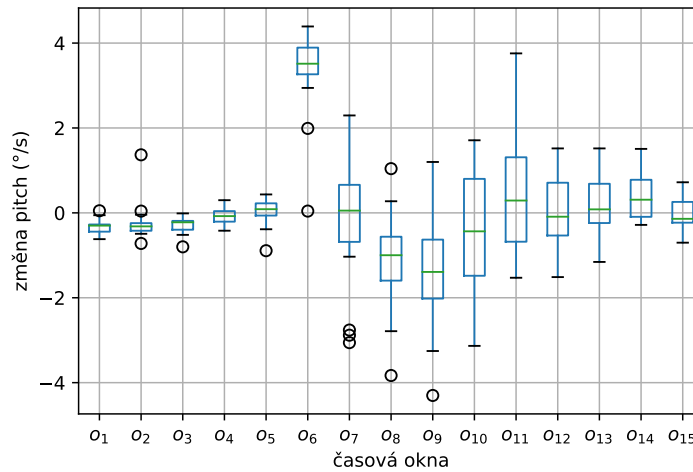
Obrázek A.164: Průběh v čase pro somatogravickou iluzi při druhém profilu - parametr Změna headingu.



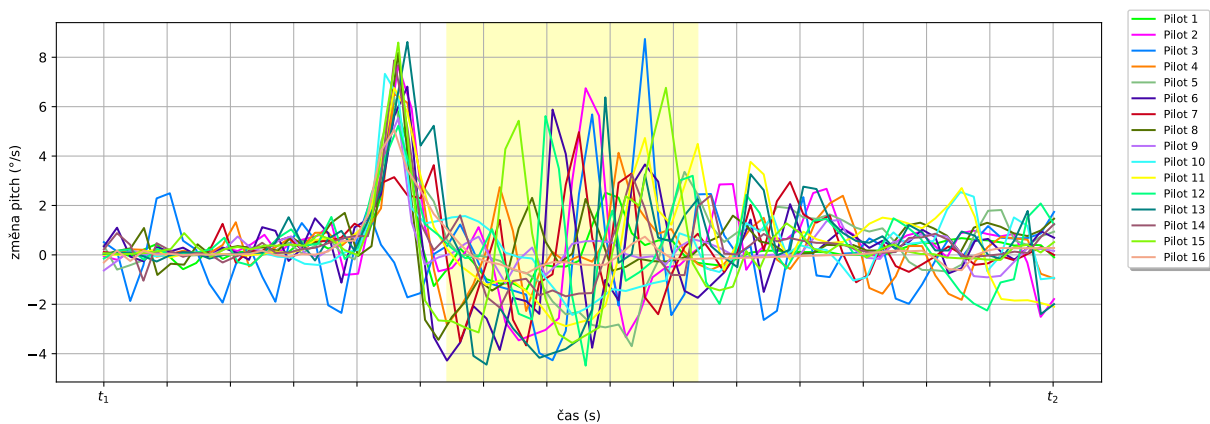
Obrázek A.165: Krabicový graf pro somatogravickou iluzi při druhém profilu - parametr Změna náklonu. Z tohoto parametru byl zjištěn signifikantní rozdíl mezi okny {6} a {12}, {7} a {12}, {8} a {12}, {12} a {6, 7, 8}.



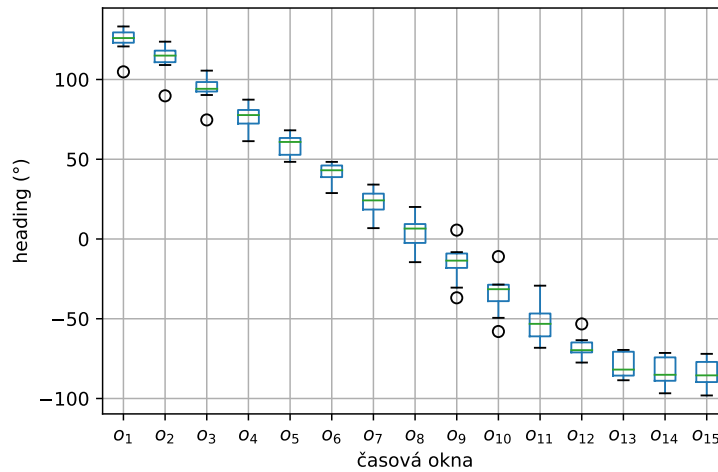
Obrázek A.166: Průběh v čase pro somatogravickou iluzi při druhém profilu - parametr Změna náklonu.



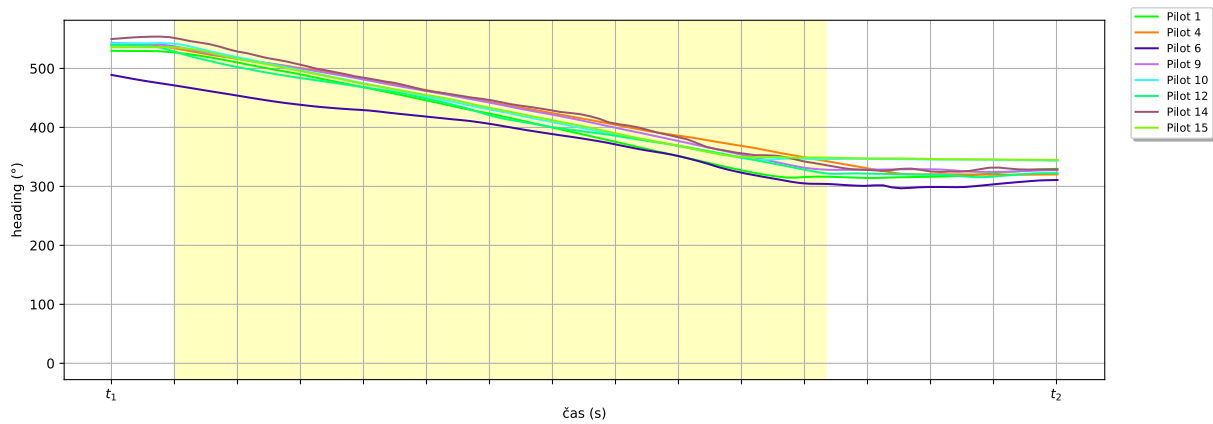
Obrázek A.167: Krabicový graf pro somatogravickou iluzi při druhém profilu - parametr Změna pitch. Z tohoto parametru byl zjištěn signifikantní rozdíl mezi okny {1} a {6, 14}, {2} a {6}, {3} a {6}, {4} a {6}, {5} a {8, 9}, {6} a {1, 2, 3, 4, 7, 8, 9, 10, 12, 13, 15}, {7} a {6}, {8} a {5, 6, 11, 14}, {9} a {5, 6, 11, 13, 14}, {10} a {6}, {11} a {8, 9}, {12} a {6}, {13} a {6, 9}, {14} a {1, 8, 9}, {15} a {6}.



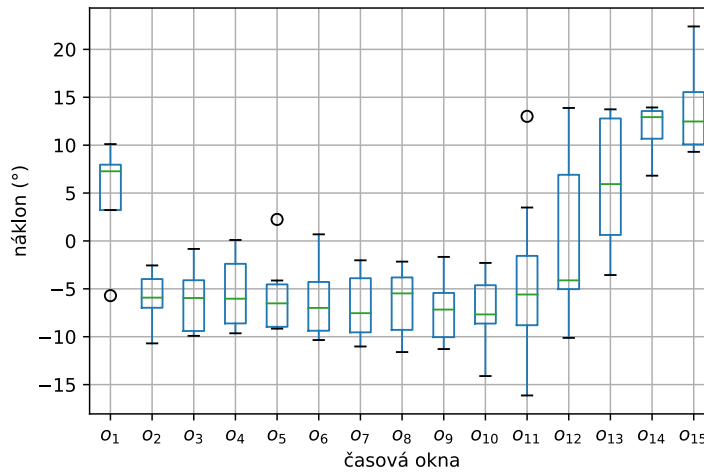
Obrázek A.168: Průběh v čase pro somatogravickou iluzi při druhém profilu - parametr Změna pitch.



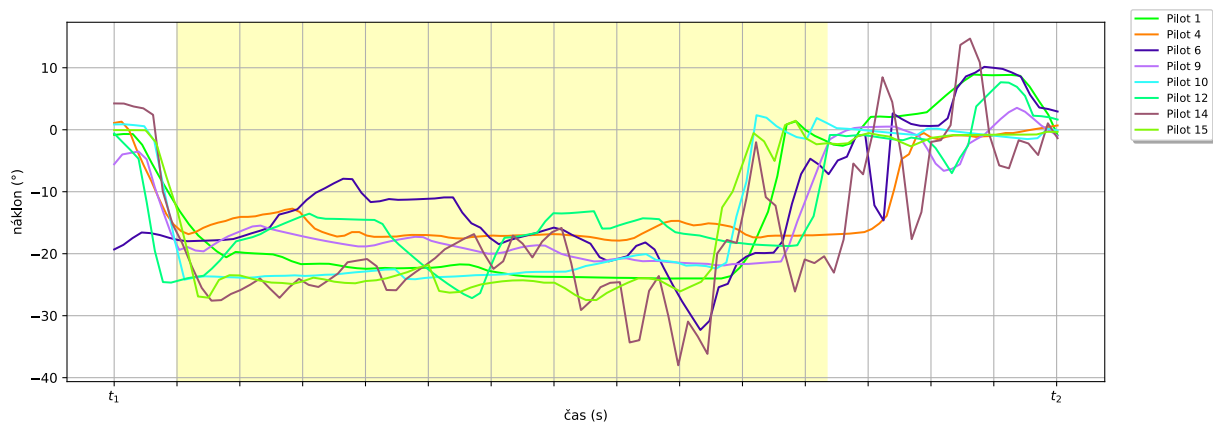
Obrázek A.169: Krabicový graf pro somatogyrální iluzi při druhém profilu - parametr Heading. Z tohoto parametru nebyl zjištěn signifikantní rozdíl mezi žádnými okny.



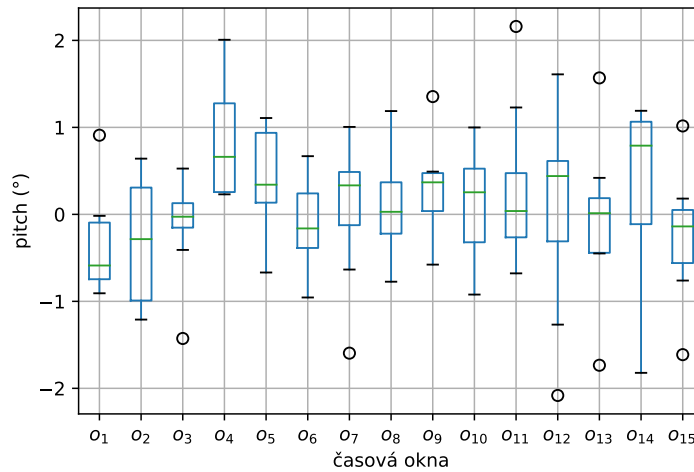
Obrázek A.170: Průběh v čase pro somatogyrální iluzi při druhém profilu - parametr Heading.



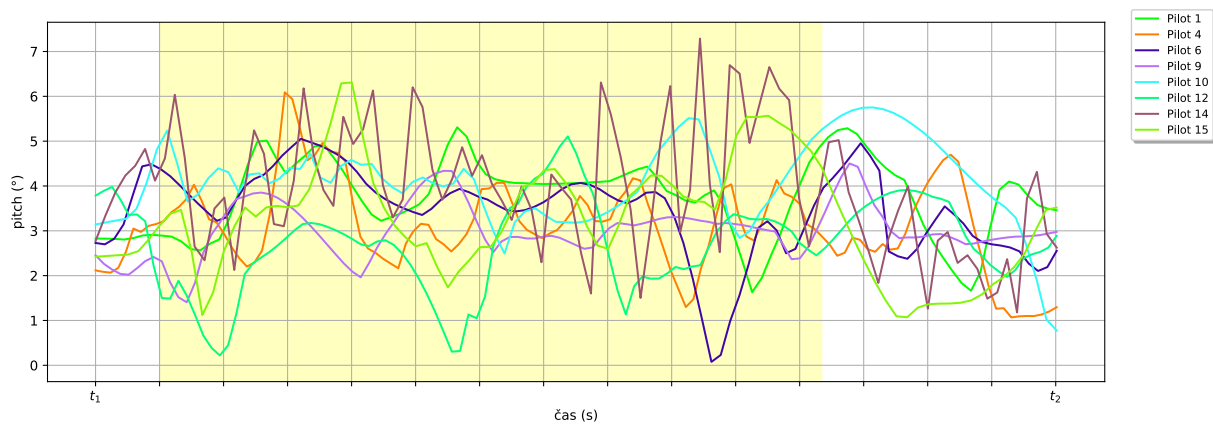
Obrázek A.171: Krabicový graf pro somatogyrální iluzi při druhém profilu - parametr Náklon. Z tohoto parametru nebyl zjištěn signifikantní rozdíl mezi žádnými okny.



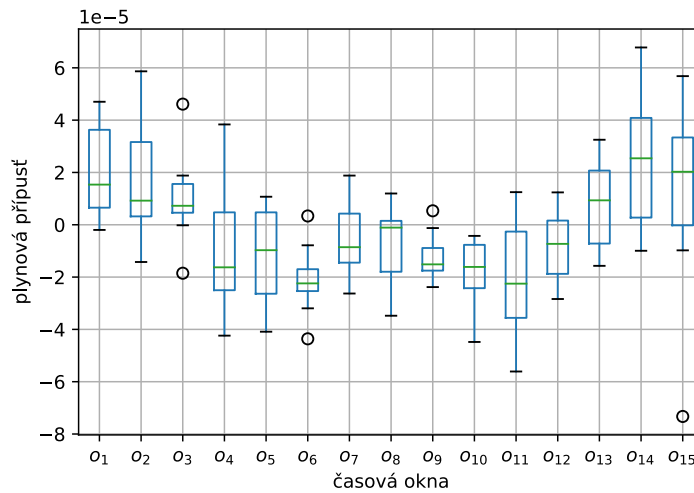
Obrázek A.172: Průběh v čase pro somatogyrální iluzi při druhém profilu - parametr Náklon.



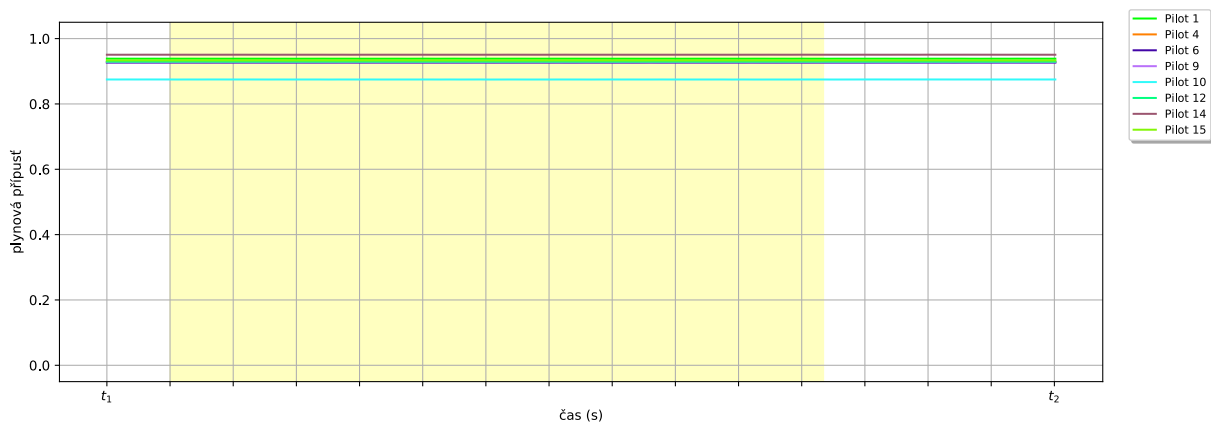
Obrázek A.173: Krabicový graf pro somatogyrální iluzi při druhém profilu - parametr Pitch. Z tohoto parametru nebyl zjištěn signifikantní rozdíl mezi žádnými okny.



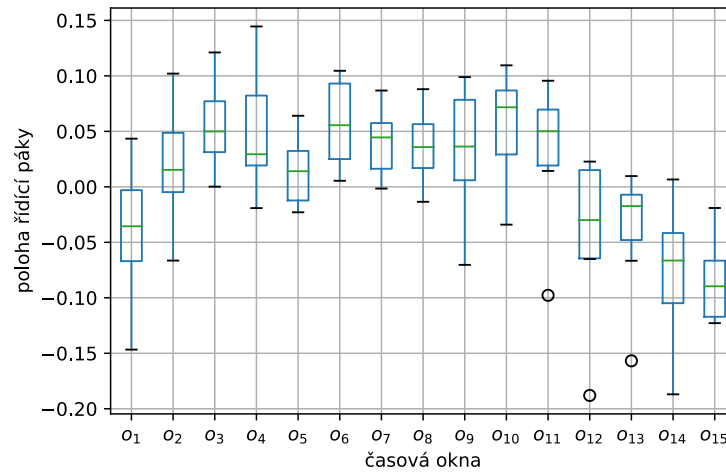
Obrázek A.174: Průběh v čase pro somatogyrální iluzi při druhém profilu - parametr Pitch.



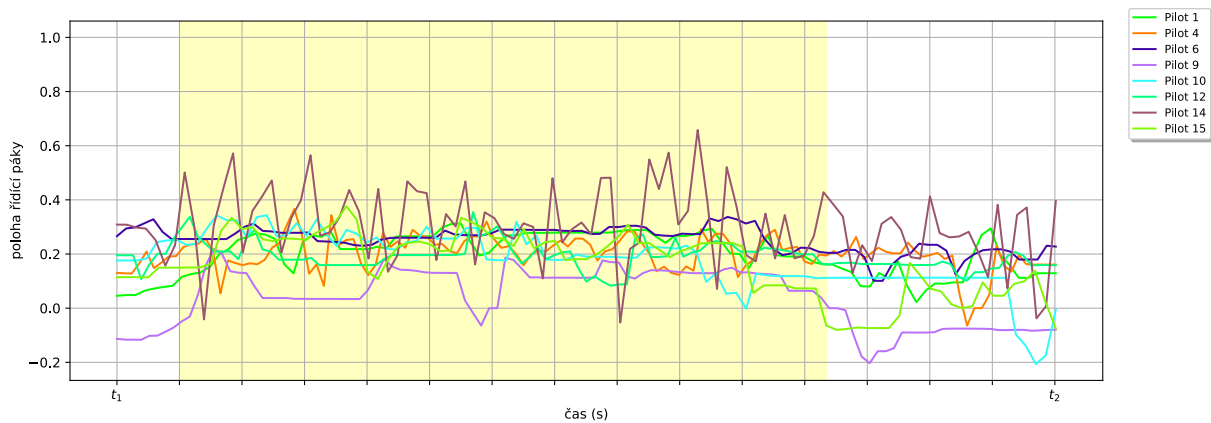
Obrázek A.175: Krabicový graf pro somatogyrální iluzi při druhém profilu - parametr Plynová přípust. Z tohoto parametru nebyl zjištěn signifikantní rozdíl mezi žádnými okny.



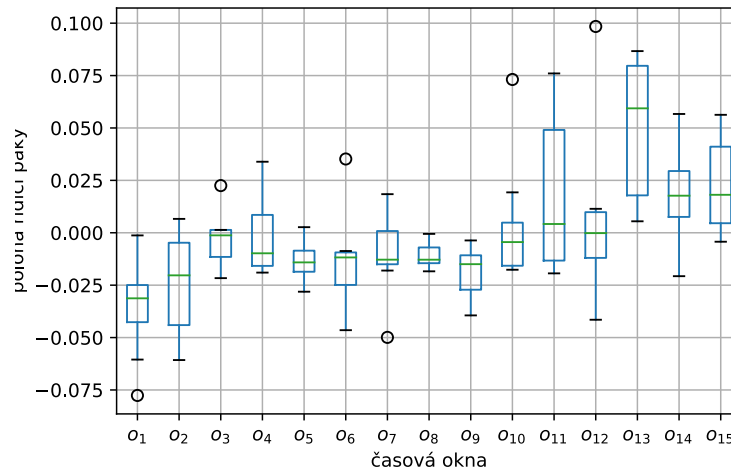
Obrázek A.176: Průběh v čase pro somatogyrální iluzi při druhém profilu - parametr Plynová přípust.



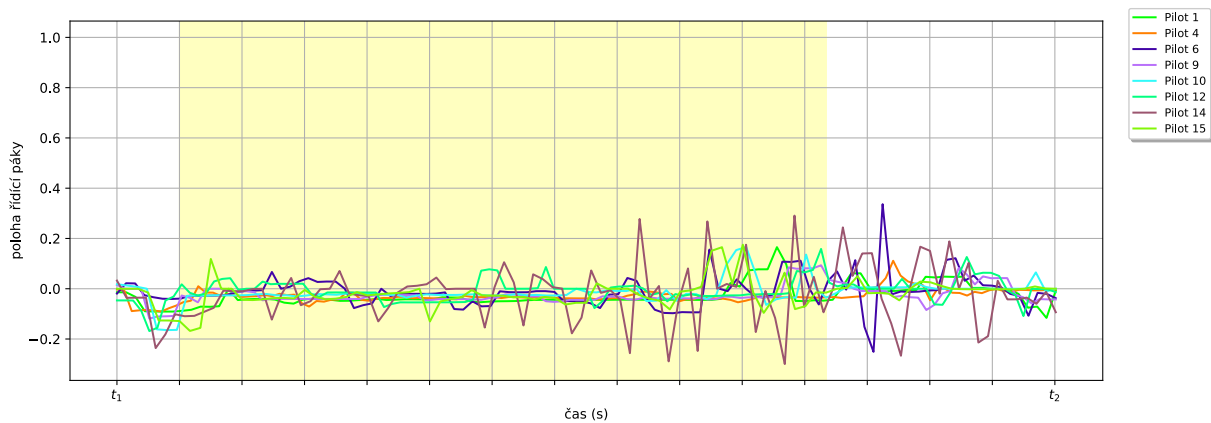
Obrázek A.177: Krabicový graf pro somatogyrální iluzi při druhém profilu - parametr Poloha řídicí páky v rovině pitch. Z tohoto parametru nebyl zjištěn signifikantní rozdíl mezi žádnými okny.



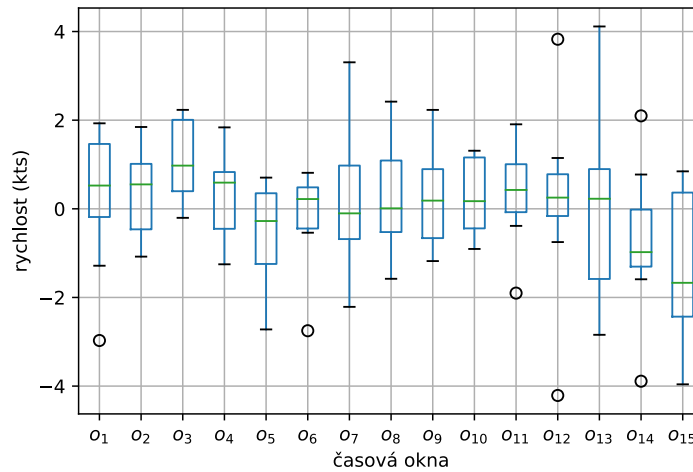
Obrázek A.178: Průběh v čase pro somatogyrální iluzi při druhém profilu - parametr Poloha řídicí páky v rovině pitch.



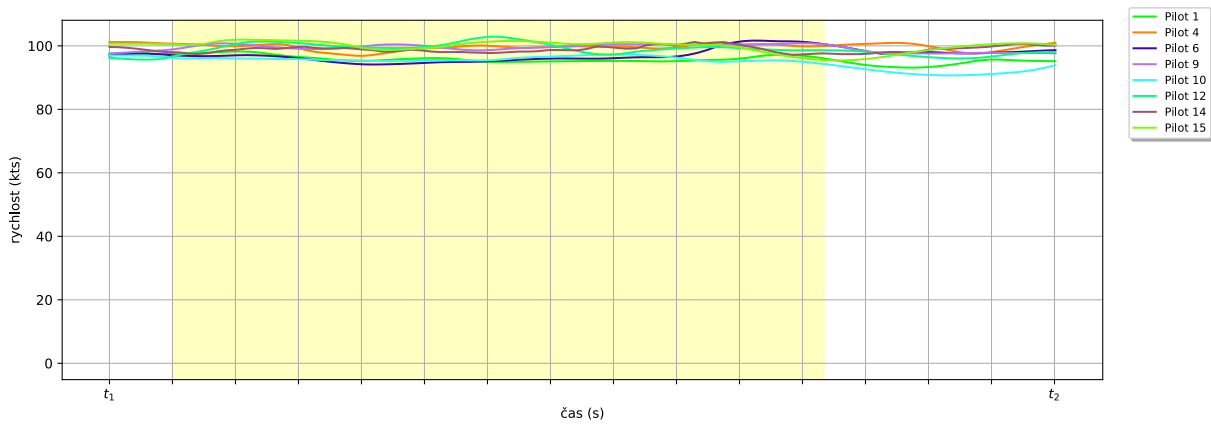
Obrázek A.179: Krabicový graf pro somatogyrální iluzi při druhém profilu - parametr Poloha řídicí páky v rovině roll). Z tohoto parametru nebyl zjištěn signifikantní rozdíl mezi žádnými okny.



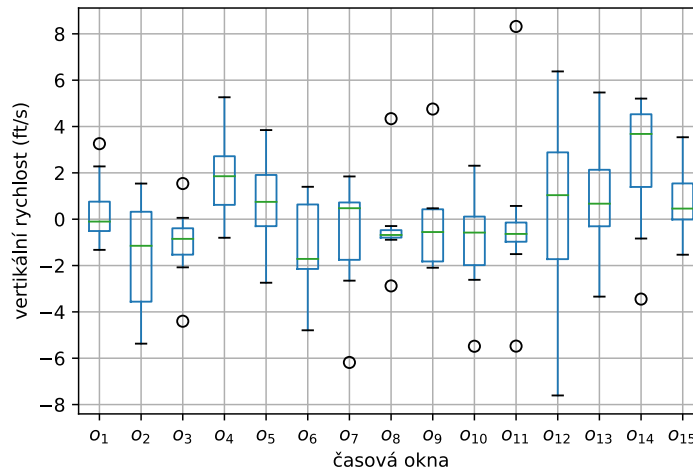
Obrázek A.180: Průběh v čase pro somatogyrální iluzi při druhém profilu - parametr Poloha řídicí páky v rovině roll).



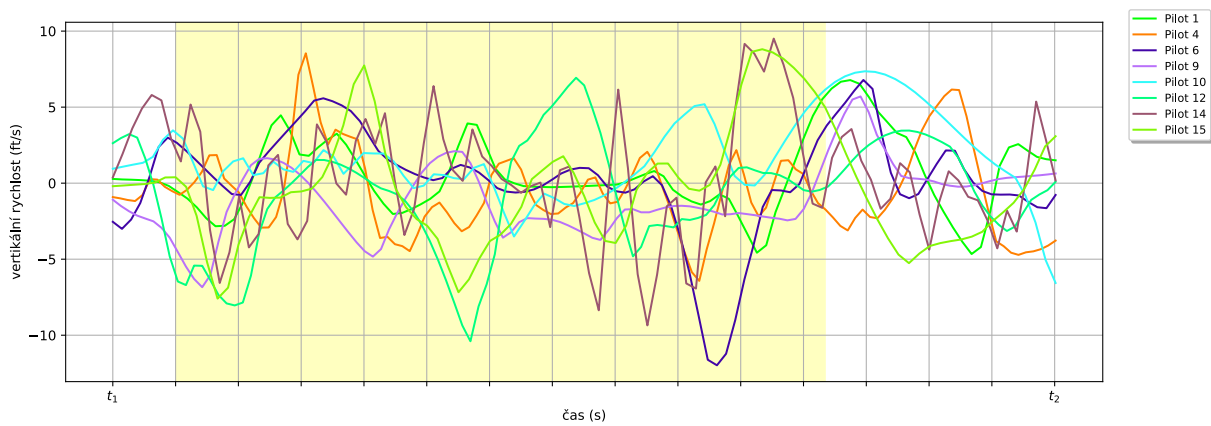
Obrázek A.181: Krabicový graf pro somatogyrální iluzi při druhém profilu - parametr Rychlost. Z tohoto parametru nebyl zjištěn signifikantní rozdíl mezi žádnými okny.



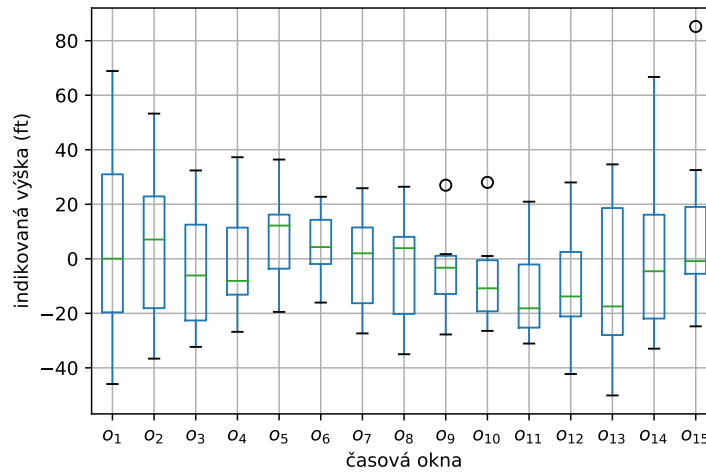
Obrázek A.182: Průběh v čase pro somatogyrální iluzi při druhém profilu - parametr Rychlost.



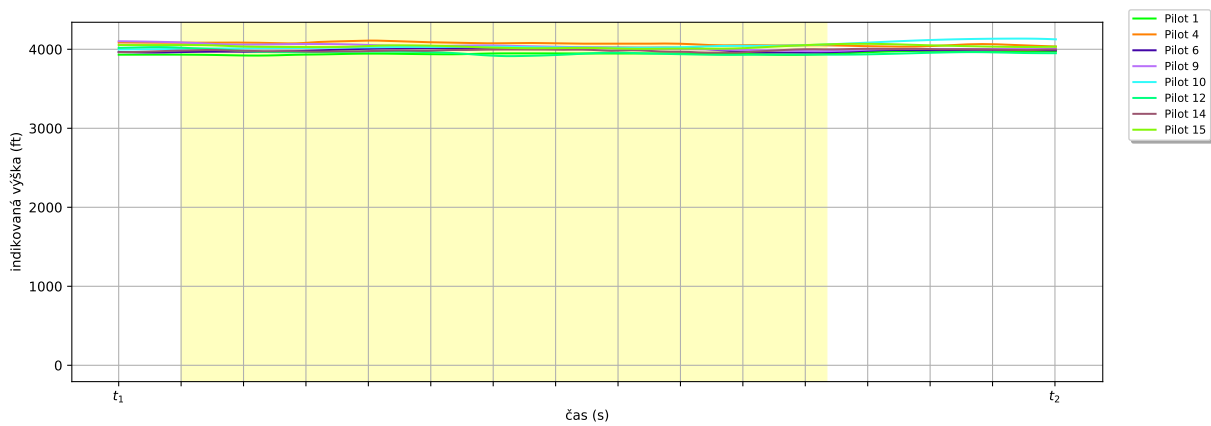
Obrázek A.183: Krabicový graf pro somatogyrální iluzi při druhém profilu - parametr Vertikální rychlost. Z tohoto parametru nebyl zjištěn signifikantní rozdíl mezi žádnými okny.



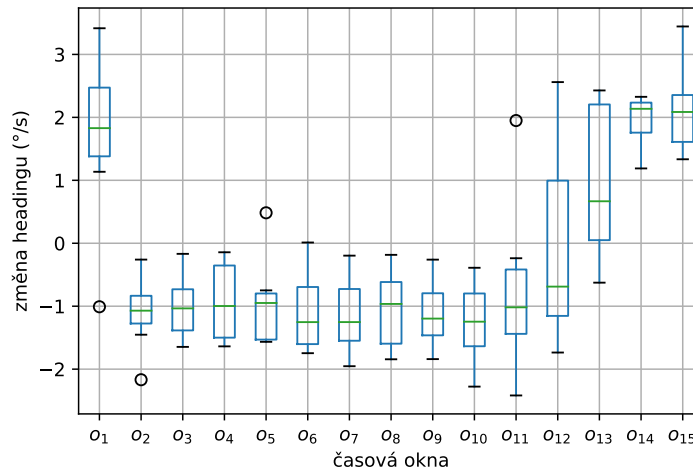
Obrázek A.184: Průběh v čase pro somatogyrální iluzi při druhém profilu - parametr Vertikální rychlost.



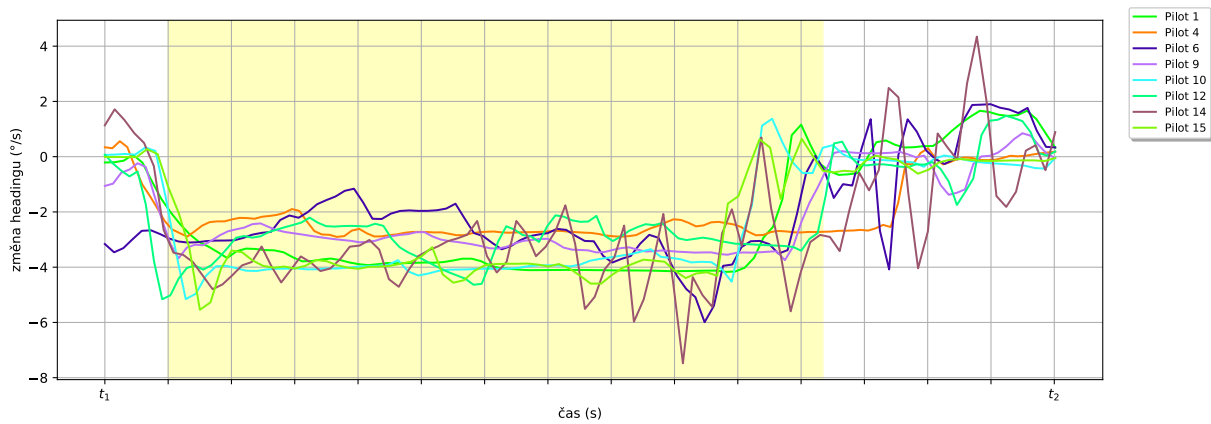
Obrázek A.185: Krabicový graf pro somatogrální iluzi při druhém profilu - parametr Výška. Z tohoto parametru nebyl zjištěn signifikantní rozdíl mezi žádnými okny.



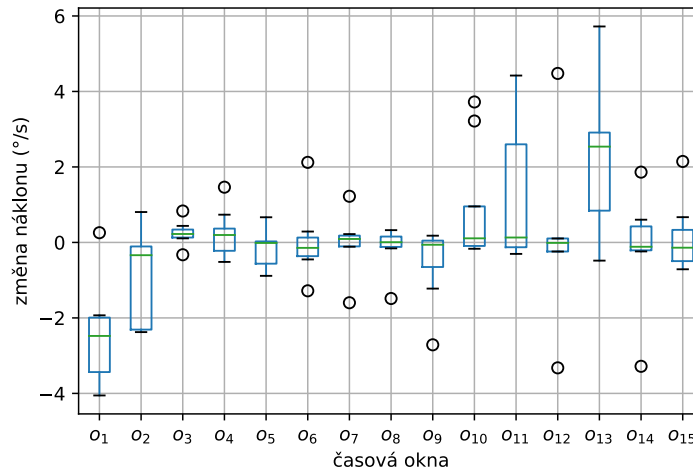
Obrázek A.186: Průběh v čase pro somatogrální iluzi při druhém profilu - parametr Výška.



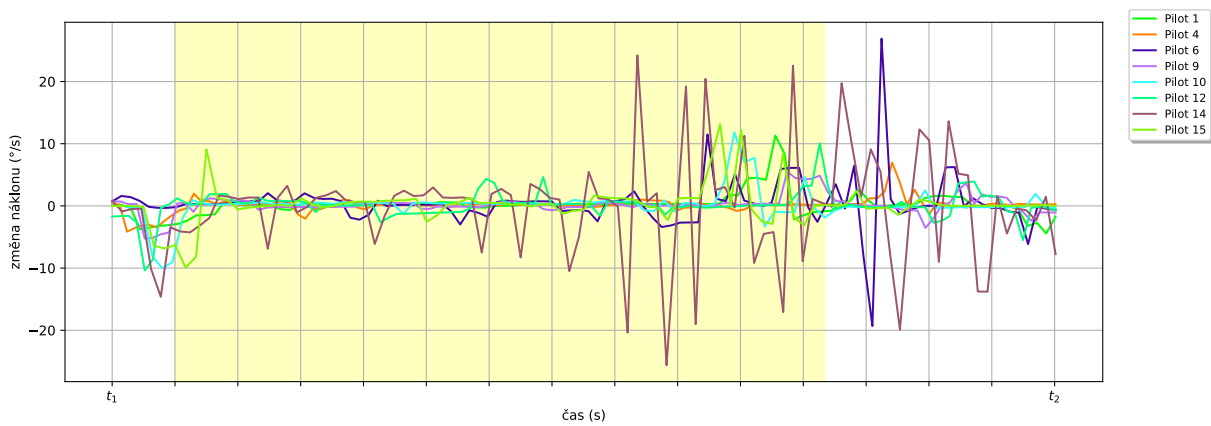
Obrázek A.187: Krabicový graf pro somatogyrální iluzi při druhém profilu - parametr Změna headingu. Z tohoto parametru nebyl zjištěn signifikantní rozdíl mezi žádnými okny.



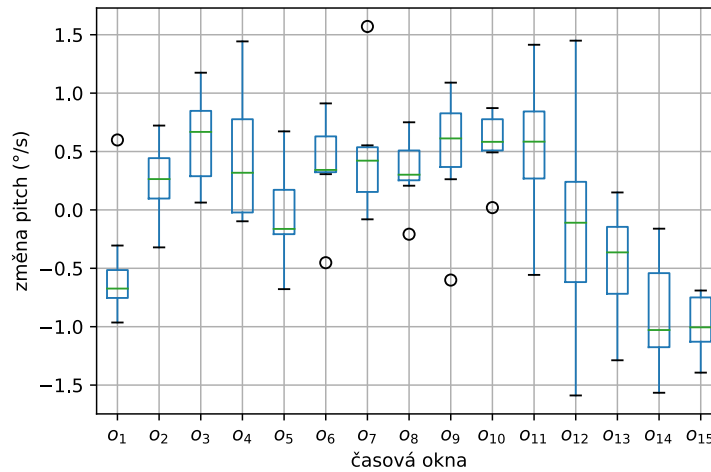
Obrázek A.188: Průběh v čase pro somatogyrální iluzi při druhém profilu - parametr Změna headingu.



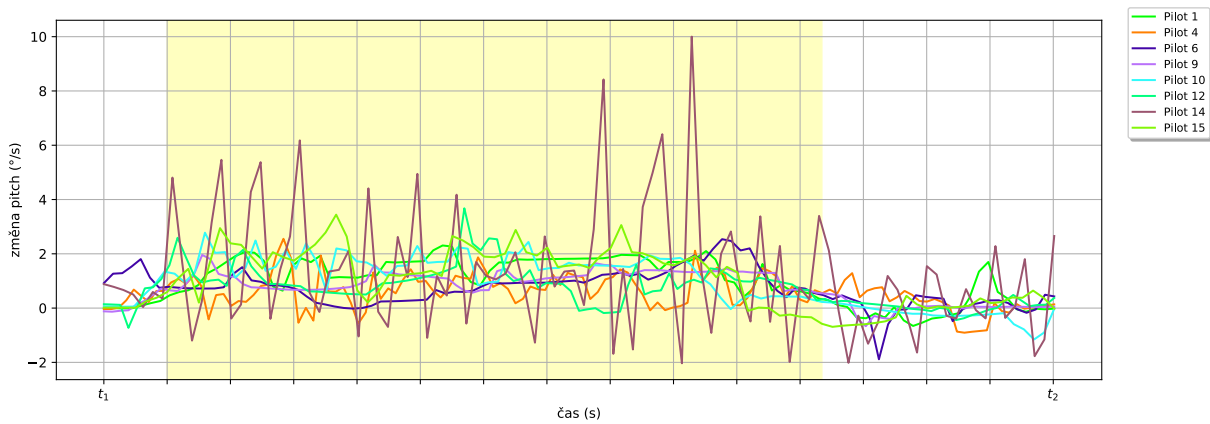
Obrázek A.189: Krabicový graf pro somatogyrální iluzi při druhém profilu - parametr Změna náklonu. Z tohoto parametru nebyl zjištěn signifikantní rozdíl mezi žádnými okny.



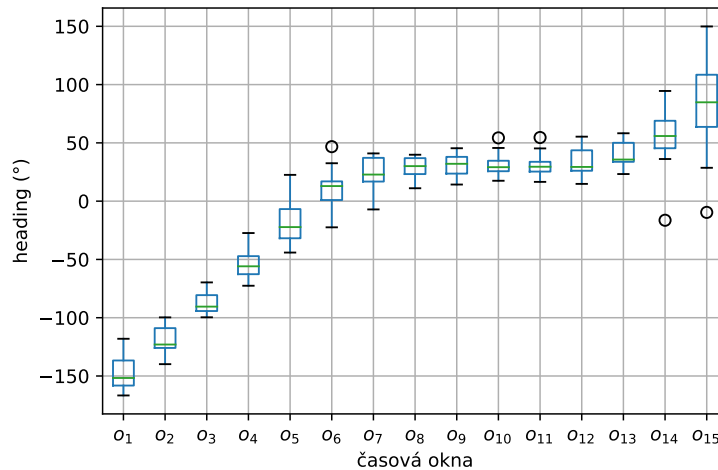
Obrázek A.190: Průběh v čase pro somatogyrální iluzi při druhém profilu - parametr Změna náklonu.



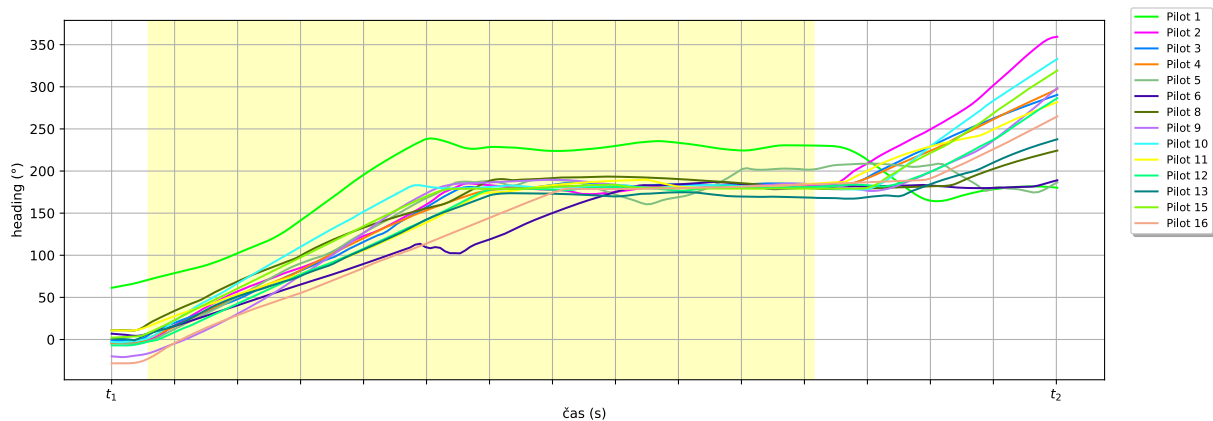
Obrázek A.191: Krabicový graf pro somatogyrální iluzi při druhém profilu - parametr Změna pitch. Z tohoto parametru nebyl zjištěn signifikantní rozdíl mezi žádnými okny.



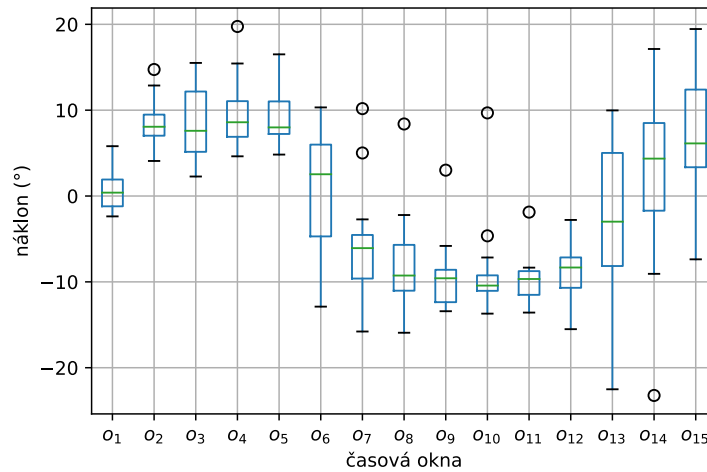
Obrázek A.192: Průběh v čase pro somatogyrální iluzi při druhém profilu - parametr Změna pitch.



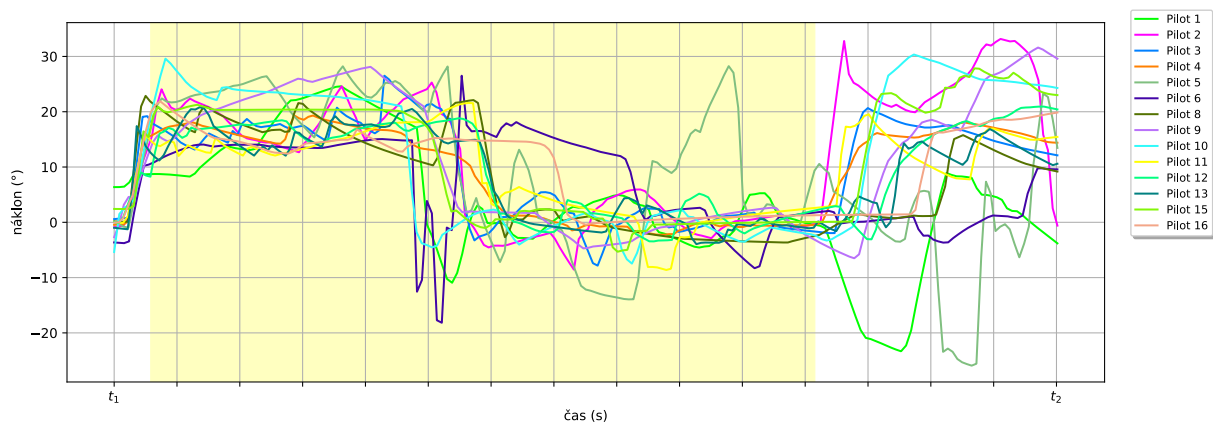
Obrázek A.193: Krabicový graf pro Coriolisovu iluzi při třetím profilu - parametr Heading. Z tohoto parametru byl zjištěn signifikantní rozdíl mezi okny {1} a {6, 7, 8, 9, 10, 11, 12, 13, 14, 15}, {2} a {7, 8, 9, 10, 11, 12, 13, 14, 15}, {3} a {7, 8, 9, 10, 11, 12, 13, 14, 15}, {4} a {8, 9, 10, 11, 13, 14, 15}, {5} a {13, 14, 15}, {6} a {1, 15}, {7} a {1, 2, 3}, {8} a {1, 2, 3, 4}, {9} a {1, 2, 3, 4}, {10} a {1, 2, 3, 4}, {11} a {1, 2, 3, 4}, {12} a {1, 2, 3}, {13} a {1, 2, 3, 4, 5}, {14} a {1, 2, 3, 4, 5}, {15} a {1, 2, 3, 4, 5, 6}.



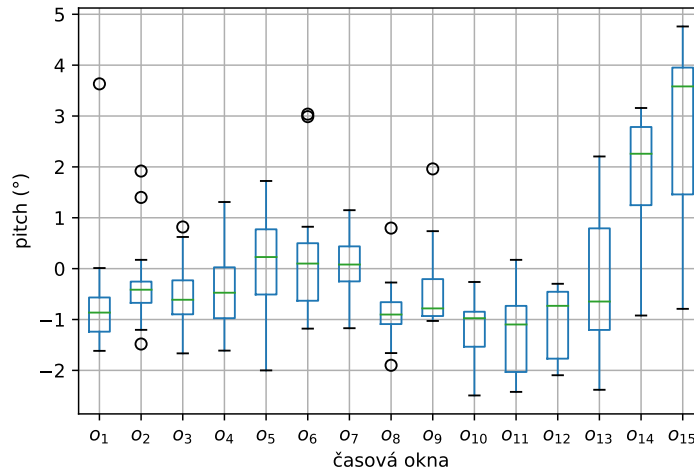
Obrázek A.194: Průběh v čase pro Coriolisovu iluzi při třetím profilu - parametr Heading.



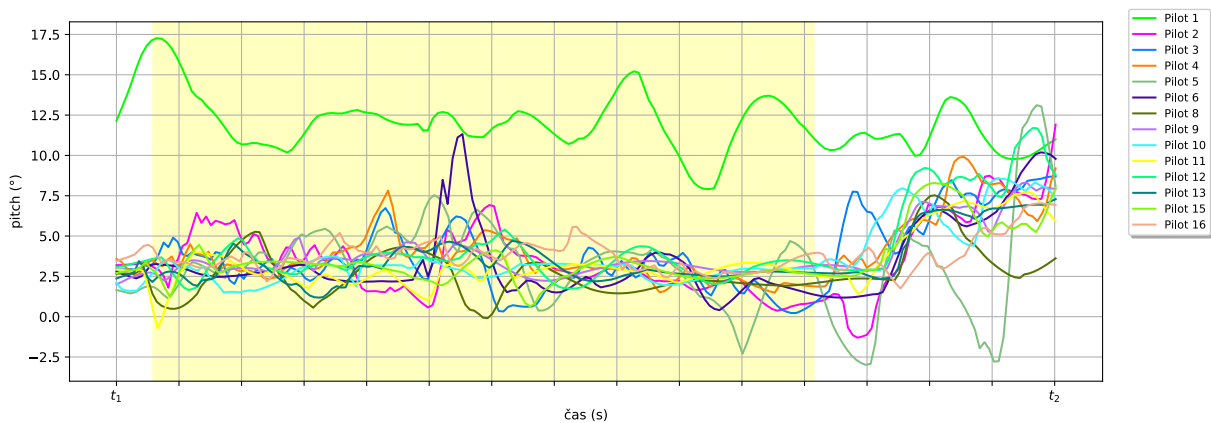
Obrázek A.195: Krabicový graf pro Coriolisovu iluzi při třetím profilu - parametr Náklon. Z tohoto parametru byl zjištěn signifikantní rozdíl mezi okny {2} a {8, 9, 10, 11, 12}, {3} a {8, 9, 10, 11, 12}, {4} a {8, 9, 10, 11, 12}, {5} a {8, 9, 10, 11, 12}, {8} a {2, 3, 4, 5}, {9} a {2, 3, 4, 5, 15}, {10} a {2, 3, 4, 5, 15}, {11} a {2, 3, 4, 5, 15}, {12} a {2, 3, 4, 5, 15}, {15} a {9, 10, 11, 12}.



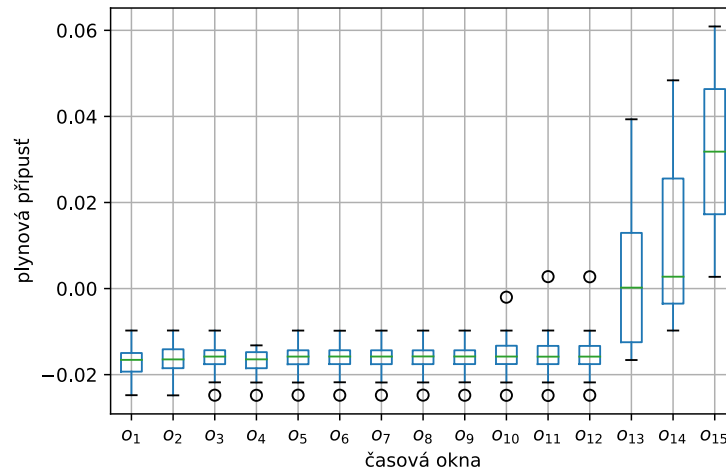
Obrázek A.196: Průběh v čase pro Coriolisovu iluzi při třetím profilu - parametr Náklon.



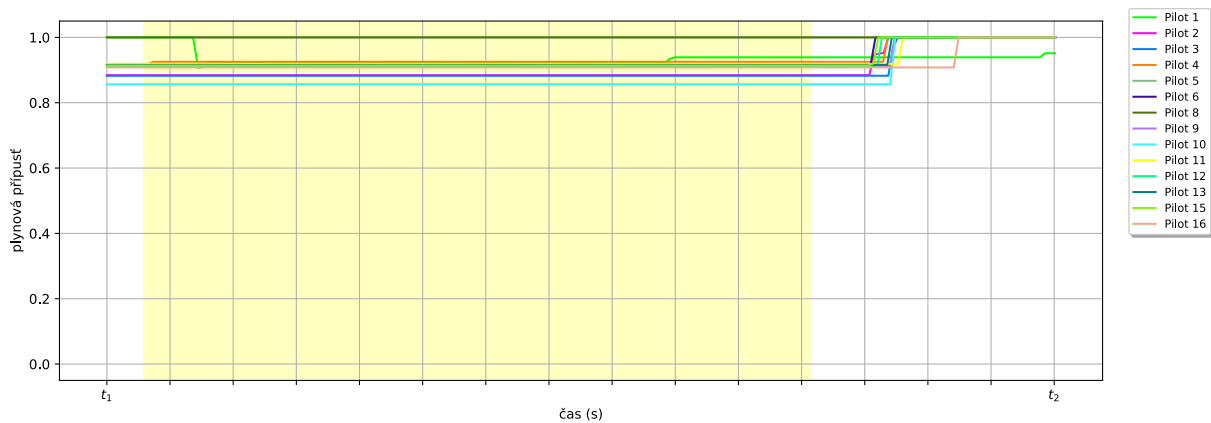
Obrázek A.197: Krabicový graf pro Coriolisovu iluzi při třetím profilu - parametr Pitch. Z tohoto parametru byl zjištěn signifikantní rozdíl mezi okny {1} a {15}, {3} a {15}, {4} a {15}, {8} a {15}, {10} a {14, 15}, {11} a {14, 15}, {12} a {14, 15}, {13} a {15}, {14} a {10, 11, 12}, {15} a {1, 3, 4, 8, 10, 11, 12, 13}.



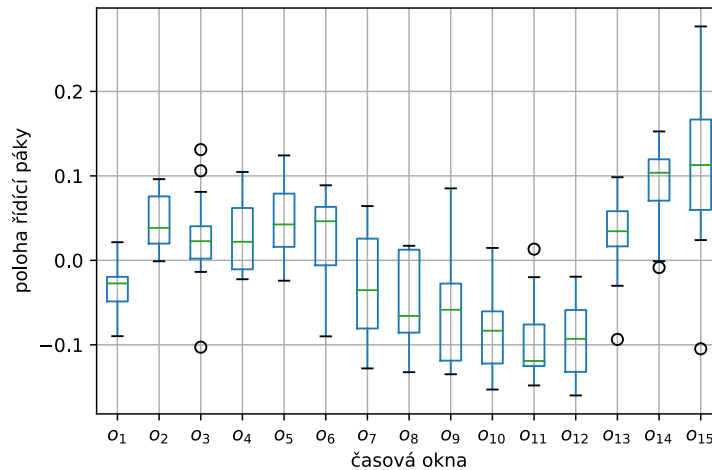
Obrázek A.198: Průběh v čase pro Coriolisovu iluzi při třetím profilu - parametr Pitch.



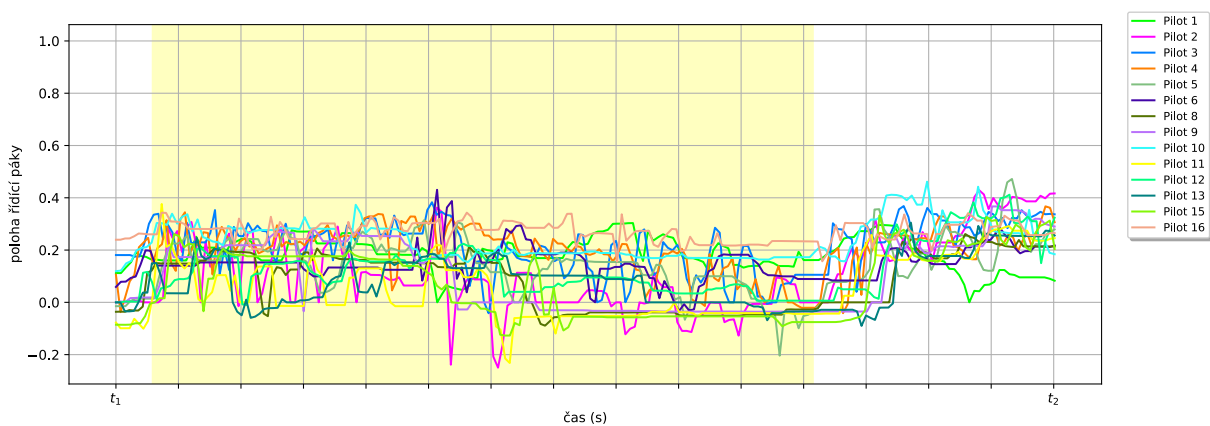
Obrázek A.199: Krabicový graf pro Coriolisovu iluzi při třetím profilu - parametr Plynová přípušť. Z tohoto parametru byl zjištěn signifikantní rozdíl mezi okny {2} a {14}, {3} a {14}, {4} a {14, 15}, {5} a {14}, {11} a {14}, {12} a {14}, {14} a {2, 3, 4, 5, 11, 12}, {15} a {4}.



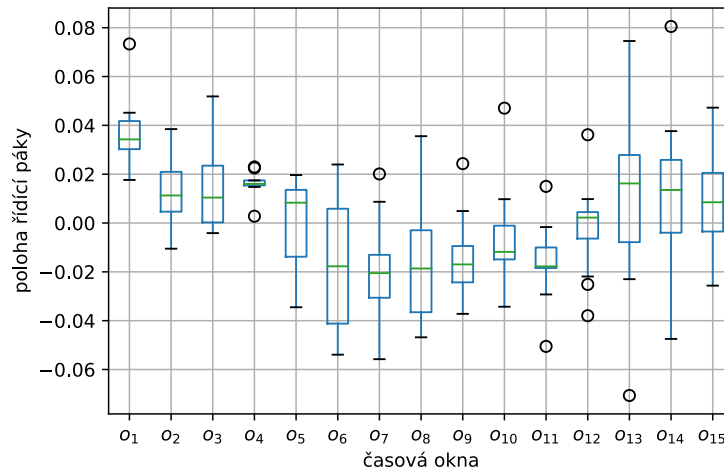
Obrázek A.200: Průběh v čase pro Coriolisovu iluzi při třetím profilu - parametr Plynová přípušť.



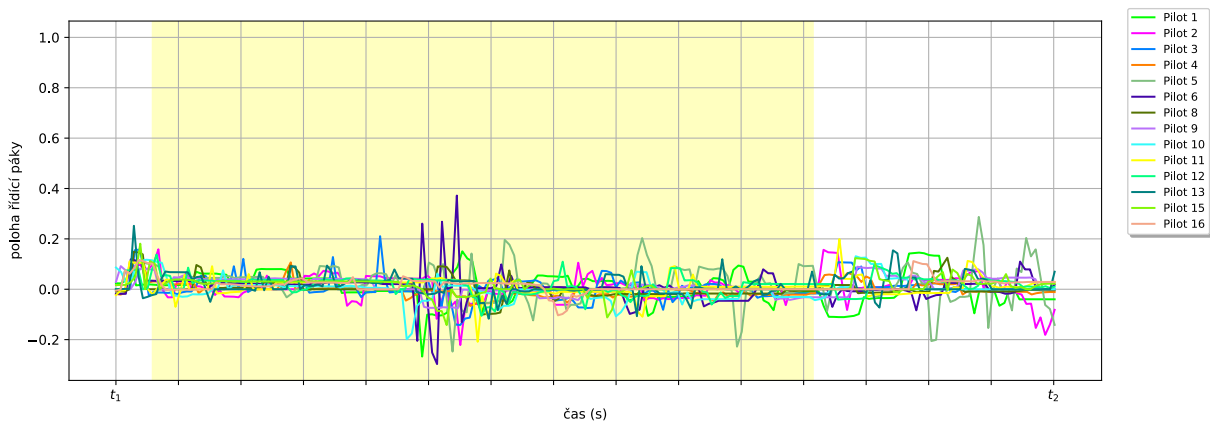
Obrázek A.201: Krabicový graf pro Coriolisovu iluzi při třetím profilu - parametr Poloha řídicí páky v rovině pitch. Z tohoto parametru byl zjištěn signifikantní rozdíl mezi okny {1} a {14, 15}, {2} a {10, 11, 12}, {5} a {10, 11, 12}, {6} a {11, 12}, {8} a {15}, {9} a {14, 15}, {10} a {2, 5, 14, 15}, {11} a {2, 5, 6, 13, 14, 15}, {12} a {2, 5, 6, 14, 15}, {13} a {11}, {14} a {1, 9, 10, 11, 12}, {15} a {1, 8, 9, 10, 11, 12}.



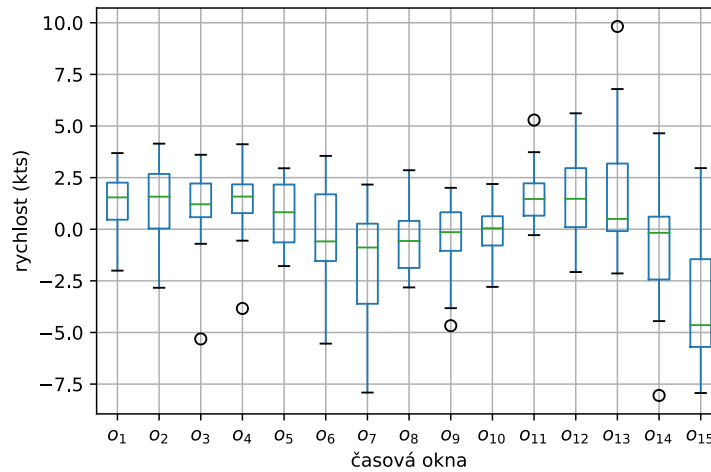
Obrázek A.202: Průběh v čase pro Coriolisovu iluzi při třetím profilu - parametr Poloha řídicí páky v rovině pitch.



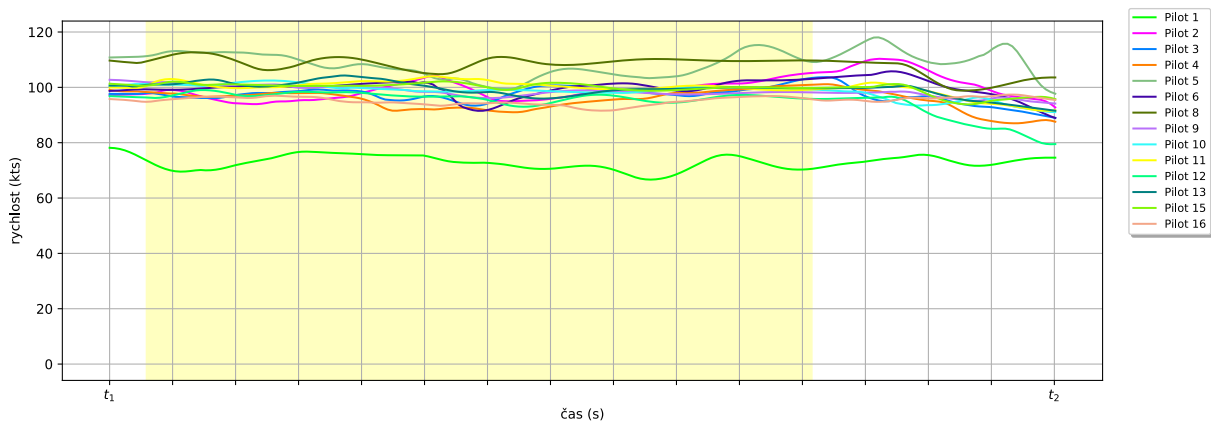
Obrázek A.203: Krabicový graf pro Coriolisovu iluzi při třetím profilu - parametr Poloha řídicí páky v rovině roll). Z tohoto parametru byl zjištěn signifikantní rozdíl mezi okny {1} a {6, 7, 8, 9, 11}, {6} a {1}, {7} a {1}, {8} a {1}, {9} a {1}, {11} a {1}.



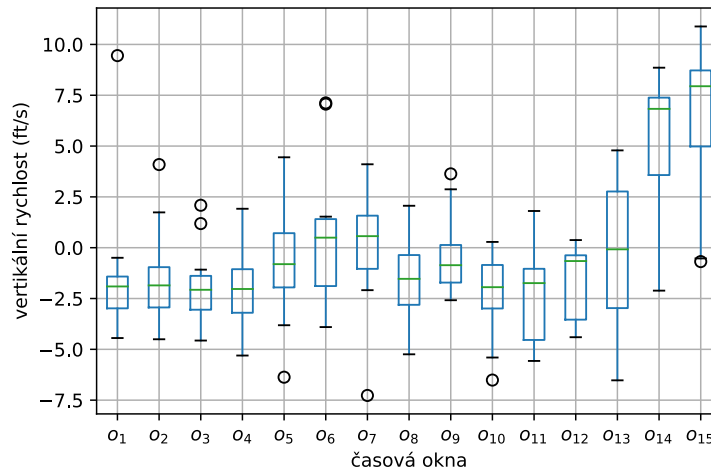
Obrázek A.204: Průběh v čase pro Coriolisovu iluzi při třetím profilu - parametr Poloha řídicí páky v rovině roll).



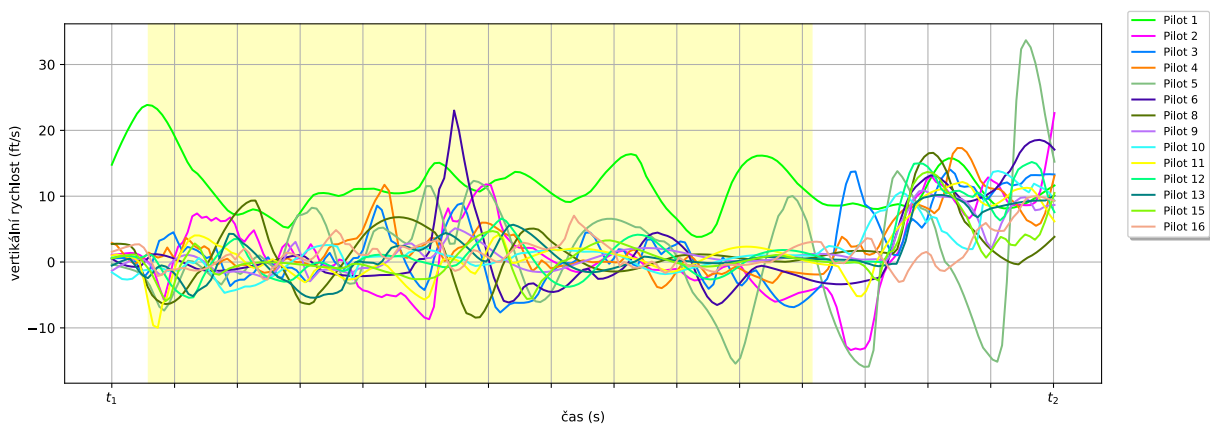
Obrázek A.205: Krabicový graf pro Coriolisovu iluzi při třetím profilu - parametr Rychlost. Z tohoto parametru byl zjištěn signifikantní rozdíl mezi okny {1} a {15}, {2} a {15}, {3} a {15}, {4} a {15}, {11} a {15}, {15} a {1, 2, 3, 4, 11}.



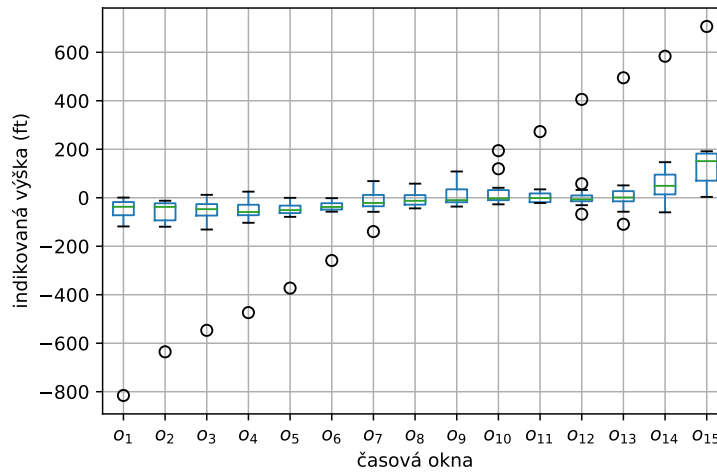
Obrázek A.206: Průběh v čase pro Coriolisovu iluzi při třetím profilu - parametr Rychlost.



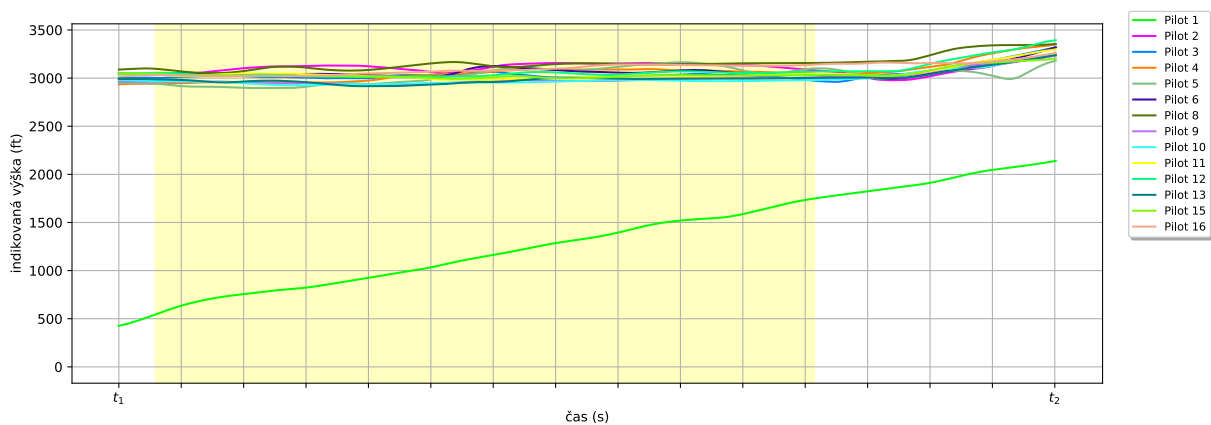
Obrázek A.207: Krabicový graf pro Coriolisovu iluzi při třetím profilu - parametr Vertikální rychlost. Z tohoto parametru byl zjištěn signifikantní rozdíl mezi okny {1} a {14, 15}, {2} a {15}, {3} a {14, 15}, {4} a {15}, {8} a {15}, {10} a {14, 15}, {11} a {14, 15}, {14} a {1, 3, 10, 11}, {15} a {1, 2, 3, 4, 8, 10, 11}.



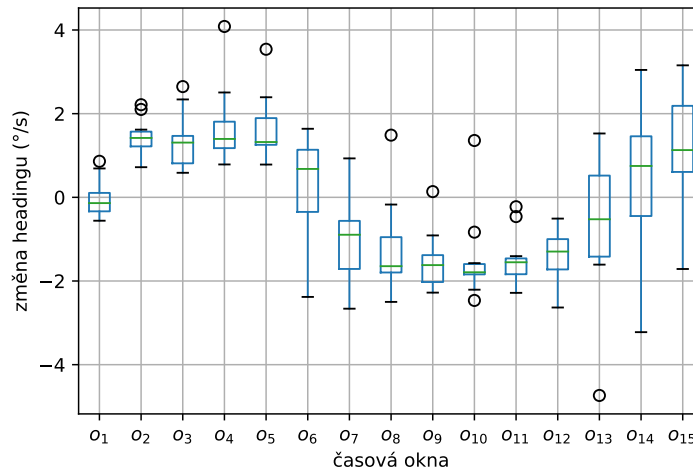
Obrázek A.208: Průběh v čase pro Coriolisovu iluzi při třetím profilu - parametr Vertikální rychlost.



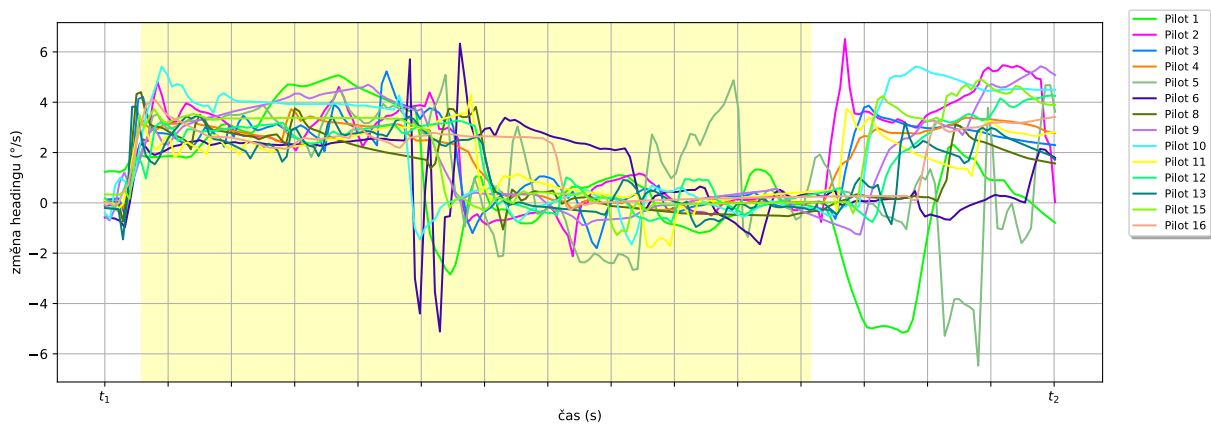
Obrázek A.209: Krabicový graf pro Coriolisovu iluzi při třetím profilu - parametr Výška. Z tohoto parametru byl zjištěn signifikantní rozdíl mezi okny {1} a {14, 15}, {2} a {14, 15}, {3} a {14, 15}, {4} a {10, 14, 15}, {5} a {10, 14, 15}, {6} a {14, 15}, {7} a {15}, {10} a {4, 5}, {14} a {1, 2, 3, 4, 5, 6}, {15} a {1, 2, 3, 4, 5, 6, 7}.



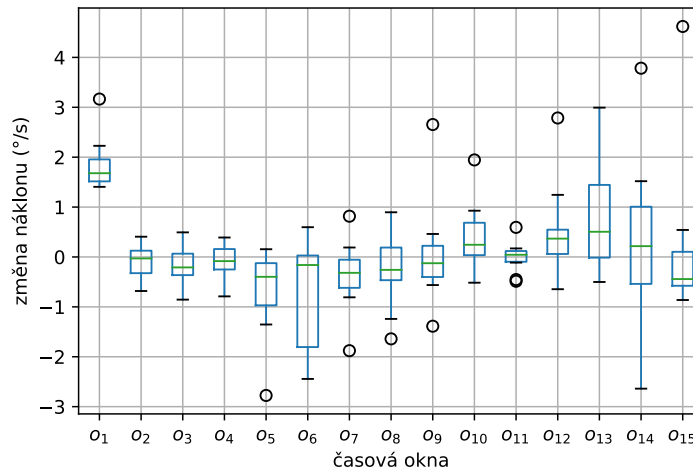
Obrázek A.210: Průběh v čase pro Coriolisovu iluzi při třetím profilu - parametr Výška.



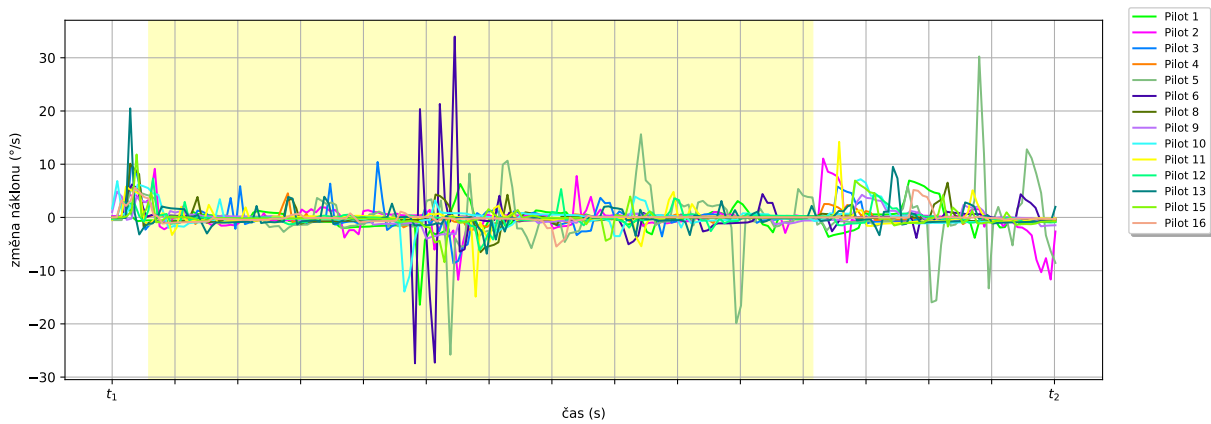
Obrázek A.211: Krabicový graf pro Coriolisovu iluzi při třetím profilu - parametr Změna headingu. Z tohoto parametru byl zjištěn signifikantní rozdíl mezi okny {2} a {8, 9, 10, 11, 12}, {3} a {8, 9, 10, 11, 12}, {4} a {8, 9, 10, 11, 12}, {5} a {7, 8, 9, 10, 11, 12}, {7} a {5}, {8} a {2, 3, 4, 5, 15}, {9} a {2, 3, 4, 5, 15}, {10} a {2, 3, 4, 5, 15}, {11} a {2, 3, 4, 5, 15}, {12} a {2, 3, 4, 5, 15}, {15} a {8, 9, 10, 11, 12}.



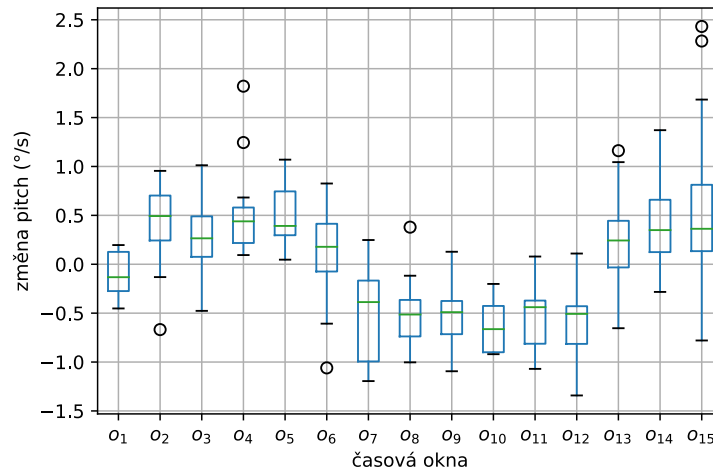
Obrázek A.212: Průběh v čase pro Coriolisovu iluzi při třetím profilu - parametr Změna headingu.



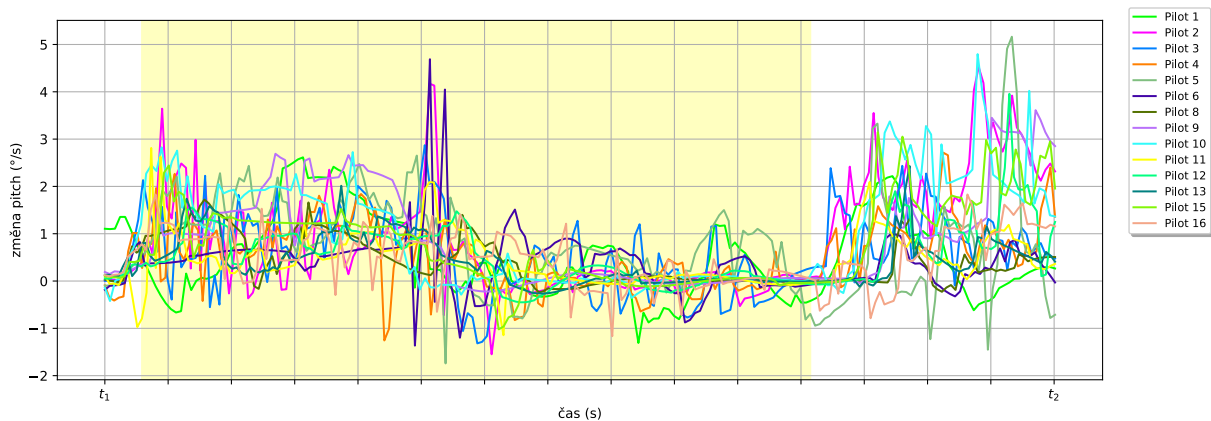
Obrázek A.213: Krabicový graf pro Coriolisovu iluzi při třetím profilu - parametr Změna náklonu. Z tohoto parametru nebyl zjištěn signifikantní rozdíl mezi žádnými okny.



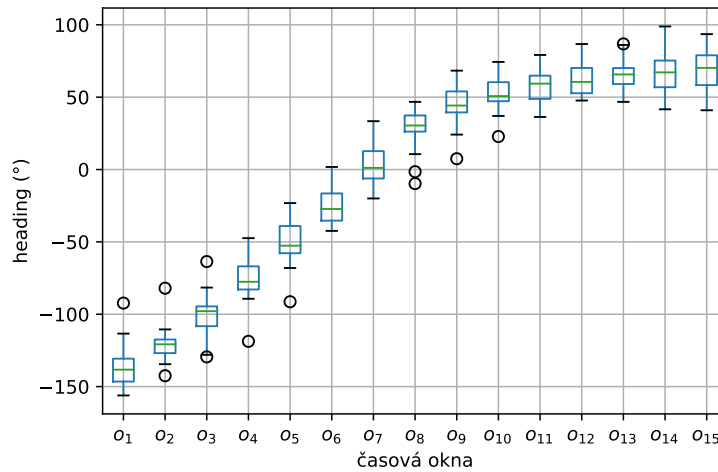
Obrázek A.214: Průběh v čase pro Coriolisovu iluzi při třetím profilu - parametr Změna náklonu.



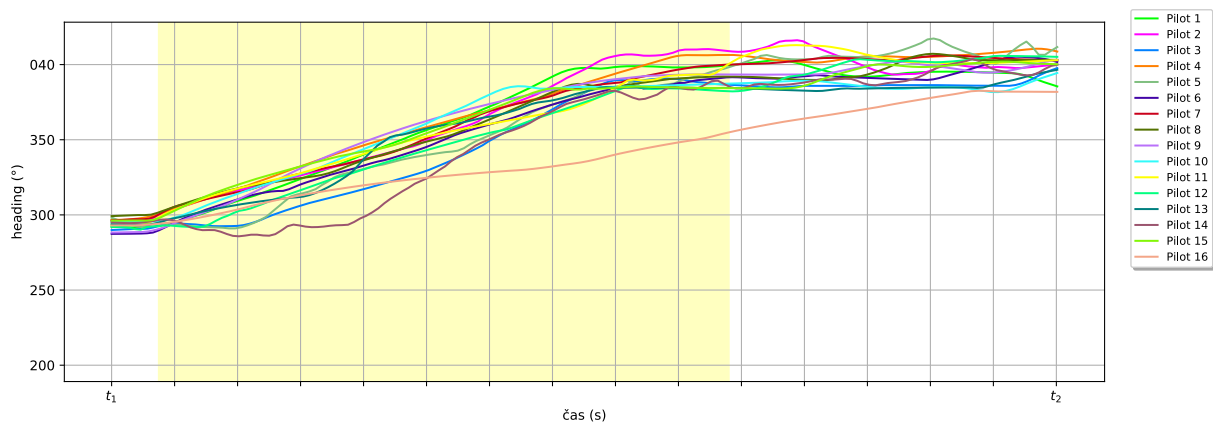
Obrázek A.215: Krabicový graf pro Coriolisovu iluzi při třetím profilu - parametr Změna pitch. Z tohoto parametru byl zjištěn signifikantní rozdíl mezi okny {2} a {7, 8, 9, 10, 11, 12}, {3} a {9, 10, 11, 12}, {4} a {7, 8, 9, 10, 11, 12}, {5} a {7, 8, 9, 10, 11, 12}, {6} a {10, 12}, {7} a {2, 4, 5, 14, 15}, {8} a {2, 4, 5, 14, 15}, {9} a {2, 3, 4, 5, 14, 15}, {10} a {2, 3, 4, 5, 6, 13, 14, 15}, {11} a {2, 3, 4, 5, 14, 15}, {12} a {2, 3, 4, 5, 6, 14, 15}, {13} a {10}, {14} a {7, 8, 9, 10, 11, 12}, {15} a {7, 8, 9, 10, 11, 12}.



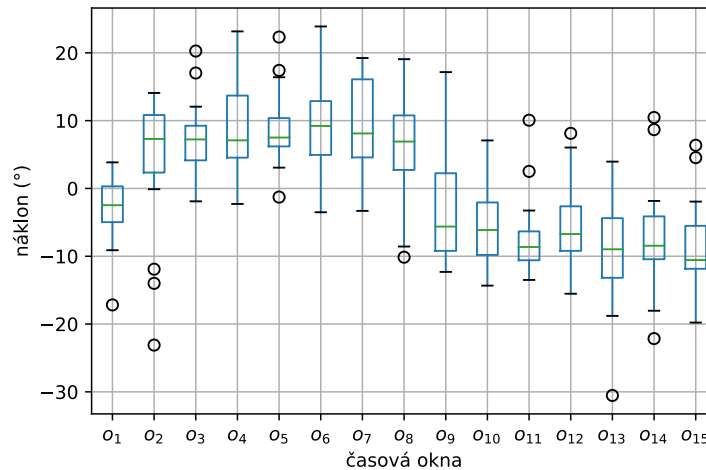
Obrázek A.216: Průběh v čase pro Coriolisovu iluzi při třetím profilu - parametr Změna pitch.



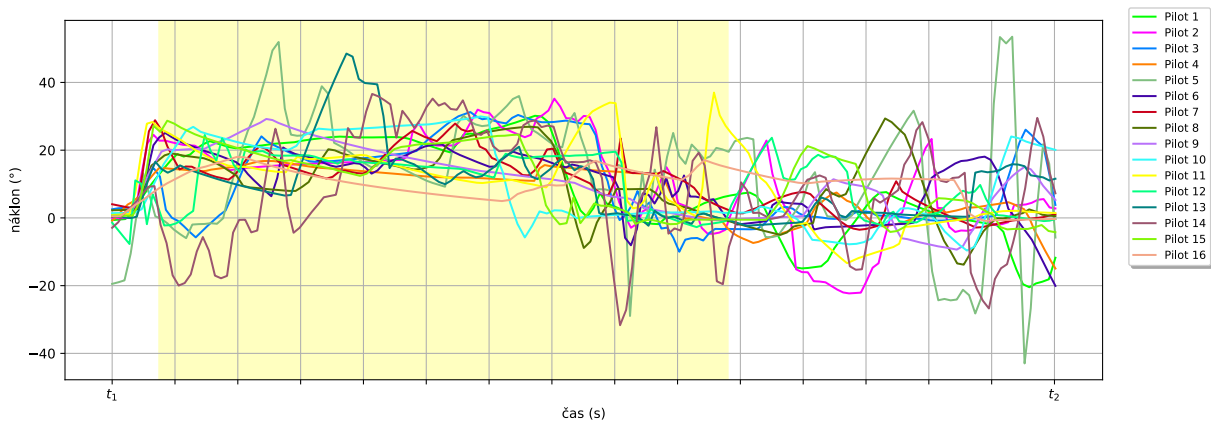
Obrázek A.217: Krabicový graf pro iluzi náklonu při třetím profilu - parametr Heading. Z tohoto parametru byl zjištěn signifikantní rozdíl mezi okny {1} a {7, 8, 9, 10, 11, 12, 13, 14, 15}, {2} a {8, 9, 10, 11, 12, 13, 14, 15}, {3} a {9, 10, 11, 12, 13, 14, 15}, {4} a {9, 10, 11, 12, 13, 14, 15}, {5} a {10, 11, 12, 13, 14, 15}, {6} a {11, 12, 13, 14, 15}, {7} a {1, 12, 13, 14, 15}, {8} a {1, 2}, {9} a {1, 2, 3, 4}, {10} a {1, 2, 3, 4, 5}, {11} a {1, 2, 3, 4, 5, 6}, {12} a {1, 2, 3, 4, 5, 6, 7}, {13} a {1, 2, 3, 4, 5, 6, 7}, {14} a {1, 2, 3, 4, 5, 6, 7}, {15} a {1, 2, 3, 4, 5, 6, 7}.



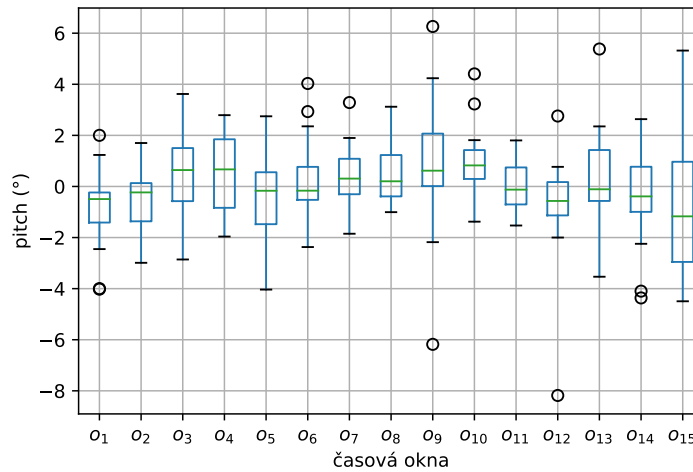
Obrázek A.218: Průběh v čase pro iluzi náklonu při třetím profilu - parametr Heading.



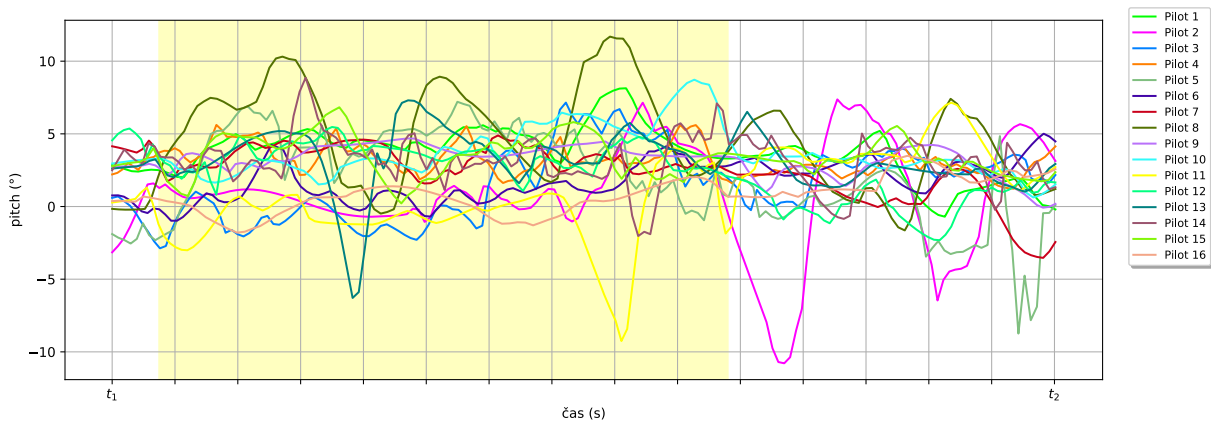
Obrázek A.219: Krabicový graf pro iluzi náklonu při třetím profilu - parametr Náklon. Z tohoto parametru byl zjištěn signifikantní rozdíl mezi okny {2} a {13, 15}, {3} a {10, 11, 12, 13, 14, 15}, {4} a {10, 11, 12, 13, 14, 15}, {5} a {10, 11, 12, 13, 14, 15}, {6} a {10, 11, 12, 13, 14, 15}, {7} a {10, 11, 12, 13, 14, 15}, {8} a {10, 11, 13, 14, 15}, {10} a {3, 4, 5, 6, 7, 8}, {11} a {3, 4, 5, 6, 7, 8}, {12} a {3, 4, 5, 6, 7}, {13} a {2, 3, 4, 5, 6, 7, 8}, {14} a {3, 4, 5, 6, 7, 8}, {15} a {2, 3, 4, 5, 6, 7, 8}.



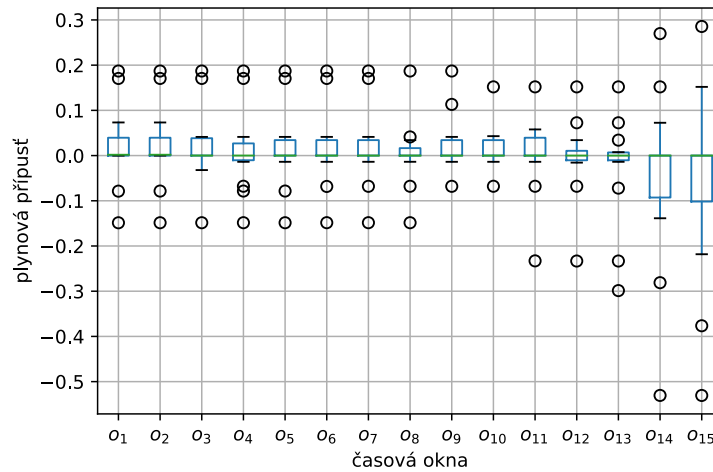
Obrázek A.220: Průběh v čase pro iluzi náklonu při třetím profilu - parametr Náklon.



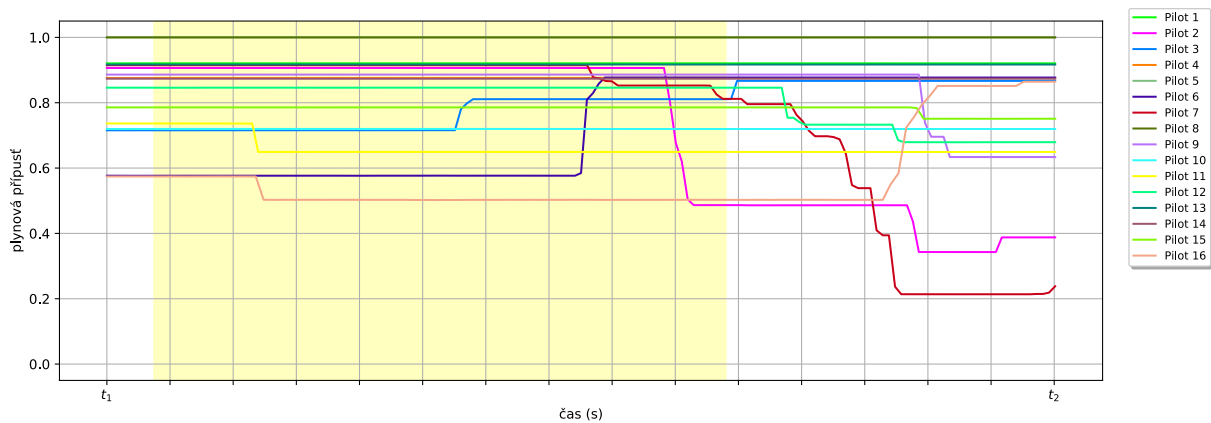
Obrázek A.221: Krabicový graf pro iluzi náklonu při třetím profilu - parametr Pitch. Z tohoto parametru nebyl zjištěn signifikantní rozdíl mezi žádnými okny.



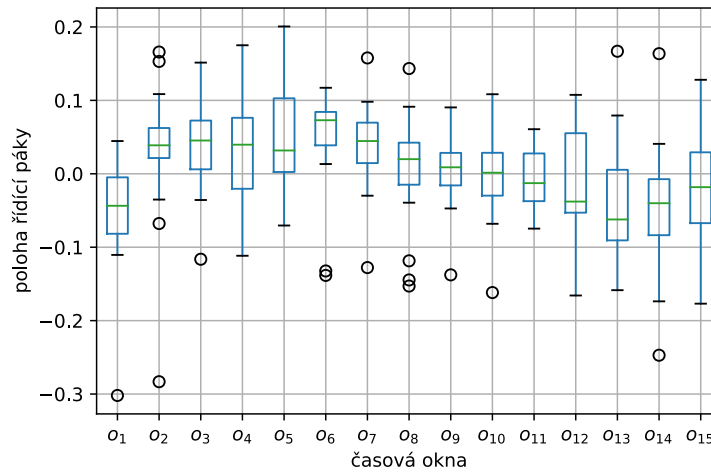
Obrázek A.222: Průběh v čase pro iluzi náklonu při třetím profilu - parametr Pitch.



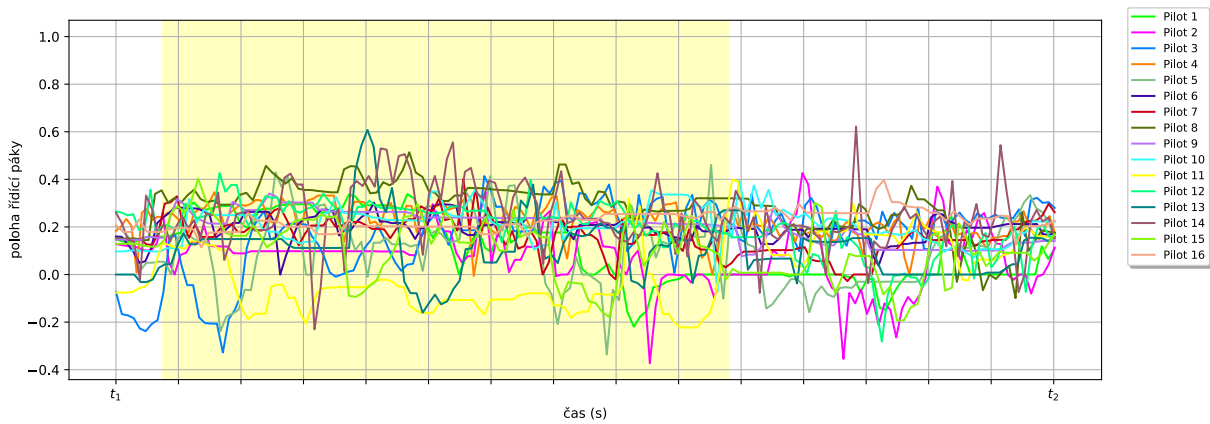
Obrázek A.223: Krabicový graf pro iluzi náklonu při třetím profilu - parametr Plynová přípust'. Z tohoto parametru byl zjištěn signifikantní rozdíl mezi okny {6} a {11, 12, 15}, {11} a {6}, {12} a {6}, {15} a {6}.



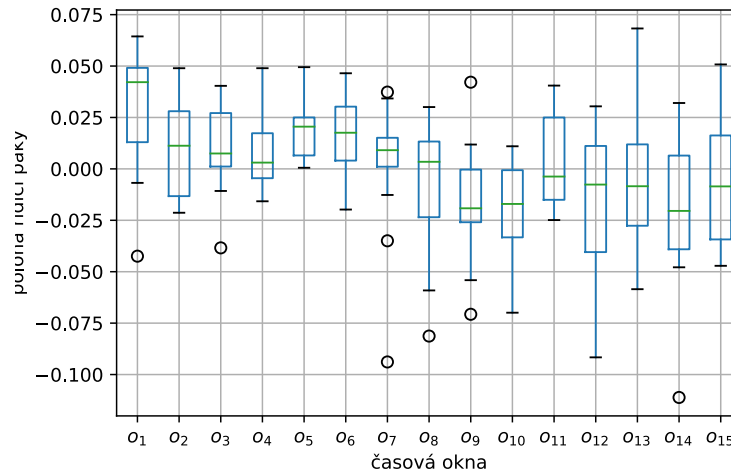
Obrázek A.224: Průběh v čase pro iluzi náklonu při třetím profilu - parametr Plynová přípust'.



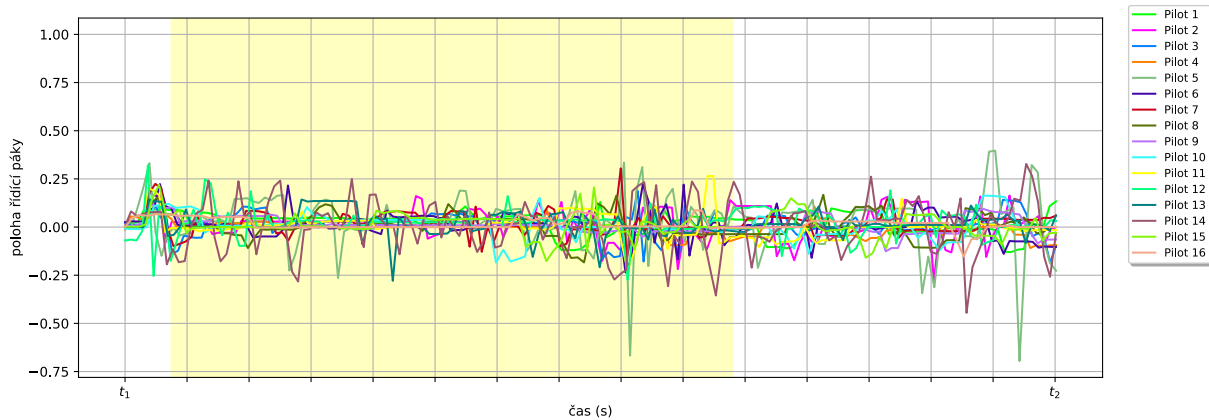
Obrázek A.225: Krabicový graf pro iluzi náklonu při třetím profilu - parametr Poloha řídicí páky v rovině pitch. Z tohoto parametru nebyl zjištěn signifikantní rozdíl mezi žádnými okny.



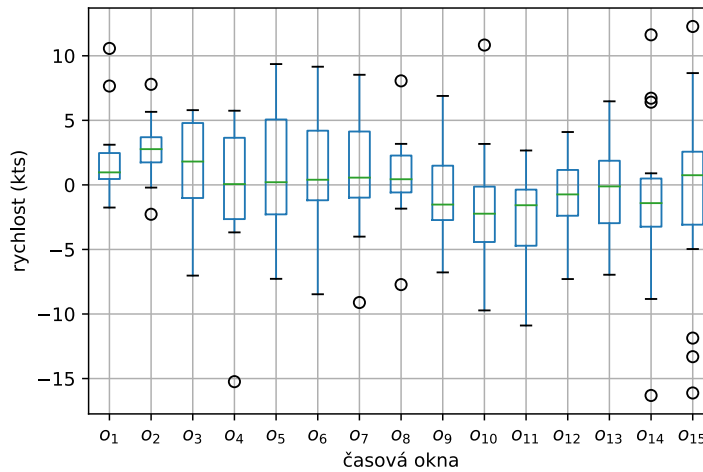
Obrázek A.226: Průběh v čase pro iluzi náklonu při třetím profilu - parametr Poloha řídicí páky v rovině pitch.



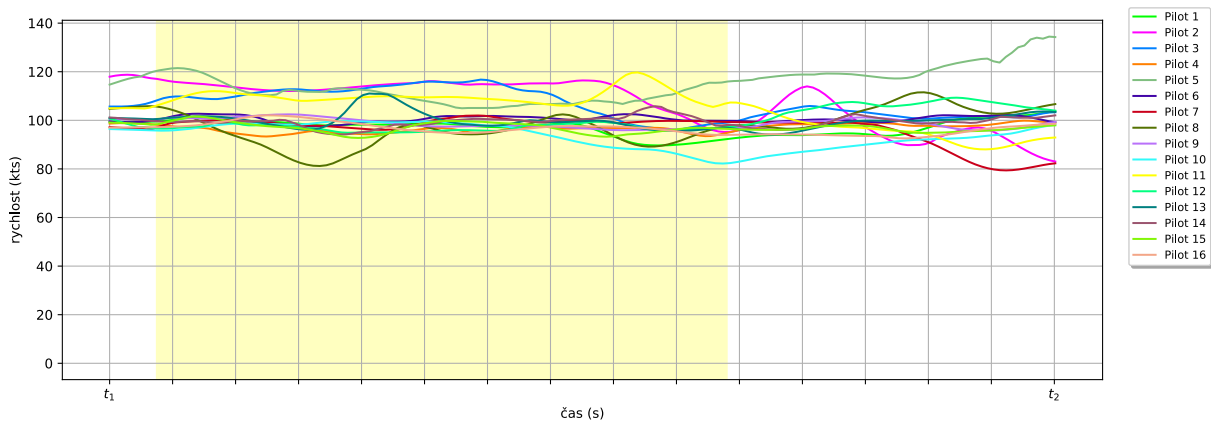
Obrázek A.227: Krabicový graf pro iluzi náklonu při třetím profilu - parametr Poloha řídicí páky v rovině roll). Z tohoto parametru byl zjištěn signifikantní rozdíl mezi okny {1} a {9, 10}, {9} a {1}, {10} a {1}.



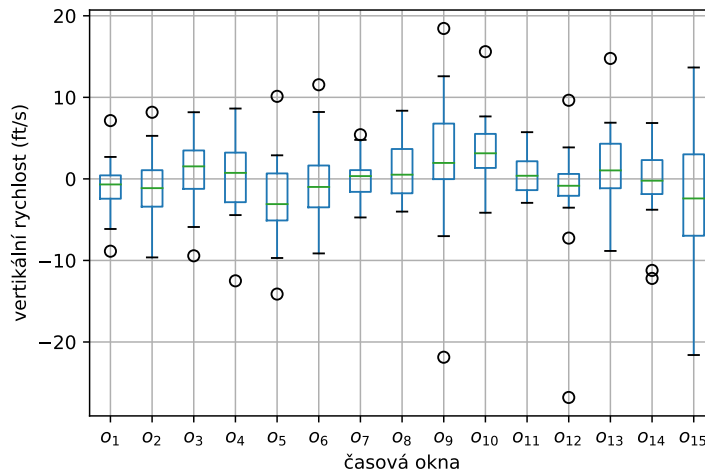
Obrázek A.228: Průběh v čase pro iluzi náklonu při třetím profilu - parametr Poloha řídicí páky v rovině roll).



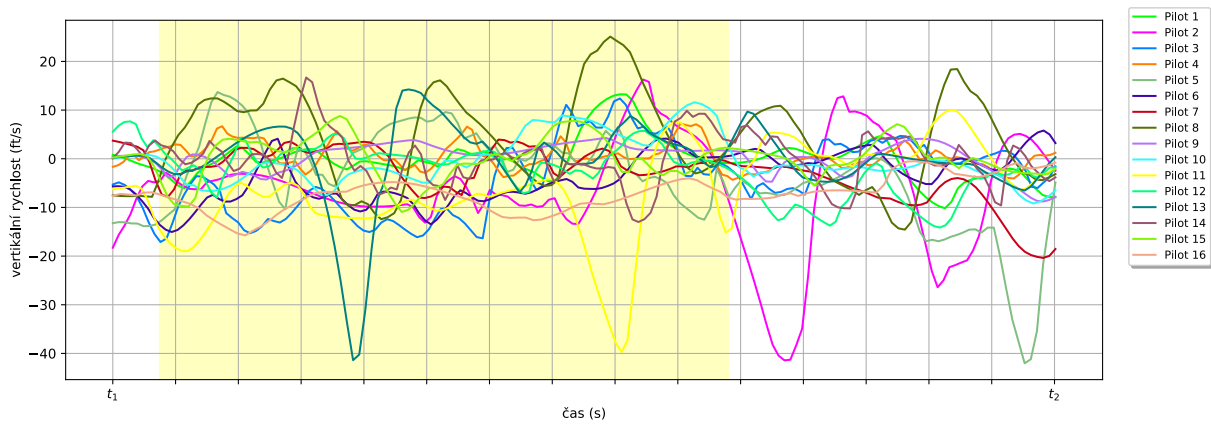
Obrázek A.229: Krabicový graf pro iluzi náklonu při třetím profilu - parametr Rychlost. Z tohoto parametru byl zjištěn signifikantní rozdíl mezi okny {2} a {11}, {11} a {2}.



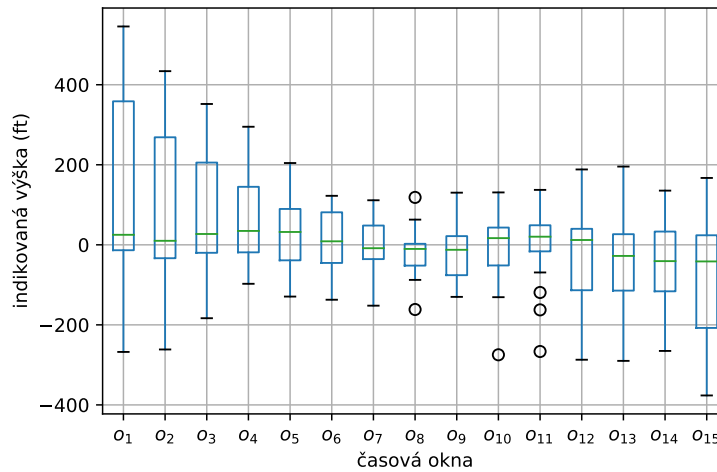
Obrázek A.230: Průběh v čase pro iluzi náklonu při třetím profilu - parametr Rychlost.



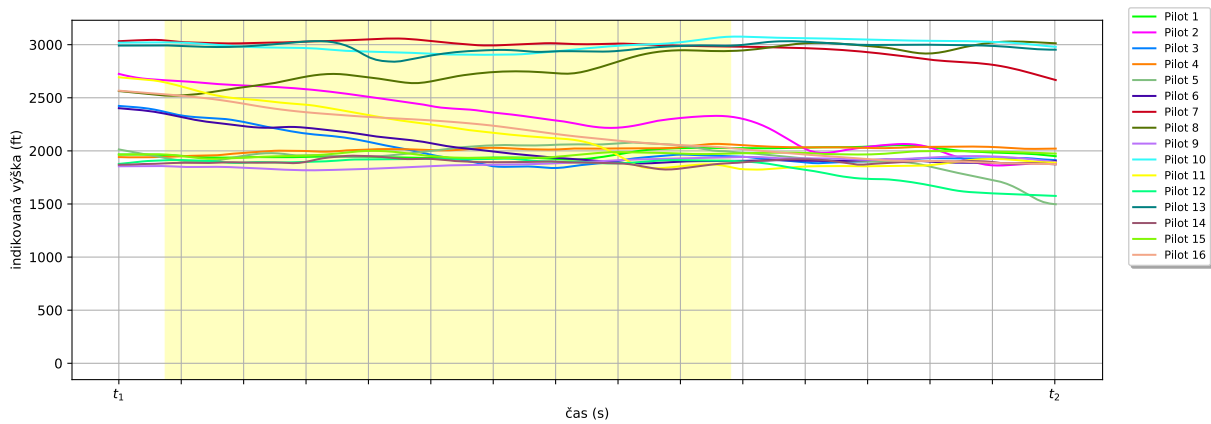
Obrázek A.231: Krabicový graf pro iluzi náklonu při třetím profilu - parametr Vertikální rychlost. Z tohoto parametru nebyl zjištěn signifikantní rozdíl mezi žádnými okny.



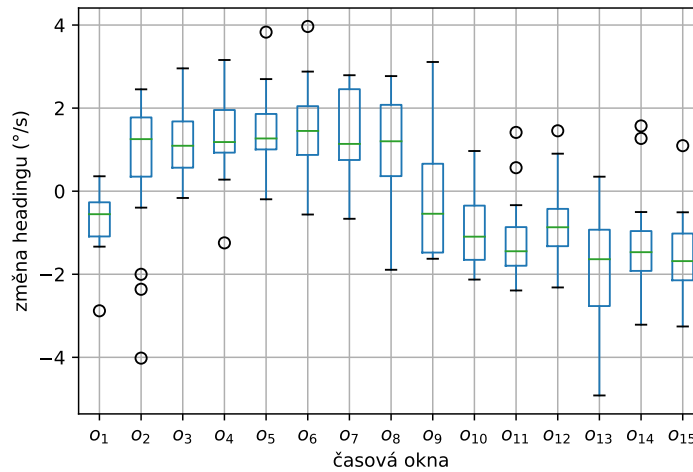
Obrázek A.232: Průběh v čase pro iluzi náklonu při třetím profilu - parametr Vertikální rychlost.



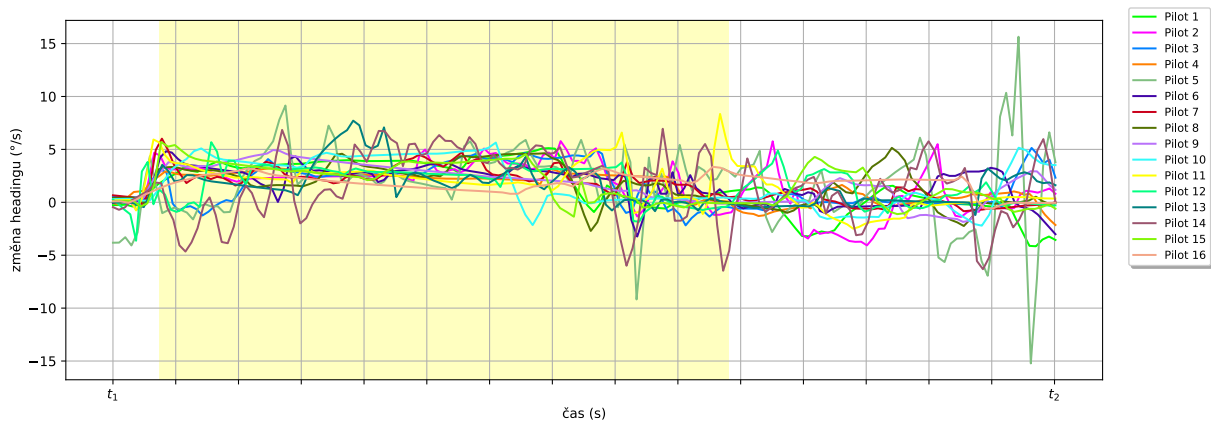
Obrázek A.233: Krabicový graf pro iluzi náklonu při třetím profilu - parametr Výška. Z tohoto parametru nebyl zjištěn signifikantní rozdíl mezi žádnými okny.



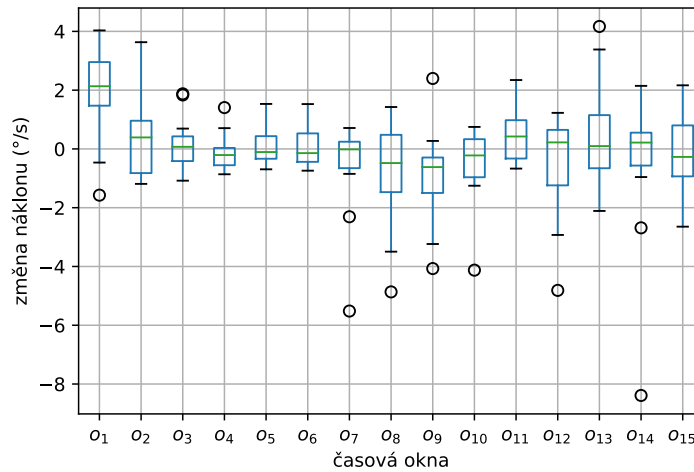
Obrázek A.234: Průběh v čase pro iluzi náklonu při třetím profilu - parametr Výška.



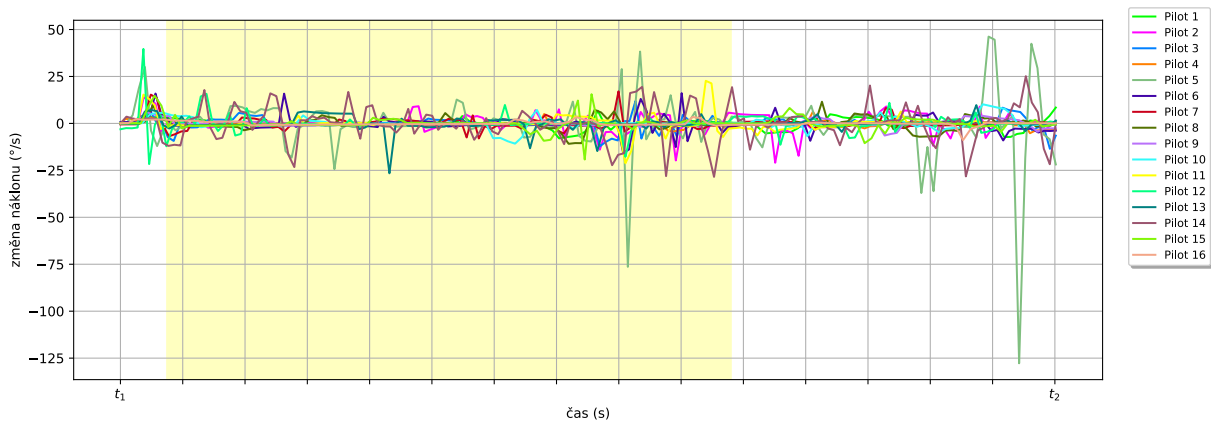
Obrázek A.235: Krabicový graf pro iluzi náklonu při třetím profilu - parametr Změna headingu. Z tohoto parametru byl zjištěn signifikantní rozdíl mezi okny {2} a {13, 15}, {3} a {10, 11, 12, 13, 14, 15}, {4} a {10, 11, 13, 14, 15}, {5} a {10, 11, 12, 13, 14, 15}, {6} a {10, 11, 12, 13, 14, 15}, {7} a {10, 11, 13, 14, 15}, {8} a {10, 11, 13, 14, 15}, {10} a {3, 4, 5, 6, 7, 8}, {11} a {3, 4, 5, 6, 7, 8}, {12} a {3, 5, 6}, {13} a {2, 3, 4, 5, 6, 7, 8}, {14} a {3, 4, 5, 6, 7, 8}, {15} a {2, 3, 4, 5, 6, 7, 8}.



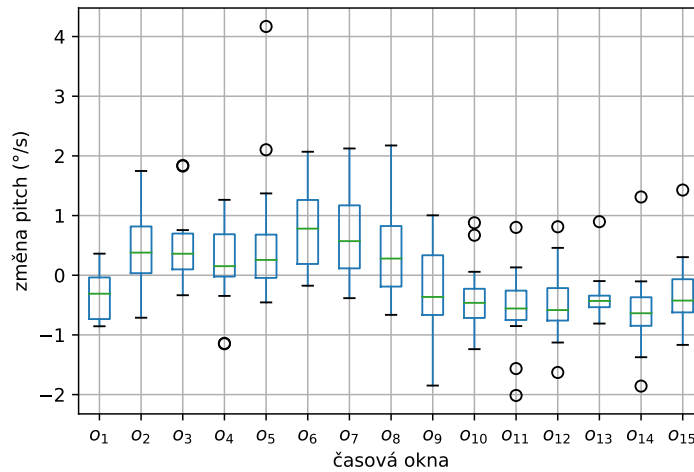
Obrázek A.236: Průběh v čase pro iluzi náklonu při třetím profilu - parametr Změna headingu.



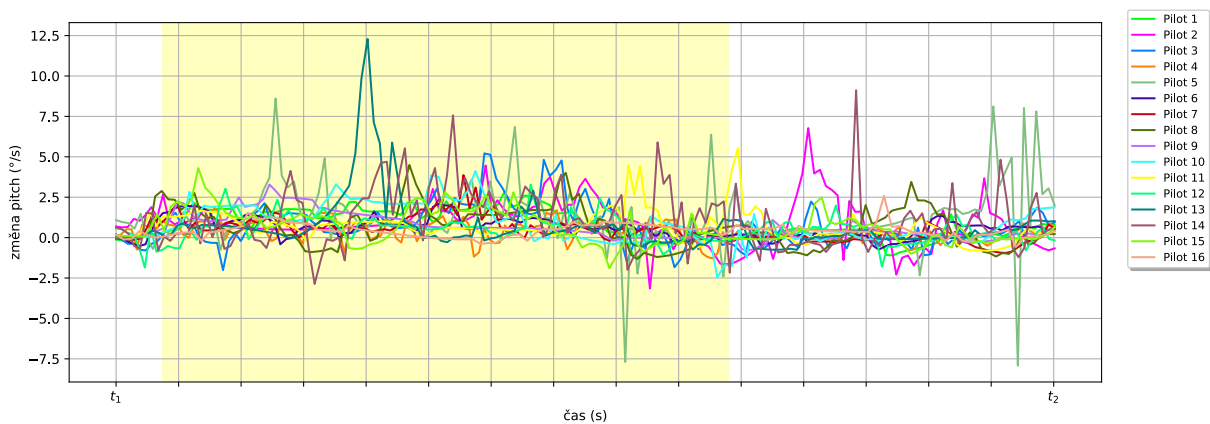
Obrázek A.237: Krabicový graf pro iluzi náklonu při třetím profilu - parametr Změna náklonu. Z tohoto parametru nebyl zjištěn signifikantní rozdíl mezi žádnými okny.



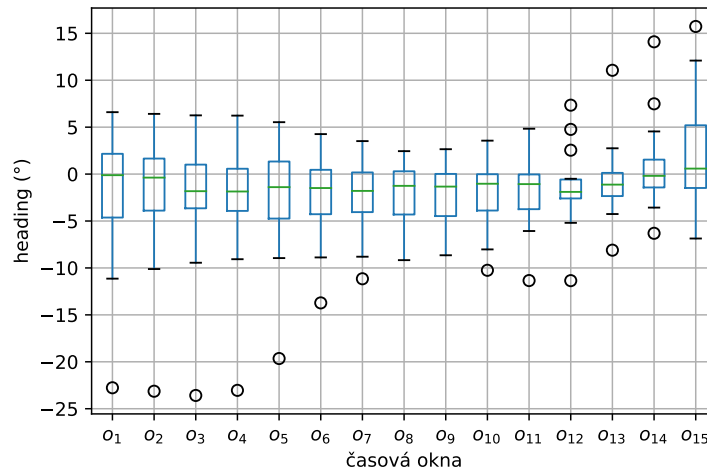
Obrázek A.238: Průběh v čase pro iluzi náklonu při třetím profilu - parametr Změna náklonu.



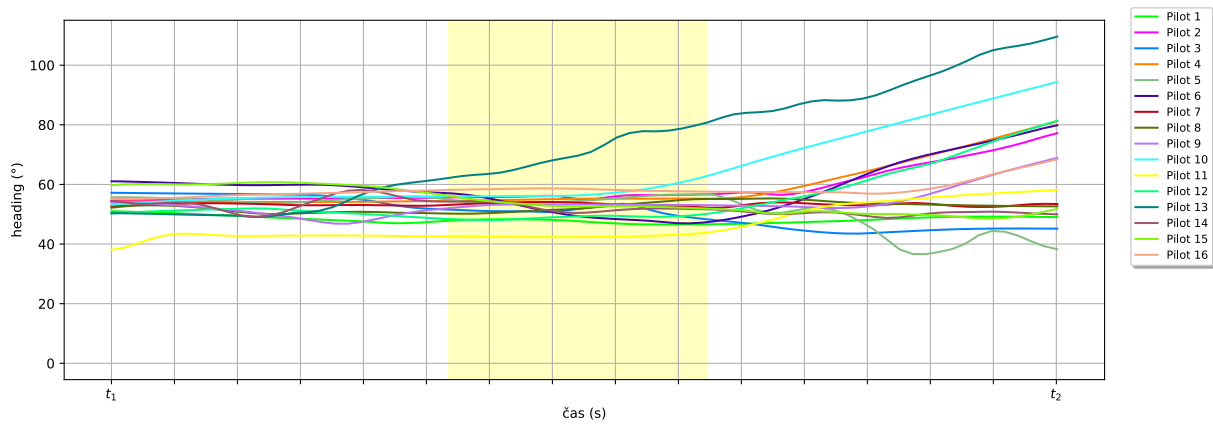
Obrázek A.239: Krabicový graf pro iluzi náklonu při třetím profilu - parametr Změna pitch. Z tohoto parametru byl zjištěn signifikantní rozdíl mezi okny {1} a {6}, {2} a {11, 14}, {3} a {10, 11, 12, 14}, {5} a {11, 14}, {6} a {1, 10, 11, 12, 13, 14, 15}, {7} a {10, 11, 12, 14}, {8} a {11, 14}, {10} a {3, 6, 7}, {11} a {2, 3, 5, 6, 7, 8}, {12} a {3, 6, 7}, {13} a {6}, {14} a {2, 3, 5, 6, 7, 8}, {15} a {6}.



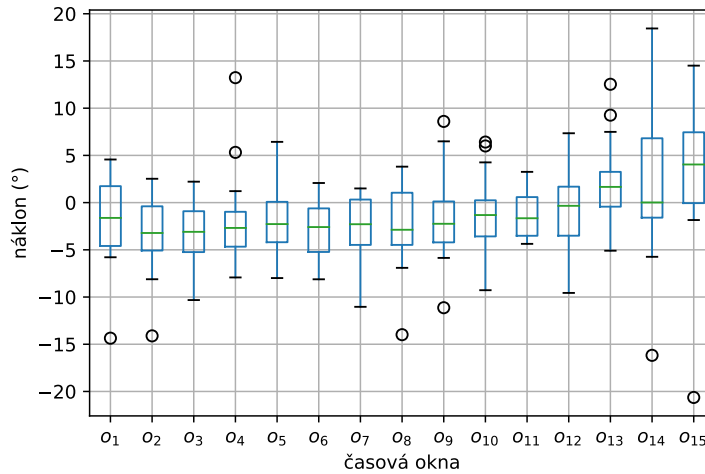
Obrázek A.240: Průběh v čase pro iluzi náklonu při třetím profilu - parametr Změna pitch.



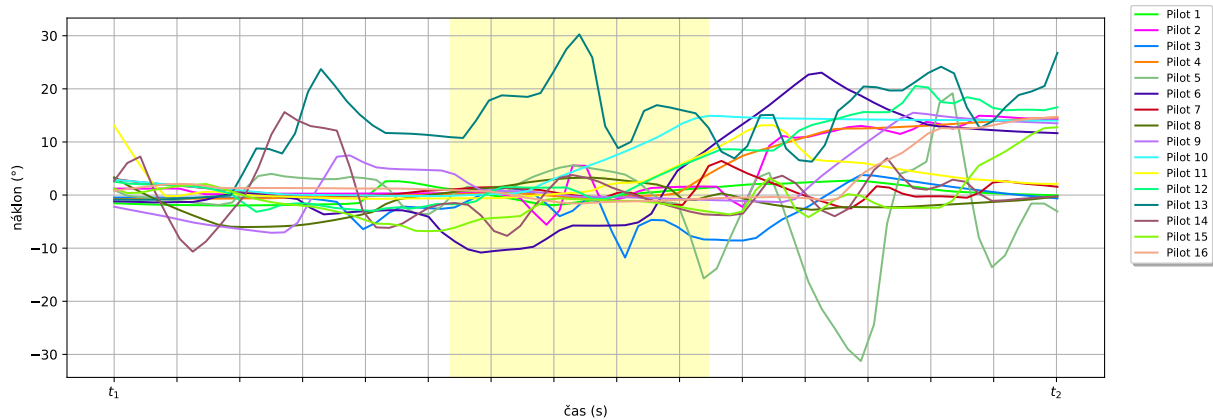
Obrázek A.241: Krabicový graf pro somatogravickou iluzi při třetím profilu - parametr Heading. Z tohoto parametru nebyl zjištěn signifikantní rozdíl mezi žádnými okny.



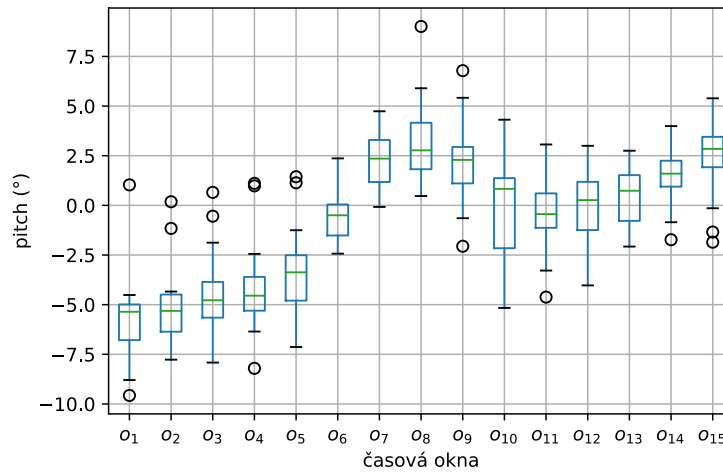
Obrázek A.242: Průběh v čase pro somatogravickou iluzi při třetím profilu - parametr Heading.



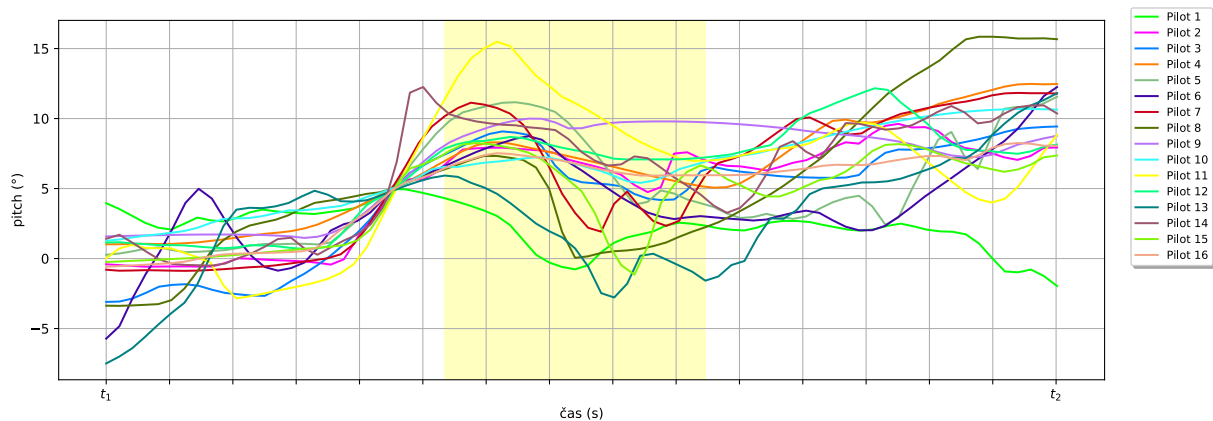
Obrázek A.243: Krabicový graf pro somatogravickou iluzi při třetím profilu - parametr Náklon. Z tohoto parametru byl zjištěn signifikantní rozdíl mezi okny {6} a {15}, {15} a {6}.



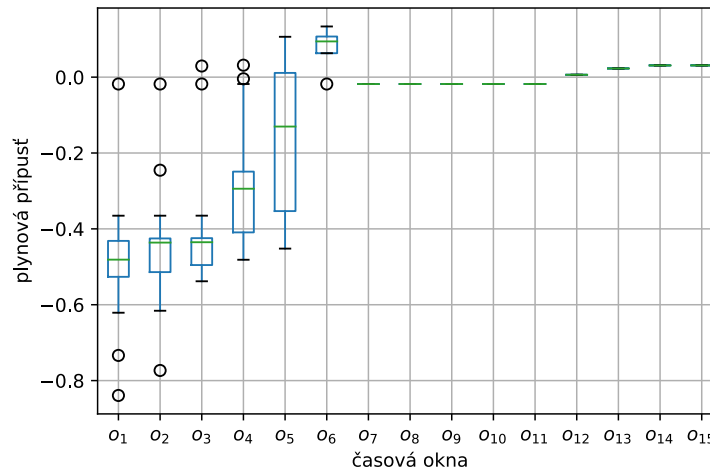
Obrázek A.244: Průběh v čase pro somatogravickou iluzi při třetím profilu - parametr Náklon.



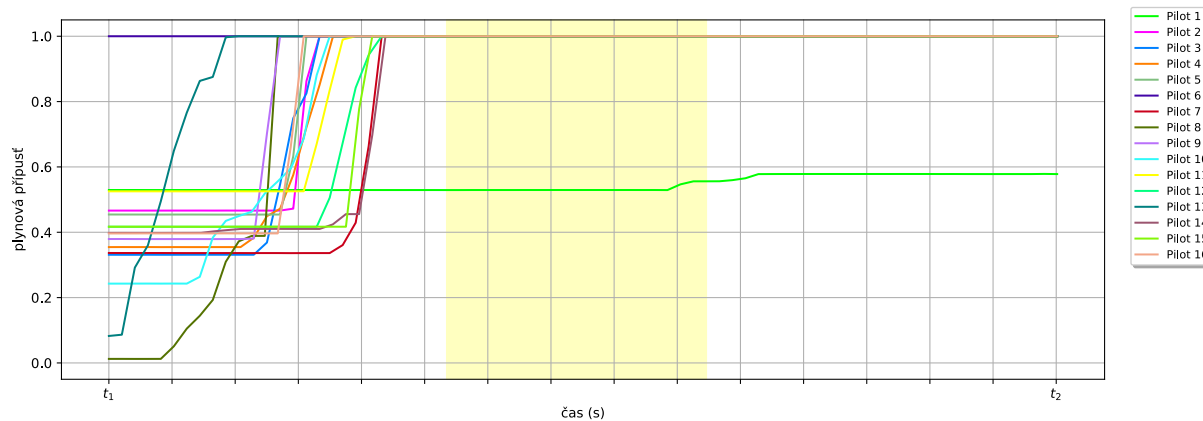
Obrázek A.245: Krabicový graf pro somatogravickou iluzi při třetím profilu - parametr Pitch. Z tohoto parametru byl zjištěn signifikantní rozdíl mezi okny {1} a {6, 7, 8, 9, 10, 12, 13, 14, 15}, {2} a {6, 7, 8, 9, 10, 12, 13, 14, 15}, {3} a {7, 8, 9, 14, 15}, {4} a {7, 8, 9, 14, 15}, {5} a {7, 8, 9, 15}, {6} a {1, 2, 8}, {7} a {1, 2, 3, 4, 5}, {8} a {1, 2, 3, 4, 5, 6, 11, 12}, {9} a {1, 2, 3, 4, 5}, {10} a {1, 2}, {11} a {8}, {12} a {1, 2, 8}, {13} a {1, 2}, {14} a {1, 2, 3, 4}, {15} a {1, 2, 3, 4, 5}.



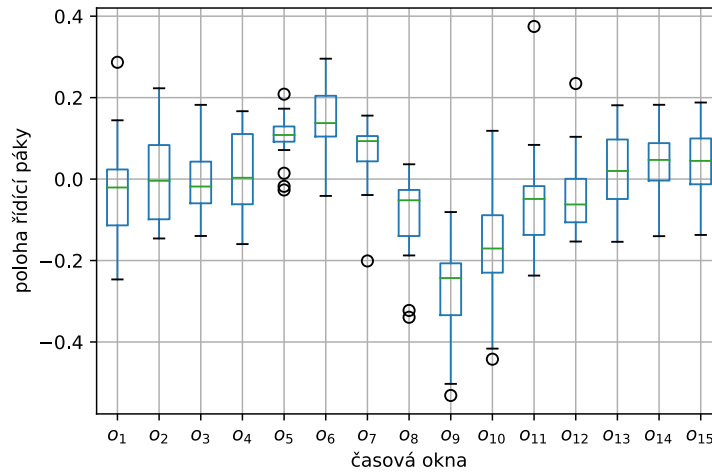
Obrázek A.246: Průběh v čase pro somatogravickou iluzi při třetím profilu - parametr Pitch.



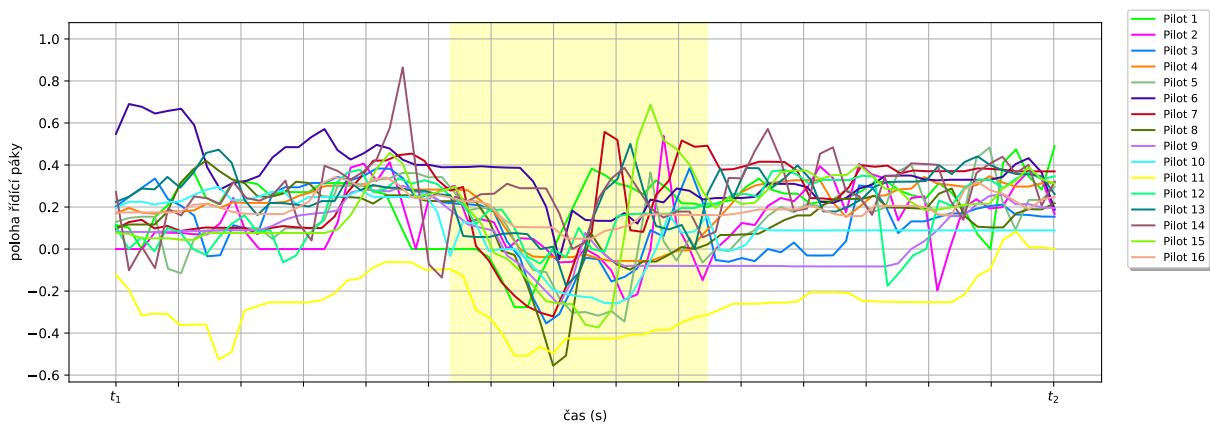
Obrázek A.247: Krabicový graf pro somatogravickou iluzi při třetím profilu - parametr Plynová přípust'. Z tohoto parametru byl zjištěn signifikantní rozdíl mezi okny {1} a {9, 10, 12, 13, 14, 15}, {2} a {9, 10, 12, 13, 14, 15}, {3} a {9, 10, 12, 13, 14, 15}, {4} a {9, 10, 12, 13, 14, 15}, {5} a {10, 12, 13, 14, 15}, {6} a {10, 12, 13, 14, 15}, {7} a {9, 10, 12, 13, 14, 15}, {8} a {13, 14, 15}, {9} a {1, 2, 3, 4, 7}, {10} a {1, 2, 3, 4, 5, 6, 7, 11}, {11} a {10, 12, 13, 14, 15}, {12} a {1, 2, 3, 4, 5, 6, 7, 11}, {13} a {1, 2, 3, 4, 5, 6, 7, 8, 11}, {14} a {1, 2, 3, 4, 5, 6, 7, 8, 11}, {15} a {1, 2, 3, 4, 5, 6, 7, 8, 11}.



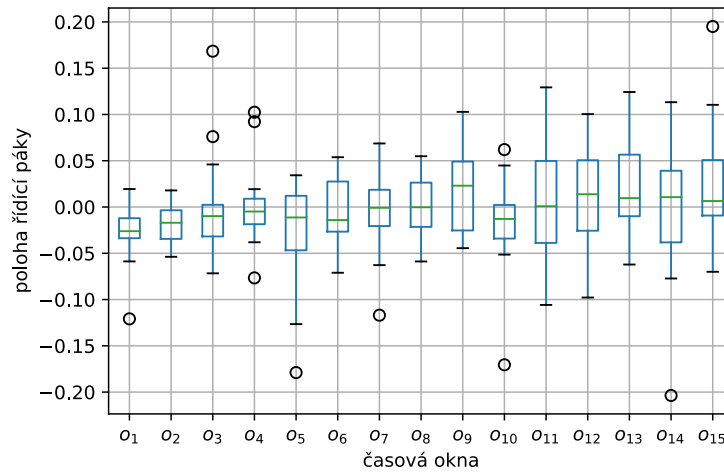
Obrázek A.248: Průběh v čase pro somatogravickou iluzi při třetím profilu - parametr Plynová přípust.



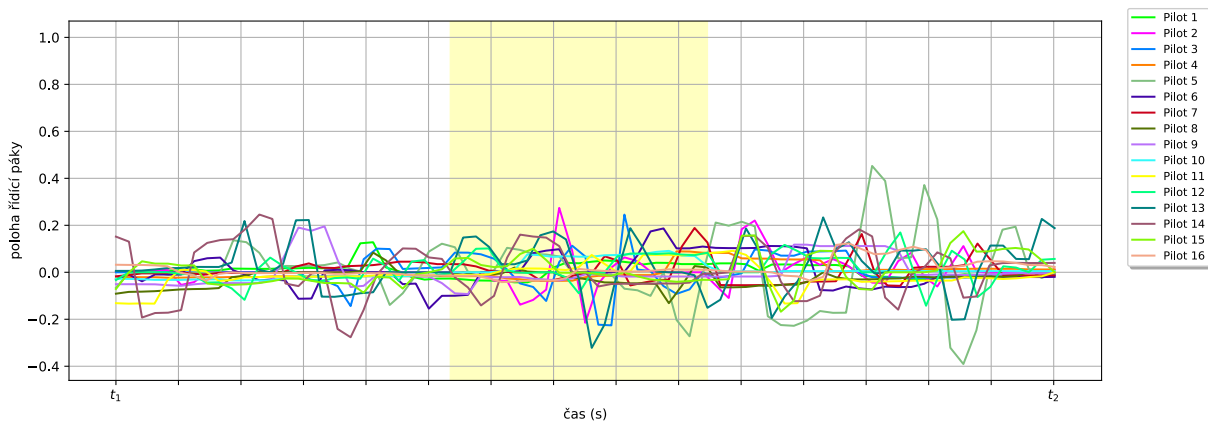
Obrázek A.249: Krabicový graf pro somatogravickou iluzi při třetím profilu - parametr Poloha řídicí páky v rovině pitch. Z tohoto parametru byl zjištěn signifikantní rozdíl mezi okny {1} a {9}, {2} a {9}, {3} a {9}, {4} a {9}, {5} a {8, 9, 10, 11, 12}, {6} a {8, 9, 10, 11, 12}, {7} a {9, 10}, {8} a {5, 6}, {9} a {1, 2, 3, 4, 5, 6, 7, 13, 14, 15}, {10} a {5, 6, 7, 14, 15}, {11} a {5, 6}, {12} a {5, 6}, {13} a {9}, {14} a {9, 10}, {15} a {9, 10}.



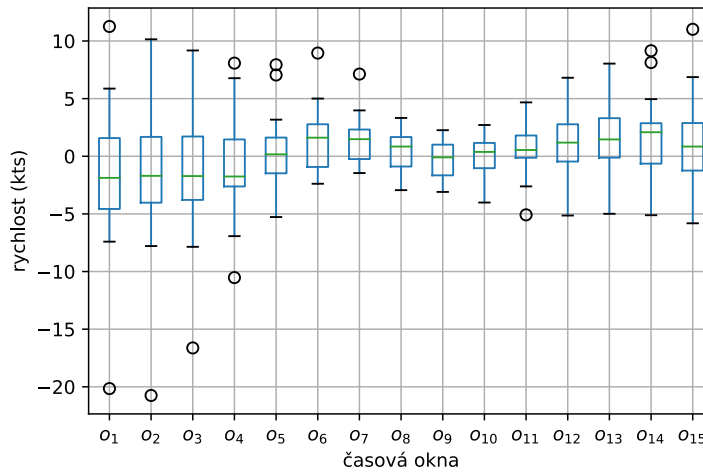
Obrázek A.250: Průběh v čase pro somatogravickou iluzi při třetím profilu - parametr Poloha řídicí páky v rovině pitch.



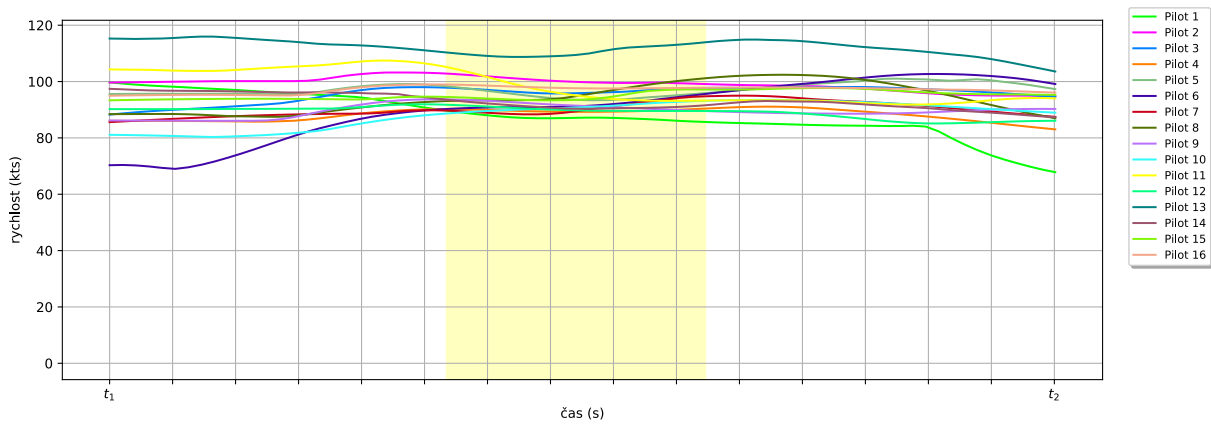
Obrázek A.251: Krabicový graf pro somatogravickou iluzi při třetím profilu - parametr Poloha řídicí páky v rovině roll). Z tohoto parametru nebyl zjištěn signifikantní rozdíl mezi žádnými okny.



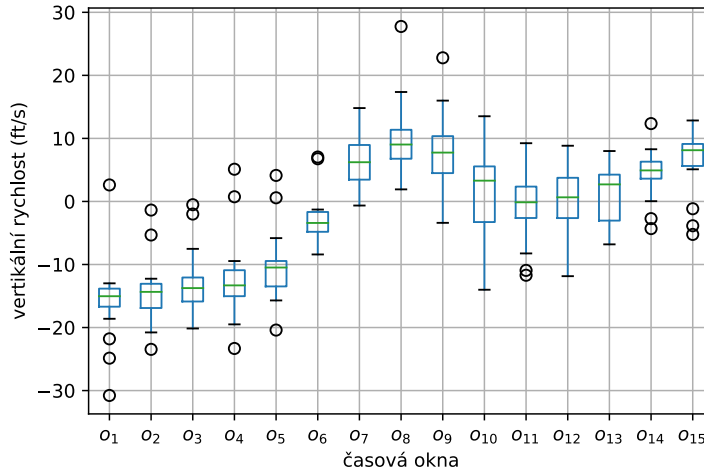
Obrázek A.252: Průběh v čase pro somatogravickou iluzi při třetím profilu - parametr Poloha řídicí páky v rovině roll).



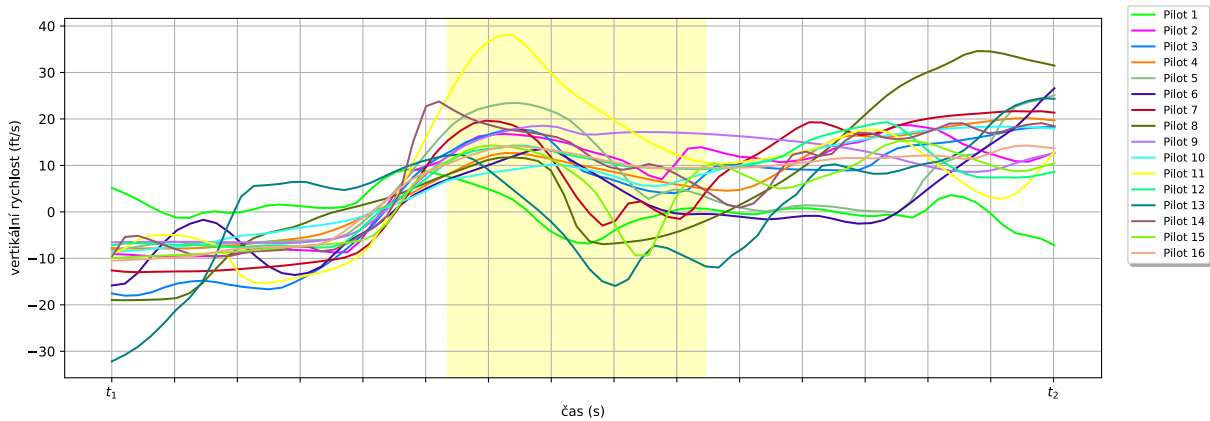
Obrázek A.253: Krabicový graf pro somatogravickou iluzi při třetím profilu - parametr Rychlost. Z tohoto parametru nebyl zjištěn signifikantní rozdíl mezi žádnými okny.



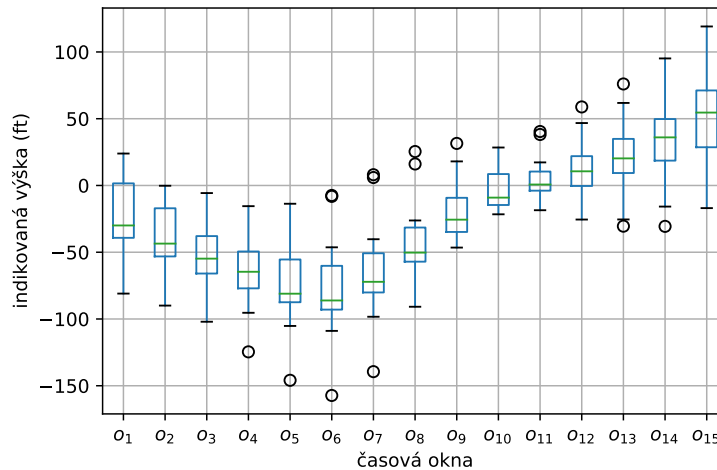
Obrázek A.254: Průběh v čase pro somatogravickou iluzi při třetím profilu - parametr Rychlost.



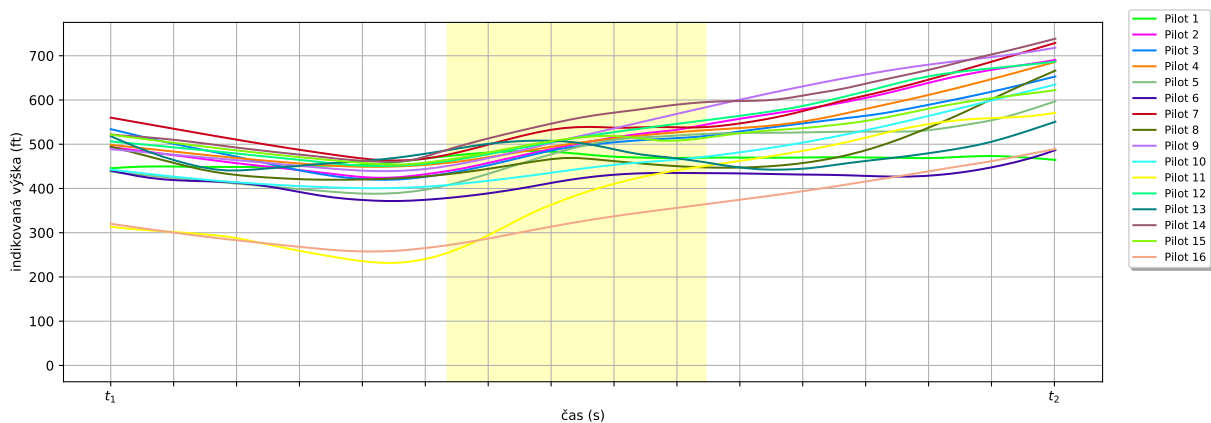
Obrázek A.255: Krabicový graf pro somatogravickou iluzi při třetím profilu - parametr Vertikální rychlost. Z tohoto parametru byl zjištěn signifikantní rozdíl mezi okny {1} a {7, 8, 9, 10, 11, 12, 13, 14, 15}, {2} a {7, 8, 9, 10, 12, 13, 14, 15}, {3} a {7, 8, 9, 10, 13, 14, 15}, {4} a {7, 8, 9, 14, 15}, {5} a {7, 8, 9, 14, 15}, {6} a {8}, {7} a {1, 2, 3, 4, 5}, {8} a {1, 2, 3, 4, 5, 6, 11, 12}, {9} a {1, 2, 3, 4, 5}, {10} a {1, 2, 3}, {11} a {1, 8}, {12} a {1, 2, 8}, {13} a {1, 2, 3}, {14} a {1, 2, 3, 4, 5}, {15} a {1, 2, 3, 4, 5}.



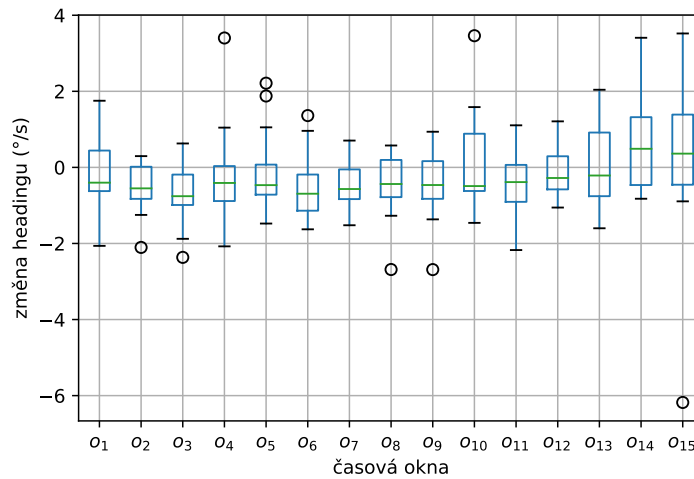
Obrázek A.256: Průběh v čase pro somatogravickou iluzi při třetím profilu - parametr Vertikální rychlost.



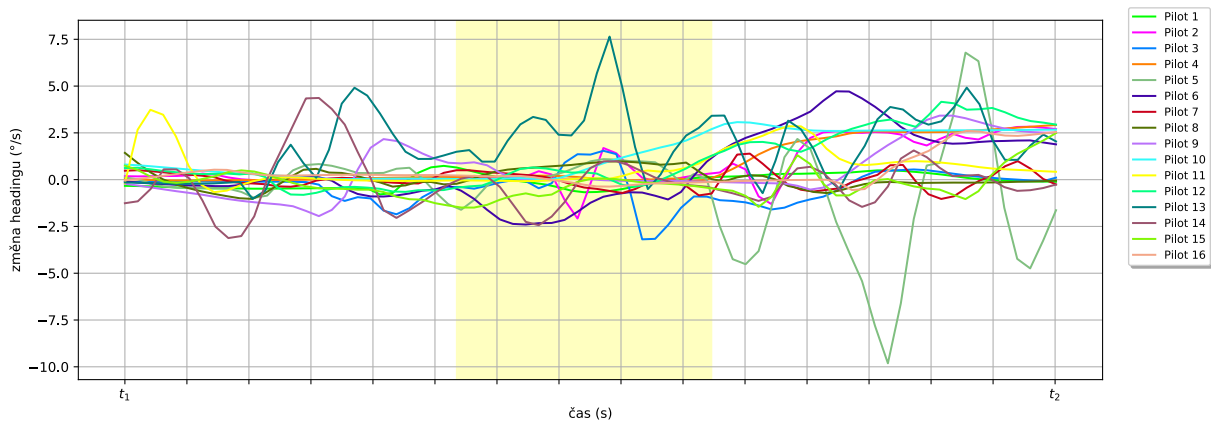
Obrázek A.257: Krabicový graf pro somatogravickou iluzi při třetím profilu - parametr Výška. Z tohoto parametru byl zjištěn signifikantní rozdíl mezi okny {1} a {4, 5, 6, 7}, {2} a {14, 15}, {3} a {10, 11, 12, 13, 14, 15}, {4} a {1, 10, 11, 12, 13, 14, 15}, {5} a {1, 9, 10, 11, 12, 13, 14, 15}, {6} a {1, 9, 10, 11, 12, 13, 14, 15}, {7} a {1, 10, 11, 12, 13, 14, 15}, {8} a {14, 15}, {9} a {5, 6}, {10} a {3, 4, 5, 6, 7}, {11} a {3, 4, 5, 6, 7}, {12} a {3, 4, 5, 6, 7}, {13} a {3, 4, 5, 6, 7}, {14} a {2, 3, 4, 5, 6, 7, 8}, {15} a {2, 3, 4, 5, 6, 7, 8}.



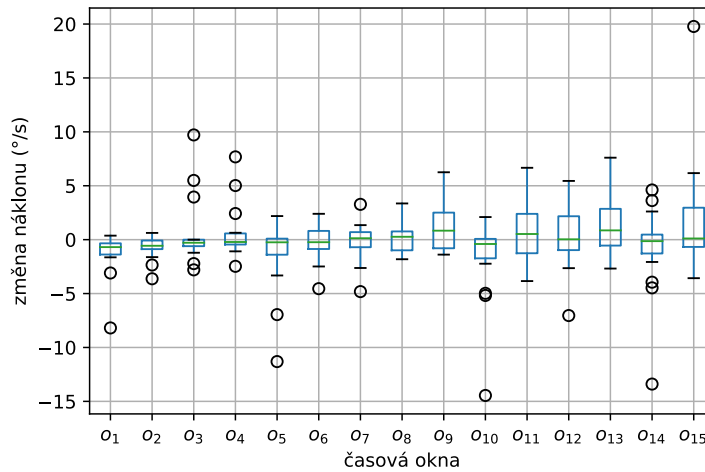
Obrázek A.258: Průběh v čase pro somatogravickou iluzi při třetím profilu - parametr Výška.



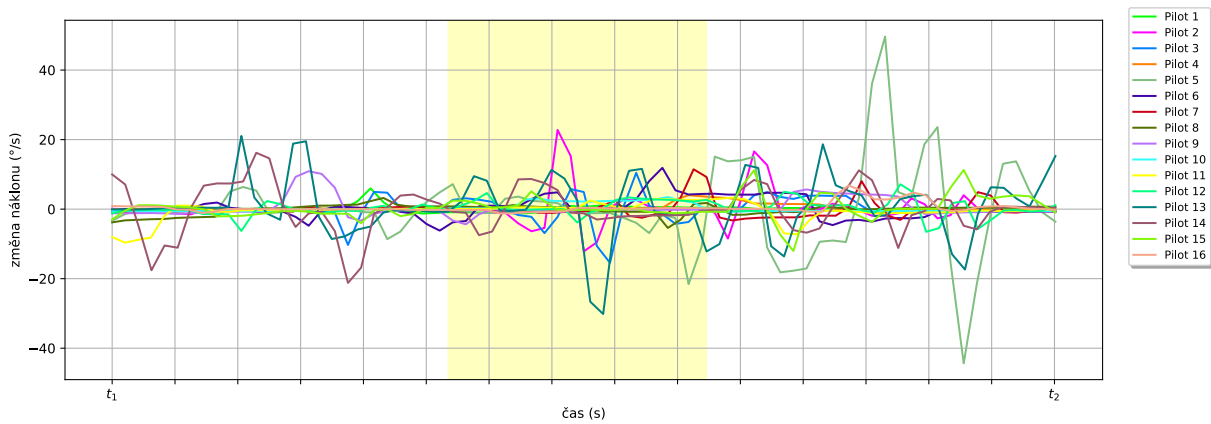
Obrázek A.259: Krabicový graf pro somatogravickou iluzi při třetím profilu - parametr Změna headingu. Z tohoto parametru nebyl zjištěn signifikantní rozdíl mezi žádnými okny.



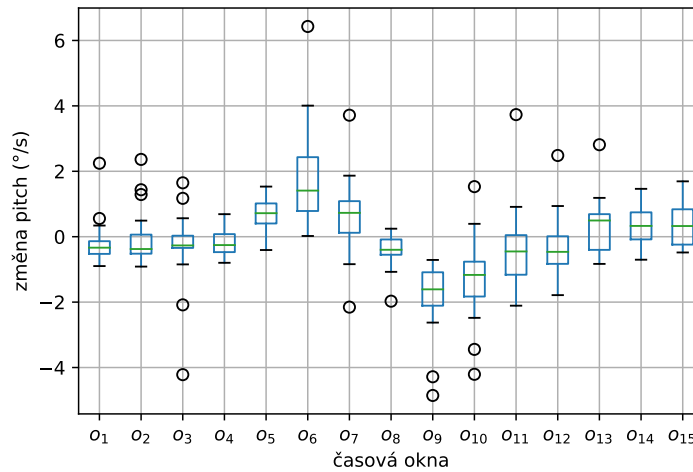
Obrázek A.260: Průběh v čase pro somatogravickou iluzi při třetím profilu - parametr Změna headingu.



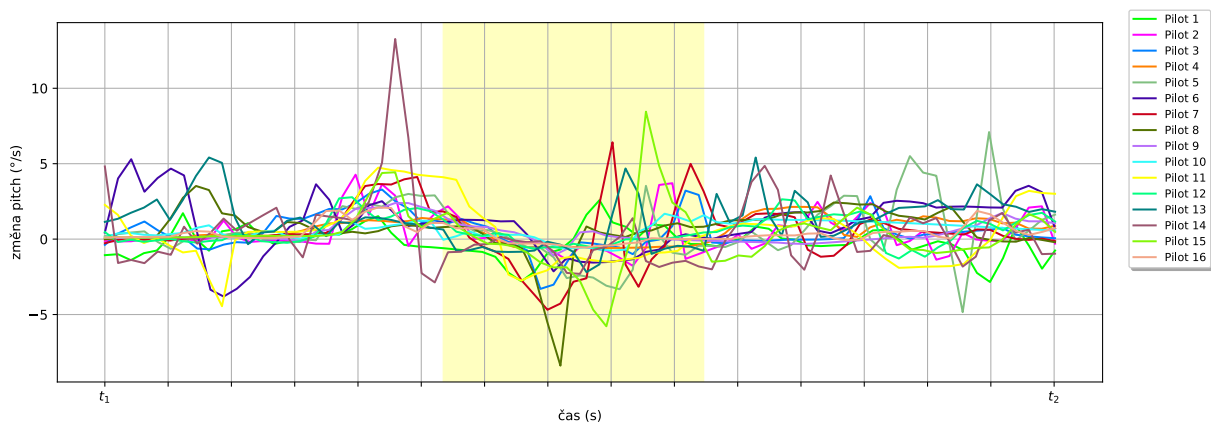
Obrázek A.261: Krabicový graf pro somatogravickou iluzi při třetím profilu - parametr Změna náklonu. Z tohoto parametru nebyl zjištěn signifikantní rozdíl mezi žádnými okny.



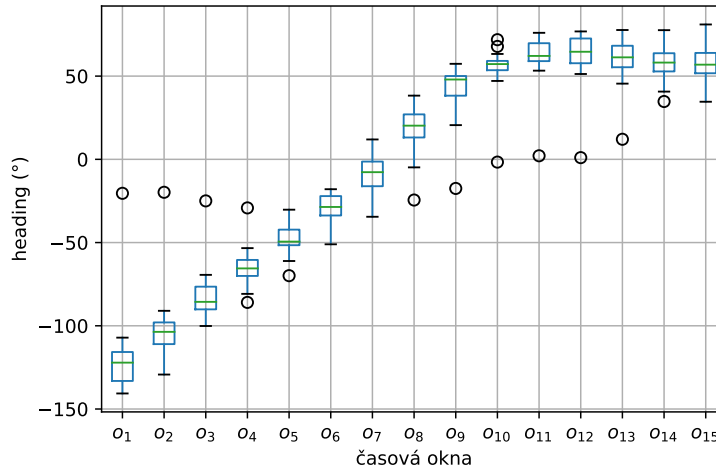
Obrázek A.262: Průběh v čase pro somatogravickou iluzi při třetím profilu - parametr Změna náklonu.



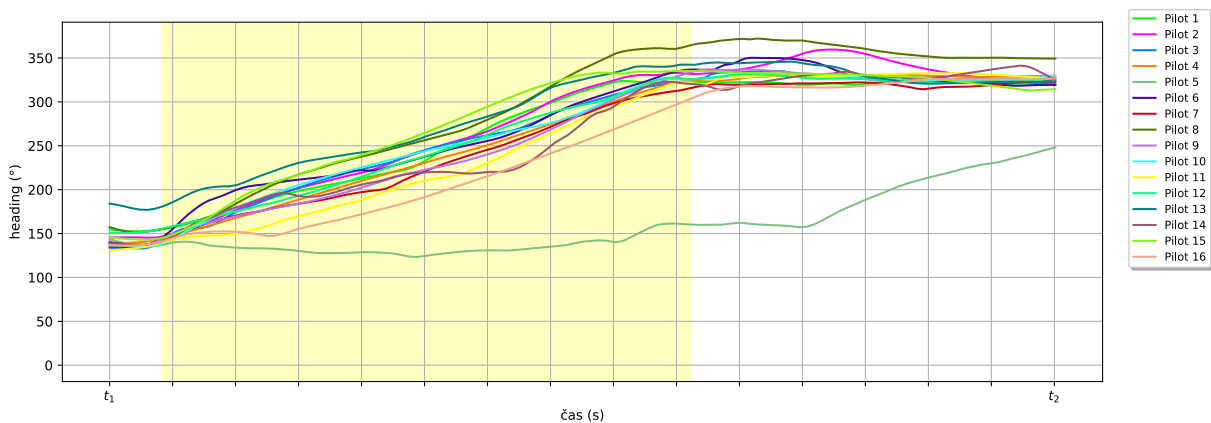
Obrázek A.263: Krabicový graf pro somatogravickou iluzi při třetím profilu - parametr Změna pitch. Z tohoto parametru byl zjištěn signifikantní rozdíl mezi okny {1} a {6}, {2} a {9}, {3} a {9}, {4} a {6}, {5} a {9, 10}, {6} a {1, 4, 8, 9, 10, 11, 12}, {7} a {9, 10}, {8} a {6}, {9} a {2, 3, 5, 6, 7, 13, 14, 15}, {10} a {5, 6, 7, 14, 15}, {11} a {6}, {12} a {6}, {13} a {9}, {14} a {9, 10}, {15} a {9, 10}.



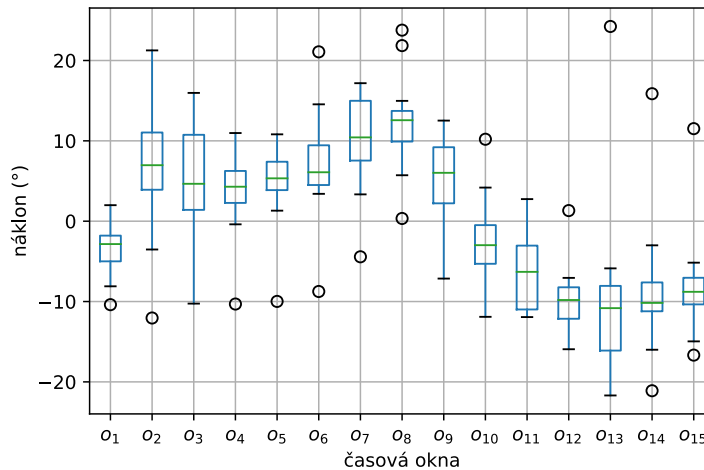
Obrázek A.264: Průběh v čase pro somatogravickou iluzi při třetím profilu - parametr Změna pitch.



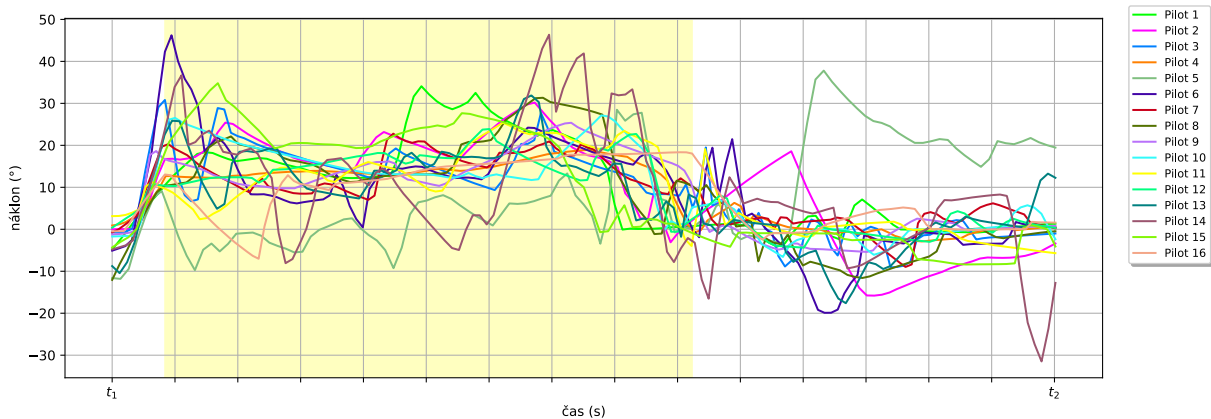
Obrázek A.265: Krabicový graf pro somatogyrální iluzi při třetím profilu - parametr Heading. Z tohoto parametru byl zjištěn signifikantní rozdíl mezi okny {1} a {8, 9, 10, 11, 12, 13, 14, 15}, {2} a {8, 9, 10, 11, 12, 13, 14, 15}, {3} a {9, 10, 11, 12, 13, 14, 15}, {4} a {9, 10, 11, 12, 13, 14, 15}, {5} a {10, 11, 12, 13, 14, 15}, {6} a {10, 11, 12, 13, 14, 15}, {7} a {11, 12, 13}, {8} a {1, 2}, {9} a {1, 2, 3, 4}, {10} a {1, 2, 3, 4, 5, 6}, {11} a {1, 2, 3, 4, 5, 6, 7}, {12} a {1, 2, 3, 4, 5, 6, 7}, {13} a {1, 2, 3, 4, 5, 6, 7}, {14} a {1, 2, 3, 4, 5, 6}, {15} a {1, 2, 3, 4, 5, 6}.



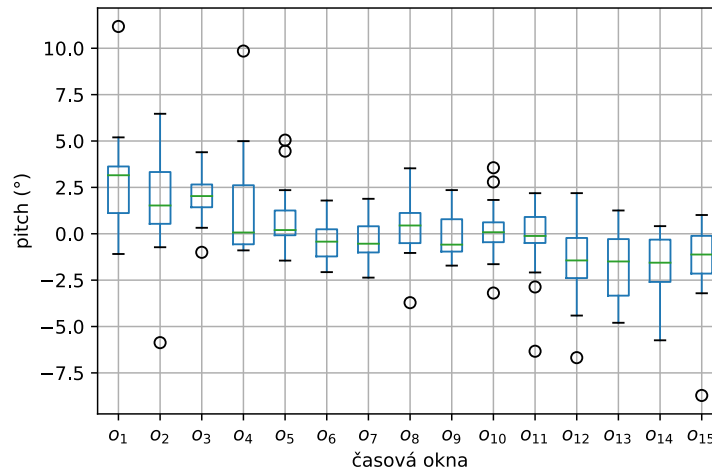
Obrázek A.266: Průběh v čase pro somatogyrální iluzi při třetím profilu - parametr Heading.



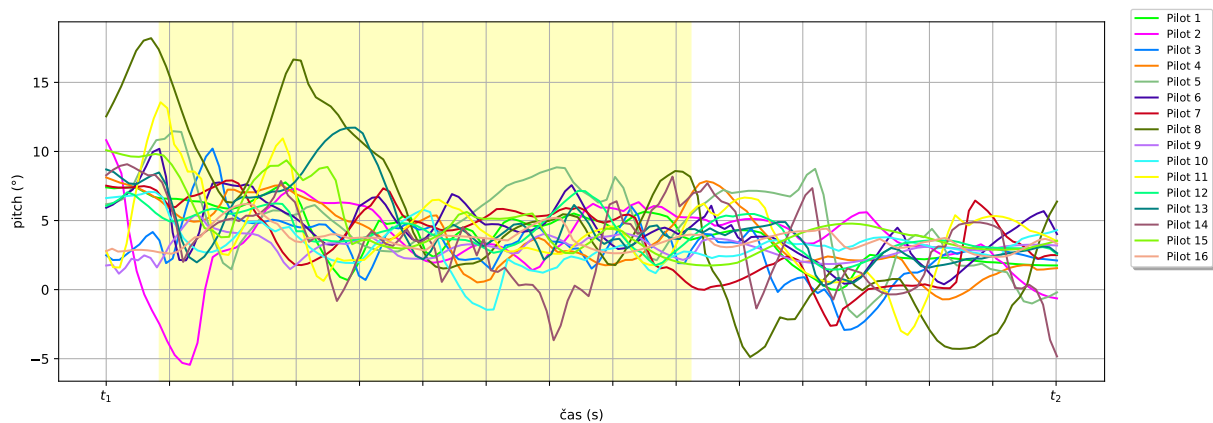
Obrázek A.267: Krabicový graf pro somatogyrální iluzi při třetím profilu - parametr Náklon. Z tohoto parametru byl zjištěn signifikantní rozdíl mezi okny {1} a {7, 8}, {2} a {11, 12, 13, 14, 15}, {3} a {12, 13, 14, 15}, {4} a {12, 13}, {5} a {12, 13, 14, 15}, {6} a {11, 12, 13, 14, 15}, {7} a {1, 10, 11, 12, 13, 14, 15}, {8} a {1, 10, 11, 12, 13, 14, 15}, {9} a {11, 12, 13, 14, 15}, {10} a {7, 8}, {11} a {2, 6, 7, 8, 9}, {12} a {2, 3, 4, 5, 6, 7, 8, 9}, {13} a {2, 3, 4, 5, 6, 7, 8, 9}, {14} a {2, 3, 5, 6, 7, 8, 9}, {15} a {2, 3, 5, 6, 7, 8, 9}.



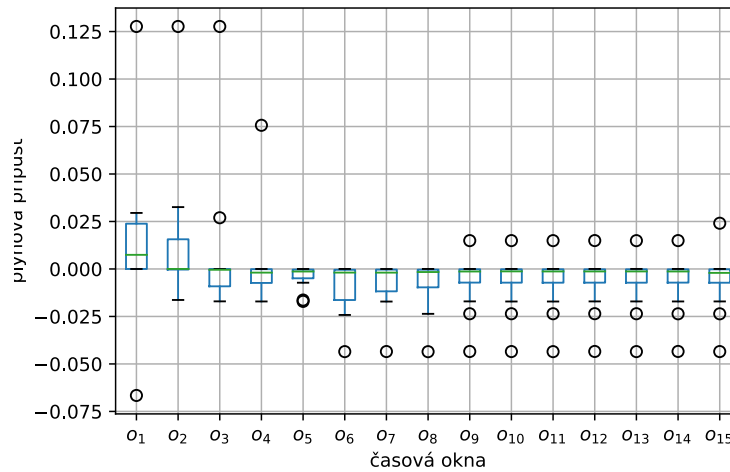
Obrázek A.268: Průběh v čase pro somatogyrální iluzi při třetím profilu - parametr Náklon.



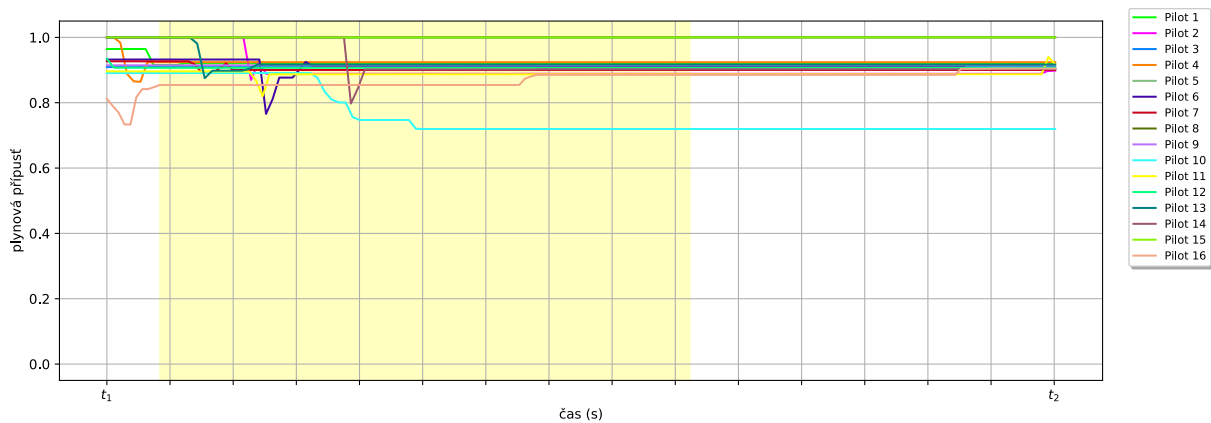
Obrázek A.269: Krabicový graf pro somatogyrální iluzi při třetím profilu - parametr Pitch. Z tohoto parametru byl zjištěn signifikantní rozdíl mezi okny {1} a {12, 13, 14, 15}, {2} a {12, 13, 14, 15}, {3} a {6, 12, 13, 14, 15}, {6} a {3}, {12} a {1, 2, 3}, {13} a {1, 2, 3}, {14} a {1, 2, 3}, {15} a {1, 2, 3}.



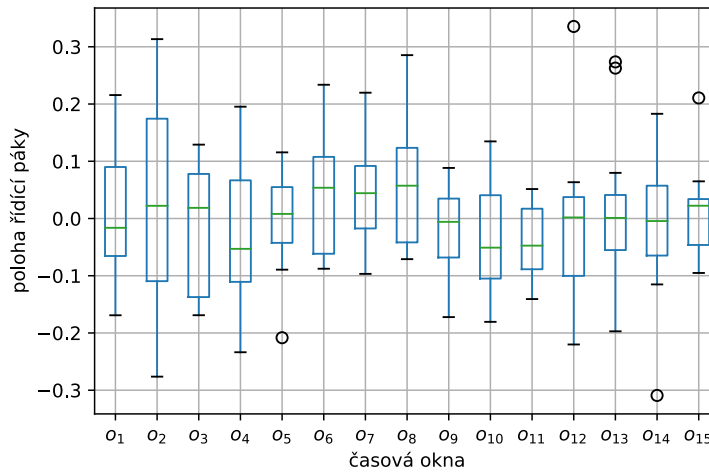
Obrázek A.270: Průběh v čase pro somatogyrální iluzi při třetím profilu - parametr Pitch.



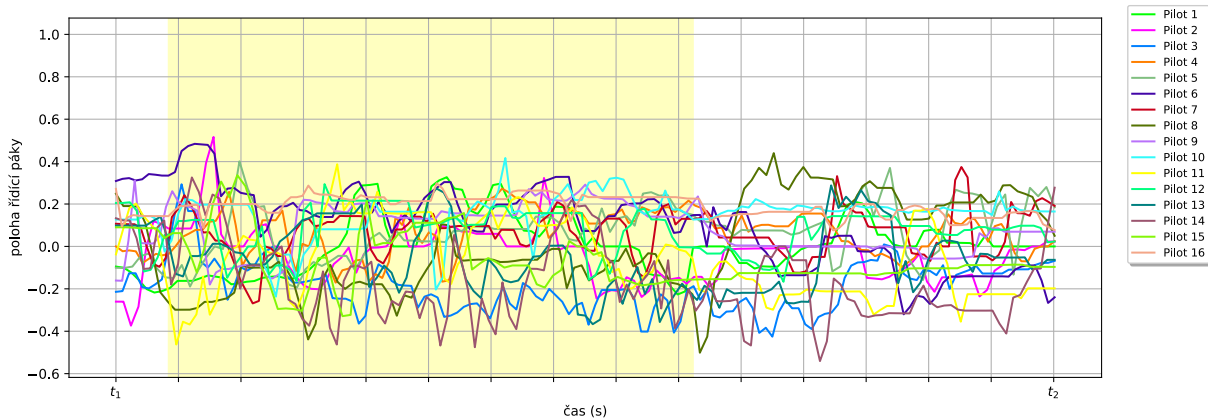
Obrázek A.271: Krabicový graf pro somatogyrální iluzi při třetím profilu - parametr Plynová přípust'. Z tohoto parametru byl zjištěn signifikantní rozdíl mezi okny {1} a {3, 5, 7}, {3} a {1}, {5} a {1}, {7} a {1}.



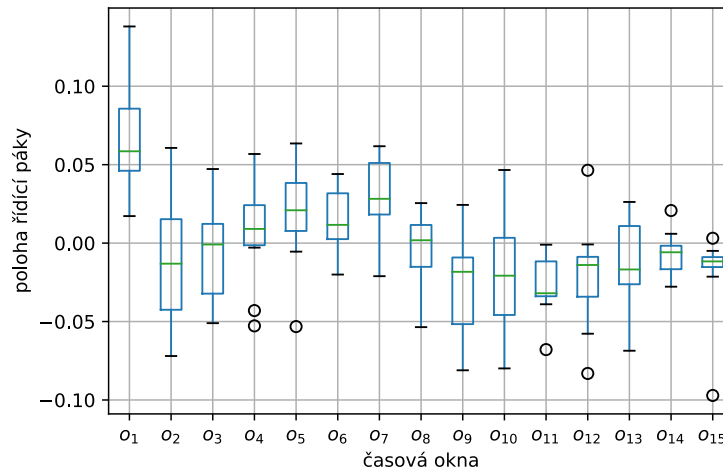
Obrázek A.272: Průběh v čase pro somatogyrální iluzi při třetím profilu - parametr Plynová přípust'.



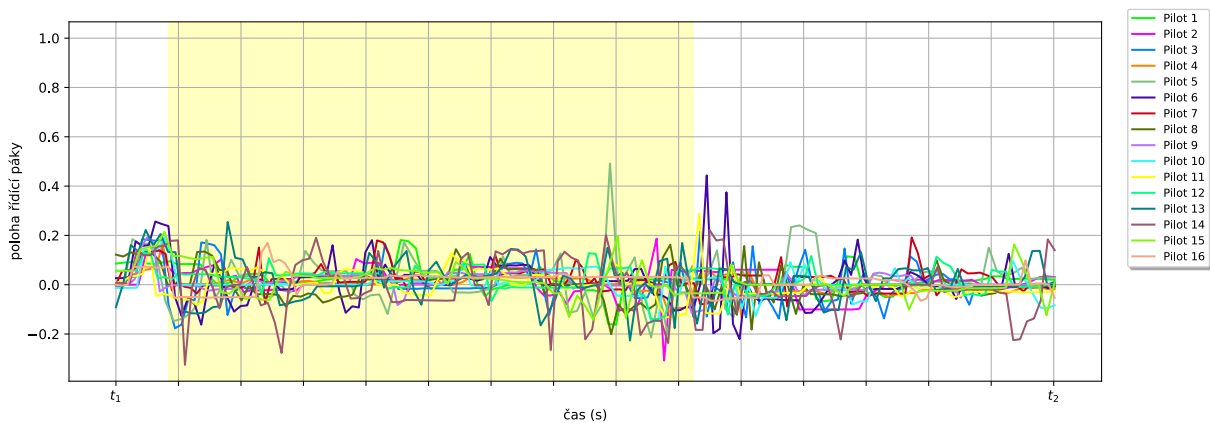
Obrázek A.273: Krabicový graf pro somatogyrální iluzi při třetím profilu - parametr Poloha řídicí páky v rovině pitch. Z tohoto parametru nebyl zjištěn signifikantní rozdíl mezi žádnými okny.



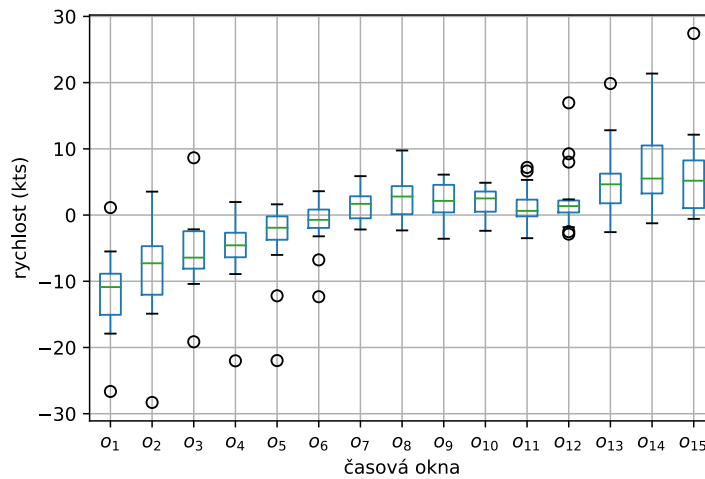
Obrázek A.274: Průběh v čase pro somatogyrální iluzi při třetím profilu - parametr Poloha řídicí páky v rovině pitch.



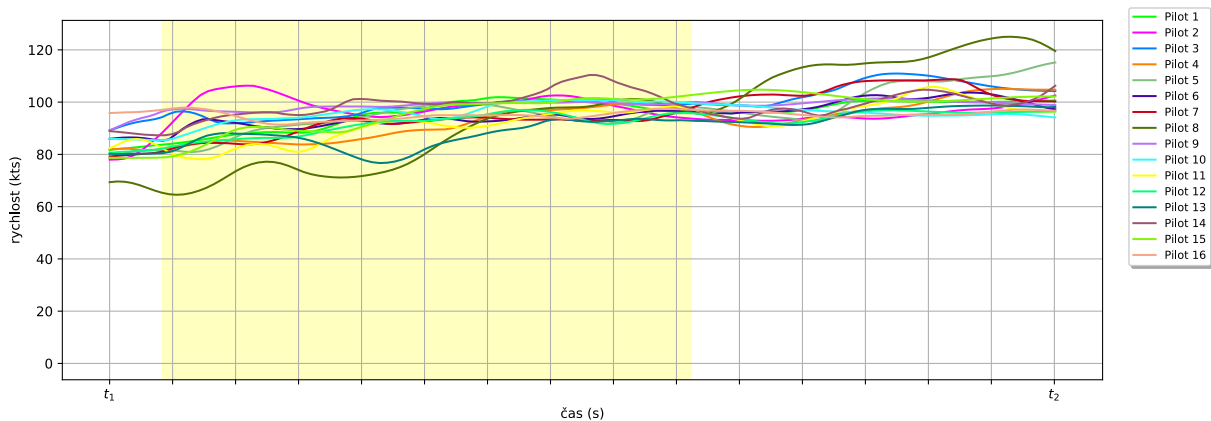
Obrázek A.275: Krabicový graf pro somatogyrální iluzi při třetím profilu - parametr Poloha řídicí páky v rovině roll). Z tohoto parametru byl zjištěn signifikantní rozdíl mezi okny {1} a {2, 9, 10, 11, 12, 13, 14, 15}, {2} a {1}, {7} a {9, 11}, {9} a {1, 7}, {10} a {1}, {11} a {1, 7}, {12} a {1}, {13} a {1}, {14} a {1}, {15} a {1}.



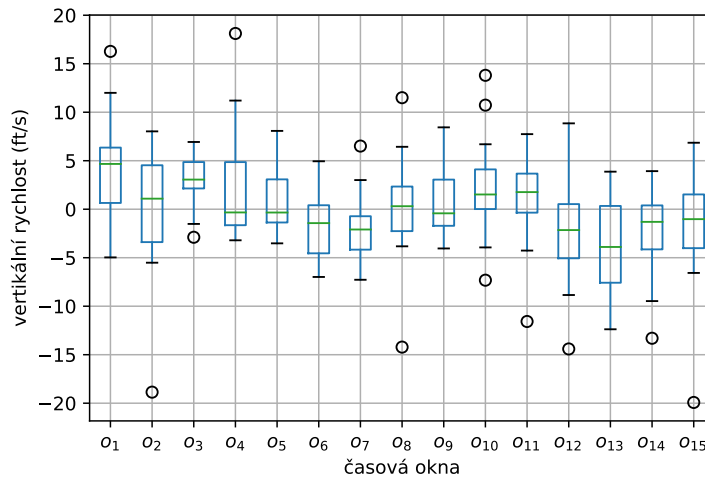
Obrázek A.276: Průběh v čase pro somatogyrální iluzi při třetím profilu - parametr Poloha řídicí páky v rovině roll).



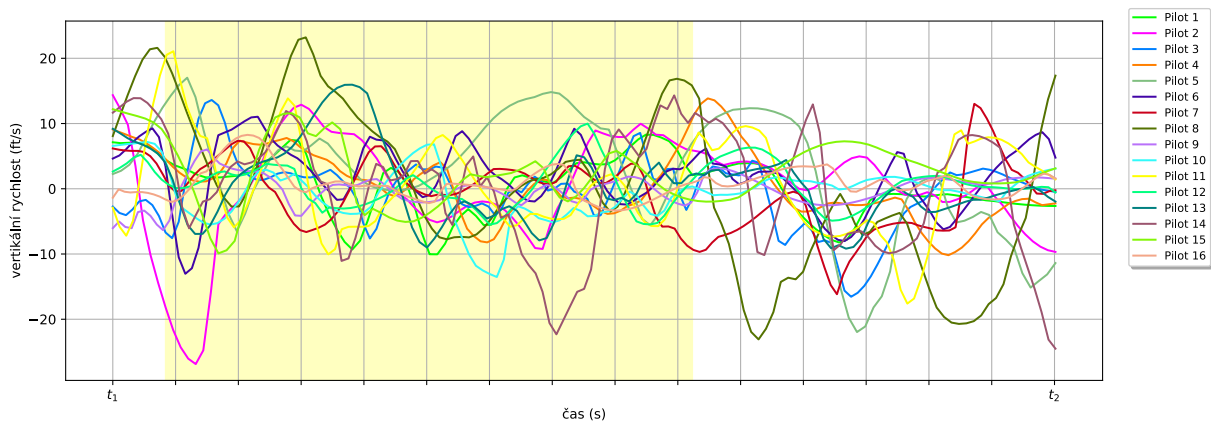
Obrázek A.277: Krabicový graf pro somatogyrální iluzi při třetím profilu - parametr Rychlost. Z tohoto parametru byl zjištěn signifikantní rozdíl mezi okny {1} a {7, 8, 9, 10, 11, 12, 13, 14, 15}, {2} a {7, 8, 9, 10, 12, 13, 14, 15}, {3} a {7, 8, 9, 10, 12, 13, 14, 15}, {4} a {7, 8, 9, 10, 12, 13, 14, 15}, {5} a {13, 14, 15}, {7} a {1, 2, 3, 4}, {8} a {1, 2, 3, 4}, {9} a {1, 2, 3, 4}, {10} a {1, 2, 3, 4}, {11} a {1}, {12} a {1, 2, 3, 4}, {13} a {1, 2, 3, 4, 5}, {14} a {1, 2, 3, 4, 5}, {15} a {1, 2, 3, 4, 5}.



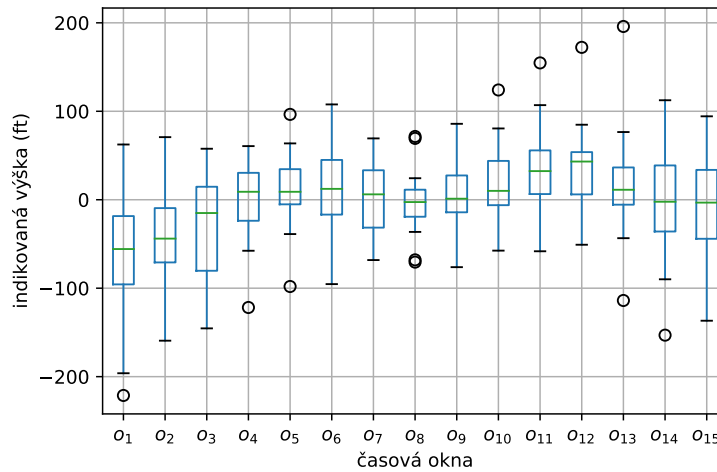
Obrázek A.278: Průběh v čase pro somatogyrální iluzi při třetím profilu - parametr Rychlost.



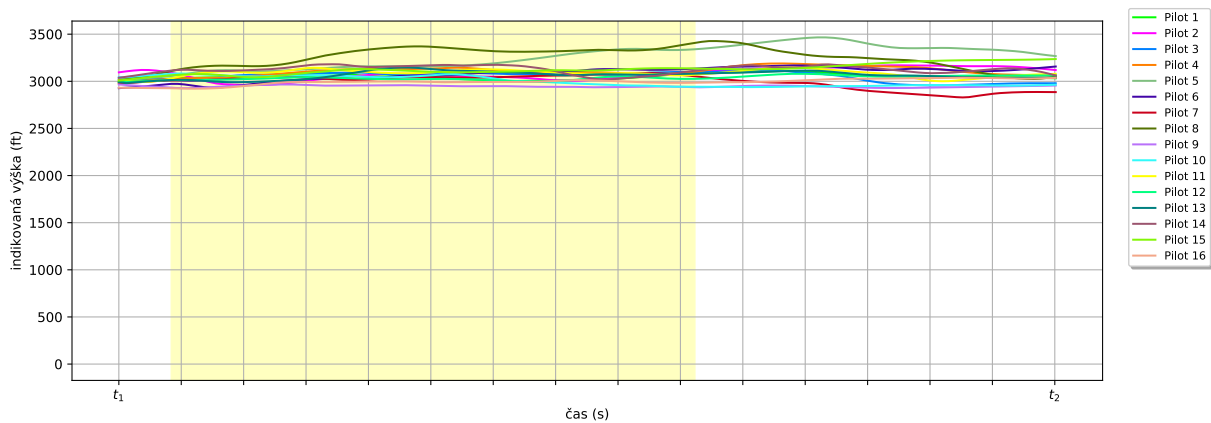
Obrázek A.279: Krabicový graf pro somatogyrální iluzi při třetím profilu - parametr Vertikální rychlost. Z tohoto parametru byl zjištěn signifikantní rozdíl mezi okny {3} a {6, 7, 12, 13}, {6} a {3}, {7} a {3}, {12} a {3}, {13} a {3}.



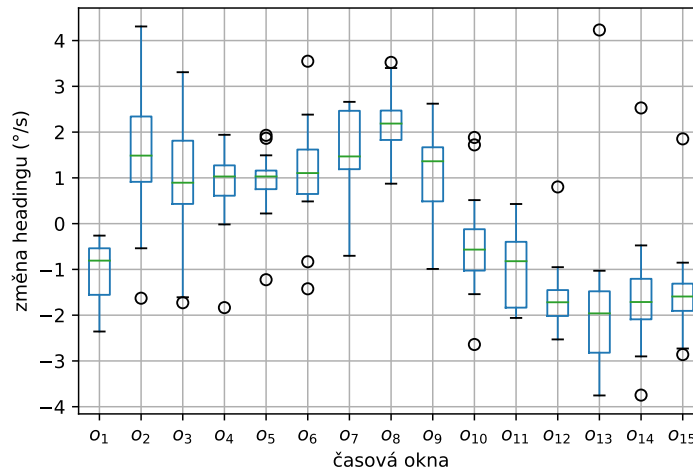
Obrázek A.280: Průběh v čase pro somatogyrální iluzi při třetím profilu - parametr Vertikální rychlost.



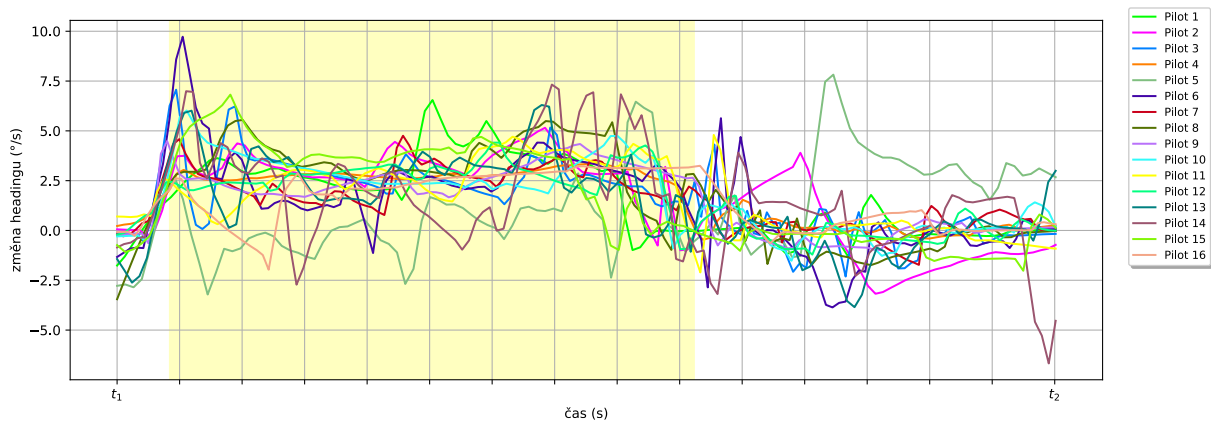
Obrázek A.281: Krabicový graf pro somatogyrální iluzi při třetím profilu - parametr Výška. Z tohoto parametru byl zjištěn signifikantní rozdíl mezi okny {1} a {5, 6, 11, 12, 13}, {2} a {5, 6, 11, 12}, {5} a {1, 2}, {6} a {1, 2}, {11} a {1, 2}, {12} a {1, 2}, {13} a {1}.



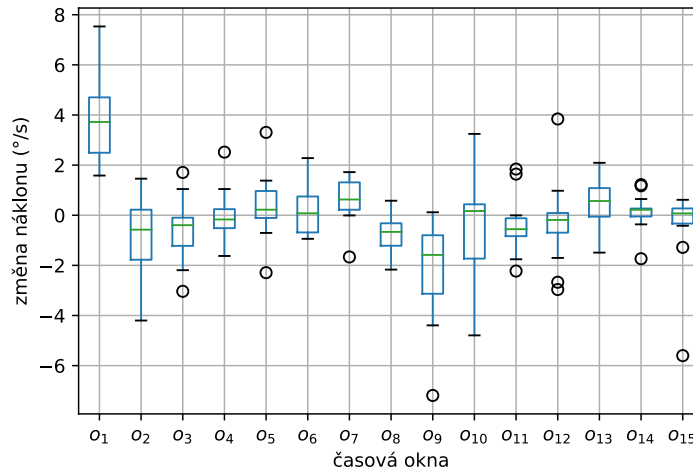
Obrázek A.282: Průběh v čase pro somatogyrální iluzi při třetím profilu - parametr Výška.



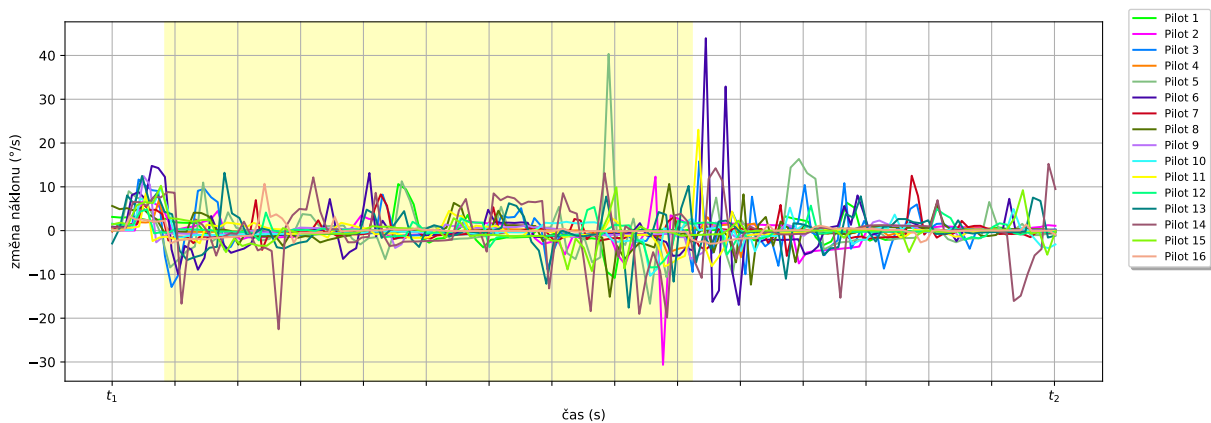
Obrázek A.283: Krabicový graf pro somatogyrální iluzi při třetím profilu - parametr Změna headingu. Z tohoto parametru byl zjištěn signifikantní rozdíl mezi okny {1} a {2, 7, 8, 9}, {2} a {1, 11, 12, 13, 14, 15}, {3} a {12, 13, 14, 15}, {4} a {12, 13, 14}, {5} a {12, 13, 14, 15}, {6} a {11, 12, 13, 14, 15}, {7} a {1, 11, 12, 13, 14, 15}, {8} a {1, 10, 11, 12, 13, 14, 15}, {9} a {1, 11, 12, 13, 14, 15}, {10} a {8}, {11} a {2, 6, 7, 8, 9}, {12} a {2, 3, 4, 5, 6, 7, 8, 9}, {13} a {2, 3, 4, 5, 6, 7, 8, 9}, {14} a {2, 3, 4, 5, 6, 7, 8, 9}, {15} a {2, 3, 5, 6, 7, 8, 9}.



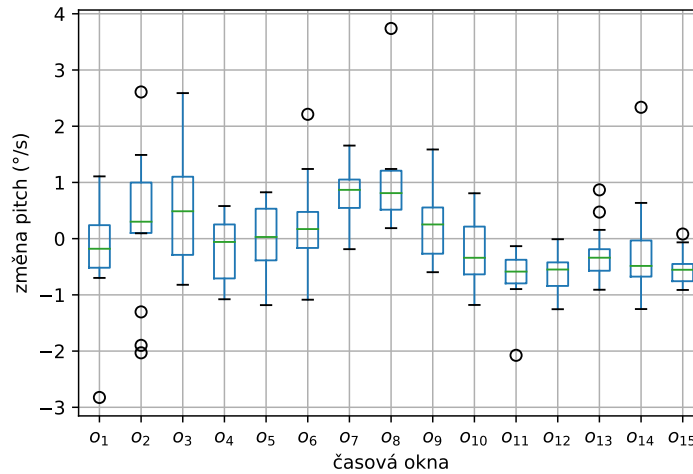
Obrázek A.284: Průběh v čase pro somatogyrální iluzi při třetím profilu - parametr Změna headingu.



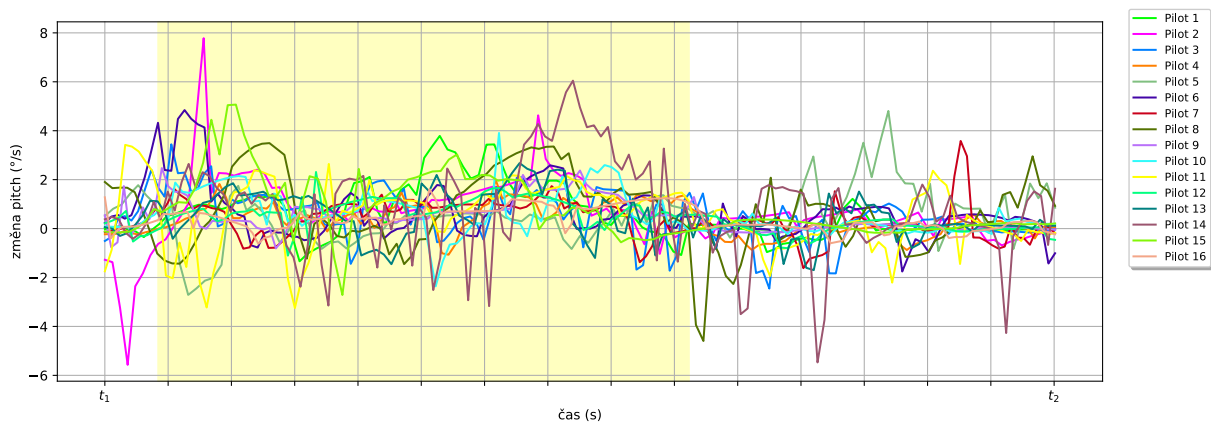
Obrázek A.285: Krabicový graf pro somatogyrální iluzi při třetím profilu - parametr Změna náklonu. Z tohoto parametru byl zjištěn signifikantní rozdíl mezi okny {1} a {2, 3, 4, 8, 9, 10, 11, 12}, {2} a {1}, {3} a {1}, {4} a {1}, {7} a {9}, {8} a {1}, {9} a {1, 7, 13}, {10} a {1}, {11} a {1}, {12} a {1}, {13} a {9}.



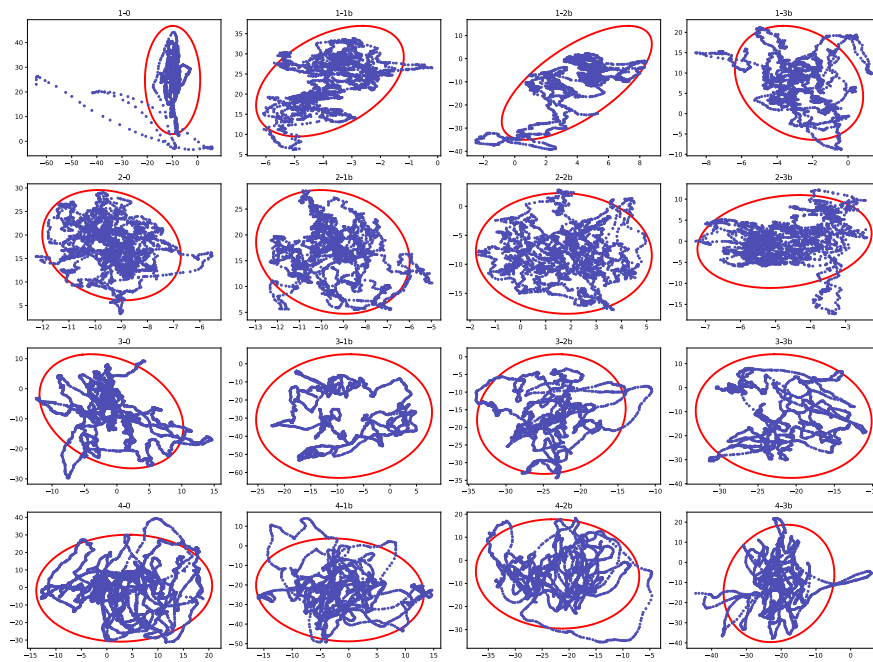
Obrázek A.286: Průběh v čase pro somatogyrální iluzi při třetím profilu - parametr Změna náklonu.



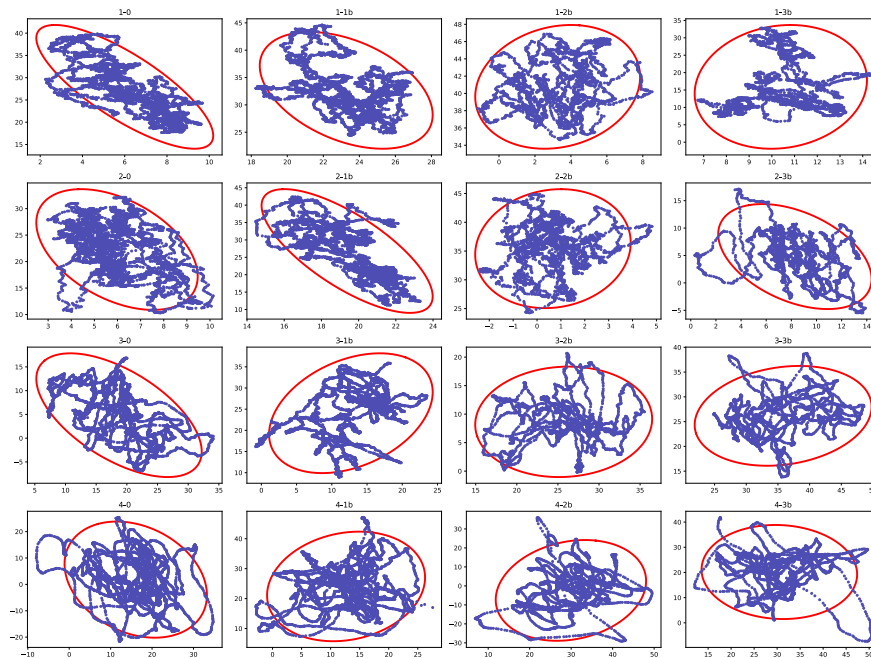
Obrázek A.287: Krabicový graf pro somatogyrální iluzi při třetím profilu - parametr Změna pitch. Z tohoto parametru byl zjištěn signifikantní rozdíl mezi okny {3} a {12}, {4} a {8}, {7} a {10, 11, 12, 13, 14, 15}, {8} a {4, 10, 11, 12, 13, 14, 15}, {10} a {7, 8}, {11} a {7, 8}, {12} a {3, 7, 8}, {13} a {7, 8}, {14} a {7, 8}, {15} a {7, 8}.



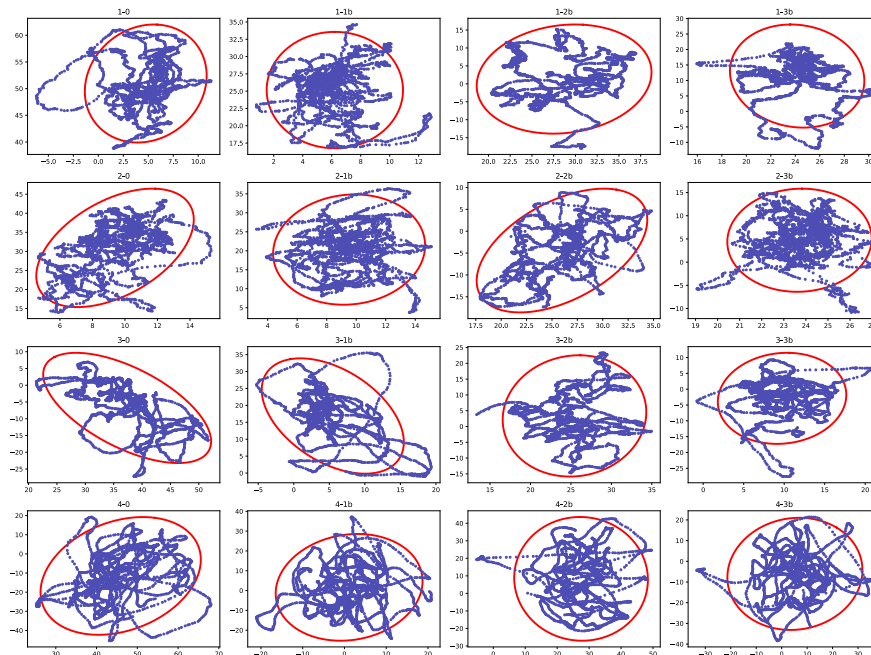
Obrázek A.288: Průběh v čase pro somatogyrální iluzi při třetím profilu - parametr Změna pitch.



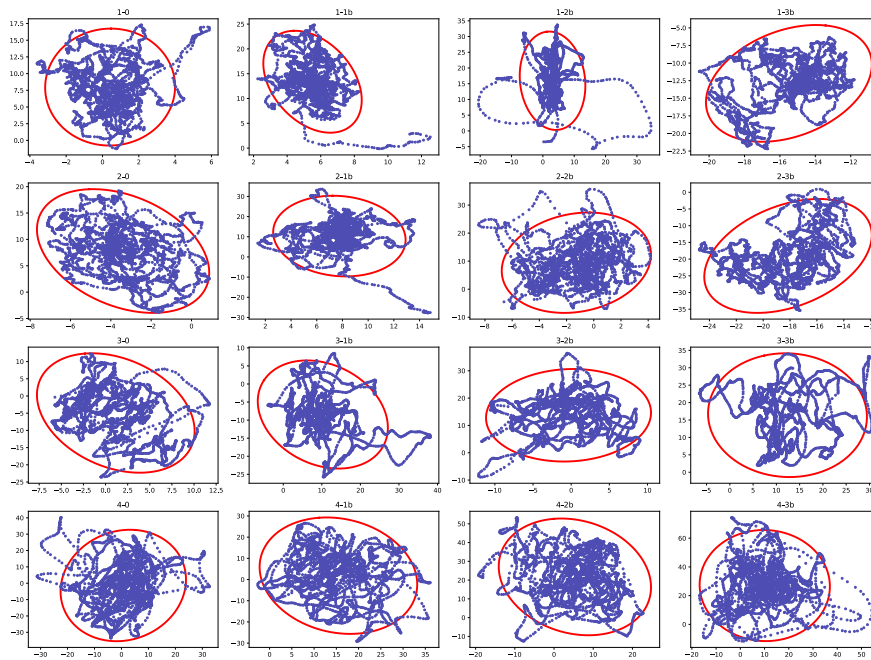
Obrázek A.289: Vykreslené konfidenční elipsy pro pilota 2. V řádcích jsou hodnoty po jednotlivých měřeních, ve sloupcích pak rozdílné druhy měřených postojů.



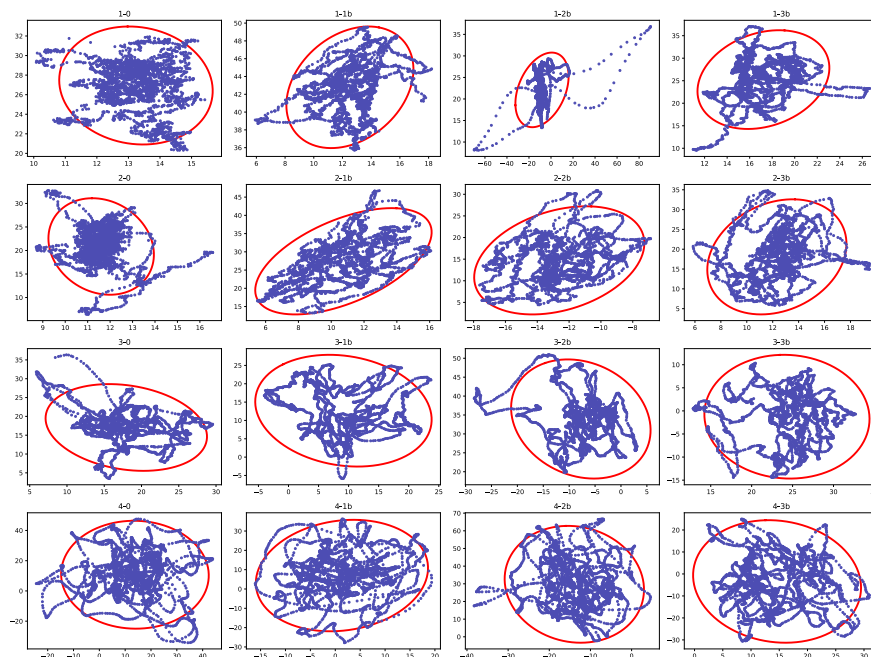
Obrázek A.290: Vykreslené konfidenční elipsy pro pilota 3. V řádcích jsou hodnoty po jednotlivých měřeních, ve sloupcích pak rozdílné druhy měřených postojů.



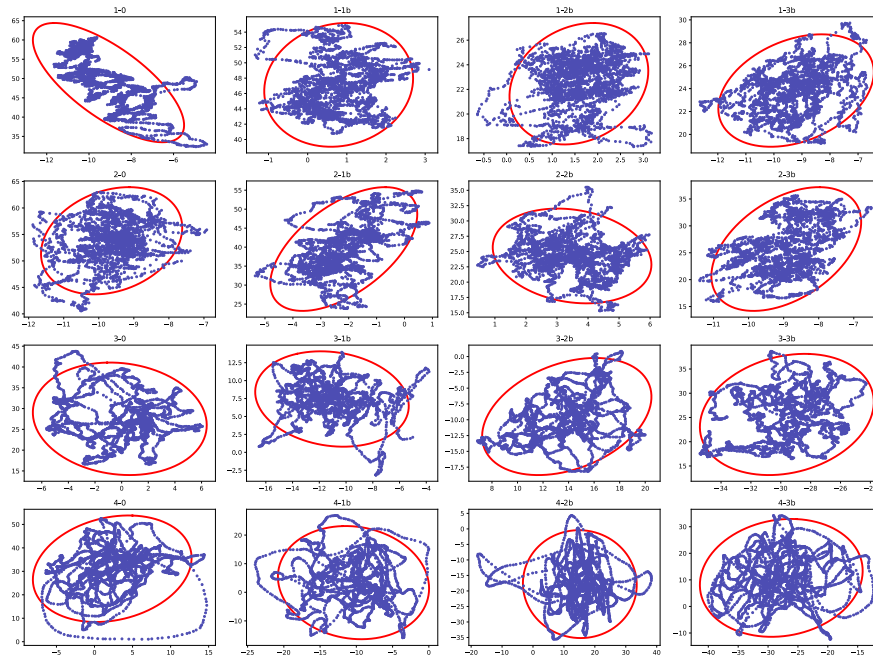
Obrázek A.291: Vykreslené konfidenční elipsy pro pilota 4. V řádcích jsou hodnoty po jednotlivých měřeních, ve sloupcích pak rozdílné druhy měřených postojů.



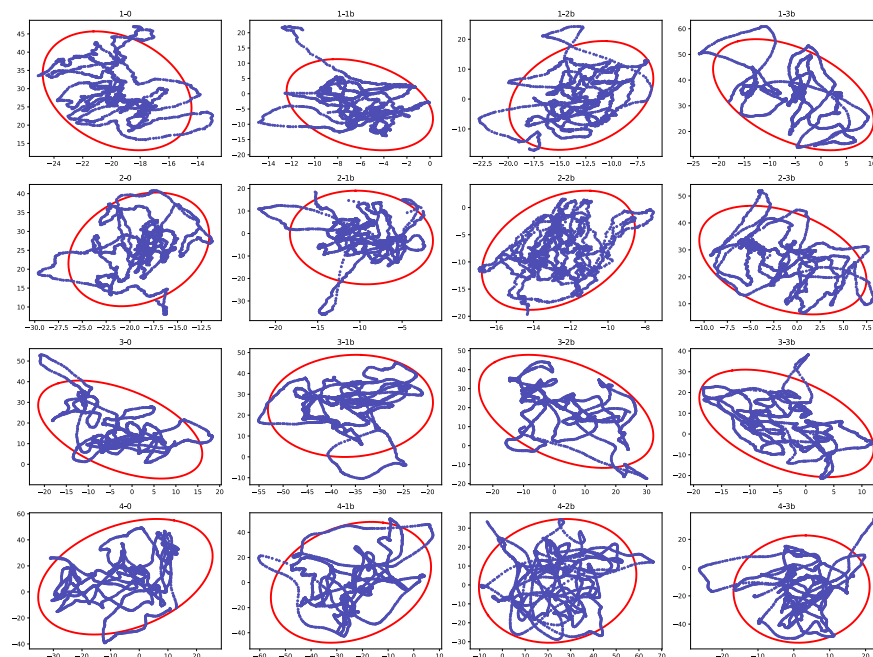
Obrázek A.292: Vykreslené konfidenční elipsy pro pilota 5. V řádcích jsou hodnoty po jednotlivých měřeních, ve sloupcích pak rozdílné druhy měřených postojů.



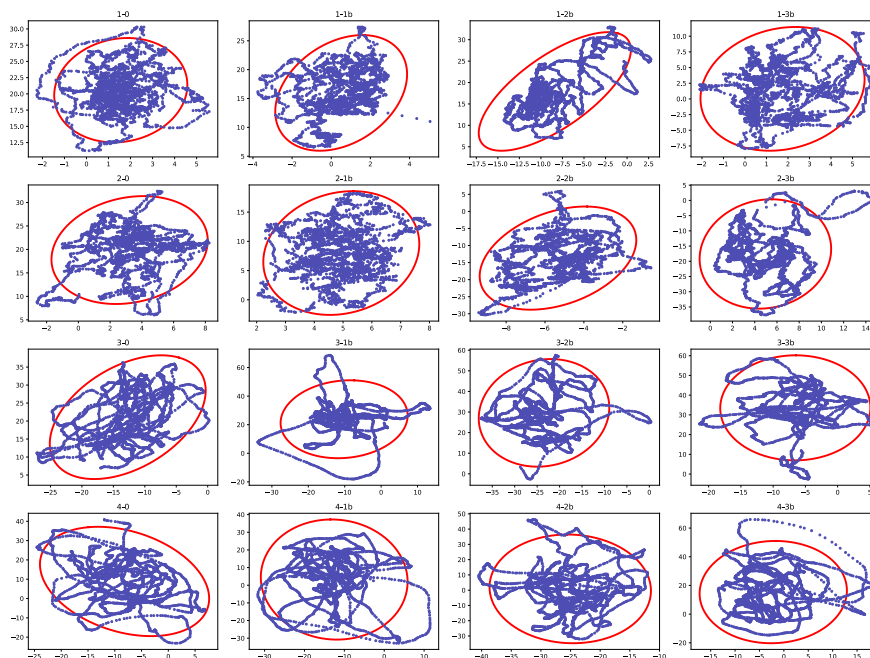
Obrázek A.293: Vykreslené konfidenční elipsy pro pilota 6. V řádcích jsou hodnoty po jednotlivých měřeních, ve sloupcích pak rozdílné druhy měřených postojů.



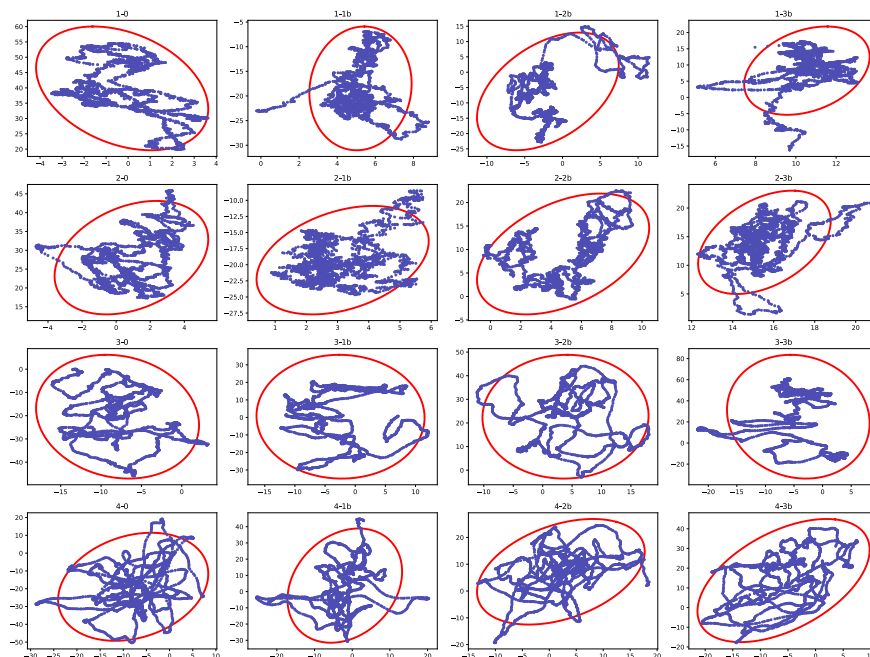
Obrázek A.294: Vykreslené konfidenční elipsy pro pilota 7. V řádcích jsou hodnoty po jednotlivých měřeních, ve sloupcích pak rozdílné druhy měřených postojů.



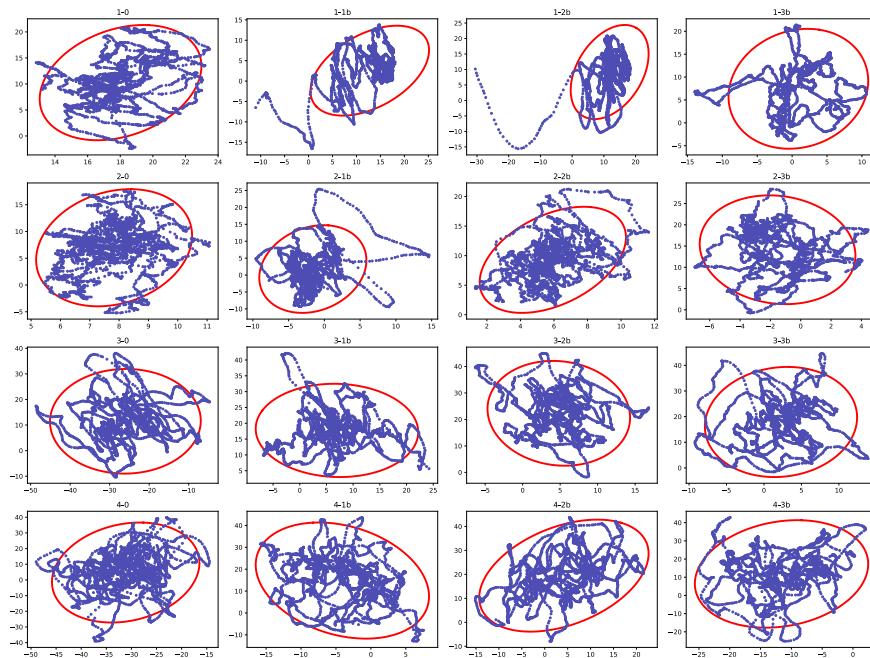
Obrázek A.295: Vykreslené konfidenční elipsy pro pilota 8. V řádcích jsou hodnoty po jednotlivých měřeních, ve sloupcích pak rozdílné druhy měřených postojů.



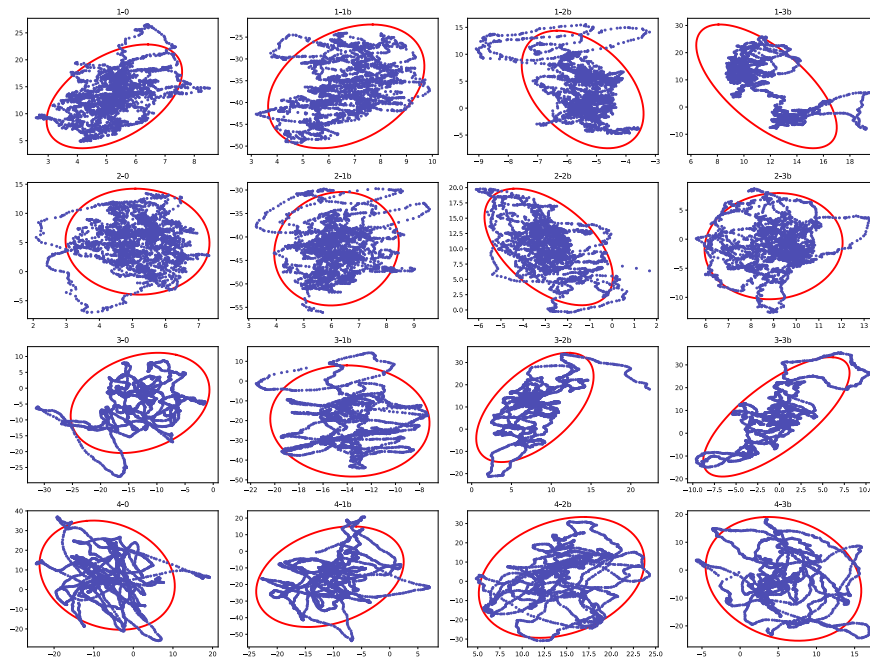
Obrázek A.296: Vykreslené konfidenční elipsy pro pilota 9. V řádcích jsou hodnoty po jednotlivých měřeních, ve sloupcích pak rozdílné druhy měřených postojů.



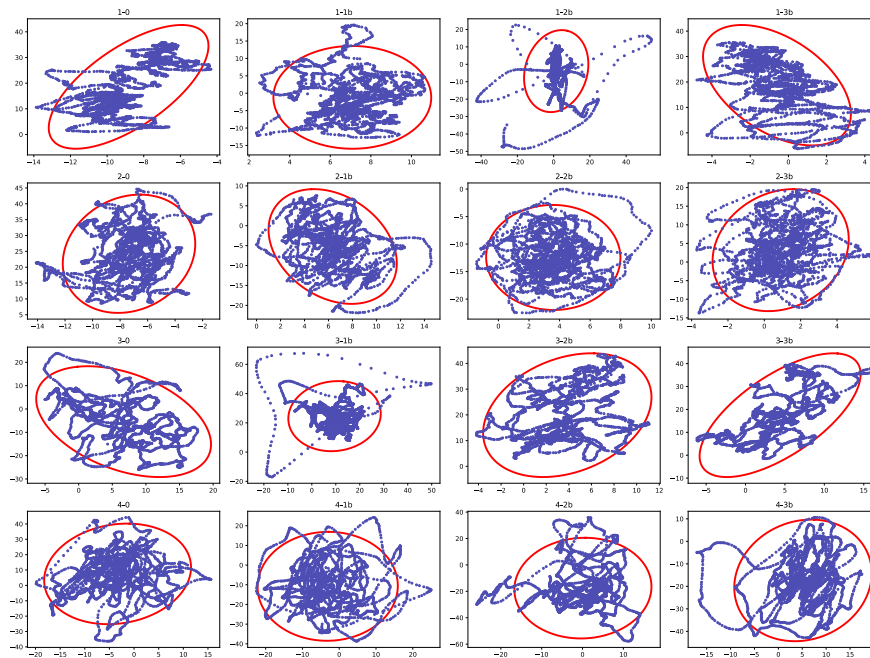
Obrázek A.297: Vykreslené konfidenční elipsy pro pilota 10. V řádcích jsou hodnoty po jednotlivých měřeních, ve sloupcích pak rozdílné druhy měřených postojů.



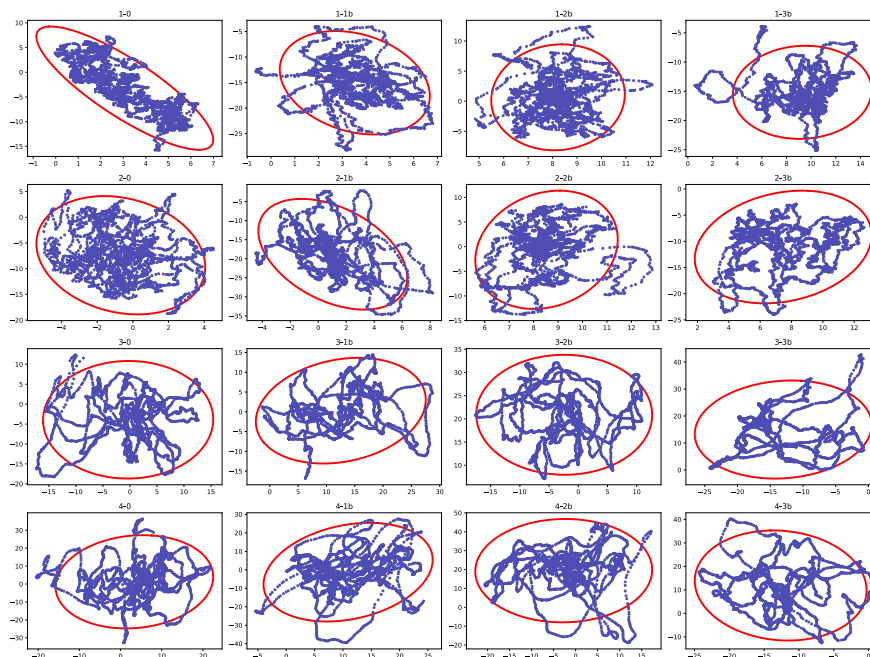
Obrázek A.298: Vykreslené konfidenční elipsy pro pilota 11. V řádcích jsou hodnoty po jednotlivých měřeních, ve sloupcích pak rozdílné druhy měřených postojů.



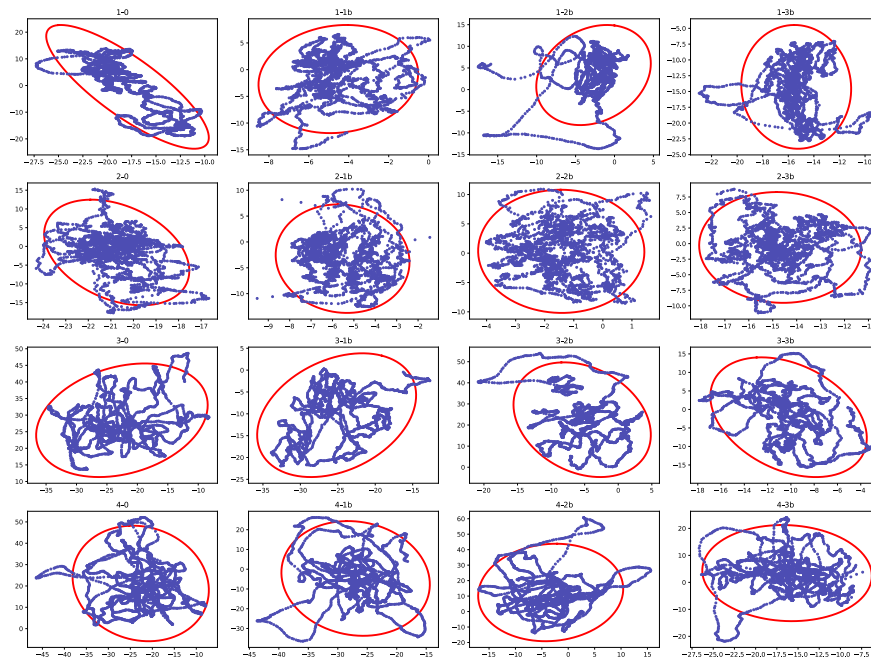
Obrázek A.299: Vykreslené konfidenční elipsy pro pilota 12. V řádcích jsou hodnoty po jednotlivých měřeních, ve sloupcích pak rozdílné druhy měřených postojů.



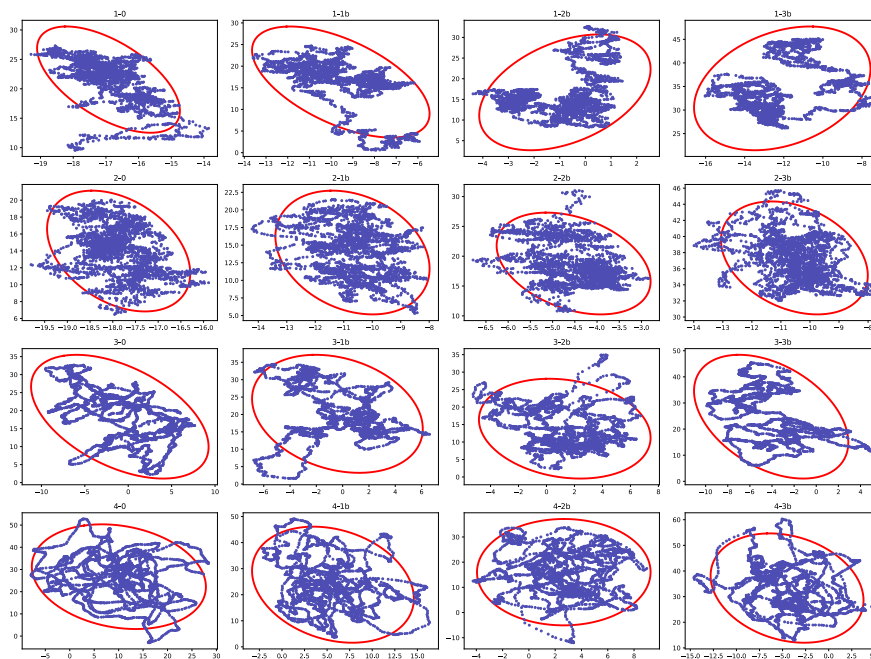
Obrázek A.300: Vykreslené konfidenční elipsy pro pilota 13. V řádcích jsou hodnoty po jednotlivých měřeních, ve sloupcích pak rozdílné druhy měřených postojů.



Obrázek A.301: Vykreslené konfidenční elipsy pro pilota 14. V řádcích jsou hodnoty po jednotlivých měřeních, ve sloupcích pak rozdílné druhy měřených postojů.



Obrázek A.302: Vykreslené konfidenční elipsy pro pilota 15. V řádcích jsou hodnoty po jednotlivých měřeních, ve sloupcích pak rozdílné druhy měřených postojů.



Obrázek A.303: Vykreslené konfidenční elipsy pro pilota 16. V řádcích jsou hodnoty po jednotlivých měřeních, ve sloupcích pak rozdílné druhy měřených postojů.